

سندادوج

دوفصلنامه علمی- تخصصی انجمن علمی مهندسی عمران سال پانزدهم ۴۰۰۰ تومان شماره ۱۴۰۳ بهار



بررسی اثر خودگی در رفتار لرزه‌ای سازه
هیدروگرافی، کلید ورود به دریا
بررسی عملکرد شمع‌ها

هوش مصنوعی در هیدروگرافی



روش‌های ماشین بردار پشتیبان



تأثیر عوامل زیرساخت حمل و نقل ریلی



مطالعه عددی رفتار رادیه-شمع



توسعه بنادر و ملاحظات زیست محیطی



تغییرات آب و هوایی



اثر خودگی بر رفتار لرزه‌ای پایه‌های بن مسلح



”
مَنْ تَعَلَّمَ الْعِلْمَ وَ عَمَلَ بِهِ وَ عَلَمَ لِلَّهِ دُعَىٰ فِي
مَلَكُوتِ السَّمَاوَاتِ عَظِيمًا فَقِيلَ: تَعَلَّمَ لِلَّهِ وَ
عَمَلَ لِلَّهِ وَ عَلَمَ لِلَّهِ“

هر کس برای خدا دانش بیاموزد، به آن عمل کند و به دیگران آموزش دهد، در ملکوت آسمان‌ها به بزرگی یاد شود و گویند: برای خدا آموخت، برای خدا عمل کرد و برای خدا آموزش داد.

امام صادق (علیه السلام).-شرح اصول کافی(ج1،ص۵۶)۷

سخن مدیرمسئول



EMPLAZAMIENTO

زدانش نخستین به یزدان گرای
کجا هست و باشد همیشه به جای

حتما تا به حال این ضربالمثل معروف را شنیده اید که «خشت اول گرنده معمار کج.....تا ثریا می رود دیوار کج». به همین سبب، همواره دقیق و صحت اجرای نقشه ها در سازه های متفاوت از همان شالوده، تا آخرین آجری که به کار گذاشته می شود، از اهمیت به سزا بی برخوردار بوده و هر پروژه، همکاری توأم ان مهندسان عمران و نقشه برداری را می طلبیده است.

این بار، رسالت ساروج آن است تا پل میان این دو رشته را، که در کنار یکدیگر معنا پیدا می کنند، استحکام بخشد و برای علاقه مندان بستری باشد که به تعامل و تبادل ایده پردازند و نگرشی تازه در هر دو علم، به جامعه عرضه نمایند.

نشریه علمی - تخصصی ساروج با محتوای مقالات تخصصی و علمی معتبر، دستاوردهای دانشجویان پر تلاش و بالغیزهای است که با اراده و همت خود به سمت چشم اندازی نوین حرکت می کنند؛ امید است تا در آینده های نزدیک بر فراز این پل بایستیم و شاهد موفقیت های روزافزون عزیزان باشیم.

در انتهای از زحمات بی شائبه تمامی استادی بزرگوار، به ویژه جناب آقای دکتر محمود پیروز نیا که وقت ارزشمند خود را به مصاحبه اختصاص دادند، و همچنین دوستانی که ما را در تدوین این شماره همراهی کرده اند صمیمانه سپاسگزاریم.

با احترام، نیلوفر دربندسری
بهار ۱۴۰۳

@Civil_Mag

ارتباط با نشریات انجمن:

@CivilSBU

کanal تلگرام انجمن:

@Civil_SBU

صفحه اینستاگرام انجمن:

@Civil_PR

روابط عمومی انجمن:

SBU.SSCE@gmail.com

ایمیل:

www.civilsbu.ir

وبسایت انجمن:



ساروج

دوفصلنامه علمی - تخصصی انجمن علمی عمران

سال پانزدهم اشماره ۴۲ بهار | ۱۴۰۳ بهاء: ۴۰۰۰۰ تومان

صاحب امتیاز: انجمن علمی عمران دانشگاه شهید بهشتی

مدیرمسئول: نیلوفر دربندسری

سردبیر: امیرعلی یحیی پور

هیئت تحریریه: نوید طالقانی، حانیه مهرشاد، علی اکبر احترامی، محمدحسین عرب، نیلوفر اسدی، سجاد مرشدی یوسف آباد، امیرحسین زارعی، مهران مرادی، حدیث رمضان نژاد، محمد پیرایش، سید امیرعباس موسوی، نیلوفر دربندسری، عباس کریمی، محمد مهدی اسفندیاری، سایان شجاع، امیرمهدي ایزدپناهی

استاد مشاور انجمن علمی: دکتر حمید محمد نژاد

هیئت نظارت علمی بر مقالات (براساس حروف الفباء): دکتر بابک ابراهیمیان، دکتر مرتضی اسد امر جی، دکتر سینا صاحبی، دکتر سعید صادقیان، دکتر شیما محبوبی، دکتر هانی محبوبی، دکتر علی مریدی

گروه ویراستاری ادبی: امین احمدی، بدرام القاسی، دانیال دوستی، معراج حسین پور، فاطمه رأضی

سرویرست ویراستاران: امین احمدی

مدیرهنری و صفحه آرایی: نگار قراباغی

طراحی روی جلد: پارسا ضیائی

طراحی پشت جلد: حمیدرضا چاووشی

طراحی کیوآر کدها: احسان محمدی

تبليغات و اطلاع رسانی: فرشته احمدی

طراحی تیزر: محمدرضا علیزادگان

مدیربخش مالی: سارا احمدی

چاپ و صحافی: مرکز طبع و نشر دانشگاه شهید بهشتی

نشانی: تهران - انتهاي بزرگراه شهيد بابا شرق - حکيميه - بلوار بهار - پرديس فني مهندسي شهيد عباسپور - دانشگاه شهيد بهشتی - دانشگاه عمران، آب و محیط زیست - انجمن علمی مهندسی عمران

کد پستی: ۱۷۷۶۵-۱۷۱۹

Total

یادداشت سردبیر



با سرسپرده‌گی همه جان‌ها سپرده‌اند
با سرسپرده‌گی کمر همت بسته‌اند

همت بلند دار که مردان روزگار
جانها همه در پی ات عزم ارادتند

در می‌یابیم که یکی از بزرگ‌ترین کلیدهای موفقیت، همت هر انسانی است که در هر شرایطی، به‌ویژه سختی‌ها، به یاری او می‌آید و باعث موفقیت بشر در هر صحنه از زندگی خواهد شد. بنده امیرعلی یحیی‌پور، سردبیر این شماره از ساروج، بسیار خرسند هستم که افتخار حضور در این خانواده بزرگ را داشته‌ام و از تمامی عزیزان و دوستان گرامی که در این شماره با ما همکاری داشته و تمام تلاش‌شان را برای بهبود کیفیت و به حد اعلا رساندن نشریه کرده‌اند، تشکر به عمل می‌آورم.

در این شماره از ساروج، سعی شده است در جهت افزایش بار علمی، از دانشجویان تحصیلات تکمیلی استفاده شود تا بتوانیم نشریه‌ای شایسته‌ی انجمن علمی عمران دانشگاه شهید بهشتی ارائه دهیم.

همچنین از اساتید محترم که نظارت علمی بر مقالات داشته‌اند و سایر دانشجویانی که به ما در این مسیر یاری رسانده‌اند، به‌ویژه جناب آقای مهندس علی‌اکبر احترامی، که تجربیات خود را در اختیار ما قرار داده‌اند متشرکریم.

با تشکر، امیرعلی یحیی‌پور

بهار ۱۴۰۳

فهرست

محیط‌زیست و منابع آب

پلاسما
تغییرات آب و هوایی

۱۵
۸

سواحل، بنادر و سازه‌های دریایی

توسعه بنادر و ملاحظات زیست محیطی ۲۹

۲

ژئوتکنیک دریایی

مطالعه عددی رفتار رادیه-شمع متکی بر
شمع‌های استوانه‌ای، مخروطی و نیمه
مخروطی ۳۳

۳

سازه و زلزله

بررسی مطالعات انجام شده در خصوص اثر
خوردگی بر رفتار لرزه‌ای پایه‌های بتن مسلح ۴۱

الگوریتم ژنتیک و هوش مصنوعی ۴۹

۴

حمل و نقل

اولویت‌بندی سناریوهای آزمون درک خطر رانندگان
اتوبوس تندروی شهری به روشن آراس ۵۴

۵

بررسی تاثیر عوامل زیرساختی حمل و نقل ریلی بر
میزان جذب مسافر ۵۹

هیدروگرافی

۶۳

معرفی رشته هیدروگرافی

۶۶

هوش مصنوعی در هیدروگرافی



مصاحبه

هیدروگرافی، کلید ورود به دریا ۶۹



فتوگرامتری و سنجش از دور

بررسی و ارزیابی روش‌های ماشین بردار پشتیبان ۷۲۳

۷۷ ابزار U-Net



خبر

از انجمن علمی چه خبر؟ ۸۰



تبدیل پسماند به انرژی، با استفاده از روش پلاسما

نوید طالقانی

کارشناسی ارشد مهندسی محیط‌زیست، آب و فاضلاب دانشگاه شهید بهشتی / ورودی ۱۴۰۲

navidtaleghani.ce@gmail.com



محفظه‌های موتور قرار داده می‌شود. با اعمال حرارت و فشار بر روی پلاسما، انرژی زیادی آزاد می‌شود که برای تولید نیروی پیشرانه استفاده می‌شود.

صنعت هسته‌ای: در صنعت هسته‌ای، پلاسما برای کنترل و تولید انرژی در راکتورهای هسته‌ای استفاده می‌شود. در راکتورهای هسته‌ای جهت تولید انرژی، پلاسماهی هیدروژن به صورت گرم و فشرده در دماهای بسیار بالا تولید می‌شود.

لیزرهای پلاسمایی: لیزرهای پلاسمایی به عنوان منابع نوری قدرتمند استفاده می‌شوند. در این لیزرها، پلاسما برای تولید نور لیزری با انرژی بالا مورد استفاده قرار می‌گیرد.

پلاسمای کشاورزی: پلاسمای تولیدشده توسط دستگاه‌های پلاسمای کشاورزی می‌تواند در کشاورزی و باغبانی برای تعقیم کردن خاک و بذرها، کشت و کار بهبود یابد و آفات را کنترل کند [۲].

۲- فرآیند پلاسما

پلاسما دو روش تک مرحله‌ای و دو مرحله‌ای دارد که در این بخش ابتدا فرآیند تک مرحله‌ای توضیح داده شده و در انتها فرآیند دو مرحله‌ای توضیح داده خواهد شد.

۱-۱- فرآیند پلاسما تک مرحله‌ای

در فرآیند تبدیل پسماند به انرژی با استفاده از پلاسما، پسماند تحت دمای بسیار بالا قرار می‌گیرد و به شکل گاز تبخیر می‌شود، سپس وارد یک محیط پلاسمایی می‌شود. گازسازی قوس پلاسمایی یک فرآیند با دمای بالا است که ارگانیک‌های مواد جامد پسماند (مواد مبتنی بر کربن) را به سینگار تبدیل می‌کند و مواد غیر ارگانی و معدنی مواد جامد پسماند به محصولات فرعی شیشه‌ای شبیه به سنگ به نام خاکستر شیشه‌ای تولید می‌کنند. سین گاز اساساً از CO₂ و H₂ تشکیل شده است. دمای بالا در طول فرآیند توسط یک قوس برقی در یک مشعل (تورچ) ایجاد می‌شود که یک گاز را به پلاسما تبدیل می‌کند. فرآیندی که شامل یک راکتور با یک مشعل (تورچ) پلاسمایی برای پردازش ارگانیک‌های مواد جامد پسماند (مواد مبتنی بر کربن) است، به نام گازسازی قوس پلاسمایی نامیده می‌شود. راکتور گازسازی قوس پلاسمایی معمولاً بین ۷,۲۰۰ و ۱۲,۶۰۰ فارنهایت (حدود ۴۰۰۰ تا ۷۰۰۰ درجه سانتی‌گراد) عمل می‌کند. یک نمای مختصر از یک فرآیند معمول گازسازی قوس پلاسمایی در شکل انشان داده شده است.

چکیده

پلاسما یکی از چهار حالت اصلی ماده است. پلاسما گاز شبکه‌خنثی از ذرات باردار و خنثی است که رفتار جمعی از خود نشان می‌دهند. به عبارت دیگر، پلاسما، گاز یونیزه شده‌ای است که همه یا بخش قابل توجهی از اتم‌های آن یک یا چند الکترون از دستداده و به کاتیون تبدیل شده باشند، یا تعداد الکترون‌های آزاد آن، تقریباً برابر با تعداد یون‌های مثبت آن باشد. پلاسما دو حالت گرم و سرد دارد. پلاسما کاربردهای متنوعی در صنایع گوناگون مثل: چاقوی پلاسما، نمایشگرهای پلاسما، لامپ‌های پلاسما، صنایع نظامی و غیره دارد. یکی دیگر از کاربردهای آن تبدیل پسماند به انرژی است. در این روش ما طی فرآیندی پسماند را پردازش می‌کنیم، سپس به راکتوری هدایت می‌شود که این راکتور توسط تورچ‌های پلاسمایی به دماهای بالا می‌رسد و خروجی راکتور گاز و خاکستر شیشه‌ای است. گاز خروجی بعد از مراحل پاکسازی قابلیت تبدیل به انرژی را دارد و از خاکستر شیشه‌ای نیز می‌توان در ترکیبات مصالح ساختمان‌سازی و راهسازی استفاده کرد، چون این ماده استانداردهای بهداشتی را دارد.

کلمات کلیدی: پسماند، انرژی، روش پلاسما، تورچ

۱- مقدمه

پلاسما یک حالت فیزیکی از ماده است که در آن ذرات ماده به صورت یون‌ها و الکترون‌ها به هم می‌جسبند و یک محیط باردار را ایجاد می‌کنند. در پلاسما، بخشی از الکترون‌ها از اتم‌ها جدا شده و به صورت یون‌ها در محیط پخش می‌شوند. این حالت فیزیکی در دماهای بسیار بالا در شرایطی که ماده با اندازه ذرات بسیار کوچک در تماس باشد، شکل می‌گیرد. پلاسما در طبیعت به صورت فراوانی وجود دارد، به عنوان مثال در ستارگان، سیارات، نیمه رساناهای، لامپ‌های نئون و در شرایطی که گازها در معرض میدان‌های الکتریکی یا مغناطیسی قرار گیرند [۱]. پلاسما در تبدیل انرژی دارای کاربردهای متعددی است. در ادامه چند کاربرد اصلی آن آورده شده است.

تولید برق: پلاسما در نیروگاه‌های هسته‌ای به عنوان وسیله‌ای برای تولید برق استفاده می‌شود. در این نیروگاه‌ها، اتم‌های سنتگین مانند اورانیوم یا پلاسمای هیدروژن در شرایطی که دما و فشار بالا باشد، تجزیه می‌شوند و انرژی زیادی در این فرآیند آزاد می‌شود که به تولید برق می‌انجامد.

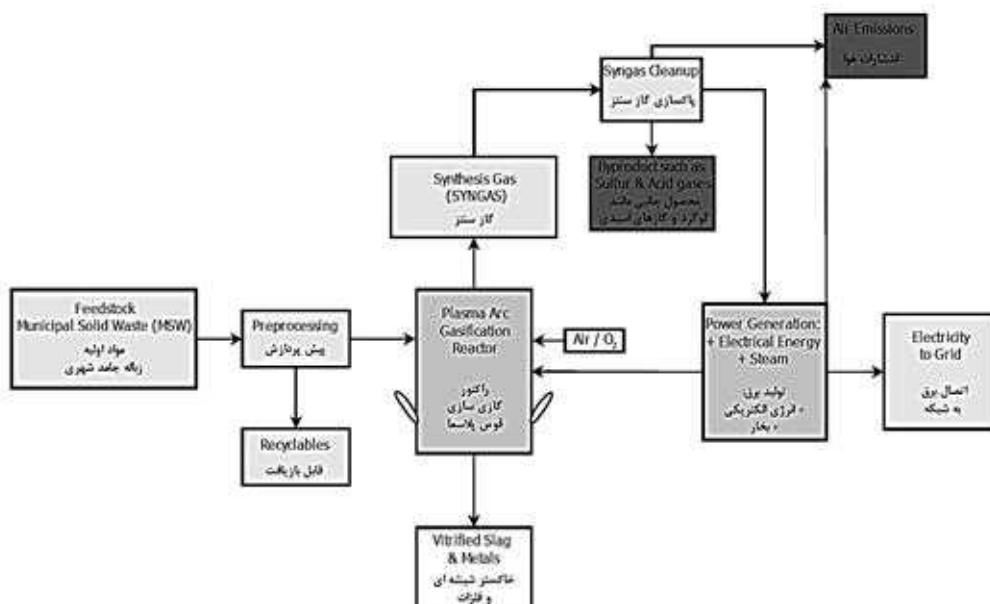
فوق رانش: در فناوری فوق رانش، پلاسما در داخل موتورهای جت و راکتها استفاده می‌شود. این پلاسما به عنوان ماده سوخت‌ها در

نام واکنش	گرمای واکنش (J/mol)	واکنش
احتراق	+393790	$C + O_2 \longrightarrow CO_2$
هیدر-گازسازی	+74900	$C + 2H_2 \longrightarrow CH_4$
بخار-کربن	-177400	$C + H_2O \longrightarrow CO + H_2$
مرزی	-172580	$C + CO_2 \longrightarrow 2CO$

جدول (۱): واکنش‌های کربن.

در عمل تجاری، فرآیند گازسازی قوس پلاسمایی، همان طور که در شکل (۱) نشان داده شده است، با ورود ماده مبتنی بر کربن مانند زغال‌سنگ یا کوک یک ماده جامد پر کربن است که در فشار و حرارت بالا بر اثر تقطیر آهسته، زغال‌سنگ تشکیل می‌شود. از این ماده با عیار کربن ۹۰ تا ۸۰ به عنوان سوخت استفاده می‌شود و به طور گسترده به عنوان یک جایگزین برای زغال‌سنگ محسوب می‌شود. یکی از کاربردهای مهم این سوخت، استفاده در ذوب آهن است. این ماده به سرعت با اکسیژن واکنش می‌دهد تا حرارت لازم برای واکنش‌های پیرولیز در محیط کم اکسیژن را تولید کند. جدول ۱ مواد مبتنی بر کربن را به عنوان C نشان می‌دهد که با O₂ واکنش می‌دهد تا احتراق محدودی را تولید کند، اما با توجه به حرارت لازم برای واکنش‌های سینگاز جدول ۱ و ۲، این کار انجام می‌گیرد. علاوه بر این، بخار آب به راکتور گازسازی قوس پلاسمایی اضافه می‌شود تا واکنش‌های سین‌گاز را ترویج دهد. واکنش‌های احتراق (واکنش‌های خروجی حرارتی) حرارت با حرارت اضافی از مشعل‌های قوس پلاسما برای واکنش‌های پیرولیز (واکنش‌های خودگی حرارتی) ارائه می‌دهند که به طور معمول، دمایی بین ۷,۲۰۰ و ۱۲,۶۰۰ فارنهایت را تولید می‌کند. در دمای بالا پروتئین‌های خطرناک، سوموم خطرناک، آمینواسیدهای خطرناک، فسفر بیس خطرناک، اصولاً تبدیل به گاز CO₂ و H₂O و مواد زیست‌پذیر می‌شوند [۳].

مواد معدنی غیرارگانی مواد جامد پسماند (MSW) محصولات فرعی شبیه به سنگی تولید می‌کنند. از آنجایی که شرایط عملیاتی بسیار بالا هستند (۱۲,۶۰۰-۷,۲۰۰ فارنهایت)، این مواد معدنی به طور معمول به خاکستر منجمد تبدیل می‌شوند که از جمله فلزات و شیشه‌های سیلیکا تشکیل شده است. این سنگ شیشه‌ای اساساً غیرسمی است و استانداردهای محیط‌زیست EPA را پاییند است. می‌توان فلزات را از این سنگ استخراج کرد و از سنگ می‌توان برای تولید محصولات جانبی دیگری مانند پشم سنگی، کاشی‌های سقفی، کاشی‌های کف، کاشی‌های سقفی، عایق و بلوک‌های محوطه‌سازی وغیره استفاده کرد. درنهایت، اجزای پسماند تجزیه و تحلیل می‌شوند، این فرآیند به تبدیل پسماند به انرژی حرارتی و شیمیایی منجر می‌شود که می‌تواند به تولید برق، گرما و مواد شیمیایی مورد استفاده در صنایع مختلف منتقل شود [۴].



شکل (۱): فرآیند پلاسما تک مرحله‌ای.

نام واکنش	گرمای واکنش (J/mol)	واکنش
انتقال آب-گاز	+2853	$\text{CO} + \text{H}_2\text{O} \longrightarrow \text{H}_2 + \text{CO}_2$
متانزایی	+250340	$\text{CO} + 3\text{H}_2 \longrightarrow \text{CH}_4 + \text{H}_2\text{O}$

جدول (۲): واکنش‌های گازها.

كمی متان و استیلن و اتیلن، است. این گازها در دستگاه‌های تولید انرژی سوزانده می‌شوند و انرژی آزادشده را برای تولید الکتریسیته به مصرف می‌رسانند. از جمله روش‌های دستیابی به جریان برق می‌تواند از دیگ بخار، توربین‌های بخار و توربین‌های گازی نام برد. باید توجه داشت که توربین به گاز تمیز با آلوگی پایین نیاز دارد، در حالی که دیگ بخار می‌تواند از گاز آلوده نیز استفاده کند و در مقایسه با سایر گزینه‌ها، هزینه آن کمتر است. سرانجام، محصولات اکسایش گاز سنتز به شکل کربن‌دی‌اکسید، نیتروژن و بخارآب وارد جو می‌شوند. گازهای رهاسده در جو آلاینده نیستند و اثر گلخانه‌ای ندارند. جز تولید الکتریسیته، می‌توان به انواع سوخت‌های مایع از جمله اتانول و متانول به عنوان محصول فرعی دست یافت.

۵-۲-۵- مدیریت فازهای جامد

در اثر تبدیل پسماند به انرژی با استفاده از پلاسما، قسمتی از پسماند به شکل جامد می‌ماند. این جامدات می‌توانند مورد استفاده در ساخت مواد مفیدی مانند سیمان، مواد ساختمانی، یا کامپوزیت‌ها قرار گیرند. یکی دیگر از محصولات راکتور، توده شیشه‌ای مانندی است که از قسمت انتهایی راکتور خارج می‌شود. برای افزایش پایداری این محصول که در ساخت‌وساز به عنوان مصالح مصرف می‌شود، می‌توان به راکتور سنگ آهک اضافه کرد، چراکه سنگ آهک، باعث ایجاد پیوندهای شیمیایی بین مواد معدنی موجود در توده می‌شود. بنابر گزارش‌های رسمی، این محصول کاملاً خنثی است و خطری ندارد، توانایی نفوذ به لایه‌های زمین و درنتیجه آلوده کردن آبهای زیرزمینی را نیز ندارد [۶].

۶-۲-۱- پالایش گاز خروجی

گاز سنتز تولیدشده می‌تواند حاوی ترکیبات ناخواسته از جمله خاکستر کربن، فلزات قلایی، ترکیبات فلزات سنگین، هالوژن‌ها و سولفورهای باشد. به همین دلیل، عملیات پالایش ضروری است. قابل توجه است که دستگاه‌های گازسازی در مقایسه با دستگاه‌های احتراقی، اکسیدهای کمتری تولید می‌کنند. از این‌رو گاز خروجی به مراتب تمیزتر خواهد بود. بعد از خروج گاز سنتز از بالای راکتور، ابتدا گرمای آن در مجاورت با یک محیط سرد، گرفته می‌شود. سپس با عبور از تجهیزات تصفیه گاز، پاکسازی می‌شود. مبنای کار سیکلون، جدا کردن ذرات جامد ناشی از سنگین‌تر بودن نسبت به ذرات گاز است. الکتروسافی‌ها نیز دارای صفحاتی‌اند که میدان مغناطیسی برقرار می‌کند و ذرات بسته به نوع بار صفحات به سمت آنها روبوده می‌شوند، این در حالی است که مولکول‌های گاز سنتز خنثی هستند و بدون انحراف به مسیر خود ادامه

۲-۲-۱- بخش‌های پلاسما تک مرحله‌ای

۲-۲-۲- جمع‌آوری و حمل پسماند

این مرحله در بداهه فرآیند تبدیل پسماند به انرژی قرار دارد. پسماند از منازل، صنایع، یا سایر منابع جمع‌آوری و به محل واحد پردازشی حمل می‌شود.

۲-۲-۳- آماده‌سازی پسماند

پسماند جمع‌آوری شده باید در مرحله آماده‌سازی به صورتی پردازش شود تا برای ورود به واحد پلاسمایی آماده باشد. این مرحله شامل جداسازی اجزاء غیرقابل احتراق، تصفیه پسماند و کاهش حجم پسماند می‌شود.

۳-۲-۱- ورود به واحد پلاسمایی

پسماند آماده‌شده وارد واحد پلاسمایی می‌شود که شامل یک محیط پلاسمایی با دماهای بسیار بالا است. در فناوری گازسازی پلاسما، دما بسیار بالاست و محیط در شرایط کمبود اکسیژن قرار دارد. برای رسیدن به این دما، از تورج‌های استفاده می‌شود که توانایی ایجاد پلاسما در دماهای بالا را دارند و این تورج‌ها نیاز به طراحی و ساخت با دقت بالا دارند. این عامل منجر به تجزیه کامل مواد به مولکول‌های ساده‌تر می‌شود. ترکیبات عالی به گاز سنتز تبدیل می‌شود. گاز سنتز غالباً از هیدروژن و کربن‌مونوکسید تشکیل شده است. ترکیبات معدنی ذوب و به خاکستر شیشه‌ای مانند متراکم غیرفعال و غیرقابل نفوذ تبدیل می‌شوند. ترکیب گاز سنتز وابسته به ترکیب خوراک ورودی است. گاز سنتز شامل ۷۰ درصد هیدروژن و کربن‌مونوکسید است. ۳۰ درصد دیگر نیتروژن و کربن‌دی‌اکسید است. کلر موجود به اسید کلریدریک، گوگرد به هیدروژن سولفید تبدیل می‌شود. این گاز دارای انرژی گرمایی بسیار زیادی است که از آن می‌توان برای تولید گرم و الکتریسیته استفاده کرد. همچنین به عنوان ماده اولیه صنایع نیز مصرف می‌شود. در جدول ۱ واکنش‌های بین کربن موجود در پسماند جامد با گازهای حاضر در محیط درج شده‌اند. در جدول (۲) واکنش گازهای موجود در راکتور با یکدیگر درج شده است [۵].

۴-۲-۲- تبدیل به انرژی

در محیط پلاسمایی، پسماند به دماهای بالا گرمای می‌گیرد و تجزیه می‌شود. این فرآیند منجر به تولید انرژی حرارتی می‌شود. این انرژی حرارتی می‌تواند به تولید بخار و تولید برق از طریق ژنراتورها منتقل شود. گاز سنتز تولیدشده، شامل هیدروژن، کربن‌مونوکسید، نیتروژن و مقادیر

می‌دهند. برای مواد معلق به جامانده نیز تمهیداتی باید اندیشیده شود. معمولاً سامانه گازشوی مرتبط، از قابلیت جذب و حذف مواد عالی و گازهای اسیدی برخوردار است. کنترل PH در گازشوی مرتبط با تزریق سود سوزآور یا آهک انجام می‌شود. سرانجام گاز خروجی از گازشوی مرتبط باید خشک و رطوبت آن گرفته شود تا برای تولید انرژی به کار آید [۷].

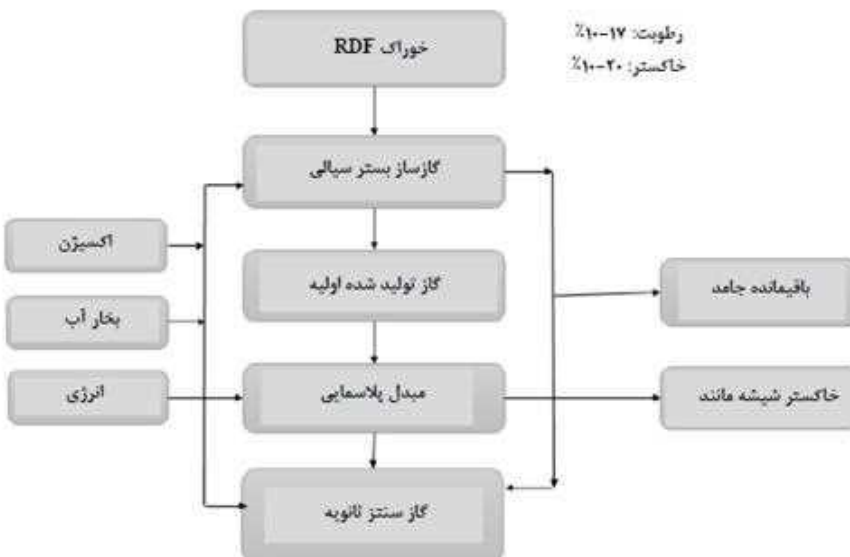
۷-۲-۲- کنترل و مانیتورینگ

در طول فرآیند تبدیل پسماند به انرژی با استفاده از پلاسما، مانیتورینگ دقیق و کنترل فرآیند از اهمیت بالایی برخوردار است. سیستم‌های کنترل بهمنظور حفظ شرایط بهینه پلاسما و بهره‌برداری بهینه از انرژی تعبیه می‌شوند. مشعل‌ها بر اثر مجاورت با محیط دمای بالا باید همواره بهوسیله آب، خنک شوند. حتی با وجود آب خنک کن مشعل‌ها به علت خودگی شدید مرتباً باید تعویض شوند [۸].

۳-۲- فرآیند پلاسما دومرحله‌ای

دستگاه‌های حذف زباله بر مبنای قوس پلاسما، شار گرمایی زیادی تولید می‌کند که به کاهش حجم مواد ورودی و غیرفعال‌سازی آلودگی‌های معدنی و تولید انرژی می‌انجامد. فرآیند می‌تواند در آرایش‌های یک یا دومرحله‌ای اجرا شود. در آرایش یک مرحله‌ای، انرژی موردنیاز فقط برای تجزیه از پلاسما تأمین می‌شود. آرایش‌های دو مرحله‌ای پیچیده‌تر هستند. مرحله اول یک گاز ساز رایج در صنایع است و در مرحله دوم از قوس پلاسما استفاده می‌شود. شرکت پلاسکو انرژی در کانادا و ای‌پی در انگلیس در این فناوری پیشناز هستند. استفاده از دو مرحله، ظرفیت پذیرش خوراک را بالا می‌برد. همچنین، گفته شده کنترل ترکیبات آلی فرار و قیر موجود در گاز سنتز نیز ارتفاعه است. به طورکلی تولید گاز در فرآیند یک مرحله‌ای، به انرژی الکتریکی بیشتری نیاز دارد. فرآیند یک مرحله‌ای برای حجم کم پسماندهایی که پردازش آن‌ها دشوار است (از جمله زباله‌های بیمارستانی و خطرناک) مناسب‌تر است و فرآیند دو مرحله‌ای برای جریان‌های ورودی با دبی زیاد، مناسب‌تر است.

فرآیند دومرحله‌ای که در شکل ۲ مشاهده می‌شود و گروه ای‌پی‌ان را طراحی کرده و ساخته، دارای دو مرحله کلیدی است: گاز ساز بستر سیالی و مبدل پلاسما. مراحل دیگر که شامل آماده‌سازی سوخت، پاک‌سازی گاز و تولید انرژی است، قبلاً به طور کامل تشریح شده‌اند. فرآیندهای وابسته به دما دارای فشار منفی اندک است [۹].



شکل (۲): فرآیند پلاسما دومرحله‌ای.

۴-۲- محیط‌زیست پلاسما

در فرآیند تبدیل پسماند به انرژی با استفاده از پلاسما، ممکن است مقداری گازهای گلخانه‌ای انتشار یابد. این گازها معمولاً به دلیل دما و شرایط فرآیند پلاسما می‌شوند. گازهای گلخانه‌ای احتمالاً شامل عناصری مانند دی‌اکسید کربن (CO_2), اکسید نیتروژن (NO_x) و متان (CH_4) می‌شوند. در جدول ۳ مقدار برخی از آلینده‌های توسعه از منابع مختلف انرژی به وجود می‌آید را بررسی کردیم.

Lb/MWh	Coal	Oil	Natural Gas	Waste to Energy
CO_2 out	2.249	1.672	1.135	0.837
Sulfur dioxide	13	12	0.1	1.7
Nitrogen Oxides	6	4	1.7	5.4

جدول (۳): آلینده‌های توسعه از منابع مختلف سوخت.

مهندسان برای کاهش تأثیرات زیست محیطی و کنترل انتشار گازهای گلخانه‌ای، تحقیقات بهینه‌سازی فرآیند پلاسمای استفاده از تکنیک‌های مختلف از جمله سیستم‌های کنترل انتشار گازها (Flue Gas Cleaning) را در نظر می‌گیرند. این سیستم‌ها می‌توانند به جذب و حذف بیشتر گازهای زائد کمک کنند و از طریق فرآیندهای تصفیه گازها، انتشارات گازهای گلخانه‌ای را به حداقل برسانند. در جدول (۴) موارد مختلفی از این سیستم‌ها قابل مشاهده است [۱۰].

تکنولوژی	کنترل آلاینده‌ها
جدازی اینرسی، سیستم فیلتر کیسه‌ای، تصفیه کننده‌ها، جدازی الکترواستاتیک (ESP)	ماده ذرات معلق و ائروسل‌ها
فیلترهای کربن (با تقطیر و تشکیل ذرات معلق و ائروسل‌ها و استفاده از تکنیک‌های جدازی ذرات معلق)	فلزات تنظیریدر
محدود کردن ورود کلر به مواد اولیه، خنکسازی سرد و/یا سوزاندن حرارتی/کاتالیتیک	دیوکسین/فوران‌ها
طراحی فرآیند، سوزاندن کاتالیتیک/حرارتی، بازسوزی، فیلترهای کربن	کربن مونواکسید و گازهای هیدروکربن
کنترل دمای شعله/سوزانندهای کم NOx، مدیریت نیتروژن سوخت، کاهش انتخابی اکسیدهای نیتروژن، تزریق آب، بازسوزی محدودیت ورود جرم گوگرد، تصفیه کننده	اکسیدهای نیتروژن (NOx)-
تصفیه کننده	اکسیدهای گوگرد (SOx)
جدول (۴): سیستم‌های مختلف کنترل آلاینده‌ها.	گازهای اسیدی

برای بررسی میزان آسیب تکنولوژی پلاسمای به محیط‌زیست شاخص‌های زیست محیطی جدول ۵ را دریکی از مراکز صنعتی پلاسمای بررسی کردیم و نتایج آن را در جدول ۶ می‌توان مشاهده کرد.

ضریب تاثیر	واحد
(ADP elements,fossil) پتانسیل تقلیل غیرزیستی	kg Sb-equiv.;MJ
(AP) پتانسیل اسیدی شدن	.equiv-kg SO₂
(EP) پتانسیل مردابی شدن	.equiv-kg PO₄
(GWP) پتانسیل گرمایش جهانی	.equiv-kg CO₂
(FAETP) پتانسیل سمیت زیست محیطی آب شیرین	.kg DCB-equiv
(HTP) پتانسیل سمیت انسانی	.kg DCB-equiv
(MAETP) پتانسیل سمیت زیست محیطی آبیاری	.kg DCB-equiv
(ODP) پتانسیل تخریب لایه اوزون	.equiv-kg R11
(POCP) پتانسیل ایجاد اوزون فتوشیمیایی	.kg ethene-equiv
(TETP) پتانسیل سمیت زیست محیطی زمینی	.kg DCB-equiv

جدول (۵): شاخص‌های زیست محیطی و واحدهای آن.

ضریب تاثیر	واحد
(AD _{Pelements}) پتانسیل تقلیل غیرزیستی	-1.62*10 ⁻⁵ kg Sb eq.
(AD _{fossil}) پتانسیل تقلیل غیرزیستی	-382 MJ
(AP) پتانسیل اسیدی شدن	-39.7*10 ⁻² kg SO ₂ eq.
(EP) پتانسیل مردابی شدن	-1.55*10 ³ kg PO ₄ -3 eq.
(GWP) پتانسیل گرمایش جهانی	-31 kg CO ₂ eq.
(FAETP) پتانسیل سمیت زیست محیطی آب شیرین	-6.41*10 ⁻² kg DCB-eq.
(HTP) پتانسیل سمیت انسانی	-14.7 kg DCB-eq.
(MAETP) پتانسیل سمیت زیست محیطی آبیاری	-2.14*10 ⁵ kg DCB-eq.
(ODP) پتانسیل تخریب لایه اوزون	-2.13*10 ⁻⁸ kg R11 eq.
(POCP) پتانسیل ایجاد اوزون فتوشیمیایی	-2.23*10 ⁻² kg ethene eq.
(TETP) پتانسیل سمیت زیست محیطی زمینی	-2.95*10 ⁻² kg DCB-eq.

جدول (۶): نتایج شاخص‌های زیست محیطی در یک مرکز پلاسمای

در بخش اقتصادی ما اول باید بررسی کنیم یک واحد پلاسمایی چه مقدار درآمد و چه مقدار هزینه دارد، میزان درآمد واحد پلاسمایی رابطه مستقیم به نوع پسماند و میزان انرژی پسماند در هر واحد پلاسمایی دارد، با توجه به اینکه نرخ تولید پسماند و ترکیبات پسماند تولیدی در مناطق مختلف جهان متفاوت است و این موضوع به میزان درآمد و فرهنگ ... مردم در هر منطقه بستگی دارد و این مورد باید بررسی شود. به صورت میانگین هر یک کیلو پسماند جامد شهری، ۱۰-۹ کیلوژول انرژی دارد و با توجه به تکنولوژی‌های موجود، پلاسما می‌تواند فقط نصف این مقدار را به انرژی تبدیل کند. همچنین توجه ها ۱۲۰-۱۰۰ کیلووات/ ساعت انرژی مصرف می‌کنند. هزینه ساخت و راهاندازی نیروگاه و راکتور پلاسما ۵۰ مگاواتی (ظرفیت ۲۰ تن زباله در روز) ۴ میلیون دلار است. در جداول (۷ و ۸) اقتصاد کارخانه‌های مختلف پلاسما، شامل کلیه هزینه‌ها و کلیه درآمدها آورده شده است [۱۱].

Alter NRG expenses \$/ton		Alter NRG revenues \$/ton	
Personnel	10	Gate fee	65
Other operating costs	32	Electricity to grid	61.7
operating costs Total	42	Metal recovery	2.47
		Renewable credit	0.55
charges and all other Capital	81		
costs Total	123	Total revenue at start up	129.72

جدول (۷): اقتصاد کارخانه Alter NRG/WPC

Plasma plant expenses \$/ton		Plasma plant revenues \$/ton	
cost Labor	10	Gate fee	65
Other operating costs	43	Electricity to grid	45
operating costs Total	53	Metal recovery	2.47
		REC	0.55
charges and all other Capital	76/8		
costs Total	130	Total revenue at start up	113.02

جدول (۸): اقتصاد کارخانه InEnTec

Plasco plant expenses \$/ton		Plasco plant revenues \$/ton	
cost Labor	10	Gate fee	65
Other operating costs	43	Electricity to grid	53.3
operating costs Total	53	Metal recovery	2.47
		Renewable credit	0.55
charges and all other Capital	96		
Total costs	149	Total revenue at start up	118.85

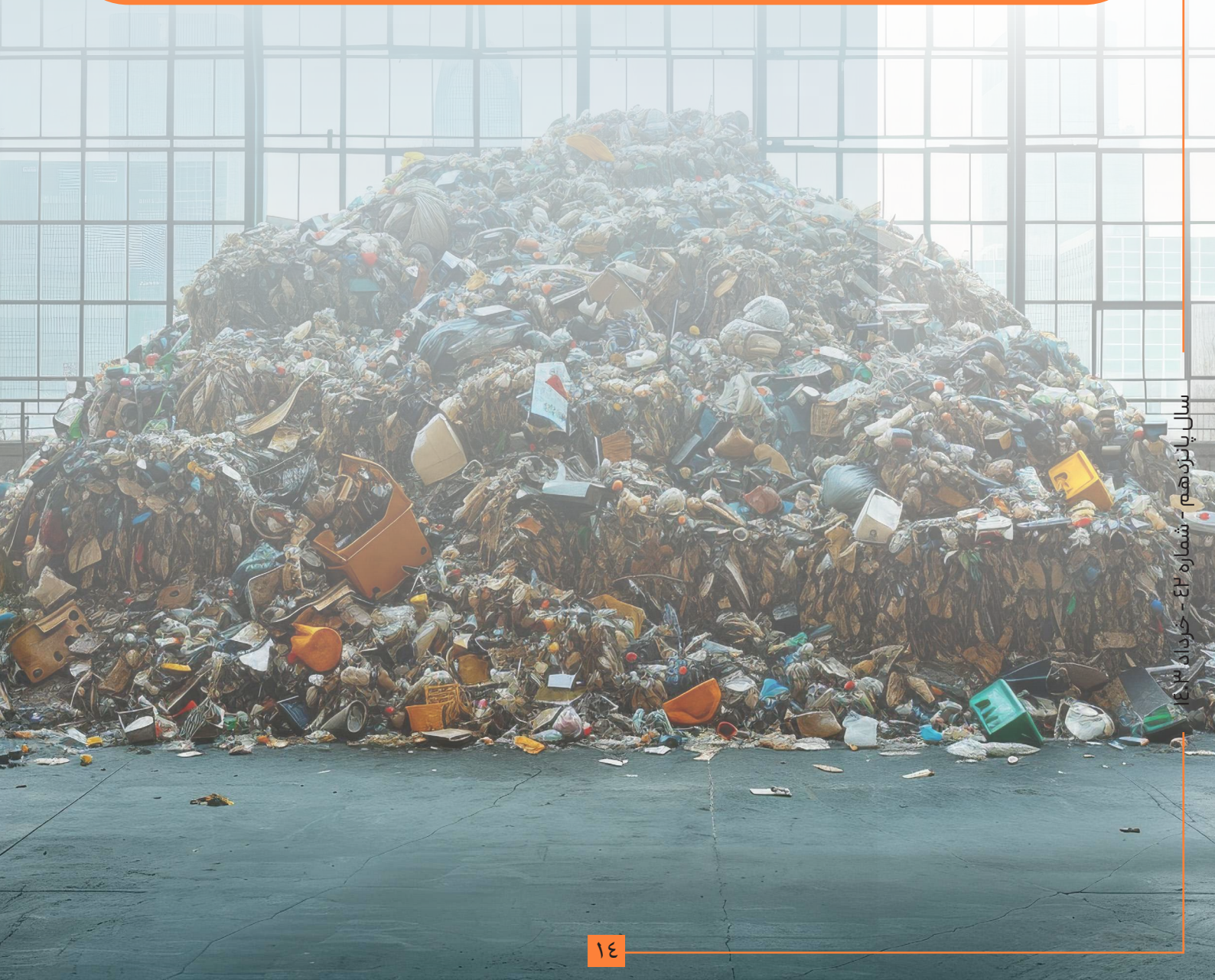
جدول (۹): اقتصاد کارخانه

۶- نتیجه‌گیری

از نظر فنی طراحی و ساخت راکتور پلاسما کار ساده‌ای نیست و نیاز به تجهیزات و تخصص کافی دارد و این امکان برای هر کشوری فراهم نیست. از نظر زیست محیطی بسیار کارآمد خواهد بود زیرا آلاینده‌های تولید و پسماند به جامانده در انتهای فرآیند استانداردهای EPA را دارند. از نظر اقتصادی هم در مقیاس کم ترجیح ندارد و در مقیاس زیاد می‌تواند اقتصادی هم باشد باید در نظر داشته باشیم که ساخت و راه اندازی آن نیاز به هزینه اولیه زیادی دارد و اگر بتوان در ساخت تورچ‌ها از تکنولوژی‌ها نوین برای کاهش مصرف انرژی استفاده کرد می‌تواند اقتصاد پلاسما را بهبود بخشد. در انتهای هم بخواهیم تمام موارد را جمع‌بندی کنیم اگر در شرایطی که بعد محیط‌زیستی (مثل زباله‌های خطرناک و سمی) و یا نبود فضای کافی برای دفن پسماند برای ما اهمیت زیادی داشته باشد راه اندازی سیستم پلاسما بهترین راه حل خواهد بود.



جهت مشاهده منابع این مقاله، اسکن کنید:



بررسی اثرات تغییر اقلیم بر کیفیت آب مخزن سدها

حایه مهرشاد

دکتری مهندسی محیط‌پزیست، آب و فاضلاب دانشگاه شهید بهشتی / ورودی ۱۴۰۱

haniyeh9mehrshad@gmail.com



چکیده

پدیده تغییر اقلیم یکی از مباحث مطرح در گستره علوم مرتبط با محیط‌پزیست است. افزایش فزاینده گازهای گلخانه‌ای در چند دهه اخیر، تعادل اقلیمی را در کره زمین دچار تغییراتی کرده است. افزایش شاخص‌های بیشینه آب‌هواشناسی، کاهش پوشش یخ، بالا آمدن سطح دریاها و تغییر سیستم‌های بیوژئوفیزیکی از شواهد مختلف تغییر اقلیم در سراسر جهان هستند که به چشم می‌خورد. همچنین سیل‌ها و خشکسالی‌ها اثرات مهم و تغییر اقلیم بر روی موجودیت آب هستند. در کنار مفهوم جهانی تغییر کاربری اراضی، جنگل‌زدایی، پراکندگی و گسترش شهری و عایق‌بندی و ضدآب کردن منطقه نیز ممکن است منجر به تنزل کیفیت آب شود. ولی بیشتر، آلودگی آب مستقیماً در ارتباط با فعالیت‌های شهری، صنعتی و کشاورزی انسان‌هاست و تغییر اقلیم می‌تواند منجر به تنزل کیفیت ذخایر آبی به عنوان یک نتیجه غیرمستقیم این گونه فعالیت‌ها باشد. تغییرات در پارامترهای اقلیمی سبب شده است تا فاکتورهای هیدرولوژیکی حوضه‌های آبخیز تحت تأثیر قرار گرفته و این پدیده بر روی کمیت و کیفیت منابع آب سطحی همچون دریاچه‌ها، آبگیرها و مخازن سدها تأثیرگذارد. ارزیابی تأثیر تغییر اقلیم بر منابع آب یک فعالیت اساسی است، زیرا ما آب را به عنوان یک ماده اولیه استراتژیک در نظر می‌گیریم. مخازن سدها به منظور تأمین آب شرب، کشاورزی، صنعت، کنترل سیلاب، تنظیم دبی رودخانه‌ها، تغذیه مصنوعی سفره‌های آب زیرزمینی، گردش و تفریح و بسیاری از موارد دیگر مورد استفاده قرار می‌گیرد. با توجه به موارد ذکر شده و در نظر گرفتن بحران کمبود آب در ایران، ضروری است که اثرات و پیامدهای تغییرات اقلیم بر کمیت و کیفیت منابع آب به صورت جدی مورد بررسی قرار گیرد. پیش‌بینی و بررسی تغییرات کیفی و کمی منابع آب در سال‌های آتی می‌تواند مشکلاتی همچون سیلاب‌های ناگهانی، خشکسالی، تبخیر زیاد و کاهش کیفیت منابع آب و مشکلاتی از این دست را حل کند.

کلمه کلیدی: تغییر اقلیم، محیط‌پزیست، ذخایر آبی، گازهای گلخانه‌ای

۱- مقدمه

حجم آب‌های موجود در کره زمین، رقمی در حدود ۱۳۶۰ میلیون

کیلومتر مکعب برآورده شده است. از این میزان به صورت تقریبی سهم آب‌های شیرین موجود در رودها، دریاچه‌ها و دریاها ۲۵۰ هزار کیلومتر مکعب یا به عبارت دیگر تنها دوصدم درصد است. به علاوه این مقدار کم نیز در تمام کشورها به صورت یکنواخت توزیع نشده است. از دیرین تا به امروز نقش حیاتی آب نه تنها در زندگی فردی انسان‌ها، بلکه در زمینه‌های گسترش اجتماعی، اقتصادی و فرهنگی جوامع بر همگان آشکارشده است. محدودیت منابع آبی در کنار نیاز ضروری به این ماده حیاتی اهمیت مدیریت و برنامه‌ریزی منابع آبی را چندین برابر نموده است [۱]. رشد و توسعه صنایع و کارخانه‌ها از یک طرف و تخریب محیط زیست از سوی دیگر منجر به افزایش روزافزون گازهای گلخانه‌ای در سطح کره زمین طی دهه‌های اخیر شده است. افزایش شاخص‌های بیشینه آب‌هواشناسی، کاهش پوشش یخ، بالا آمدن سطح دریاها و تغییر سیستم‌های بیوژئوفیزیکی از شواهد مختلف تغییر اقلیم در سراسر جهان هستند که به چشم می‌خورد [۲، ۳]. بیشتر کشورهای جهان بر پایه آمار سازمان شورای جهانی آب تا سال ۲۰۵۰ میلادی برای تأمین آب شرب با مشکل مواجه خواهند شد. به علاوه گرمایش زمین و تغییرات جوی برای کشورهای دارای منابع آبی ثروتمند نیز تهدیدی بزرگ به شمار می‌آید [۴]. کشور ایران که در ناحیه آب‌هوایی خشک و نیمه خشک جهان قرار دارد؛ تغییرات بارندگی و وقوع خشکسالی از ویژگی‌های اجتناب ناپذیر و زیان بار اقلیمی آن محسوب می‌شود [۵]. شناخت میزان و عوامل این تغییرپذیری، نقش قابل توجهی در پیش‌بینی‌ها و برنامه ریزی‌های دقیق اقتصادی و محیطی دارد. بررسی‌های مرتبه به مستله تغییر اقلیم، نشان دهنده بروز افزایش در میانگین دمای هوا و پهنه‌های آبی، ذوب یخ و برف و افزایش میانگین جهانی سطح آب می‌باشد [۶]. به منظور مدیریت کیفیت آب در مخازن سدها، شناخت پدیده‌هایی که در آن رخ می‌دهد ضروری است زیرا سدها از مهم‌ترین سازه‌های تأمین کننده آب آشامیدنی می‌باشند و افزون بر این ایجاد یک سد به توسعه و پیشرفت شهرنشینی، کشاورزی و صنعت بالادست سد منجر می‌شود که احتمال آلودگی، کاهش کیفیت آب را افزایش می‌دهد. همچنین عوامل انسانی عامل مهمی بر کیفیت آب دریاچه‌ها و سدها به طور گسترده شناخته شده است. تغییرات اقلیمی به صورت مستقیم در توزیع دمای دریاچه و سد، بار مغذی، وضعیت شیمیایی آب و فراوانی فیتوپلانگتون‌ها

را به دنبال دارد و از جهت رابطه قوی بین رژیم حرارتی، تغذیه گرایی و غلظت اکسیژن محلول در شناسایی کیفیت آب برقرار است.

۱-۳- ضرورت و اهمیت پژوهش

ارزیابی و پیش‌بینی تغییرات بخش‌های مختلف محیط زیست مانند کشاورزی، هوا و مدیریت منابع آبی در اثر تغییر اقلیم و گرمایش جهانی اهمیت بسیاری دارد. پدیده تغییر اقلیم بر تمامی مؤلفه‌های هواشناسی و هیدرولوژیکی و همچنین کیفیت آب، به ویژه در مناطق خشک و نیمه خشک مانند کشور ایران تأثیرگذار است. گرم شدن هوای برآمده از تغییر اقلیم به صورت مستقیم یا غیرمستقیم، بر کیفیت منابع آبی تأثیر می‌گذارد. از جمله این اثرات می‌توان به تغییر در چرخه مواد مغذی در سیستم‌های آبی و شکوفایی جلبک‌ها، انتشار پاتوژن‌ها در آب و وقوع شرایط باکتریولوژیکی، افزایش تکثیر باکتری‌های معدنی کننده نیتروژن و کنترل کننده‌های فرآیند نیتریفیکاسیون در خاک، کاهش تشکیل شدن بخ و افزایش مقدار کلروفیل به دلیل افزایش تعداد فیتوپلانگتون‌ها نام برد [۸, ۱۳, ۱۴]. با تغییر الگو بارش و دما در آینده، میزان رواناب ورودی از حوضه آبریز به مخزن سد نیز دچار تغییراتی می‌شود. به عنوان مثال در زمان و شرایط پرآبی، میزان بار مواد مغذی بیشتری به همراه رواناب وارد مخزن می‌شود که شرایط تغذیه گرایی در مخزن را بحرانی تر می‌کند. در یک جمع‌بندی، پیش‌بینی می‌شود با توجه به اثر تغییر اقلیم که با تغییر در پدیده الگوی بارش و افزایش دما همراه خواهد بود، شرایط تغذیه گرایی و الگو لایه‌بندی حرارتی در مخزن سد تغییر یابد که این موارد، کیفیت آب را در مخزن سد تحت تأثیر قرار خواهد داد. با توجه به موارد ذکر شده و در نظر گرفتن بحران کمبود آب در ایران، ضروری است که اثرات و پیامدهای تغییرات اقلیم بر کیفیت و کیفیت منابع آب به صورت جدی مورد بررسی قرار گیرد. پیش‌بینی و بررسی تغییرات کیفی و کمی منابع آب در سال‌های آتی می‌تواند مشکلاتی همچون سیلاب‌های ناگهانی، خشکسالی، تبخیر زیاد و کاهش کیفیت منابع آب و مشکلاتی از این دست را حل کند.

۲- ادبیات فنی موضوع

۲-۱- مقدمه

فرآیند گسترش صنایع و افزایش به کارگیری سوخت‌های فسیلی به طورکلی منجر به افزایش انتشار گازهای گلخانه‌ای شده است. افزایش این گازها منجر به افزایش دمای کره زمین می‌شود که به عنوان پدیده گرمایش زمین شناخته می‌شود. برای اطمینان از دسترسی به منابع آب، یکی از نیازمندی‌های اساسی بشر در طول تاریخ، مطالعات و تحقیقات گستردۀ در این زمینه انجام شده است. به همین علت، شناسایی تأثیرات تغییرات اقلیمی بر کیفیت آب، گام اصلی در مدیریت و بهره‌برداری منابع آب شناخته شده است. در این فصل، ابتدا به تعاریف و مبانی تئوری اصلی پرداخته می‌شود درنهایت، جمع‌بندی این مطالعات ارائه می‌شود.

۲-۲- مفهوم اقلیم و تغییرات آن

اقلیم^۱، شرایط جوی حاکم یک ناحیه طی یک دوره زمانی درازمدت

اثر می‌گذارد [۷]. به دلیل تأثیرات مستقیمی که تغییرات آب و هوایی بر روی دریاچه‌ها و سدها می‌گذارند، اندازه گیری میزان حساسیت آنها از تغییرات احتمالی آب و هوای اطلاعاتی را برای ارزیابی کیفیت آب، منابع آب و اکوسیستم‌های آبی در آینده ارائه می‌دهد [۸]. مشاهدات نشان می‌دهد که افزایش دمای آب دریاچه‌ها و مخازن برآمده از تغییرات آب و هوایی است. عدم توجه به این اثرات زیست محیطی در مخازن، منجر به اثرات نامطلوبی بر محیط زیست منطقه می‌شود. ایجاد شرایط نامطلوب بر اکسیژن محلول، پدیده تغذیه گرایی و لایه بندی حرارتی مخزن از تأثیرات نامطلوب تغییر اقلیم می‌باشد [۶].

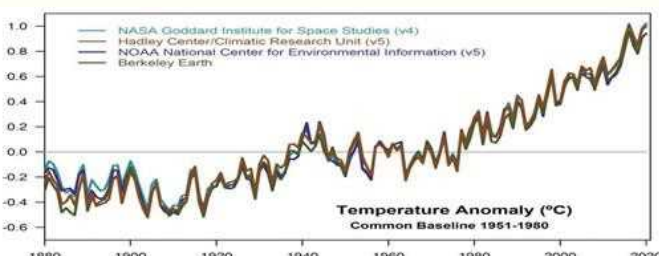
۱-۲- تعریف مسئله

اقلیم کره زمین در طول تاریخ همواره در حال تغییر بوده، اما با توجه به صنعتی شدن، تغییرات اقلیمی افزایش پیداکرده است. این شرایط به طور عمده به دلیل افزایش انتشار گازهای گلخانه‌ای، جنگل زدایی و بیابان زایی، شهرنشینی و غیره است [۹]. مهم‌ترین شاخص برای سنجش کیفیت آب، وضعیت دمایی آن است، زیرا که نقش مهمی در کنترل سایر متغیرها و پارامترهای کیفی دارد، دما به طورکلی کنترل کننده بسیاری از فرآیندهای بوم شناختی و شیمیایی در دریاچه‌ها، مخازن و رودخانه‌ها است. مخازن و دریاچه‌ها از در دسته منابع آب سطحی هستند که به دلیل جریان انتقالی آرام موجود در این منابع، پدیده لایه بندی حرارتی در این نوع بدنی‌های آبی بسیار متداول و شایع است. در مدل‌های کیفی هم از نظر تأثیرپذیری مستقیم دما بر سرعت واکنش‌های شیمیایی و هم از نظر تعادل گرمایی و اختلاط در پیکره‌های آبی شیرین نیز حائز اهمیت است [۱۰]. یکی از عوامل مهم دیگر که برای حیات همه آبیان ساکن در پیکره آبی اکسیژن محلول است. افزایش مواد مغذی مانند نیتروژن و فسفر موجود در آب علاوه بر تقویت رشد جلبک و سایر گیاهان در دریاچه، منجر به پدیده تغذیه گرایی می‌شود. با افزایش گیاهان آبزی و جلبک، مقدار اکسیژن در کف دریاچه کاهش می‌یابد که زیستگاه آبیان از جمله ماهی‌ها را که برای زندگاندن به اکسیژن نیاز دارند، تهدید می‌کند [۱۱]. تحقیقات و بررسی بر روی مباحثت کیفی منابع آب از اواسط دهه ۱۹۶۰ موردنموده دانشمندان بوده است. محققین باه کارگیری مدل ریاضی و بافرضیات ساده کننده ای شرایط واقعی، می‌توانند کیفیت آب را تخمین بزنند. از آنجا که مدل‌های ریاضی بسیار پیچیده است، ارائه روش‌های دقیق تحلیلی به کمک مدل‌های ریاضی بسیار دشوار یا غیرممکن خواهد بود. به این دلیل مدل سازی عددی از مجموعه‌های روش‌های حل تقریبی مدل ریاضی تشکیل شده است که کاربرد گسترده تری در حل مسائل واقعی پیداکرده است. به علت پیچیدگی روابط حاکم بین پارامترهای کیفی و کمی در مدل‌های عددی درزمنه مطالعات کیفی و کمی منابع آب، هزینه کمتر نرم افزارهای مدل سازی که بر پایه معادلات عددی و قابلیت زیاد آنها در بخش تشخیص، ارزیابی، شبیه سازی و پیش‌بینی شرایط موجود و آینده، از این نرم افزارها به عنوان یک روش کارآمد و مناسب مورداستفاده محققین قرار می‌گیرد [۱۲]. لایه بندی حرارتی گاهی نیز منجر به افت فراوان کیفیت آب و تهدید حیات آبی اکوسیستم‌های موجود در دریاچه

طول چندین سال اخیر با تغییر در چرخه هیدرولوژیکی در مقیاس جهانی همراه بوده است. این تغییرات شامل افزایش میزان بخارآب جوی، تغییر الگوهای بارندگی، کاهش گستره پوشش برف و کاهش برف و افزایش ذوب یخچال‌های طبیعی و تغییر در رطوبت خاک و رواناب است. تغییر در الگوی بارندگی به معنی تغییر در توزیع مکانی و مقدار بارندگی است که وابسته به مناطق مطالعاتی روند تغییرات این الگو متفاوت است [۲۲]. بر اساس شواهد تغییر اقلیم در مقیاس جهانی بر ساختار محیط زیست، به طور خلاصه به موارد زیر دسته بندی کرد [۱۹].

تغییر بارش^۴: به طور میانگین در مناطق نیم کره شمالی نزدیک به مدار استوا، میزان بارش از سال ۱۹۵۱ با قطعیت بالا افزایش پیداکرده است. مشاهدات تغییرات در میزان شوری آب اقیانوس و دریاها نیز گواهی غیرمستقیم برای تغییر در چرخه آب جهانی ارائه می‌دهد. بر اساس مطالعات احتمال دارد که در آینده مناطقی با شوری زیاد و نرخ تبخیر سطحی قابل توجه، شورتر شود، در حالی که مناطق با شوری کم که میزان بارش قابل توجهی داشته‌اند، از دهه ۱۹۵۰ درصد شوری آنها کمتر شده است [۱۹].

افزایش دما: هر یک از ۳ دهه گذشته به طور متوالی گرم‌تر از دهه قبل از سال ۱۸۵۰ بوده است. دوره ۱۸۸۳ الی ۱۹۸۳ دوره ۲۰۱۲ الی ۲۰۱۶ دوره ۳۰ ساله ۱۴۰۰ سال گذشته می‌باشد. یک روند خطی دمای جهانی را دوره ۱۸۸۰ الی ۲۰۱۲ با متوسط افزایش ۰/۸۵ درجه سانتی گراد تخمین می‌زند. شکل ۲، تغییرات دمای سالانه دوره ۱۹۸۶ تا ۲۰۲۰ در سطح زمین که از میانگین گیری دمای سطح زمین و اقیانوس‌ها به دست آمده است [۱۹].



شکل (۲): روند تغییرات دمای سالانه در سطح زمین [۲۱]

افزایش خاصیت اسیدی اقیانوس‌ها: از ابتدای دوره صنعتی شدن جوامع، جذب گاز CO₂ در سطح اقیانوس‌ها منجر به اسیدی شدن آب سطح اقیانوس‌ها شده است. pH آب سطح اقیانوس به میزان ۰/۱ کاهش یافته است که برآمده از افزایش ۲۶ درصد خاصیت اسیدی آب اقیانوس است [۱۹].

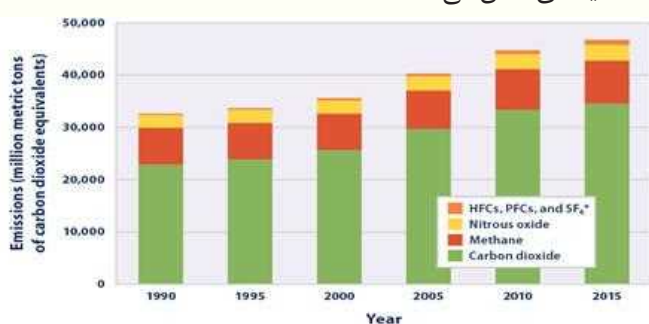
ذوب شدن یخچال‌های قطبی: در طول سال‌های ۱۹۹۲-۲۰۱۱، یخ‌های قطب جنوب و گرینلند پوشش برف در نیم کره شمالی در فصل بهار با کاهش چشمگیری رو به رو بوده است و این کاهش در طول سال‌های ۲۰۰۲ الی ۲۰۱۱ با سرعت بیشتری ادامه می‌یابد [۱۹].

بالا آمدن سطح آب دریاها: طول دوره سال‌های ۱۹۰۱ الی ۲۰۱۰، میانگین سطح دریاها در جهان ۰/۱۹ متر افزایش یافت. از اواسط قرن نوزدهم، میزان افزایش سطح دریاها در طول دو هزار سال گذشته بیشتر

(ماه‌ها تا میلیون سال) است اما آب و هوای^۵ یک حالت نوسانی از اتمسفر اطراف ما می‌باشد که به وسیله باد، دما، بارندگی، ابرها و دیگر المان‌های جوی در یک زمان نسبی کوتاه (چند ساعت تا یک هفته) و در میان ایستگاه‌های هواشناسی مشخص می‌شود. همان طور که در سازمان جهانی هواشناسی تعریف شده، دوره معمول میانگین گیری متغیرهای اقلیمی ۳۰ سال است. درواقع تفاوت اصلی این دو مفهوم در بعد زمانی بررسی رفتار جوی است [۱۸]. این تغییر و تحولات در مشخصه‌های اقلیمی عمده‌تر از اثر فعالیت‌های بشری ایجاد می‌شود. درنتیجه این عدم تعادل آب و هوای کره زمین، پایداری اکوسيستم‌های زمین، پایداری اقتصاد جهانی آینده بشر را در معرض تهدید قرار می‌دهد [۳]. از ابتدای دهه ۱۹۵۰، تغییرات شدیدی در اقلیم کره زمین ایجاد شد. تغییر در غلظت ذرات معلق، گازهای گلخانه‌ای، پوشش زمین و تابش خورشیدی از عوامل بر هم زدن تعادل سیستم اнерژی جو می‌باشد. تولید گازهای گلخانه‌ای جهانی با توجه به فعالیت‌های بشری برآمده از تولید صنعتی در حال افزایش است. شناخت هر چه بیشتر چگونگی رخدادهای اقلیمی با توجه به اهمیتی که تغییر اقلیم بر ساختار محیطی کره زمین و حیات دارد، ضرورتی است [۱۹].

۲-۳- علل تغییر اقلیم

نگرانی‌های تغییر و تحولات آب و هوایی جهانی برآمده از رشد صنایع و سوزاندن گازهای فسیلی و هر فعالیتی که باعث افزایش غلظت ذرات معلق و گازهای گلخانه‌ای در جو طی سال‌های اخیر افزایش یافته است. گازهای گلخانه‌ای به طور عمده نیتروژن دی اکسید (NO₂، دی اکسیدکربن (CO₂، متان (CH₄) و کلروفلوروکربن‌ها (CFC) هستند. این نوع گازها موجب بر هم زدن تعادل گرمایی زمین با محبوس کردن اشعه‌ها با طول موج‌های بلند خورشیدی در جو کره زمین می‌شود که این پدیده به طور محاوره‌ای تحت عنوان اثر گلخانه‌ای^۶ شناخته شده است. اثر گلخانه‌ای در سال ۱۹۸۸ پس از عبور سال‌های گرم‌ترین‌ظرفه نسبت به سال‌های پیش توجه زیادی را به خود جلب کرد [۲۰]. شکل ۱- میزان افزایش انتشار گازهای گلخانه‌ای میلادی نشان می‌دهد.



شکل (۱): میزان انتشار جهانی گازهای گلخانه‌ای میلادی نشان می‌دهد [۲۱]

۴- مشاهدات و اثرات تغییر اقلیم

گرم شدن کره زمین و افزایش انتشار گازهای گلخانه‌ای در

2 Weather

3 Greenhouse effect

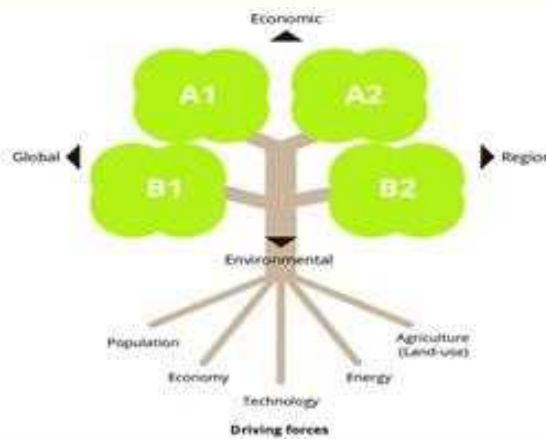
بوده است. متخصصان اقلیم از سالیان پیشین شروع به یافتن رابطه تعییرات حوادث حدی و تأثیرات انسانی و همچنین شناخت اثر تغییر این وقایع بر سیستم اقلیم جهانی کردند [۲۳]. تأثیر بر سیستم‌های هیدرولوژیکی از نظر کیفیت و کمیت بر منابع آب، جنبه‌های مختلف زندگی اکوسيستم‌های آبی و زندگی انسان می‌توان از زمینه آثار تغییر اقلیم شمارید.

۵-۲- سناریوهای اقلیمی و غیر اقلیمی (سناریوهای انتشار گازهای گلخانه‌ای)

هرگونه تغییر در مقدار غلظت گازهای گلخانه‌ای در جو کره زمین، باعث برهم خوردن تعادل بین اجزای سیستم، اقلیم کره زمین می‌گردد؛ اما اینکه چه مقدار از این گازها در آینده در اتمسفر زمین باقی می‌ماند و چه قدر خواهد شد و به تبع آن، چه شرایطی را برای سیستم اقلیم کره زمین رخ خواهد داد، قطعی و معین نیست؛ بنابراین متخصصان اقلیم با عدم قطعیت و احتمال، سناریوهایی را برای مطالعات و پیش‌بینی های اقلیم آینده ارائه می‌کنند. این سناریوها در دو قسمت سناریوهای اقلیمی و غیراقلیمی قابل تفکیک هستند که در ادامه شرح بیشتری از این سناریوها ارائه می‌شود [۲۴].

۵-۱- سناریوهای غیر اقلیمی^۰

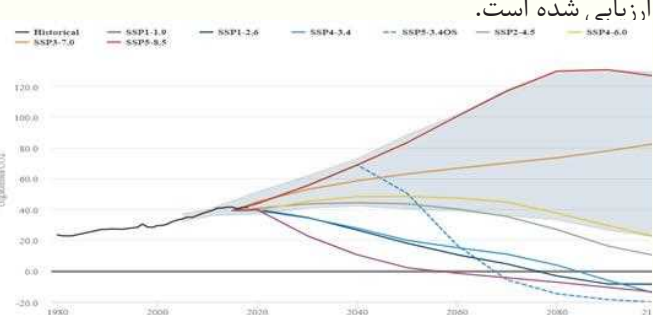
از عوامل اصلی افزایش گازهای گلخانه‌ای می‌توان به افزایش فعالیت‌های اقتصادی جامعه و متعاقب آن رشد کارخانه‌ها و صنایع و تغییرات کاربری اراضی نام برد. از این رو برای برآورد میزان انتشار گازهای گلخانه‌ای در دوره آینده، نیاز است تا در ابتدا وضعیت اجتماعی و اقتصادی کره زمین در سال‌های آتی بررسی گردد. به طورکلی یک سناریوی غیراقلیمی حاوی اطلاعاتی از وضعیت اجتماعی، اقتصادی و میزان انتشار گازهای گلخانه‌ای در جو کره زمین است که همچنین به آن سناریو انتشار^۶ گفته می‌شود. هیئت بین‌الدول تغییر اقلیم وظیفه شناخت تمام جنبه‌های پدیده تغییر اقلیم در ابعاد جهانی است و سری اولیه سناریوهای انتشار را در سال ۱۹۹۲ میلادی با نام IS92 منتشر کرده است. در تمامی این سناریوها میزان گازهای گلخانه‌ای با نرخ ثابت تا سال ۲۱۰۰ افزایش یافته است [۲۵]. در سال ۱۹۹۶ میلادی، IPCC^۷ سناریوهای انتشار را برای به روزرسانی و جایگزین کردن سناریوهای IS92 با نام^۸ SRES ارائه کرد. روی هم رفته ۴ سناریو مختلف SRES که دربرگیرنده طیف وسیعی از تغییرات رشد بشر در آینده، عوامل اقتصادی و تکنولوژیکی مؤثر بر انتشار گازهای گلخانه‌ای و ذرات معلق است. شکل ۳ وضعیت ۴ گروه از سناریوهای SRES را نشان می‌دهد [۲۵].



شکل (۳): شماتیک وضعیت گروه‌های سناریو [۲۶]SRES

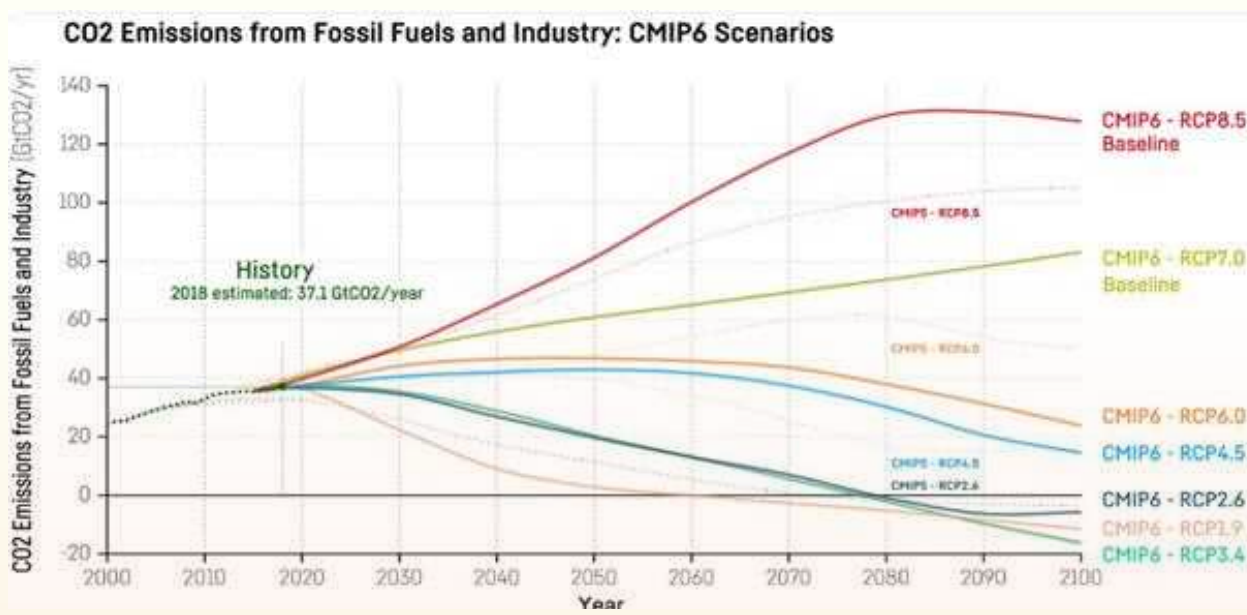
۵-۱-۱- SSP

مدل‌های آب و هوایی یکی از اصلی ترین ابزارهایی است که دانشمندان می‌توانند تشخیص بدene چگونه آب و هوای درگذشته تغییر کرده و ممکن است در آینده تغییر کند. این مدل‌ها به طور مکرر در حال به روز شدن هستند، زیرا گروه‌های مختلف مدل سازی در سراسر جهان از وضوح مکانی بالاتر، چرخه‌های بیوشیمیایی و فرایندهای فیزیکی جدید استفاده می‌کنند. این گروه‌ها مدل سازی به روزسانی خود را در برنامه گزارش ارزیابی پانل بین دولتی تغییرات آب و هوایی (IPCC) منتشر می‌کنند [۲۷]. در گزارش ارزیابی پنجم (AR5) IPCC مدل آب و هوایی از CMIP5 ارائه شده است، در حالی که گزارش ارزیابی ششم (AR6) که در سال ۲۰۲۱ توسط محققین منتشرشده است، مدل‌های پیشرفته جدید CIMP6 را ارائه می‌کند که از نظر تعداد گروه‌های مدل کننده، مقدار سناریوهای آینده موردنرسی و تعداد آزمایش‌های مختلف انجام شده، یک گسترش قابل توجه نسبت به CIMP6 را نشان می‌دهد که شامل ۱۰۰ مدل متنوع آب و هوایی است که در ۴۹ گروه مختلف مدل سازی تولیدشده است [۲۸]. IPCC AR5 دارای ۴ مسیر غلظت انجام شده، یک گسترش قابل توجه نسبت به CIMP6 که نسخه‌های جدید و در آینده برسی می‌کند. این سناریوها RCP6.0، RCP4.5، RCP2.6، RCP4.5، RCP2.6، RCP8.5 دارای نسخه جدید در CIMP6 شده اند. همچنین تعدادی سناریو جدید در CIMP6 نسبت به شده اند [۲۸]. همچنین تعدادی سناریو جدید در CIMP5 ارائه شده است تا مدل‌های بیشتری از آینده را برای شبیه‌سازی دانشمندان ارائه دهد. این سناریوها در شکل ۴ به نمایش درآمده است که نشان می‌دهد انتشار سالانه CO2 در هر سناریو تا سال ۲۱۰۰ چگونه افزایش شده است.



شکل (۴): سناریوهای آینده انتشار CO2 در CIMP6 و انتشار CO2 گذشته به رنگ سیاه [۲۸]

CIMP6 سناریو جدید SSP3-7.0 را ارائه کرده است که درست میان دامنه نتایج پایه مدل سازی شده توسط مدل های سیستم انرژی قرار دارد. اکنون محققین می توانند بدترین حالت (SSP5-8.5)، حالت متوسط (SSP3-7.0) و حالت خوش بینانه تر (SSP4-6.0) را هنگام مدل کردن نحوه گرم شدن جهانی بررسی کنند [۲۸]. یک سناریو جدید دیگر SSP4-3.4 است که تلاش دارد فضای بین سناریوهایی را که به طورکلی گرمایش را به زیر ۲ درجه سانتی گراد (RCP2.6/SSP1-2.6) و حدود ۳ درجه سانتی گراد (RCP4.5 / SSP2-4.5) تا سال ۲۱۰۰ میلادی محدود می کند را کشف کند [۲۸]. سناریو OS یک سناریو اغراق آمیز است که در آن، انتشارات گازهای گلخانه ای تا سال ۲۰۴۰ بدترین مسیر ۸.۵ SSP5 را دنبال می کنند و پس از آن با به کارگیری انتشار منفی این گازها در اوخر قرن بسیار سریع کاهش می یابد. در انتهای SSP1-1.9 سناریو ای است که قصد دارد گرمایش زمین را به زیر ۱/۵ درجه سانتی گراد تا سال ۲۱۰۰ میلادی محدود کند. این سناریو پس از توافق نامه پاریس هنگامی که کشورها توافق کردند، تلاش و کوشش برای افزایش دمای آتی تا ۱/۵ درجه سانتی گراد را دنبال کنند، اضافه شد. شکل ۵ انتشار CO₂ را در سناریوهای RCP و SSP مقایسه می کند.



شکل (۵): سناریوهای انتشار CO₂ در CIMP5 و نمونه های CIMP6 آنها و همچنین انتشار CO₂ تاریخی [۲۸]

دلایل مختلفی برای این میزان اختلاف وجود دارد. سناریوهای جدید SSP از سال ۲۰۱۴ آغاز می شود، در حالی که RCP های قدیمی از سال ۲۰۰۷ شروع می شوند. سناریو کاهش تدریجی انتشار نسبت به RCP2.6 و نقطه آغاز بالاتر را نشان می دهد که نشان دهنده مقداری از انتشار سال ۲۰۰۷ الی ۲۰۱۴ میلادی است که در سناریو RCP2.6 بسیار بالاتر از حد انتظار بوده است. همچنین ۴.۵-۲۰۰۷ SSP2-4.۵ نقطه آغاز بالاتر و کاهش کندری نسبت به دوره قبل را نشان می دهد و SSP4-6.۰ به طور کامل متفاوت از RCP6.۰ است. با اوج گرفتن و کاهش انتشار CO₂ پس از سال ۲۰۵۰ نسبت به سال ۲۰۸۰ کاهش می یابد و در انتهای SSP5-8.۵ دارای انتشار CO₂ قابل توجهی بالاتر از RCP8.5 می باشد [۲۸].

۲-۵-۲- سناریوهای اقلیمی ^{۱۰}

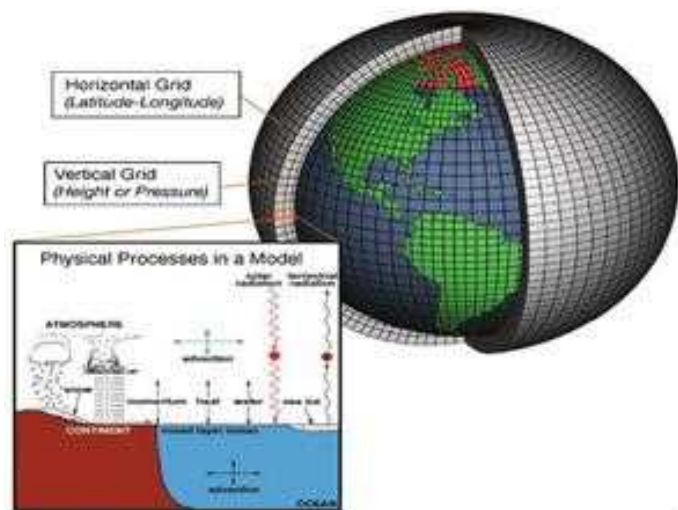
با توجه به مطالبی که در قسمت های قبلی ذکر شد، اطمینان بسیاری بر افزایش غلطت گازهای اتمسفر و با توجه به آن، افزایش میانگین دمای سطحی اتمسفر کره زمین در دوره های آینده در بین دانشمندان وجود دارد ولی چگونگی تغییرات متغیرهای اقلیمی در مقیاس ناحیه ای به طور صریح مشخص نیست؛ لذا چون پیش بینی وضعیت اقلیم ناحیه ای تحت پذیده تغییر اقلیم دشوار می باشد و راه جایگزین، مشخص کردن وضعیت های ممکن آینده بوده که سناریو اقلیمی نامیده می شود؛ اما باید توجه داشت که یک سناریو اقلیمی پیش بینی کننده آب و هوای نیست. هم اکنون از روش های متنوعی برای تولید سناریوهای اقلیمی در دوره آینده استفاده شده که ساده ترین آنها تولید سناریوهای مصنوعی ^{۱۱} می باشد. در این سناریوها متغیرهای اقلیمی به صورت دلخواه مورد افزایش یا کاهش قرار می گیرد [۳۰، ۲۹].

به کارگیری داده های پیشین متغیر اقلیمی منطقه موردمطالعه روش دیگر در تولید سناریوهای اقلیمی است که در این روش تولید سناریوهای اقلیمی با به کارگیری روند داده های اقلیمی مشاهداتی در منطقه موردمطالعه از گذشته تاکنون استفاده می شود. در این روش، روند پردازش شده برای هر یک از متغیرهای اقلیمی با به کارگیری روش های آماری امتداد داده شده و متغیرهای موردنظر، برای دوره های آینده شبیه سازی می گردد. ضعف عمدی این روش تکیه بر روند تجربه شده در داده های پیشین است. بر پایه پژوهشی انجام شده روند مشاهداتی در دوره آماری منطقه ای، می تواند قسمتی از سیکل های بلندمدت تغییرات داخلی سیستم اقلیم منطقه باشند؛ لذا امتداد روند برای دوره های آینده، لزوماً بیانگر وضعیت آن متغیر، تحت تأثیر

تغییرات اقلیم نیست [۳۱]. هم اکنون، معتبرترین و کارآمدترین ابزار برای تولید سناریوهای اقلیمی، مدل‌های سه بعدی جفت شده اقیانوس-اتمسفر گردش عمومی جو AOGCM می‌باشد [۳۲].

۶-۲- مدل‌های گردش عمومی

مدل‌های گردش عمومی^{۱۲} GCM یا همان^{۱۳} AOGCM بر اساس روابط ریاضی و حل در یک شبکه سه بعدی که شامل تمامی کره زمین می‌باشد؛ توسعه یافته‌اند. مدل سازی اقلیمی به دنبال همانندسازی فرایندهای اقلیمی و پیش‌بینی روابط متقابل آنها با یکدیگر بوده و این کار از طریق حل معادلات عددی در لایه‌های مختلف انجام شده. به طورکلی GCM‌ها در سه مورد پیش‌بینی هوا، درک اقلیم و بررسی تغییرات اقلیم از طریق مدل سازی کاربرد دارند. مدل‌های جفت شده گردش عمومی جو یک نمایش ریاضی پیچیده از مؤلفه‌های اساسی سیستم های آب و هوا (سطح زمین، جو، اقیانوس و یخ دریا) و تعامل آنها می‌باشد. تعادل انرژی زمین بین این ۴ مؤلفه، پایه پیش‌بینی درازمدت آب و هوا است، با به کارگیری معادلات حاکم بر هر کدام از این گروه مؤلفه‌ها، متغیرهای اقلیمی آتی در مقیاس جهانی به دست می‌آید [۳۳]. در شکل ۶ شماتیکی از مدل‌های گردش عمومی جو آمده است.



شکل (۶): شماتیک مدل‌های گردش عمومی جو [۳۴]

CanESM5^{۱۴}- ۱-۶-۲- مدل گردش عمومی

CanESM5 پنجمین مدل ورژن مدل سیستم زمینی از نسل چهارم مدل‌های آب و هوایی است. این مدل از یک مدل‌های گردش عمومی هوا می‌باشد که توسط مرکز مدل سازی و تحلیل آب و هوای کانادا^{۱۵} CCCma^{۱۶} زیر نظر سازمان محیط زیست این کشور توسعه یافته است. در این مدل، کل سطح زمین به صورت سلول‌های ۱۲۸ در ۶۴ شبکه بندی شده است که هر کدام از این سلول‌ها حدود ۲۲۸۱۲۵ درجه را پوشش می‌دهد که بر اساس آنها پارامترهای اقلیمی در دوره‌های زمانی قابل تعیین از سوی کاربر و با سناریوهای انتشار مختلف قابل تولید و محاسبه برای هر نقطه بر روی کره زمین می‌باشند. یکی از بزرگ‌ترین اشکال یا محدودیتی که برای مدل‌های اقلیمی وجود دارد، خروجی این مدل‌ها با گذشت زمان دقت خود را از دست می‌دهند؛ بنابراین این خروجی‌ها باید به طور مرتبت به روزرسانی شوند و این عملیات با هزینه‌گرفتاری در برخی از کشورها انجام می‌شود. با وجود وب سایت‌های آنبوه برای گردآوری داده‌های اقلیمی آینده در جدول ۱ شش پایگاه اطلاعاتی آورده شده است.

نام تجاری	نام مؤسسه	سال انتشار	آدرس سایت
CRU	Climatic Research Unit	۱۹۸۵	/http://www.cru.uea.ac.uk
IPCC	Intergovernmental Panel on Climate Change	۱۹۸۸	/http://ipcc.ch
PCMDI	Program for Climate Model Diagnosis and Intercomparison	۱۹۸۹	/http://www-pcmdi.llnl.gov
TYN	Tyndall Centre for Climate Change Research	۲۰۰۰	/http://www.tyndall.ac.uk
CCCSN	Canadian Climate Change Scenarios Network	۲۰۰۵	/http://www.cccsn.ec.gc.ca
CCCma	Canadian Centre for Climate Modelling and Analysis	۲۰۱۰	/http://www.cccma.ec.gc.ca

جدول (۱): مشخصات پایگاه اطلاعاتی مدل‌های اقلیمی [۳۵]

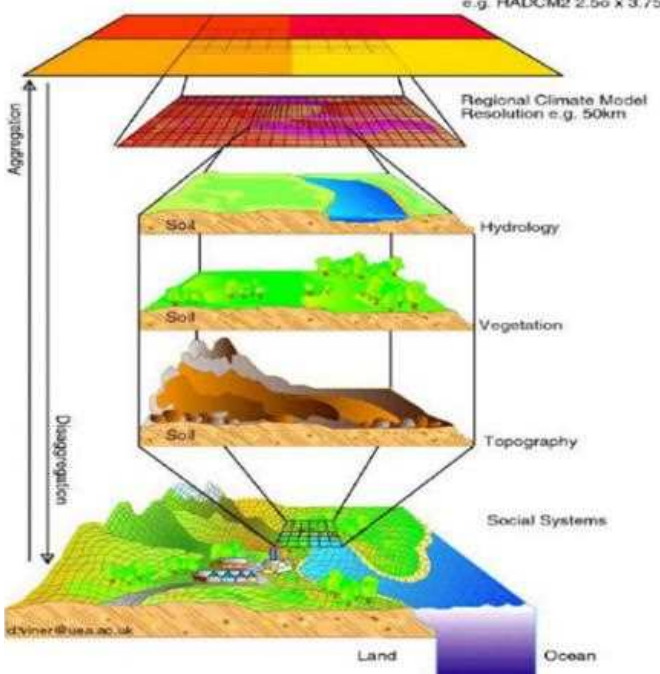
12 Global Climate Model (GCM)

13 Geophysical Fluid Dynamics Laboratory

14 Canadian Earth System Model

15 The Canadian Centre for Climate Modelling and Analysis

مرکز مدل سازی و آنالیز اقلیم کانادا CCCma تغییرات اقلیمی را با به کارگیری مدل های رایانه ای سیستم جوی، آب و هوای در مقیاس جهانی در بازه های زمانی فصلی تا صدسال را با توجه به سناریوهای گازهای گلخانه ای و آئروسل پیش بینی و شبیه سازی کرده است.



شکل (۷): شماتیک ریزمقیاس نمایی مدل های گردش عمومی [۳۸]

این روش با توجه به روابط آماری بین پارامترهای اقلیمی بزرگ مقیاس و متغیرهای هواشناسی مانند بارش و دما در مقیاس ناحیه ای استوار است. ریزمقیاس نمایی آماری می تواند به مدل رگرسیونی^{۱۷}، تولیدکننده داده های آب و هوای استوکاستیک (مدل های تصادفی)^{۱۸} و روش بر پایه الگوی رفتار آب و هوای دسته بندی داده های هواشناسی^{۱۹} دسته بندی شود. روابط خطی و غیرخطی بین پارامترها در مقیاس ناحیه ای و متغیرهای پیش بینی کننده با وضوح پایین معمولاً به روش رگرسیون صورت می گیرد. ساده ترین روش، روش دلتا (CF^{۲۰}) است که در این روش تفاوت بین دوره شبیه سازی شده و آینده کنترل و به داده های مشاهداتی اعمال می شود [۳۹]. لذا، این روش می تواند به سرعت چندین مدل بزرگ مقیاس برای تولید سناریوهای اقلیمی اعمال شود اما باید توجه داشت که همچنین دارای نواقصی می باشد. این روش یک انحراف همیشگی و ثابت را با گذر زمان در نظر می گیرد و همچنین فقط می توانند به حداقل، حداقل و متوسط متغیرهای اقلیمی اعمال شوند و نحوه تغییرپذیری نادیده گرفته می شود و فرض بر آن است که الگوی محلی اقلیم ثابت باقی خواهد ماند [۴۰].

۱-۱-۷-۲- مدل های رگرسیونی

این روش از اولین روش های ریزمقیاس نمایی است که در این روش، هدف به دست آوردن رابطه مناسب بین پارامترهای اقلیمی بزرگ مقیاس و متغیرهای اقلیمی ریزمقیاس (مقیاس ناحیه ای یا حوضه و...) است. ساده ترین روش استفاده از تکنیک درون یا بارش که اولین بار در زمینه تغییر اقلیم توسط کیم و همکاران در سال ۱۹۴۸ میلادی استفاده شد [۴۱]. کیم بین میانگین داده های ماهانه بارندگی و درجه حرارت و

۲-۶-۲- مجموعه داده های واکاوی

مجموعه داده های واکاوی NCAR NCEP یا NCAR مجموعه ای از داده ها است که حاصل همکاری مراکز پیش بینی محیط زیست و پژوهشگاه جوی باهدف آنالیز جوی جدید با به کارگیری داده ای تاریخی و همچنین تولید موشکافی وضعیت جو فعلی می باشد. بدین منظور از بهترین و پیشرفته ترین سیستم های موشکافی و همچنین پیش بینی برای گردآوری داده ها با به کارگیری داده های پیشین از سال ۱۹۸۴ تاکنون انجام شده است. این داده ها دارای وضوح مکانی ۲/۵ درجه و وضوح زمانی ۶ ساعته، وضعیت اقلیمی زمین را نشان می دهد. داده های واکاوی، ترکیبی از داده ای مدل سازی و مشاهداتی شده می باشند که تفاوت آنها نسبت به داده های مشاهداتی در این است که داده های مشاهداتی نقطه ای هستند ولی داده های واکاوی به صورت شبکه ای می باشند از این داده ها زمانی برای مدل سازی استفاده می شوند که منطقه مورد مطالعه، قادر داده یا شبکه ایستگاه ها دارای تراکم کمی باشد [۳۶].

۲-۷- ریزمقیاس نمایی

یکی از مشکلات اصلی در استفاده از خروجی های مدل AOGCM در مطالعات ارزیابی تأثیر تغییر اقلیم در سطوح منطقه ای، بزرگ بودن مقیاس مکانی سلول محاسباتی آنها، نسبت به منطقه ای موردمطالعه است. شبکه بندی این مدل ها همچنین برای کاربرد در مناطق کوهستانی و شبیه سازی پارامترهای اقلیمی نظری دما و بارش مناسب نمی باشند، زیرا مدل ها نمی توانند ویژگی های خرد شبکه محلی و دینامیکی را نشان دهند. از جهت دیگر خروجی این مدل ها با مقیاس شبکه بندی بزرگ نمی توانند تأثیرات اقلیمی را در سطوح ناحیه ای و محلی شناسایی کنند [۳۷]. روش های مختلفی برای تولید سناریوهای اقلیمی منطقی از سناریوهای اقلیمی از مدل ها وجود دارد که به این روش ها ریزمقیاس نمایی گفته می شود. جزئیات بیشتری با به کارگیری ریزمقیاس نمایی از مدل نمایان می شود. از این رو برای ارزیابی تأثیر تغییر پارامترهای هواشناسی مانند بارش و دما بر روی هیدرولوژی و سیستم های منابع آب باید خروجی های GCM ریزمقیاس شوند. روش ریزمقیاس نمایی، روشی است که وضوح GCM را افزایش می دهد تا آب و هوای سطحی در مقیاس ناحیه ای، برای کاربردهای مختلف به دست آید. دو روش ریزمقیاس نمایی دینامیکی و آماری معروف ترین روش های ریزمقیاس نمایی هستند که در تحقیقات مختلف به کار گرفته شده اند [۳۸]. در شکل ۷ شماتیکی از ریزمقیاس نمایی خروجی های مدل های گردش عمومی نشان داده شده است [۳۸].

۲-۷-۱- ریزمقیاس نمایی آماری

17 Regression models

18 Stochastic Weather Generators

19 Weather Pattern based Approach

20 Change Factor

خروجی های پیش بینی کننده با استفاده از رگرسیون خطی رابطه ای پیدا کرد. برگر در سال ۱۹۹۶ میلادی روش مبسوط^{۲۱} که روش پیچیده تری می باشد را ارائه کرد که در این روش بین کواریانس متغیرهای محلی با واریانس متغیرهای GMC رابطه ای خطی برقرار شده است [۴۰]. روش ماشین بردار پشتیبان رانیز می توان جزو روش های رگرسیونی به حساب آورده به دلیل آنکه الگوریتم آن برای کار با مسائل رگرسیون توسعه یافته است [۴۲]. وان استورچ در سال ۱۹۹۳ میلادی در کشور اسپانیا رابطه ای رگرسیونی بین الگوهای فشار در سطح و بارش در زمستان پیدا کرد [۴۳]. در مطالعه ای مشابه، ویگلی و همکاران در سال ۱۹۹۰ میلادی بین بارندگی و درجه حرارت در یک ناحیه، الگوی فشار در تراز دریا و ارتفاع ژئوپتانسیل و الگوی فشار در تراز، رابطه رگرسیونی پیدا کرد [۴۴]. با کمی اختلاف، پیدا کردن رابطه ای بین یک پارامتر در مقیاس مکانی مختلف نیز جزء روش ریزمقیاس نمایی رگرسیونی است. برای نمونه کاربونه و برامانته در سال ۱۹۹۵ میلادی بین میانگین مکانی ماهانه درجه حرارت حداکثر و حداقل در یک منطقه و همین پارامتر در چندین ایستگاه در جنوب شرقی کشور آمریکا، رابطه ای رگرسیونی پیدا کردند [۴۵]. در سال ۲۰۰۲ میلادی، ویلی و همکاران اولین مدلی رایانه ای را برای ریزمقیاس نمایی با استفاده از رگرسیون خطی چند متغیره به نام SDSM ارائه کردند. آنها کاربرد این مدل را در ساخت سناریوهای دما و بارش روزانه برای شهر تورنتو در کانادا و در بازه زمانی ۲۰۴۰-۲۰۶۹ نشان دادند [۱۵].

۲-۷-۱-۲- مدل های تصادفی

عملکرد ریزمقیاس نمایی تصادفی یا استوکاستیک، به طور معمول شامل تعیین و بینه سازی پارامترهای مدل های تولید داده اقلیمی نظیر LARS-WG، WGEN و EARWIG از WGEN ایستگاه با برآورد مدل های چین نمودند. درجه حرارت اول دوفازی برای ریزمقیاس نمایی استفاده می کند. سناریوهای تغییر اقلیم استوکاستیک با استفاده از پارامترهای تعیین شده در مرحله آموزش و استفاده از خروجی GCM تولید می شوند. اصلی ترین مزیت این روش توانایی خوب آن در مولدسازی بسیاری از متغیرهای اقلیمی مشاهداتی می باشد. برای شبیه سازی LARS-WG داده های آب و هوای در یک محل مشخص تحت شرایط اقلیمی حال و آینده به کار می رود [۴۶، ۴۷].

هوشیار و همکاران در سال ۱۳۹۵ به بررسی تغییرات دمای حداکثر ارومیه با استفاده از ریزمقیاس گردانی آماری خروجی مدل CanESM2 پرداختند [۴۸]. وطنی و همکاران در سال ۱۳۹۶ تأثیرات تغییر اقلیم بر رواناب خروجی رودخانه سرد در استان آذربایجان شرقی با استفاده از ابزار داده کاوی پرداخت. برای پیش بینی تغییر اقلیم بر پایه مدل های گردش عمومی جو از مدل CanESM2 تحت سناریوهای RCP4.5 و RCP8.5 استفاده شده [۴۹]. شهریابی و همکاران در سال ۱۳۹۷ بررسی عملکرد ANN و SVM در ریزمقیاس نمایی بارش روزانه مشاهداتی بین سال های ۱۹۶۰ تا ۱۹۹۰ در شهرستان بیرجند با مقادیر ۲۶ متغیر پیش بینی کننده از خروجی مدل-گردش عمومی CanESM2 در گزارش پنجم، برای مدت مشابه استفاده شد [۵۰].

یکی از متدائل ترین روش ها برای ریزمقیاس نمایی استفاده از

توابع است. این روش بر پایه روابط کمی و روش رگرسیونی بین متغیرهای بزرگ مقیاس (پیش بینی کننده) و متغیرهای مشاهداتی در مقیاس مدنظر (پیش بینی شوند) می باشد [۵۱]. ماشین بردار پشتیبان یکی از روش های رگرسیونی است که به منظور بررسی ارتباط و روابط حاکم بین متغیرهای پیش بینی کننده و پیش بینی شوند به کار می رود. در ادامه چند نمونه از تحقیقات گذشته که کارا بودن این مدل را ارائه کرده اند؛ آورده شده است.

امیرآبادی و همکاران در سال ۱۳۹۷ شمسی به بررسی روش های رگرسیونی و هوش مصنوعی در شبیه سازی مقادیر روزانه پرداختند. در این تحقیق مدل های رگرسیون چند متغیره، ANFIS، ANN^{۲۲}، SVM و SVR برای ریزمقیاس نمایی مقادیر میانگین دمای روزانه ایستگاه هواشناسی ارومیه با استفاده از ۲۶ پارامتر پیش بینی کننده متناسب خطا و ضریب تعیین استفاده شد. نتایج بررسی میزان و دقت خطای مدل ها نشان داد که در بین مدل های هوشمند، مدل برنامه ریزی ژنتیک (GP) کمترین مقدار خطا را داشته و در بین مدل های رگرسیون (رگرسیون چندمتغیره و رگرسیون پشتیبان) روش رگرسیون بردار پشتیبان، کمترین خطا و بیشترین میزان دقت را در شبیه سازی مقادیر دمای روزانه ایستگاه ارومیه داشت. به طورکلی نتیجه شبیه سازی مقادیر میانگین دما روزانه نشان می دهد که روش های رگرسیونی نسبت به روش های هوشمند دقیق تر است [۵۲].

چن و همکاران برای ریزمقیاس نمایی بارش روزانه از دو روش SVM و SDSM در حوضه آبریز هان جیانگ کشور چین نمودند. حوضه هانجیانگ با بارش سالانه ۹۰۰ میلی متر و میانگین درجه حرارت ۱۲-۱۶ سانتی گراد در شمال غربی کشور چین قرار دارد. آنها در این مطالعه نیز خروجی دو مدل گردش عمومی CGCM^۳ و HadCM^۳ را با یکدیگر مقایسه نمودند. نتایج نشان می دهد که عملکرد SVM نسبت به روش SDSM بهتر است [۵۳].

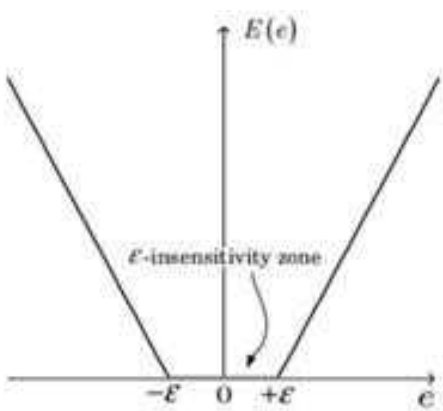
در تحقیقی دیگر داون و میابی در سال ۲۰۰۴ میلادی اقدام به سنجش ۳ روش ریزمقیاس نمایی آماری LARS-WG، SDSM و SVM برای شبیه سازی بارندگی روزانه در اقلیم های متفاوت در کشور چین نمودند. آنها در این مطالعه از داده های اندازه گیری شده در ۳۱ ایستگاه در پهنه کشور چین استفاده نمودند. نتایج حاصل از مطالعه آنها نشان داد که هر کدام از این روش ها کارایی و دقت خاصی متناسب با نوع اقلیم دارد. در حالت کلی SDSM توانمندی بالاتری در اکثر ایستگاه ها داشت [۵۴].

حمیدی و همکاران در سال ۲۰۱۵ میلادی درباره برتری روش SVM به بررسی توانمندی روش شبکه عصبی و ماشین بردار پشتیبان در ریزمقیاس نمایی بارش ماهانه پرداختند؛ به برتری قابل توجه ANN نسبت به ANN اشاره می کند [۳۰].

همچنین در مطالعاتی نظری یون و همکاران در سال ۲۰۱۱ میلادی و سیمن و کیسی در سال ۲۰۰۹ میلادی به بررسی توانمندی این دوروش

در عبارت فوق سیگما تابه هزینه و اپنیک نام دارد و تابعی به شکل رابطه ۲ نمودار شکل ۸ است.

$$|y - f(x)|_{\varepsilon} = \begin{cases} 0, & \text{if } |y - f(x)| \leq \varepsilon \\ |y - f(x)| - \varepsilon, & \text{otherwise} \end{cases} \quad (2)$$

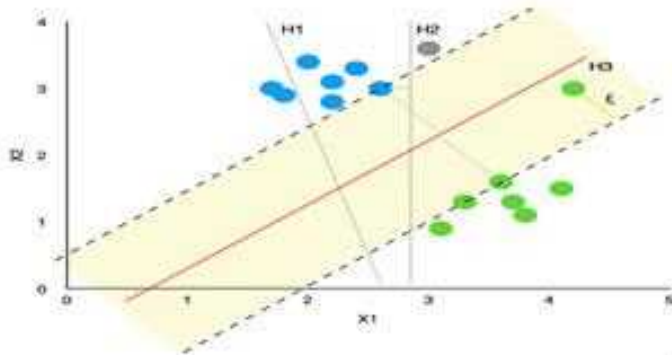


شکل (۸): تابع هزینه و اپنیک [۵۷]

هدف ما پیدا کردن بردار W و مقدار اسکالر b به گونه ای است که شرایط رابطه ۳ را برآورد کنند.

$$\begin{aligned} J_P(W, \xi, \xi^*) &= \frac{1}{2} W^T W + c \sum_{k=1}^N (\xi_k + \xi_k^*) \quad (3) \\ y_k - W^T x_k - b &\leq \varepsilon + \xi_k, \quad k = 1, \dots, N \\ W^T x_k + b - y_k &\leq \varepsilon + \xi_k, \quad k = 1, \dots, N \\ \xi_k, \xi_k^* &\geq 0, \quad k = 1, \dots, N \end{aligned}$$

برای درک بهتر این مسئله بهینه سازی، کافی است به نمودار شکل ۹ توجه شود:



شکل (۹): رگرسیون بردار پشتیبانی [۵۷]

مطابق این شکل در حالی که مقدار ε را باید ثابت در نظر بگیریم، مقدار حاشیه را باید تا جایی که امکان دارد افزایش بدھیم و در همان سان برش عرضی لوله مشخص شده در تصویر به گونه ای باشد که مقدار عرض برش آن در راستای محور y (محور عمودی) از 2ε تجاوز نکند به بیان ساده، به دنبال لوله ای هستیم که تا جایی که ممکن است تمام داده ها را پوشش بدهد ولی برش عرضی آن در محور y از 2ε تجاوز نکند؛ در این حالت مسئله بهینه سازی پارامتر C بیانگر هزینه تخطی یا خارج کردن نمونه ها از داخل لوله است و مقادیر نویز درداده ها را نشانمی دهد. این مسئله با استفاده از روش ضرایب لاغرانژ قابل حل است که پس از انجام محاسبات لازم و ساده سازی روابط، دوگان مسئله فوق با استفاده از رابطه ۴ به دست خواهد آمد.

در سایر مطالعات هیدرولوژی پرداخته بودند، نیز به عملکرد بهتر روش SVM نسبت به ANN پی بردند [۵۴, ۵۵].

۲-۷-۲- ریزمقیاس نمایی دینامیکی

در روش دینامیکی معادلات حرکت هوا در شبکه های منظم افقی و قائم از عمق سطح زمین تا ارتفاع حدود استراتوسفر حل می شوند. این معادلات شامل معادله تکانه، قانون عمومی گازها، بقای جرم و قوانین شناوری و ترمودینامیک هستند. در یک روش دینامیک می توان در زمان محدودتر، از مدل های گردش عمومی با وضوح بالاتری استفاده شده یا در روش دیگر، مدل گردش عمومی با دقت های متفاوت در سطح کره زمین اجرا گردد. به گونه ای که در سطح منطقه موردمطالعه، دقت بهتر و بالاتری استفاده شود. همچنین در برخی از موارد، مدل های ناحیه ای با دقت بالا استفاده می شود، به گونه ای که خروجی های مدل چرخه عمومی به عنوان شرایط مرزی این مدل ها مورد استفاده قرار می گیرند. در روش دیگری، از خروجی های یک مدل ناحیه ای به عنوان شرایط مرزی مدل ناحیه ای دیگر با دقت بالاتر استفاده می شود. این مدل ها از نظر تئوری، همان روش های مدل اقلیمی را دنبال می کنند و تنها تفاوتی که میان آنها می باشد این است که از شبکه بندی کوچک تری استفاده می کنند. ریزمقیاس کردن به این روش ها نیازمند به سامانه های پردازشی پرسرعت و صرف وقت زیاد است. برای نمونه مدل سازی یک دوره ۱۰ ساله با کامپیوترهای معمولی حدود ۳ ماه وقت نیاز دارد. این روش نیز از رفتارهای اقلیمی دوره مشاهداتی بی نیاز بوده. شرط اصلی برقراری روابط یادشده بر روی نقاط شبکه محاسباتی است [۵۶].

۲-۷-۳- ماشین بردار پشتیبانی

ماشین بردار پشتیبانی یک روش یادگیری ماشینی نظارت شده است که می تواند برای حل مشکل رگرسیون و طبقه بندی استفاده شود. به طورکلی، از آن به عنوان یک طبقه بندی کننده استفاده می شود. در سال ۱۹۹۶، اپنیک و همکارانش، نسخه ای از SVM را پیشنهاد دادند که به جای طبقه بندی، عمل رگرسیون را انجام می دهد. این مورد به Support Vector Regression یا SVR معروف است [۵۷]. ماشین بردار پشتیبانی یک سیستم یادگیری کارآمد بر پایه تئوری بهینه سازی مقید است که از اصل استقرار کمینه سازی خطای ساختاری استفاده کرده و منجر به یک جواب بهینه کلی می گردد به شرح مختصر روش در ادامه آمده است [۵۸]. فرض می کنیم مجموعه ای از داده ها به شکل $\{(x_i, y_i)\}_{i=1}^n$ داریم که $y \in R$ و $R^n \in R$ ؛ هر داده دارای n بعد است (یک بردار n بعدی است) و متناظر با هر یک از این داده ها یک مقدار اسکالر y نیز در اختیار داریم که ابتدایی ترین تابع برای برآورد را به صورت $f(x) = W^T x + b$ می نویسیم به طوری که رابطه بین داده های برداری x و مقدار خروجی y را به بهترین صورت و حداقل خطای ممکن تخمین بزند؛ هدف از این کار پایین آوردن تابع ریسک می باشد که در رابطه ۱ آمده است.

$$R_{emp} = \frac{1}{N} \sum_{k=1}^N |y_k - W^T I_k - b|_c \quad (1)$$

$$\max J_D^{(a_1 a^*)} = -\frac{1}{2} \sum_{K,i=1}^N (a_k - a_k^*) (a_i - a_i^*) X_k^T X_1 - \varepsilon \sum_{K=1}^N (a_k + a_k^*) + \sum_{K=1}^N y_K (a_k - a_k^*), \dots, N \quad (5)$$

$$\sum_{K=1}^N (a_k - a_k^*) = 0 \quad a_k a_k^* \in [0, c]$$

به طوری که در رابطه (5) خواهیم داشت:

(5)

$$f(X) = \sum_{K=1}^N (a_k + a_k^*) X_k^T + b \quad (6)$$

و در نهایت تابع تخمین گر به صورت رابطه (6) درمی آید:

(6)

که در آن a_i و a_k^* چند جمله لاگرانژ و جواب مسئله بهینه سازی هستند که حال اگر داده ها به صورت غیرخطی باشند می توانند از توابع کرنل به دست آوردن تابع تخمین گر استفاده کرد یعنی:

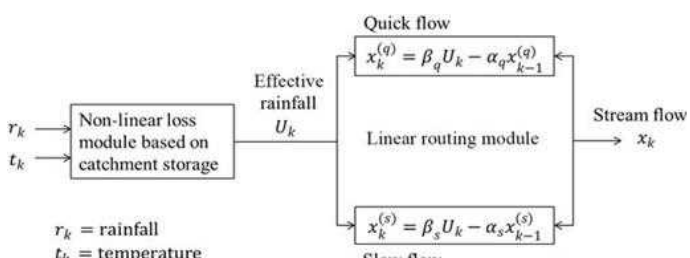
$$f(X) = \sum_{K=1}^N (a_k - a_k^*) k(x, x_k) + b \quad (7)$$

(7)

که در آن $k(x, x_k)$ یک تابع کرنل است و فضای ویژگی های بهترین راهکار مسئله بهینه سازی را تعریف می کند.

تغییر و نوسانات اقلیمی بر رواناب حوزه با به کارگیری دو مدل هیدرولوژی IHACRES و SIMYED مقادیر متوسط متغیرهای دما و بارش حوضه قره سوء در دوره ۲۰۶۹-۲۰۴۰ میلادی با به کارگیری مدل HadCM3-A2 و روش کوچک مقیاس کردن آماری، مورد شبیه سازی قرار گرفت که نتایج به دست آمده حاکی از هماهنگی دو مدل در شبیه سازی تغییرات رواناب در منطقه مورد مطالعه داشت. به گونه ای که هر دو مدل کاهش رواناب را برای فصل پاییز و افزایش رواناب را برای فصل های دیگر تخمین می زندن. [۶۴]. ویز و همکاران با به کارگیری چهار مدل بارش-رواناب تأثیرات اقلیمی روی فرآیندهای هیدرولوژی در استرالیا را موردنرسی قراردادند. نتایج حاصل نشان داد که داده های شبیه سازی شده توسط مدل IHACRES مطابقت بیشتری با داده های مشاهداتی در مقایسه با سایر مدل ها دارد. [۶۵]

این مدل مطابق شکل ۱۰ به دو بخش به هم پیوسته غیرخطی (Non-linear loss module based on catchment storage) و خطی (linear loss module) است. در قسمت غیرخطی، بارش مشاهداتی با کمک درجه حرارت ایستگاه به بارش مؤثر تبدیل می شود و در بخش خطی، بارش مؤثر به جریان مؤثر تبدیل می گردد [۶۰].



شکل (۱۰): ساختار کلی مدل هیدرولوژیکی [۶۳] IHACRES

۸-۲-۱- مدل بارش-رواناب IHACRES

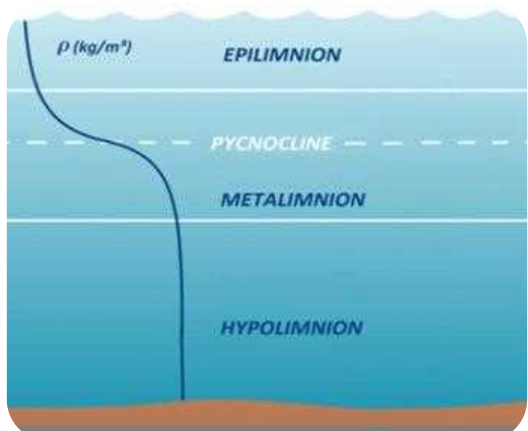
مدل بارش-رواناب IHACRES به طور مشترک توسط مرکز ارزیابی و مدیریت جامع حوضه آبخیز^{۴۴} ICAM^{۴۵} دانشگاه ملی کشور استرالیا، کانبرا و مرکز هیدرولوژی و اکولوژی^{۴۶} CHE^{۴۷} و انجمن تحقیقات زیست-محیطی انگلستان توسعه یافته است. IHACRES یک بارش-رواناب پیوسته و متري-مفهومی است که برای اجرا در حوضه های بزرگ و اکثر شرایط آب وهوایی از جمله مناطق نیمه خشک و خشک کاربرد دارد که نیازمند داده های دما، بارش و دبی می باشد [۵۹]. مطالعات پیشین که ثابت کرده است که برآورد جریان توسط مدل یکپارچه IHACRES بسیاری از موارد بهتر از مدل های توزیعی است [۶۰]. قاسمی و همکاران به منظور شبیه سازی و پیش بینی رواناب حوضه رودخانه شیرین از خروجی ۵ مدل AOGCM تحت سه سناریو RCP2.6، RCP4.5 و RCP8.5 استفاده کردند. خروجی این مدل ها حاکی از افزایش دما و کاهش بارندگی بود. برای پیش بینی رواناب رودخانه از مدل بارش-رواناب IHACRES استفاده شد. بر اساس نتایج میزان رواناب در دوره ۲۰۴۰-۲۰۲۰ نسبت به دوره پایه تحت سه سناریو کاهش پیدا کرد [۶۱].

گودرزی و همکاران به ارزیابی عملکرد مدل IHACRES جهت شبیه سازی جریان رودخانه ای در حوزه آبخیز کن در طول دوره آماری پایه جهت بررسی تغییرات اقلیمی پرداختند. با توجه به نتایج به دست آمده تحت سه سناریو A1B، A2 و B1 مقدار رواناب برای دوره ۲۰۳۰-۲۰۱۱ کاهش یافت [۶۲]. در مطالعه دیگری، مکینتر و همکاران با به کارگیری سه مدل مختلف به محاسبه دبی و حجم جریان خروجی در حوزه وادی آهین پرداختند. نتایج حاصل برتری مدل IHACRES را نسبت به دو مدل دیگر را تائید نمود [۶۳]. همچنین کمال و مساح بحوانی به تأثیر

- ۱- توانایی در تهیه گزارش با ایجاد، نمودارها، جدول‌ها و نقشه‌ها
- ۲- وجود پایگاه داده‌ای و امکان برقراری ارتباط با نرم افزارهای گوناگون
- ۳- وجود توابع متعدد از پیش تعريف شده و امکان تعريف معادلات و متغیرهای گوناگون [۶۶-۶۸].

۱۰-۲- لایه‌بندی حرارتی و مشکلات ناشی از آن

یکی از رایج‌ترین پدیده‌ها در مخازن و دریاچه‌ها ایجاد لایه‌بندی حرارتی می‌باشد که مهم‌ترین تأثیر را بر روی مشخصه‌های هیدرولیکی و گرمایی در مخازن و دریاچه‌ها می‌گذارد. پارامتر دما، کل جامدات محلول و اکسیژن محلول در تشخیص و تعیین پدیده لایه‌بندی حرارتی مورد استفاده قرار می‌گیرند. این پدیده به معنی ایجاد لایه‌هایی از جرم سیال می‌باشد که در اثر اختلاف در چگالی یا درجه حرارت یا مواد محلول و معلق ایجاد می‌گردد. در مخازن عمیق اختلاف درجه حرارت بین لایه‌های بالا و پایین ممکن است به بیش از ۱۵ درجه سانتی‌گراد نیز بررسید. هنگامی که پدیده لایه‌بندی حرارتی در مخازن رخ می‌دهد، دریاچه به ۳ بخش رو لایه (اپیلیمنیون)، میان لایه (متالیمنیون) و زیر لایه (هایپولیمنیون) تقسیم می‌شوند. لایه ای که در مرز لایه اپیلیمنیون و متالیمنیون قرار می‌گیرد، ترموکلاین گفته می‌شود. این قسمت از اختلاط عمودی نواحی بالایی و زیرین جلوگیری می‌کند و مانع توزیع یکپارچه غلظت اکسیژن محلول در راستای عمودی خواهد شد. درواقع در این برهه غلظت اکسیژن محلول در قسمت هایپولیمنیون بسیار اندک می‌گردد و کیفیت آب مخزن در اعماق شدیداً کاهش می‌یابد. از جهت دیگر لایه‌بندی حرارتی از نظر دیگر تأثیر مستقیمی بر سرعت واکنش شیمیایی، به عنوان ابزار اولیه تعیین آب در سیستم آب شیرین شناخته می‌شود. همچنین در فصل تابستان چون جریان طبیعی کم است، بنابراین چندلایه در آب به وجود می‌آید، یعنی آب سرد در پایین تر و آب گرم تر بالاتر قرار می‌گیرد. به دلیل نرسیدن هوا به لایه‌های زیرین در این لایه اکسیژن کاهش می‌یابد. از طرفی این لایه‌ها بسیار سرد بوده و اکسیژن محلول آن نیز کم است. از این رو ماهیان نمی‌توانند در آنجا زندگی کنند. زمانی که آب لایه زیرین، از تورین عبور می‌کند چون دارای اکسیژن محلول کمی است، می‌تواند رودخانه پایین دست را غیرقابل سکوت کند [۶۹]. بخش‌های مختلف لایه‌بندی در شکل (۱۱) آمده است. [۷۰]



شکل (۱۱): بخش‌های مختلف یک مخزن لایه‌بندی شده [۷۰]

۹-۲- مدل برنامه‌ریزی و ارزیابی منابع آب (WEAP^{۲۳})

به طورکلی کاربرد این مدل را می‌توان در زمینه برنامه‌ریزی و ارزیابی پروژه‌های آبی دانست. از آنجایی که این مدل اجزای مختلف یک حوضه رودخانه را جمع آوری می‌کند، برای برنامه‌ریزی و مدیریت جامع منابع آب می‌توان از آن بهره برد. از وظایف مدل‌های شبیه‌سازی، ارزیابی سناریوها می‌باشد. از جمله سناریوهایی که با این نرم افزار قابل بررسی هستند، عبارت اند از: توسعه اقتصادی و رشد جمعیت، تغییر سیاست بهره‌برداری از مخازن، برداشت بیشتر از منابع آب زیرزمینی، صرفه جویی آب، تخصیص نیاز اکووسیستم، استفاده ترکیبی از آب‌های سطحی و زیرزمینی، استفاده مجدد از آب، استفاده از روش‌های باراندeman بیشتر برای آبیاری، تغییر الگوی کشت، تغییر اقلیم، تأثیر آلاینده‌ها در بالادست بر مناطق پایین دست، تغییر کاربری اراضی و... این نرم افزار در بخش مدل سازی هیدرولوژیکی، کل فرایندهای لازم برای موازنۀ کمی آب‌های سطحی و اندرکنش سفره آب زیرزمینی با جریان رودخانه را شبیه‌سازی می‌کند. برای مدل سازی از یکی از سه روش نرم افزار می‌توان استفاده کرد که شامل:

- روش رطوبت خاک
- روش بارش-رواناب
- (Organization

• روش ساده ای که فرایند بارش-رواناب را شبیه سازی نمی‌کند. به طور مختصر خصوصیات مدل هیدرولوژیکی آن شامل: تئوری، پیوسته زمانی، معین و نیمه توزیعی. به دلیل نیمه تئوری بودن مدل‌های هیدرولوژیکی در این نرم افزار، باید از واسنجی استفاده کرد و برای این کار ابزار خاصی تعیین نشده و باید به صورت دستی انجام شود [۶۶-۶۸]. قاعده و اصول بهره برداری از این نرم افزار به صورت ساده و از طریق تعیین سطوح مختلف آب برای کنترل سیلان، ذخیره جهت دوره زمانی آتی، تأمین نیاز پایین دست و تولید برقالی شبیه‌سازی می‌شود. کیفیت آب درون جریان (رودخانه) علاوه بر مخازن (مانند سفره‌های آب زیرزمینی، دریاچه‌ها، مخازن سدها) مدل سازی می‌شود. نیاز بخش کشاورزی به ۳ روش

- رطوبت
- FAO با استفاده از مؤلفه‌های نیاز آبی گیاهان
- روش استاندارد محاسبه می‌شود. در روش تقاضای آبی در هر بخش به صورت حاصل ضرب سطح محاسبه می‌شود. دیگر تقاضاهای آب (صنعت و شرب...) به کمک روش استاندارد قابل برآورد می‌باشد [۶۶-۶۸]. برای تخصیص منابع به تقاضاهای مختلف از یک الگوریتم بهینه سازی، امکان ارتباط با لایه‌های GIS از طریق نرم افزار وجود دارد، اما نمی‌توان داده‌های موجود در این لایه‌ها را به صورت مستقیم با مدل WEAP استخراج کرد. همچنین می‌توان برای تحلیل مالی پروژه‌ها از ابزار جداگانه‌ای استفاده کرد. با استفاده از این ابزار می‌توان هزینه‌ها و منافع اقتصادی پروژه‌های آبی را محاسبه کرد و در پایان باهم مقایسه کرد تا بهترین گزینه انتخاب شود. امکانات جانبی دیگر این نرم افزار عبارت اند از:

۱۱-۲ اکسیژن محلول

اکسیژن محلول مقدار اکسیژن حل شده در آب است که به عنوان شاخص تأثیرگذار برای تعیین وضعیت آبزیان مورد استفاده قرار می‌گیرد. همچنین اکسیژن برای زنده ماندن همه موجودات زنده به جز برخی از باکتری‌ها ضروری است. ارگانیسم‌های زنده با اکسیژن که در آب حل می‌شود تنفس می‌کنند. مقدار اکسیژن محلول به طور مستقیم با درجه حرارت جریان آب مرتبط است. هرچه که آب سردتر باشد، اکسیژن محلول آن نیز بیشتر می‌شود. از آنجاکه واضح است رابطه مستقیمی بین دمای هوای و دمای جریان آب وجود دارد؛ بنابراین در یک نگاه کلی بر تغییر اقلیم و گرمایش کره زمین با افزایش دما جو می‌توان کاهش اکسیژن محلول را انتظار داشت؛ این پارامتر به صورت غلظت حداقل روزانه یا غلظت میانگین در یک دوره نمونه روزانه، ۷ روزه و ماهانه بیان می‌شود [۷۱]؛ اما با دید موشکافانه و دقیق تر می‌توان بر تغییرات غلظت اکسیژن محلول در عمق و ارتباط آن با لایه بندی حرارتی نگاه ویژه ای داشت [۷۲]. به این دلیل که دمای جریان یک عامل مهم واصلی بر حلالیت گازهای حل شده از جمله اکسیژن، سینتیک واکنش‌های زیستی و توزیع انواع گونه‌ها و حیات ماهی‌ها و آبزیان است. از جهت دیگر می‌توان اشاره کرد که لایه بندی حرارتی به علت تفاوت در چگالی آب که برآمده از اختلاف دمای در ترازهای مختلف است، حاصل می‌شود و مانع دریافت اکسیژن از منابع خارجی می‌شود، درنتیجه کمبود اکسیژن با ایجاد شرایط بی‌هوایی بر بسیاری از فرایندهای بوم شناختی و شیمیابی تأثیر منفی می‌گذارد [۷۳].

۱۲-۲ - تغذیه گرایی

تغذیه گرایی به عنوان یکی از اصلی ترین و مهم ترین مشکلات کیفیت آب در مخازن و دریاچه ها شناخته می شود و دلیل اصلی پیدایش آن، ورود بار مواد مغذی از حوضه آبریز بالادست به مخزن می باشد. فرآیند تغذیه گرایی، یک فرآیند بیولوژیکی است که به دلیل حضور مواد مغذی نظیر فسفر و ازت، با افزایش و رشد موجودات دارای کلروفیل در مخزن همراه می باشد. منابع اصلی تأمین مواد مغذی، شامل منابع آلاینده شهری و روستایی، صنعتی، زهاب کشاورزی و فرسایش خاک است. از مهم ترین علائم بروز تغذیه گرایی، رشد بی رویه جلبک ها و گیاهان در کنار پیکره آبی، کاهش شفافیت و تغییر رنگ آب، کاهش میزان اکسیژن محلول و حتی حذف کامل آن از اعماق مخزن در فصل تابستان و رشد گیاهان و جلبک ها در سطح آب می باشد. ورود مواد مغذی به مخزن، از ۳ منبع عمده حوضه آبریز، رسوبات و اتمسفر تأمین می شود که منبع اتمسفر، تنها در دریاچه های بسیار بزرگ قابل توجه می باشد. میزان حضور مواد مغذی و توده بیولوژیک گیاهی در آب، درجه ابتلای مخزن به تغذیه گرایی را تعیین می کند. این دسته بندی در ۳ سطح تعریف می شود [۷۴]:

۱۳-۲-مدارسازی

امروزه مدل سازی به عنوان ابزار مناسب و کارآمد در تعیین و ارزیابی اثرات آلاینده های مختلف در مدیریت کیفی پیکره های آبی تبدیل شده است. با شناخت کافی از پارامترهای کیفی می توان از یک مدل مناسب بهره گیری کرد و به شبیه سازی کیفی و اقدامات مدیریتی پرداخت. اگرچه مدل ها دارای محدودیت های خاصی می باشند ولی نقش مهمی در کنترل، پیش بینی و مدیریت منابع آب دارند. شناخت کامل پدیده های کیفی آب و آشنایی با نقاط ضعف و قوت مدل ها و مقایسه کارایی آنها لازمه استفاده از مدل سازی می باشد. جهت کارآمد بودن یک مدل مسائل مختلفی نظری قابل اعتماد بودن، سادگی کار با آن، هزینه های مربوطه و منافع حاصل، از آن، باید مورد ارزیابی، قرار گیرد.

۱۳-۲ - مدل مناسب

کار مدل سازی برای این نوع پژوهش شامل دو بخش، مدل هیدرودینامیکی و مدل کیفیت آب است. مدل هیدرودینامیکی عمدتاً به ویژگی های فیزیکی محزن می پردازد، در حالی که مدل کیفیت آب ویژگی های شیمیایی و بیولوژیکی را در نظر می گیرد. هیدرودینامیک رودخانه و دریاچه تعیین کننده های مهم کیفیت آب هستند. مدل های

۱۳-۲ - مدل مناسب

- سطح شادابی یا الیکوتروف^{۲۷}: به دریاچه هایی گفته می شود که جرم توده بیولوژیک گیاهی و غلظت مواد مغذی در آنها پایین و سطح شفاقت آب بالاست.

سطح بینابینی یا مزوتروف^{۲۸}: حالتی بینابین شرایط شاداب

و غلظت اجزای کیفیت آب را شبیه سازی کند. مدل CE-QUAL-W2 برای مخازن و دریاچه های نسبتاً طولانی و باریک مناسب است تا کیفیت پارامترها را در قالب پروفیل های عمودی و طولی نشان دهد. خواص آماری داده های کیفیت آب به دلیل تعداد کمتر نمونه های موجود، چه از نظر مکانی و چه زمانی، با داده های هیدرولوژیکی موجود متفاوت است [۸۲]. در پایگاه های اطلاعاتی اقلیمی، داده ها با فرکانس های متفاوتی در دسترس هستند که از فرکانس های سالانه، ماهانه، روزانه، ساعتی و حتی کوتاه تر متغیر است. با این حال، برای پایگاه داده کیفیت آب، فرکانس معمولی یک بار در ماه است. همچنین، توزیع فاصله داده ها برای داده های کیفیت آب محدودتر است. تفکیک مکانی زمانی کوچک داده های کیفیت آب ممکن است معیارهای آماری درستی ایجاد نکند، بنابراین تفسیر تخصصی از نتایج ضروری است [۷۸]. برای داشتن بهترین انتخاب پارامترهای کیفیت آب، می توانیم الزامات داده ورودی CE-QUAL-W2 را که یک مدل جامع کیفیت آب است، بررسی کنیم. مدل CE-QUAL-W2 از داده های چندین گروه از مواد مغذی معدنی و آلی، فیتوپلانگتون و زوپلانگتون استفاده می کند. CE-QUAL-W2 دارای ۲۸ متغیر حالت، ۲۳ متغیر کیفیت آب مشتق شده و ۷۳ شار کیفیت آب است. اکثر این متغیرها مستقیماً از پایگاه های داده کیفیت آب در دسترس هستند، اما تعدادی متغیر وجود دارد که از یک سری معادلات یا بر پایه هم بستگی با متغیرهای دیگر محاسبه می شوند. مدل CE-QUAL-W2 برای تجزیه و تحلیل کامل سیستم به تمام ۲۸ متغیر حالت، به عنوان داده های ورودی کیفیت آب نیاز دارد [۸۳]. برای کالیبره کردن مدل شامل مقایسه داده های مشاهداتی و داده های پیش بینی شده می باشد. عملیات کالیبراسیون آنقدر تکرار می شود تا تطبیق قابل قبولی بین نتایج پیش بینی شده و اندازه گیری شده به وجود آید. هیچ راهنمایی برای تشخیص قبل قبول برای تطابق نتایج وجود ندارد و کاربر بر حسب ملزومات موردنیاز در هر پروژه تصمیم می گیرد که تطابق به اندازه کافی می باشد یا خیر. به طور معمول کالیبراسیون مدل با جریان آب شروع شده و به دنبال آن دما و سپس سار مشخصه های کیفی آب موردنبررسی قرار می گیرند. برای کالیبره کردن هیدرودینامیکی، علاوه بر کالیبراسیون درجه حرارت، سایر مشخصه های کیفی آب نیز باید موردناستفاده قرار گیرد. انتخاب پارامتر مناسب برای کالیبراسیون مدل بر حسب نوع بدنه آبی می تواند متفاوت باشد. [۸۴]. برون و همکاران، برای پیش بینی اثرات تغییر اقلیم بر دمای آب، در خور یا کویننا در ایالت متحده آمریکا از مدل CE-QUAL-W2 استفاده کردند. نتایج ریز مقیاس نمایی شده مدل CIMP5، نشان می دهد که مقدار دما در این ناحیه به طور میانگین در هر دهه $0^{\circ}/3$ درجه سانتی گراد افزایش می یابد. افزایش دما 3° درجه سانتی گراد در این حوضه آبریز، دمای آب را در خور $0^{\circ}/7$ الی $1^{\circ}/6$ درجه سانتی گراد افزایش می دهد. با بررسی میزان تغییرات دما، بیشترین میزان تغییرات در فصل تابستان مشاهده می شود [۸۵]. آزادی و همکاران تحت تأثیر اقلیم، کیفیت آب را پیش بینی کردند. آنها یا به کارگیری دو مدل CE-QUAL-W2 و IHACRES استفاده کردند. آنها در آذربایجان شرقی در کشور ایران را تحت سناریو A2 موردمطالعه قرار دادند. نتایج به دست آمده حاکی از آن بود که دمای هوا $1^{\circ}/3$ درجه سانتی گراد و دمای سطح آب $1^{\circ}/19$ درجه سانتی گراد در دوره $-2^{\circ}/0^{\circ}26$ افزایش خواهد یافت. همچنین میزان TDS به $3^{\circ}/4$ گرم افزایش $20^{\circ}39$

هیدرودینامیکی متغیرهایی را که بر چگالی و گردش آب تأثیر می گذارند، مانند دما، کل مواد جامد محلول و کل جامدات معلق را در نظر می گیرند [۷۸]. برای رسیدگی به کلیه فرایندهای اساسی که به کیفیت آب دریاچه ها و مخازن کمک می کند، چارچوب مدل باید به اندازه کافی دقیق باشد. برای رسیدگی به کلیه فرایندهای اساسی که به کیفیت آب دریاچه ها و مخازن کمک می کند، چارچوب مدل باید به اندازه کافی دقیق باشد [۷۹]. مدل های بالقوه که می توان از آنها استفاده کرد، شامل برنامه شبیه سازی تجزیه و تحلیل کیفیت آب (WASP) توسط آژانس حفاظت از محیط زیست آمریکا (EPA)، (EFDC) و MIKE21 توسط مؤسسه هیدرولیک دانمارک ویرجینیا، MIKE3 و CE-QUAL-W2 (DHI) توسط ارتش ایالات متحده و دانشگاه ایالتی پورتلند توسعه یافته اند. این مدل ها بیشترین استناد و کاربردی ترین مدل های کیفیت آب در سطوح دانشگاهی و صنعتی هستند و توسط بسیاری از سازمان های محیط زیستی مانند محیط زیست و تعییرات آب و هوایی کانادا و آژانس حفاظت از محیط زیست ایالات متحده توصیه می شوند. مدل WASP می تواند در یک بعد دو بعد و سه بعد استفاده شود. با این حال، از آنجا که مدل فقط معادلات کیفیت آب را حل می کند، باید با مدل دیگری برای هیدرودینامیک همراه شود [۷۸]. مدل های EFDC و MIKE3 مدل های سه بعدی پیچیده ای هستند که تمام الزامات این مطالعه را براورده می کنند. مدل EFDC از تقسیم بندی افقی و لایه بندی سیگما عمودی استفاده می کند در حالی که مدل MIKE3 از شبکه های مش مثلثی استفاده می کند [۸۰]. با این حال، زمان های طولانی محاسباتی که شامل تجزیه و تحلیل عدم قطعیت است، کار را کمی دشوار می کند.

CE-QUAL-W2 یک مدل کیفیت آب ۲ بعدی است که بیش از ۴۰ سال رو به پیشرفت است و در سیستم های متعددی در سراسر جهان با موفقیت آزمایش شده است. نیروی مهندسی ارتش آمریکا این مدل را در سال ۱۹۷۵ عرضه کردند. این مدل توسط ادینگر و بوکاک حدود ۱۰ سال توسعه یافت و در سال ۱۹۸۴ به تیم بعدی به رهبری تام کول واگذار شد. بیشتر کارها بر روی نظریه های اساسی کار در ۲۰ سال آینده انجام شد. پس از ۳۰ سال پیشرفت، گروه مهندسان ایالات متحده توسعه مدل را متوقف کرد و مدل را به دانشگاه ایالتی پورتلند منتقل کرد [۷۸]. در این مدل ها شبیه سازی جریان و کیفیت، در جهت جریان که معمولاً در جهت محور طولی مخزن است انجام می شود. در مخازن کوچک، کم عمق و در حالت اختلاط کامل قابل کاربرد هستند. فرض برآن است که در جهت عرض و عمق گرادیان متغیرها وجود ندارد و لذا کمترین اطلاعات را نیاز دارند [۸۱].

۲-۱۴- مدل CE-QUAL-W2

یک مدل هیدرودینامیکی و کیفی آب است که توسط آژانس حفاظت از محیط زیست آمریکا (EPA) پیشنهاد شده است. این مدل در ابتدا برای مخازن توسعه یافته است، اما می توان از آن برای رودخانه ها نیز استفاده کرد. این مدل دو بعدی از روش حل اختلاف محدود استفاده می کند و می تواند توزیع عمودی و طولی انرژی حرارتی، مواد شیمیایی و بیولوژیکی انتخاب شده در توده آب را در طول زمان شبیه سازی کند. این مدل می تواند حجم، سطح آب، چگالی، سرعت های عمودی و طولی

های تجزیه بی هوازی در ناحیه زیر لایه سرعت می گیرد که درنتیجه آن ترکیبات موجود در این لایه احیا شده و کیفیت آب در دریاچه ها و مخازن تنزل می یابد. همچنین با توجه به تأثیر دما بر شدت لایه بندی حرارتی آب، پدیده تغییر اقلیم می تواند الگوی لایه بندی حرارتی را تغییر داده و شرایط متفاوتی از کیفیت آب را در دریاچه ها و مخازن سد پدید آورد.

در سال های اخیر، با پیشرفت های صورت گرفته در زمینه پردازش کامپیوترا، پیش بینی های اقلیمی توسط مدل های گردش عمومی جو و تحت سناریوهای انتشار گازهای گلخانه ای انجام شده. این مدل ها به عنوان پیش بینی کننده های هیدرولوژیکی و اقلیمی، تحول عظیمی در پیش بینی های اقلیمی به وجود آورده اند اما باید توجه داشت که این مدل ها در تعیین مقدار کمی متغیرها در مقیاس ناحیه ای می باشد؛ بنابراین باید از روش های ریزمقیاس نمایی برای تبدیل مقیاس بزرگ مدل های گردش عمومی جو، به مقیاس ناحیه ای استفاده شود.

جهت مشاهده منابع این مقاله، اسکن کنید:



می یابد [۸۶]. شربیان و همکاران باهدف بررسی اثرات پدیده تغییر اقلیم بر بار مواد مغذی حوضه آبریز و وضعیت تغذیه گرایی در مخزن سد مهاباد، از دو مدل اقلیمی CanESM2 و HadCM3 و برای مدل اقلیمی از CanESM2 مختلف A2 و B2 برای مدل HadCM3 استفاده شد. در این پژوهش سناریوهای RCP4.5، RCP2.6، RCP8.5 استفاده شد. در مطالعه برای ریزمقیاس نمایی از مدل آماری SDSM در منطقه مورد مطالعه استفاده کردند که افزایش دما و کاهش باران را پیش بینی نمود. سپس با به کارگیری مدل هیدرولوژیکی حوضه آبریز، SWAT تأثیر تغییرات دو متغیر جوی بارندگی و دما را بر میزان رواناب، بار مواد مغذی و بار رسوب حوضه آبریز تخمین زده شد. روند غالب میزان بار مغذی و رواناب ورودی به مخزن، نسبت به دوره پایه روند کاهشی بود و تنها در سناریو ۶/۲، این روند با افزایش همراه بود. پیش بینی پارامترهای اقلیمی و بار مواد مغذی ورودی از حوضه آبریز، به بررسی لایه بندی حرارتی و وضعیت کیفیت آب در مخزن سد مهاباد با نرم افزار دوبعدی CE-QUAL-W2 انجام گرفت. در فصل تابستان بیشترین میزان تغییرات در دمای آب مخزن مشاهده شد. بر پایه نتایج به دست آمده، پدیده تغییر اقلیم، موجب بحرانی تر شدن شرایط تغذیه گرایی در مخزن سد مهاباد خواهد شد [۸۷].

۳- نتیجه گیری

موضوع تغییر اقلیم و اثرات احتمالی آن بر بخش های مختلف اجتماعی، اقتصادی و زیست محیطی، به عنوان یکی از پیامدهای مضر فناوری مطرح است. این پدیده بر کلیه مؤلفه های هیدرولوژیکی و هواشناسی و همچنین کیفیت آب اثرگذار است. اثرات این پدیده با توسعه فناوری، صنایع و تکیه بیشتر به سوخت های فسیلی افزایش خواهد یافت که می تواند تهدیدی جدی برای منابع آب در دسترس باشد. از این رو، مدیریت صحیح منابع آب و ایجاد بسترها مناسب برای مواجه با اثرات این پدیده، امری ضروری می باشد.

تغییرات در بارندگی و همچنین دمای هوا که بر کیفیت و کمیت آب تأثیرگذارند، مدیران این عرصه را مجاب می کند که تغییرات اقلیمی را در برنامه ریزی های هیدرولوژیکی و سیستم اقلیمی وجود دارد، هر تغییری که در اقلیم ایجاد می گردد، نیز بر روی عناصر چرخه هیدرولوژیکی نیز تأثیرگذار خواهد بود. رواناب آبدیهی رودخانه، تبخیر و تعرق، آب های زیرزمینی، شدت خشکی و سیلاب، همگی متأثر از دما و بارش می باشند که از مهم ترین عناصر اقلیمی هستند.

تحقیقات گسترده صورت گرفته در این زمینه، نشان دهنده تأثیر قابل توجه و جدی افزایش دما و تغییرات در الگوی در اثر پدیده تغییر اقلیم بر چرخه هیدرولوژیکی و سایر روندهای طبیعی در مقیاس حوضه آبریز می باشد که بر کیفیت و کمیت منابع آب که پذیرنده جریان های ورودی از سطح حوضه تأثیرگذار می باشد. از جمله این تغییر و تحولات می توان به تغییر دربار رسوب، میزان رواناب و بار مواد مغذی اشاره کرد.

لایه بندی حرارتی و غلظت اکسیژن محلول از دیگر پارامترهای مورد مطالعه در کیفیت آب دریاچه ها و مخازن سد می باشد. پدیده لایه بندی حرارتی منجر به تغییر کیفیت آب در اعماق مختلف بدنه آبی می شود. برای نمونه، در حالت های شدید لایه بندی حرارتی، فعالیت

توسعه بنادر و ملاحظات زیست محیطی

علی اکبر احترامی

دکتری مهندسی رئوتکنیک دانشگاه شهید بهشتی / ورودی ... ۱۴



E-mail Address: a_ehterami@sbu.ac.ir

چکیده

ساخت و گسترش بنادر از اساسی‌ترین پروژه‌های توسعه محور کشورها برای تسهیل تجارت بین‌المللی، افزایش بهره‌وری حمل و نقل دریایی و تقویت حفاظت ساحلی در برابر نیروهای طبیعی هستند. با این حال، ساخت سازه‌های ساحلی و گسترش بنادر اغلب تأثیرات زیست‌محیطی قابل توجهی را به همراه دارند که می‌توانند تعادل حساس اکوسیستم‌های ساحلی و جانوران دریایی را تحت تأثیر قرار دهند. با توجه به اینکه در سال‌های اخیر موضوع پایداری و مدیریت محیط‌زیست بحث اصلی مجتمع بین‌المللی بوده، اهمیت حفاظت از محیط‌زیست و کاهش پیامدهای اکولوژیکی در پروژه‌های توسعه محور و زیرساختی بیش از پیش احساس می‌شود. باید توجه داشت که حفاظت از محیط‌زیست یک مسئله ملی یا منطقه‌ای نیست، بلکه یک وظیفه اخلاقی و انسانی است.

کلمات کلیدی: توسعه دریا محور، اقتصاد آبی، حفاظت از محیط‌زیست، سازه‌های ساحلی، توسعه بنادر.

بنابراین با توجه به حجم گستردگی صادرات و واردات کالا، توسعه بنادر به عنوان دروازه‌های ارتباطی کشور در راستای توسعه دریا محور، امری ضروری است.

معمولًاً به منظور ساخت اسکله‌ها و سازه‌های ساحلی، انجام عملیات بهسازی خاک بستر دریا و یا تعویض خاک محل به دلیل وزن بالای این سازه‌ها ضروری است [۱]. عملیات بهسازی خاک، اکوسیستم‌های ساحلی را مختل نموده و تأثیرات محرابی بر کیفیت آب، توزیع رسوبات و تغییر محیط‌های دریایی دارد. پیامدهای این امر، می‌تواند موجب اختلال در فرآیندهای طبیعی که برای حیات جانداران دریایی لازم است، شود. برنامه‌های بازسازی محیطی و حفظ تنوع زیستی نقش اساسی در حفظ و یا حتی افزایش سلامت اکولوژیکی مناطق تحت تأثیر دارند. این برنامه‌ها معمولًاً شامل ایجاد محیط‌های جدید، انتقال گونه‌های آسیب‌پذیر، یا ایجاد مناطق حفاظت‌شده دریایی برای ایجاد بازیابی تنوع زیستی هستند.

کنترل مؤثر فرسایش و مدیریت رسوبات، راهبردهای اصلی در حفاظت از محیط‌زیست در ساخت و سازهای ساحلی می‌باشند. حذف موائع طبیعی و ایجاد تغییر در مسیر انتقال رسوبات، می‌تواند منجر به افزایش نرخ فرسایش شود و علاوه بر دوره عمر پروژه، اکوسیستم‌های ساحلی اطراف آن را نیز تحت تأثیر قرار دهد. استفاده از روش‌هایی نظیر انتقال رسوبات به سواحل، ایجاد ریف‌های مصنوعی^۱ و سیستم‌های عبور رسوبات می‌توانند به کاهش این تأثیرات کمک کنند و از پایداری ساحل و محیط‌های زیست دریایی حفاظت نمایند.

پروژه‌های ساخت و ساز در مناطق ساحلی به طور طبیعی پسماندها و آلینده‌هایی تولید می‌کنند که اگر به درستی مدیریت نشوند، می‌توانند به محیط‌زیست آسیب برسانند؛ بنابراین، استفاده از روش‌های مدیریت

۱- مقدمه

اقتصاد دریا محور که در اصطلاح جهانی به آن اقتصاد آبی^۲ گفته می‌شود، در واقع استفاده پایدار از منابع و گسترهای آبی اعم از اقیانوس‌ها، دریاها، دریاچه‌ها، سواحل و جزایر، برای رشد اقتصادی، بهبود وضعیت معیشت و ایجاد مشاغل است. واژه اقتصاد آبی برگرفته از رنگ آبی گسترهای دریایی و در برگیرنده فعالیت‌های اقتصادی مربوط به عرصه‌های آبی و طیف وسیعی از بخش‌های مستقر و نوظهور است. گستره فعالیت‌های اقتصادی آبی فراتر از فعالیت‌های سنتی مانند شیلات، گردشگری و حمل و نقل دریایی تعریف شده و مستلزم صنایع جدید از جمله انرژی‌های تجدیدپذیر، آبزی پروری، فعالیت‌های استخراج از دریا، بیوتکنولوژی^۳ و زیست‌هواشناسی دریایی^۴ است.

کشور ایران نیز با توجه به موقعیت ژئوپلیتیک خود در منطقه و جهان، دارای نقشی کلیدی و حساس است، از همین‌رو و با توجه به دارا بودن بیش از ۵۸۰۰ کیلومتر خطوط ساحلی، دسترسی به دریا در شمال و جنوب، دسترسی به آبهای آزاد از طریق اقیانوس هند، مجاورت با منطقه راهبردی خلیج فارس و تنگه هرمز و قرارگرفتن در کریدورهای ترانزیتی بین‌المللی بایستی به دنبال توسعه پایدار با رویکرد دریایی باشد، تعبیری که تحت عنوان توسعه دریا محور به آن اشاره می‌شود. بررسی‌های کارشناسان نشان می‌دهد که سهم دریا از تولید ناخالص داخلی در کشورهای ساحلی توسعه‌یافته عضو اتحادیه اروپا ۵۰٪ است، اما این رقم در کشور ایران، با وجود بیش از ۵۸۰۰ کیلومتر نوار ساحلی، فقط ۲٪ می‌باشد. از سوی دیگر طبق اعلام کارشناسان در حال حاضر حدود ۹۵٪ واردات و ۸۵٪ صادرات کشور از طریق بنادر انجام می‌شود؛

1 Blue economy

2 Biotechnology

3 Marine biometeorology

ضروری است که این فعالیت‌ها با دقت بالا و با در نظر گرفتن اثرات پیش‌بینی‌نشده آنها بر تعادل حساس بیولوژیکی در محیط ساحلی، برنامه‌ریزی و انجام شوند. به این ترتیب آثار تغییرهای اعمال شده بر محیط‌زیست و موجوداتی که در پیرامون بندر زندگی می‌کنند، به حداقل خواهد رسید.

۲-۲- در نظر گرفتن عوامل زیست‌محیطی

در مورد کیفیت آب، توجه به صرف موادی مانند مواد معدنی، رسوبات، میزان آلودگی‌ها در آب و مواد معلق شناور کافی نبوده و می‌باشد به موج‌های قرمز^۶، مناطق کم اکسیژن^۷ و موج‌های آبی^۸ که نشانه‌هایی از بروز آلودگی در آب هستند نیز، توجه نمود. این موارد می‌توانند بر تعادل مواد در آب آب تأثیرگذار باشند، بنابراین ارزیابی آنها از دیدگاه چرخه مواد در آب مهم است.

در مورد رسوبات تهشیش شده، باید به عواملی مانند ترکیب مواد آلی، توزیع اندازه ذرات و حضور مواد شیمیایی و فلزات سنگین توجه کرد. علاوه بر این، بررسی میزان تأثیر این رسوبات بر روی کیفیت کل آب، ضروری است. زیرا، باید توجه نمود که این رسوبات موجب کاهش سریع سطوح اکسیژن در لایه‌های پایینی آب به علت تجزیه رسوبات و افزایش مواد معدنی در محیط‌های کم اکسیژن شده و موجب بروز آلودگی ثانویه می‌گردد. علاوه بر این، ذرات ریزی که در مناطق محدود در سیار می‌نمایند، متمایل به جذب مواد مضر مانند فلزات سنگین هستند.

در مورد کیفیت‌ها، توجه اصلی به عواملی نظیر گرما، گازها (مانند: NOX، SOX، CO2)، ذرات ریز و سایر آلاینده‌هایی که توسط کشتی‌ها، وسایل نقلیه، تجهیزات بارگیری کالا در بنادر و فعالیت‌های شرکت‌های واقع در مناطق بندری به هوا انتشار می‌یابند، خواهد بود. اگرچه این آلاینده‌ها اغلب به دلیل فعالیت‌های مختلف در بندر ایجاد می‌شوند، اما مطابق با استانداردهای فنی، از زمان آغاز مرحله طراحی، ساخت و نگهداری سازه‌ها، می‌باشد وسایل نقلیه، ماشین‌آلات و تجهیزات مرتبط مناسب مورد انتخاب و استفاده قرار گیرند. انتشار CO2 که یکی از عوامل بروز و تشديد پدیده گرمایش جهانی است، اصلی‌ترین نوع گازهای گلخانه‌ای منتشرشده از مناطق بندری بوده و باید مورد توجه ویژه قرار گیرد. گاز CO2 حدود ۹۰٪ از گازهای گلخانه‌ای منتشرشده در کشور ژاپن را تشکیل می‌دهد.

در مورد موجودات زنده (حیوانات و گیاهان) و اکوسیستم‌ها، تمرکز باید بر حفظ تنوع زیستی، پایداری محیط‌زیست و تأثیر بر گونه‌های شاخص در اکوسیستم‌های دریایی مانند جلیک‌زارهای دریایی، پنهان جزرومدمی^۹، مرجان‌زارها^{۱۰} و... باشد. گونه‌های شاخص، گونه‌هایی هستند که موقعیت آنها بالای زنجیره غذایی در اکوسیستم خود بوده و معمولاً ویژگی‌های یک محیط خاص را نشان می‌دهند. یک اکوسیستم دریایی از موجودات زنده، مواد غیرزنده و محیط‌های مختلف اطراف آنها تشکیل شده و به عنوان محیط‌زیست برای موجودات زنده با وظایفی نظیر تصفیه آب، چرخه مواد، جدایی و ذخیره‌سازی کربن (کربن

پسماند، شامل بازیافت، دفع و پیشگیری از تولید آلاینده‌ها، ضروری است تا تأثیرات منفی بر اکوسیستم‌های دریایی به کمترین مقدار خود برسند. به کارگیری مصالح قابل بازیافت و روش‌های ساخت و ساز سازگار با محیط‌زیست نیز اثرات منفی اکولوژیکی این پروژه‌ها را کاهش می‌دهند. همچنین، احداث پرده‌های گل‌ولایی و تله‌های رسوب در محیط آبی، اطراف پروژه برای کاهش انتشار رسوبات و سایر آلاینده‌ها به محیط، تدوین برنامه‌های مقابله با نشت نفت، به حداقل رساندن آلودگی صوتی با استفاده از تجهیزات مدرن و اجتناب از ساخت سازه‌های ساحلی و دریایی در مناطقی با زیستگاه‌های دریایی حساس، مانند صخره‌های مرجانی و جلیک زارهای دریایی^{۱۱}، در کاهش اثرات مخرب پروژه‌های توسعه‌ای مناطق ساحلی مفید هستند.

یکی از رویکردهای اصلی برای کاهش تأثیرات محیطی پروژه‌های ساخت و ساز ساحلی، گنجاندن اصول طراحی پایدار و برنامه‌ریزی دقیق در فرآیند طراحی و اجرا است که شامل انجام ارزیابی تأثیرات محیطی دقیق برای شناسایی خطرات و حساسیت‌های ممکن در منطقه موردنظر برای ساخت پروژه می‌شود. با ارزیابی عوامل اکولوژیکی و انجام تجزیه و تحلیل جامع محلی، برنامه‌ریزان و مهندسان می‌توانند تصمیمات صحیح در مورد روش ایمن انجام پروژه، تکنیک‌های ساخت و اقدامات کاهنده خسارت‌ها را انجام دهند.

در این یادداشت به موضوع بحرانی حفاظت محیط‌زیست در سیار پروژه‌های ساخت و ساز مرتبط با بنادر، دیوارهای ساحلی و موج‌شکن‌ها پرداخته می‌شود. این مطالعه چالش‌هایی که ممکن است در نتیجه پروژه‌های توسعه بنادر مطرح شوند را مورد بررسی قرار می‌دهد و به بررسی راهبردها و روش‌هایی می‌پردازد که در حفظ محیط‌زیست در کنار تحقق اهداف این پروژه‌ها به کار می‌روند.

۲- ملاحظات زیست‌محیطی

در طراحی، ساخت، و نگهداری سازه‌های ساحلی تحت استانداردهای فنی، باید به حفظ محیط طبیعی، بهبود چشم‌انداز منطقه‌ای و ایجاد امنیت پایدار توجه شود. به عبارت دیگر، هنگام طراحی و ارائه نقشه‌ها، تعیین ابعاد و مشخصات، همچنین انتخاب نوع ساختارها، مصالح، و روش‌های ساخت، عواملی چون امکان‌پذیری، کارایی، مصرف بهینه منابع و دیگر موارد مرتبط باید در نظر گرفته شوند. برای حفاظت از محیط‌زیست در نزدیکی سواحل، باید به ایجاد یک محیط اکولوژیکی سالم تمرکز نمود و سعی در کمینه‌سازی تأثیرات مخرب بر محیط‌زیست داشت. ملاحظات زیست‌محیطی در یک محیط طبیعی شامل عناصری چون کیفیت آب، شرایط رسوب، کیفیت هوا، و همچنین اکوسیستم‌ها و موجودات زنده است [۲].

۲-۱- عوامل اصلی کنترل کننده محیط طبیعی

نیروهای طبیعی مانند جزرومدم و امواج، نقش اساسی در تعیین نحوه حرکت مواد و پخش آنها و محیط‌های زنده مرتبط با محیط‌زیست طبیعی بنادر دارند. فعالیت‌های ساخت و نگهداری بنادر نیز می‌توانند اثرات مختلفی را در محیط طبیعی ایجاد نمایند و بر جریان آب و موجودهای زنده‌ای که در بنادر زندگی می‌کنند، تأثیرگذار خواهند بود؛ بنابراین،

6 Red tides

7 Hypoxia water masses

8 Blue tides

9 Tidal flats

10 Coral communities

به کارگیری عوامل تهدیدکننده یا خطرآفرین گردد. با شناسایی و رفع این نقاط کور، می‌توان شاخص‌های امنیتی بنادر را بهبود بخشد.

۲-۷- امنیت سایبری بنادر

امنیت سایبری در حفاظت غیرفیزیکی تأسیسات بنادر و سازه‌های ساحلی، بسیار مهم است. امروزه، تکنولوژی بهروز و اینترنت در سرعت‌بخشی و تسهیل مدیریت عملیات و وظایف بنادر یک نقش بسیار مهم ایفا می‌کند. به عنوان یک نقطه نفوذ امنیتی، ممکن است بنادر، موردن هدف حملات سایبری متعددی قرار گیرند که می‌تواند به تخرب یا قطع سرویس‌های حیاتی در بنادر منجر شود. امنیت سایبری در حفاظت از بنادر به معنای اتخاذ تدابیر و راهبردهایی برای پیشگیری از حملات سایبری، تشخیص نوع و کیفیت واکنش به تهدیدات، و بازیابی آسیب‌ها و تأثیرات آنها است. استفاده از سیستم‌های فایروال و سیستم‌های حفاظتی، مانیتورینگ شبکه‌ها برای تشخیص حملات، آموزش کارکنان برای مقابله با حملات سایبری و برنامه‌ریزی برای مواجهه با این نوع حملات، انجام مانورهای امنیت سایبری توسط متخصصین داخلی و به کارگیری نیروها و متخصصین امنیت شبکه در سیستم مدیریت بنادر و سازه‌های ساحلی ضروری است. امنیت سایبری در بنادر، به منظور حفاظت از اطلاعات مهم، سیستم‌های کنترل ترافیک و تأسیسات که برای عملکرد بنادر ضروری هستند، بسیار حیاتی است. شایان ذکر است، امنیت سایبری در حفاظت از بنادر نیازمند توجه دقیق به جزئیات و بروزرسانی مداوم است تا از تأثیرات منفی حملات سایبری جلوگیری شود و عملکرد بنادر در تمام شرایط تضمین گردد.

۲-۸- ملاحظات مربوط به افراد دارای چالش‌های حرکتی

در طراحی و توسعه امکانات عمومی، بهویژه امکاناتی که برای استفاده تعداد زیادی از مردم قرار دارند، در نظر گرفتن نیازهای گروه‌های مختلف افراد؛ از جمله سالمندان و افراد معلول ضروری است. این رویکرد جامع، اطمینان می‌دهد که همه افراد، بدون توجه به سن یا توانایی جسمانی، بتوانند به راحتی و با این‌مانی به این امکانات دسترسی پیدا کنند و از آنها بهره‌برداری نمایند.

به عنوان مثال، در هنگام طراحی تأسیسات پهلوگیری برای کشتی‌های مسافری، طراح باید ویژگی‌هایی نظر پله‌ها، دستگیره‌ها و نقاط بارگیری و تخلیه قابل دسترسی را در نظر بگیرد تا مسافران دارای چالش‌ها و محدودیت‌های حرکتی نیز بتوانند به راحتی از امکانات به وجود آمده استفاده نمایند. این مفهوم باید به طراحی سواحل و سازه‌های ساحلی نیز تعمیم یابد؛ برای نمونه، مسیرها، مکان‌های توقف جهت استراحت و امکانات بهداشتی باید طوری طراحی شوند که برای همه بازدیدکنندگان، از جمله افرادی که از ویلچر یا وسایل حرکتی دیگر استفاده می‌کنند، دسترسی آسان فراهم باشد.

در فضاهای سبز، طراحی‌های منظر و طراحی‌های مسیرها می‌توانند محیطی ایجاد کنند که برای سالمندان و افراد معلول لذت‌بخش و دسترسی آسان داشته باشند. با گنجاندن این ملاحظات در طراحی سازه‌های ساحلی، می‌توان محیط‌هایی ایجاد کرد که به نیازهای تمام اعضای جامعه پاسخ دهند. این عمل نه تنها کیفیت زندگی افراد با توانایی‌های متنوع را افزایش می‌دهد، بلکه به بهبود کلی زندگی شهروندان مجاور و کارکنان مناطق بندری کمک می‌کند.

آبی^(۱)، تولیدات بیولوژیکی و... عمل می‌کند. در طراحی، ساخت و نگهداری از سازه‌های ساحلی، بررسی و مطالعه اثر این فعالیت‌ها بر روی اکوسیستم‌های دریایی ضروری است.

۲-۳- عوامل اصلی کنترل کننده محیط طبیعی

یکی از روش‌های کارآمد، ایجاد یک سازوکار مدیریت تطبیقی است که به طور منظم شرایط را با استفاده از اطلاعات و فناوری‌های مناسب بررسی می‌کند. هدف اصلی مدیریت تطبیقی کمک به حصول اطمینان از مؤثرپذیری اهداف تعریف شده و اقدامات انجام شده برای یک منطقه خاص است. همچنین، سیستم مدیریت تطبیقی با در نظر گرفتن تغییرات در محیط طبیعی و سایر عوامل، باید قادر به اعمال تغییرات در برنامه‌های از پیش تعریف شده باشد.

۴-۲- بازیافت منابع

در طراحی، ساخت و نگهداری از سازه‌های ساحلی و بندری به کارگیری مواد و مصالح قابل بازیافت و همچنین استفاده از مصالح بازیافت شده یک ضرورت و مسئولیت در جهت کمک به حفظ محیط‌زیست است. استفاده از مصالح تجدیدپذیر و یا بازیافت شده علاوه بر بهره‌وری اقتصادی به کاهش تولید زباله و نخاله‌های مصالح کمک کرده و فشار بر منابع طبیعی را کاهش می‌دهد^[۳].

۵- چشم‌اندازهای زیبا

طراحی یکپارچه پروژه‌های ساحلی، بر اساس یک هدف و مفهوم مشترک به منظور ایجاد منظره‌های منطقه‌ای دلنشیں توصیه می‌شود. هدف از ارائه یک طرح یکپارچه، به وجود آمدن یک چشم‌انداز هماهنگ برای طراحی، ساخت و نگهداری سازه‌ها بوده که با زیبایی طبیعی و شاخص‌های منطقه، شامل ملاحظات فرهنگی، سبک‌های معماری محلی، و تأثیرات کلی بر مناظر مناسب است. با اعمال دیدگاهی جامع و حفظ یک مفهوم طراحی یکپارچه، امکان ارتقای استانداردهای فنی فراتر از بعد عملیاتی و بهبود آمیزش بصری منظره به وجود می‌آید. این رویکرد نه تنها به محیط اطراف تأثیر می‌گذارد؛ بلکه کیفیت کلی زندگی افرادی که با این تأسیسات در تعامل هستند را نیز بهبود می‌بخشد. استفاده از طراحی‌های چشم‌نواز و زیبا باعث تقویت احساس غرور و افتخار در افراد ساکن و شاغل در محیط ساحلی بوده و اگر امکانات رفاهی موجود در بنادر آمادگی پذیرایی از گردشگران را داشته باشند به ایجاد کانون‌های فرهنگی و تفریحی کمک شایانی خواهد نمود.

۶- ملاحظات امنیتی بنادر

تضمين امنیت بنادر و سازه‌های ساحلی بسیار ضروری و مهم است. برای دستیابی به این هدف، اجرای سیستم‌های نظارتی قوی که مختص ویژگی‌های منحصر به فرد هر ساره و یا تأسیسات باشد، حائز اهمیت است. این سیستم‌های نظارتی باید پارامترها و وظایف گسترشده‌ای را پوشش دهند تا امکان نظارت جامع را فراهم نمایند. یکی از جنبه‌های کلیدی افزایش امنیت، حذف نقاط کور ساختاری در تنظیمات سیستم‌های نظارت است. این نقاط کور ممکن است آسیب‌پذیری‌هایی ایجاد کنند که باعث



جهت مشاهده منابع این مقاله، اسکن کنید:



مطالعه عددی رفتار رادیه-شمع متکی بر شمع‌های استوانه‌ای، مخروطی و نیمه‌مخروطی

محمدحسین عرب

کارشناسی مهندسی عمران دانشگاه شهید بهشتی / ورودی ۱۴۰۰



Arabmohammadhosseini85@gmail.com

چکیده

تحقیقات جدید، بیانگر تأثیر تغییرشکل مقطع شمع در طول آن، بر ظرفیت باربری و جابجایی شمع است. هدف از انجام این مطالعه، بررسی عددی و مقایسه رفتار استاتیکی و دینامیکی شمع استوانه‌ای با شمع‌های مخروطی و نیمه‌مخروطی، در سیستم رادیه-شمع یک سازه، به روش المان محدود و با لحاظ اندرکنش مستقیم خاک-سازه می‌باشد. براساس نتایج به دست آمده، ظرفیت باربری رادیه با شمع‌های مخروطی و نیمه‌مخروطی با حجم مصالح مصرفی کمتر، به ترتیب برابر و بیشتر از رادیه با شمع‌های استوانه‌ای است. همچنین افزایش زاویه مخروط و کاهش طول آن در شمع‌های نیمه‌مخروطی تأثیر مثبتی در بهبود عملکرد لرزه‌ای رادیه-شمع دارد.

کلمات کلیدی: شمع مخروطی، شمع نیمه‌مخروطی، اندرکنش خاک و سازه، بهبود عملکرد لرزه‌ای، تحلیل تاریخچه زمانی.

۱- مقدمه

به دست آمده از تحلیل‌های خود با استفاده از نرم‌افزار المان محدود-Plaxis 2D به این نتیجه رسیدند که ظرفیت باربری شمع‌های مخروطی در جا با ۰/۹۵ تا ۱/۹۱ درجه باریک‌شدن ۲۸٪ الی ۵۰٪ بیشتر از شمع‌های با مقطع یکنواخت است [۸]. لی و همکاران با انجام آزمایشات مختلف به بررسی ظرفیت باربری شمع‌های مخروطی در جا در خاک‌های ماسه‌ای پرداخته و نشان دادند که ظرفیت باربری نهایی شمع‌های باریک‌شونده بیشتر از ظرفیت باربری نهایی شمع‌های استوانه‌ای است. همچنین، با افزایش زاویه مخروط، ظرفیت باربری جدار شمع افزایش و ظرفیت باربری نوک شمع کاهش می‌یابد [۹]. زان و همکاران با ارزیابی ظرفیت باربری انواع شمع به این نتیجه رسیدند که در خاک‌های ماسه‌ای با اتساع کم، شمع‌های مخروطی نسبت به شمع‌های استوانه‌ای هم طول و هم حجم، ظرفیت باربری بیشتری دارند [۱۰]. فلاح با مدل‌سازی عددی در نرم‌افزار Plaxis 2D نشان داد که مخروطی کردن شمع‌های دارای ابعاد بزرگ لزوماً باعث افزایش ظرفیت باربری نمی‌شود و حتی در مواردی می‌تواند باعث کاهش ظرفیت باربری آن گردد [۱۱]. علی مرادی و برخورداری با مطالعه آزمایشگاهی نشان دادند که با افزایش زاویه مخروطی در ماسه بادی، ظرفیت باربری شمع کاهش می‌یابد. همچنین در ماسه شکسته تا زاویه مخروطی ۲/۴۵ درجه ظرفیت باربری شمع نسبت به شمع استوانه‌ای کاهش و در زاویه مخروطی ۳/۲۷ درجه ظرفیت باربری شمع مخروطی نسبت به شمع استوانه‌ای افزایش می‌یابد [۱۲].

برای طراحی و تحلیل لرزه‌ای سازه‌ها از شتاب، سرعت و جابجایی میدان آزاد به عنوان حرکت ورودی زمین و بدون در نظر گرفتن اندرکنش دینامیکی پی شمعی استفاده می‌شود. در این شرایط پاسخ میدان آزاد زمین، بسته به شرایط ژئوتکنیکی و مشخصات پی، می‌تواند نتایج تحلیل را نسبت به شرایط واقعی، دست بالا یا دست پایین برآورد نماید. همچنین در تحلیل شمع‌ها در برابر بارهای جانبی همچون زلزله، عموماً اثر سختی سازه در نظر گرفته نمی‌شود [۱۳]. براین اساس، پژوهشگران مختلف با

شمع‌ها علاوه بر تحمل نیروهای قائم، تحت نیروهای کششی و جانبی ناشی از زلزله، باد، امواج دریا و یا نیروی ناشی از جابجایی خود خاک قرار می‌گیرند. هنگامی که لایه‌های سطحی خاک مقاومت کافی برای تحمل بارهای وارد از روسازه را نداشته باشند و شناسایی‌های ژئوتکنیکی، وجود لایه‌های مقاوم در اعمق بیشتر را اثبات کنند، استفاده از شمع‌ها یک راهکار اصلی به شمار می‌رود [۱]. مطالعات، بیانگر عملکرد بسیار مناسب سیستم رادیه، متکی بر شمع به عنوان پی سازه‌های سنگین و یا سازه‌هایی که در خاک‌های مسئله‌دار ساخته می‌شوند است [۲]. رادیه-شمع، یک سازه مركب ژئوتکنیکی است که شامل سه المان شمع، یی گستره و خاک بوده و در محیط‌هایی که اجرای پی سطحی به تنها بی نیازهای طراحی را برآورده نمی‌کند به عنوان گزینه‌ای اقتصادی و فنی مطرح می‌باشد [۳]. این نگرش، طراحی پی‌های عمیق را بهینه نموده و تعداد شمع‌ها نسبت به حالت گروه شمع به میزان قابل توجهی کاهش می‌یابد. در این شرایط، علاوه بر ظرفیت باربری نهایی، عملکرد پی در نشست کلی، نشست نسبی و نیز ضخامت مورد نیاز رادیه بهبود پیدا می‌کند [۴ و ۵].

مطالعه ظرفیت باربری شمع‌ها به دلیل کاربرد روزافزون پی‌های عمیق و اهمیت بالای سازه‌هایی که بار خود را از طریق شمع به زمین منتقل می‌کنند، ضرورت پیدا می‌کند [۶]. مطالعات پک، از جمله اولین تحقیقاتی بود که بر روی ظرفیت باربری شمع‌های مخروطی انجام شد. وی به بررسی و ارزیابی اثر باریک‌شدن گمی مقطع شمع روی ظرفیت باربری شمع‌های مخروطی در خاک‌های ماسه‌ای پرداخت و به این نتیجه رسید که با مخروطی نمودن مقطع شمع در طول آن، می‌توان ظرفیت باربری شمع را بین ۱/۵ تا ۲/۵ برابر افزایش داد [۷]. خان و همکاران با استفاده از یک کار آزمایشگاهی بزرگ‌مقیاس، ظرفیت باربری شمع‌های مخروطی و استوانه‌ای در جا را در خاک‌های لایه‌ای بررسی نموده و با مقایسه نتایج

ارائه روش‌هایی به مطالعه اندرکنش خاک-شمع-سازه پرداخته‌اند که شامل چهار وجه اصلی اندرکنش دینامیکی، اندرکنش سختی، اندرکنش فیزیکی و میرایی تابشی اند. تحلیل عکس‌العمل بستر، محیط پیوسته ارجاعی و روش‌های عددی مانند المان محدود سه روش عمده تحلیل اندرکنش خاک-شمع-سازه هستند. هریک از این روش‌ها مزایا و معایبی دارند که در مراجع معتبر در مورد آنها به تفصیل بحث شده است [۱۴ و ۱۵]. روش المان محدود واقع گرایانه‌ترین شبیه‌سازی را در مدل‌های اندرکنش مستقیم خاک-شمع-سازه ارائه می‌دهد [۱۶]. گازتانس و میلوناکیس نشان دادند وجود خاک نرم در زیر سازه باعث کاهش سختی و افزایش پریود طبیعی در کل سیستم می‌گردد و سازه رفتار نرمتری از خود نشان می‌دهد [۱۷]. صامتی و قناد در سال ۲۰۱۴، اسبارتای در سال ۲۰۱۵ و چن در سال ۲۰۱۵ به بررسی اندرکنش دینامیکی خاک-پی-سازه و تأثیر آن بر پاسخ لرزه‌ای سازه‌ها پرداخته و همچنین روش‌های زیرسازه و روش‌های عددی را مقایسه نمودند [۱۸-۲۰].

مطالعه حاضر، عملکرد نوع دیگری از شمع‌ها به نام شمع نیمه‌مخروطی که کمتر مورد توجه محققین واقع شده است را بررسی می‌نماید. مهمترین معضلی که برای شمع‌های مخروطی وجود دارد، مشکل اجرای آن به خصوص در عمق‌های زیاد است. در شمع‌های نیمه‌مخروطی قسمت عمده شمع در اعمق پایین‌تر و به شکل استوانه‌ای است که با استفاده از ماشین حفار به راحتی اجرا می‌شود. قسمت مخروطی شکل آنها نیز نزدیک به سطح زمین بوده و با استفاده از یک مته مخروطی و یا به روش دستی قابل حفر است. بدلیل نسبت طول به قطر زیاد شمع‌ها، امکان افزایش زاویه مخروطی شمع بیش از یک حد خاص وجود ندارد. مزیت اصلی شمع‌های نیمه‌مخروطی نسبت به شمع‌های مخروطی، فراهم بودن امکان افزایش بیشتر زاویه بخش مخروطی است [۲۱ و ۲۲]. مطالعات گذشته عمده‌ای به بررسی ظرفیت باربری شمع تکی با مقطع متغیر پرداخته و در خصوص کاربرد شمع‌های مخروطی و نیمه‌مخروطی در سیستم رادیه-شمع تحقیق مشخصی صورت نگرفته است. در این مطالعه، رفتار استاتیکی و دینامیکی شمع‌های استوانه‌ای نسبت به شمع‌های مخروطی و نیمه‌مخروطی با حجم کاهش‌یافته در پی یک ساختمان ۶ طبقه در شهر تبریز به روش تحلیل تاریخچه زمانی غیرخطی و با مدل‌سازی اندرکنش مستقیم خاک، رادیه-شمع و سازه با استفاده از نرم‌افزار المان محدود Midas GTS NX 2022 مورد مقایسه قرارگرفته است.

۲- مطالعه موردی

جهت انجام بررسی‌های ژئوتکنیکی در محل احداث ساختمان مورد مطالعه، اقدام به حفر یک حلقه گمانه شناسایی ماشینی (BH-01) به عمق ۱۵ متر و یک حلقه گمانه شناسایی دستی (TP-01) به عمق ۵ متر در داخل قطعه شده است. شکل ۱ الف، پلان ساختمان و موقعیت حفر گمانه‌ها را نشان می‌دهد. به موازات انجام عملیات حفاری، آزمایش نفوذ استاندارد در اعماندارد در اعماق مختلف خاک انجام و بر روی نمونه‌های به دست آمده از حفاری، آزمایش‌های دانه‌بندی، هیدرومتری، برش‌مستقیم، وزن مخصوص و... صورت پذیرفت. همچنین، تصویر گمانه دستی حفرشده و تصاویر نمونه‌های اخذشده از خاک در شکل ۱ ارائه شده است. جدول ۱، مشخصات مکانیکی مصالح لایه‌های مختلف خاک را نشان می‌دهد.

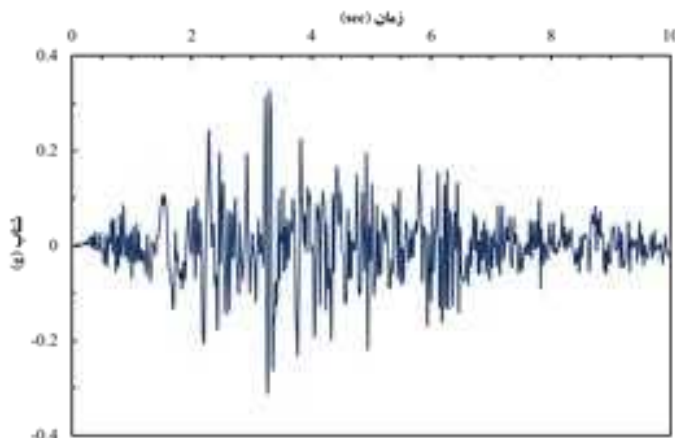
لایه	نوع خاک	مدل رفتاری	عمق (m)	c (kN/m ²)	ϕ (deg)	E (kN/m ²)	γ (kN/m ³)	η	\bar{N}'_{60}	w (%)	ξ (%)
۱	واریزه دستی		۳-۰	۴	۱۶/۱۲	10×10^3	۱۶/۴۰	۰/۳۰	۱۵	-	۵
۲	ماسه لایی دار به همراه شن	موهر-کولمب	۶-۳	۵	۳۳/۸۲	43×10^3	۱۹/۵۱	۰/۳۰	۹۰	۹/۵	۵
۳	مارن زیتونی		۱۲-۶	۴۱	۱۷/۷۵	37×10^3	۱۸/۸۸	۰/۲۵	۷۶	۲۹/۳	۵
۴	مارن خاکستری		۶۰-۱۲	۳۹	۱۸/۷۹	38×10^3	۱۹/۰۳	۰/۲۵	۷۸	۲۷/۶	۵
-	مصالح بتونی	استیک	-	-	-	$2/1 \times 10^7$	۲۴/۰۰	۰/۲۰	-	-	-

جدول (۱): مشخصات لایه‌های خاک مورد مطالعه و مصالح بتونی.

۳- مدل‌سازی و تحلیل عددی

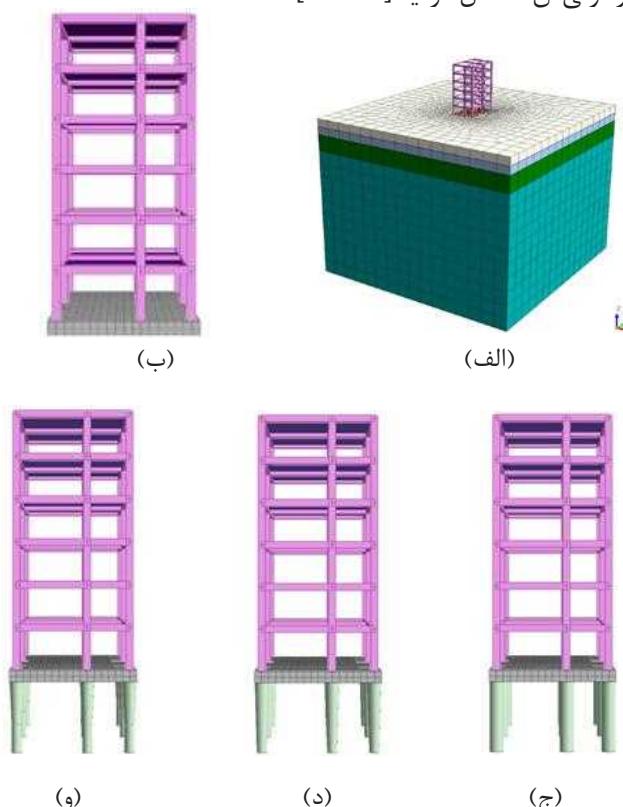
جهت درنظرگرفتن اثر سختی و وزن ساختمان بر سیستم رادیه-شمع، ساختمان بتونی با ۶ سقف سازه‌ای با سیستم سازه‌ای قاب‌خمشی متوسط و با کاربری مسکونی با فرض احداث در شهر تبریز و رعایت ضوابط مباحث ۶، ۷ و ۹ مقررات ملی ساختمان [۲۳-۲۵]، توسط نرم‌افزار Etabs مدل‌سازی و سپس جهت تحلیل استاتیکی و دینامیکی مدل خاک-سازه مستقیم به نرم‌افزار Midas GTX NX منتقل گردید. ارتفاع طبقات ۳ متر و ابعاد المان‌های سازه‌ای در تمام طبقات برای ستون‌ها 50×50 سانتی‌متر و برای تیرها 45×45 سانتی‌متر و ضخامت رادیه برابر $8/0$ متر انتخاب شد. مشخصات هندسی شمع‌های مورد مطالعه در جدول ۲ ارائه شده و محل قرارگیری آنها در امتداد محور ستون‌های سازه می‌باشد.

در این مطالعه، جهت شبکه‌بندی از مش هیبرید، که مزیت اصلی آن، دقت بالا در محاسبه تنش و تغییرشکل‌ها می‌باشد، استفاده گردید. برپایه مطالعات مختلف، بزرگ‌ترین بعد مش‌ها در یک تحلیل دینامیکی باید از $10/0$ تا $125/0$ برابر طول موج منطبق بر بزرگ‌ترین فرکانس ورودی کوچکتر باشد [۲۹]. بنابراین با توجه به اینکه در این مطالعه از شتاب‌نگاشت زلزله سال ۱۹۷۸ طیس جهت بارگذاری دینامیکی استفاده گردیده است (شکل ۲).



شکل (۲): شتاب‌نگاشت ورودی مربوط به زلزله سال ۱۹۷۸ طیس در جهت X.

ابعاد مش‌های مدل براساس سرعت موج برشی لایه‌های خاک بین $0/20$ الی $2/5$ متر می‌باشد [۳۰]. با توجه به شکل ۳، مدل نهایی خاک دارای 60 متر عمق و 80 متر طول و عرض است. همچنین ضریب بین‌لایه‌ای (Rinter) برابر $7/0$ بر سطوح المان‌های سازه‌ای و خاک پیرامونی آن، اعمال گردید [۳۱، ۳۲].



شکل (۳): مدل عددی رادیه-شموع و سازه: (الف) خاک-سازه، (ب) NPR، (ج) CPR، (د) TPR۳، (و) TPR۱.

شماره مدل	نوع شمع	نام مدل	قطر بالایی (m)	قطر پایه (m)	ارتفاع مخروط (m)	زاویه مخروط (درجه)	طول شمع (m)	حجم شمع (m^3)
۱	بدون شمع	استوانه‌ای	-	-	-	-	NPR	-
۲	استوانه‌ای	CPR	-	-	-	-	TPR1	-
۳	مخروطی	TPR2	-	-	-	-	TPR3	-
۴	مخروطی	TPR1	-	-	-	-	STPR1	-
۵	مخروطی	STPR2	-	-	-	-	STPR3	-
۶	نیمه-	-	-	-	-	-	-	-
۷	نیمه-	-	-	-	-	-	-	-
۸	مخروطی	STPR3	-	-	-	-	-	-

جدول (۲): مشخصات فیزیکی شمع‌های استوانه‌ای، مخروطی و نیمه‌مخروطی مورد مطالعه.

موقعیت مرزهای مدل در تحلیل استاتیکی، به کمک روش آنالیز حساسیت طوری انتخاب شد که وجود مرزهای مصنوعی تأثیری در میدان‌های تنش و کرنش نداشته باشند [۲۶]. همچنین شرایط مرزی در تحلیل استاتیکی با استفاده از تکیه‌گاه‌های گیردار در کف مدل، تکیه‌گاه‌های غلتکی در کناره‌های آن و آزاد بودن مرزهای سطح بالای مدل، مشابه شرایط واقعی زمین فرض شد [۲۷]. در مدل‌های مربوط به تحلیل اندرکنش دینامیکی مستقیم خاک و سازه، مرزهای کف مدل توسط شرایط مرزی گیردار و جهت جلوگیری از انعکاس بارهای دینامیکی از مرزهای مصنوعی به داخل مدل و همچنین به منظور عدم انتخاب ابعاد بسیار بزرگ برای مدل‌های دینامیکی، مرزهای جانبی با المان مرزی زمین-آزاد مدل شده‌اند (شکل ۱) [۲۸].



شکل (۱): (الف) نقشه تیپ طبقات سازه و موقعیت حفاری گمانه‌های ماشینی و دستی، (ب) گمانه دستی ۱-TP، (ج) و (د) نمونه‌های خاک حاصل از عملیات حفاری گمانه ماشینی BH-1-۱۵ متر در عمق‌های ۳ الی ۱۰ متر.

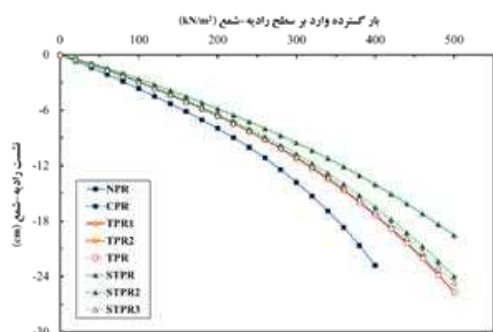
بهترتب ۱۰/۲۰٪، ۱۰/۲۰٪ و ۱۰/۱۲٪ افزایش یافته و به ۱۵/۱۵ و ۱۶۲/۲۲ کیلونیوتون بر مترمربع می‌رسد. براساس نتایج حاصل ارائه شده در جدول ۴، افزایش زاویه مخروط با کاهش طول آن در شمع‌های نیمه‌مخروطی، سبب کاهش ظرفیت باربری رادیه-شمع نسبت به شمع‌های نیمه‌مخروطی با زاویه مخروط کمتر و طول ناحیه مخروطی بیشتر است.

برای تحلیل مدل‌های دینامیکی اندرکنش مستقیم خاک، رادیه-شمع و سازه از روش تحلیل تاریخچه زمانی غیرخطی استفاده شده است. همچنین در مدل‌های استاتیکی، تحلیل ساخت مرحله‌ای روش مناسبی برای تعیین ظرفیت باربری رادیه-شمع بوده و نتایج مختلف مربوط به تنش و جابجایی مدل در هر گام قابل بررسی می‌باشد. مدل‌های مربوط به تعیین ظرفیت باربری رادیه-شمع با انواع شمع‌های استوانه‌ای، مخروطی و نیمه‌مخروطی قادر مدل ساختمان بوده و با رگسترده‌ای به طور تدریجی بر سطح رادیه اعمال شده است.

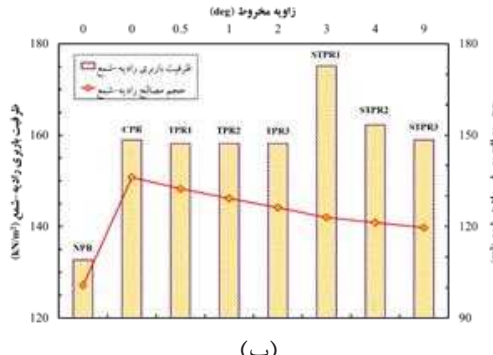
تفیرات ظرفیت باربری نسبت به رادیه با شمع استوانه‌ای (%)	ظرفیت باربری (kN/m ²)	کلاشن جم صالح نسبت به رادیه با شمع استوانه‌ای (%)	حجم مصالح رادیه-شمع (m ³)	ارتفاع مخروط (m)	زاویه مخروط (درجه)	نوع شمع نم مدل	نام مدل	شماره مدل
-	۱۲۲/۹۸	-	۱۰۰/۸۰	-	-	NPR	بدون شمع	۱
-	۱۵۸/۹۳	-	۱۳۶/۱۷	۰/۰	۰/۰	CPR	استوانه‌ای	۲
-۰/۵۰	۱۵۸/۱۳	-۲/۷۷	۱۳۲/۳۹	۶/۰	۰/۵	TPR1		۳
-۰/۵۰	۱۵۸/۱۳	-۵/۹	۱۲۹/۸۴	۶/۰	۱/۰	TPR2	مخروط	۴
-۰/۵۰	۱۵۸/۱۳	-۷/۲۷	۱۲۶/۲۷	۶/۰	۲/۰	TPR3	مخروط	۵
+۰/۱۰	۱۷۵/۱۵	-۹/۶۵	۱۲۷/۰۳	۳/۰	۳/۰	STPR1	نبه	۶
+۰/۱۰	۱۶۲/۲۲	-۱۰/۹۰	۱۲۱/۳۲	۲/۰	۴/۰	STPR2	مخروط	۷
+۰/۱۰	۱۵۸/۱۳	-۱۲/۰۹	۱۱۹/۷۰	۱/۰	۹/۰	STPR3	مخروط	۸

جدول (۴): ظرفیت باربری رادیه-شمع با شمع‌های استوانه‌ای، مخروطی و نیمه‌مخروطی.

شکل (۴) (ب)، به مقایسه ظرفیت باربری رادیه-شمع‌های مورد مطالعه با در نظر گرفتن حجم مصالح مصرفی و زاویه مخروطی شمع‌های مخروطی و نیمه‌مخروطی می‌پردازد. به طور کلی در ظرفیت باربری یکسان، حجم مصالح مصرفی برای احداث رادیه-شمع با شمع‌های مخروطی، کمتر از رادیه با شمع‌های استوانه‌ای است. همچنین، در رادیه با شمع‌های نیمه‌مخروطی STPR3، STPR1 و STPR2 با وجود اینکه حجم مصالح مصرفی نسبت به رادیه با شمع استوانه‌ای بهترتب ۹/۶۵٪، ۹/۶۵٪ و ۱۰/۹۰٪ کاهش می‌یابد، ولی ظرفیت باربری رادیه-شمع در تمام مدل‌های مورد بررسی افزایش نشان می‌دهد. برای مثال، ظرفیت باربری رادیه شمع STPR1 با ۱۰/۲۰٪ افزایش به ۱۷۵/۱۵ کیلونیوتون بر مترمربع و رادیه-شمع STPR3 با ۱۲/۰۹٪ کاهش در حجم مصالح مصرفی، تقریباً ظرفیت باربری یکسانی با رادیه-شمع استوانه‌ای دارد.



(الف)



(ب)

شکل (۴): (الف) نمودار بار-جابجایی رادیه-شمع با شمع‌های استوانه‌ای، مخروطی و نیمه‌مخروطی، (ب) نسبت ظرفیت باربری رادیه-شمع با زاویه مخروط و حجم مصالح مصرفی.

۴- صحبت‌سننجی

جهت صحبت‌سننجی روش مدل‌سازی و عملکرد صحیح نرم‌افزار از نتایج مطالعه عددی هتفا و شفقت [۳۳]، که با روش المان محدود و توسط نرم‌افزار Plaxis 3D به بررسی ظرفیت باربری شمع‌های مخروطی بهروش استاتیکی در خاک ماسه‌ای پرداخته‌اند، استفاده‌گردید. مصالح، مشخصات فیزیکی شمع‌های مخروطی و ظرفیت باربری محاسبه شده توسط نرم‌افزار Midas GTS NX و Plaxis 3D در جدول ۳، ارائه شده است. تقریب نتایج به دست آمده بیانگر روش مدل‌سازی و عملکرد صحیح نرم‌افزار مورد استفاده در این مطالعه می‌باشد.

ψ (deg)	γ (kN/m ³)	E (kN/m ²)	ϕ (deg)	c (kN/m ²)	صالح
۳/۰	۰/۲۰	۱۷/۰	۳۰×۱۰ ^۳	۳۲/۰	خاک
-	۰/۱۰	۲۵/۰	۳۰×۱۰ ^۶	-	بن
مشخصات هندسی شمع		قطر بالایی (m)	حجم شمع (m ³)	طول شمع (m)	
۱۰/۰	۲/۷	۰/۲۳	۰/۳۷		مخروطی
Midas GTS NX = ۳۵۱			Plaxis 3D = ۳۴۷		
طبقه باربری (kN)					

جدول (۳): مشخصات و ظرفیت باربری مدل صحبت‌سننجی [۳۳].

۵- نتیجه‌گیری

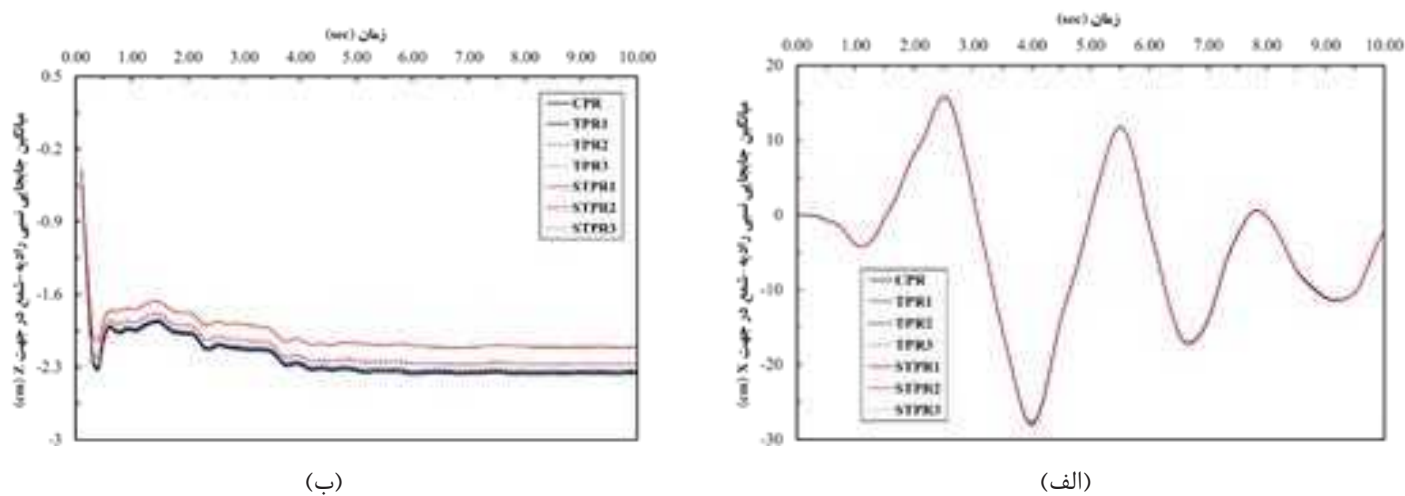
۱-۵- ظرفیت باربری رادیه-شمع

جهت تعیین ظرفیت باربری رادیه-شمع با شمع‌های استوانه‌ای، مخروطی و نیمه‌مخروطی، بار گستره شست آئین نامه، که با توجه به ضوابط تدریجی و تاریخی می‌باشد، بر سطح رادیه-شمع اعمال شد [۲۴]. جدول ۲، ظرفیت باربری هر یک از حالات مدل‌سازی معروف شده در جدول ۴، ظرفیت باربری هر یک از منحنی‌های بار-جابجایی رسم شده در شکل ۴ الف نشان می‌دهد. براساس نتایج به دست آمده، ظرفیت باربری رادیه با شمع‌های مخروطی TPR2، TPR3 و TPR1، زاویه مخروطی ۹/۰ درجه به طور تقریبی با ۰/۵٪ کاهش، نسبت به ظرفیت باربری رادیه با شمع‌های استوانه‌ای CPR، تقریباً به ۱۵۸/۱۳ کیلونیوتون بر مترمربع می‌رسد. در پژوهه‌های ساختوساز به دلیل مشکلات اجرایی، عملاً امکان افزایش زاویه مخروط شمع‌های مخروطی بیش از حد مشخصی وجود ندارد. بنابراین، در مطالعه موردنی حاضر نیز حداقل زاویه مخروطی شمع‌های مخروطی در شمع TPR3، برابر ۲/۰ درجه می‌باشد. براساس نتایج ارائه شده در جدول ۴، شمع‌های مخروطی از نظر ظرفیت باربری، تفاوت چندانی با شمع‌های استوانه‌ای ندارند.

در صورت استفاده از رادیه با شمع‌های نیمه‌مخروطی، STPR1، STPR2 و STPR3 به جای رادیه متکی بر شمع استوانه‌ای CPR، ظرفیت باربری رادیه-شمع نسبت به حالت استفاده از شمع‌های استوانه‌ای

۲-۵- پاسخ دینامیکی رادیه-شمع تحت بار لرزه‌ای

براساس نتایج به دست آمده، میانگین جابجایی نسبی سطح رادیه با شمع های استوانه‌ای، مخروطی و نیمه‌مخروطی در جهت‌های X و Z، به دلیل حرکت همزمان کل سیستم خاک، رادیه-شمع و سازه در زمان اعمال بار دینامیکی، تفاوت قابل ملاحظه‌ای ندارند (شکل ۵).



شکل (۵): جابجایی نسبی رادیه-شمع در طول زمان اعمال بار لرزه‌ای: (الف) در جهت X، (ب) در جهت Z.

جدول ۵ و ۶، به ترتیب تغییرات نیروی محوری و لنگرخمشی وارد بر شمع‌های مخروطی، نیمه‌مخروطی و استوانه‌ای را در طول زمان اعمال بار زلزله سال ۱۹۷۸ طبس نشان می‌دهند.

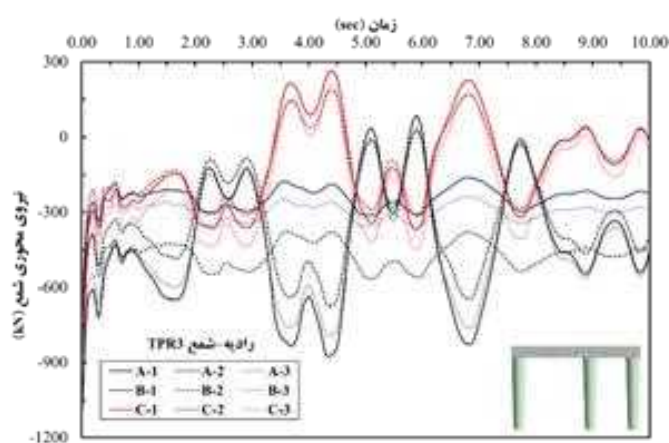
نیروی محوری شمع (kN)									رادیه-شمع	نیروی وارد بر شمع
C-3	C-2	C-1	B-3	B-2	B-1	A-3	A-2	A-1		
-۴۷۷/۲۸	-۲۹۴/۵۷	-۳۶۰/۳۱	-۳۸۵/۰۴	-۵۴۷/۹۳	-۳۳۱/۷۷	-۷۷۰/۷۷	-۶۵۵/۶۶	-۸۵۳/۲۷	حداکثر حداقل	CPR
۲۲۷/۱۴	۲۰۷/۳۸	۲۸۶/۸۱	-۲۱۰/۸۳	-۳۵۸/۱۵	-۱۴۰/۹۱	۴۵/۹۶	۵۶/۱۵	۱۰۷/۳۴		
-۴۸۱/۴۸	-۳۰۲/۵۵	-۳۶۶/۱۷	-۳۹۱/۱۵	-۵۰۴/۲۱	-۳۳۸/۴۳	-۷۷۸/۳۷	-۶۶۲/۸۰	-۸۵۹/۴۹	حداکثر حداقل	TPR1
۲۱۹/۵۷	۱۹۹/۲۷	۲۷۸/۲۰	-۲۱۹/۴۷	-۳۶۴/۹۲	-۱۴۸/۴۳	۲۸/۲۰	۴۸/۴۱	۹۹/۸۶		
-۴۸۷/۹۳	-۳۰۹/۷۳	-۳۶۸/۶۲	-۳۹۶/۳۲	-۵۵۹/۶۸	-۳۴۵/۰۵	-۷۸۴/۵۰	-۶۶۹/۳۲	-۸۶۵/۳۱	حداکثر حداقل	TPR2
۲۱۳/۱۰	۱۹۲/۴۲	۲۷۰/۹۶	-۲۲۷/۳۵	-۳۷۱/۰۵	-۱۵۵/۱۸	۳۰/۸۳	۴۱/۳۰	۹۲/۶۸		
-۴۸۸/۶۷	-۳۱۵/۹۵	-۳۷۳/۷۴	-۴۰۰/۸۱	-۵۶۴/۸۰	-۳۴۷/۲۰	-۷۹۰/۲۳	-۶۷۴/۸۸	-۸۷۰/۲۰	حداکثر حداقل	TPR3
۲۰۷/۳۶	۱۸۶/۲۵	۲۶۴/۶۳	-۲۳۳/۳۷	-۳۷۶/۴۴	-۱۶۱/۲۶	۲۴/۲۸	۳۴/۸۱	۸۶/۴۳		
-۹۳۳/۳۷	-۶۶۲/۵۷	-۹۵۶/۵۱	-۷۰۵/۴۶	-۷۶۶/۳۲	-۸۰۰/۹۵	-۱۲۳/۷۸	-۱۲۴/۰۰	-۱۱۴/۲۸	حداکثر حداقل	STPR1
۷۳/۳۵	۱۶۸/۳۸	۱۰۶/۰۳	-۵۱۳/۹۷	-۵۹۵/۵۱	-۶۲۴/۵۰	-۲۰۹/۰۳	-۸۳/۴۰	۱۶/۷۵		
-۵۹۶/۹۱	-۴۴۵/۵۲	-۵۰۷/۱۲	-۵۲۰/۸۸	-۶۵۳/۲۲	-۴۵۰/۶۳	-۹۱۳/۱۶	-۷۹۶/۰۳	-۹۶۹/۹۳	حداکثر حداقل	STPR2
۱۹۹/۷۶	۱۹۲/۸۵	۲۶۸/۴۶	-۳۳۳/۹۷	-۴۶۶/۲۵	-۲۶۱/۷۰	۸/۰۱	۲۴/۱۰	۶۸/۶۴		
-۵۲۷/۹۰	-۳۶۷/۸۱	-۴۲۵/۸۳	-۴۴۰/۹۵	-۶۰۲/۵۴	-۳۸۶/۲۲	-۸۳۳/۰۶	-۷۱۴/۹۱	-۹۱۰/۵۶	حداکثر حداقل	STPR3
۱۹۵/۶۷	۱۷۴/۲۰	۲۵۳/۹۰	-۲۷۷/۲۱	-۴۱۴/۲۲	-۲۰۱/۲۲	۱۱/۷۰	۲۰/۰۰	۷۱/۶۳		

جدول (۵): تغییرات نیروی محوری وارد بر شمع‌های استوانه‌ای، مخروطی و نیمه‌مخروطی.

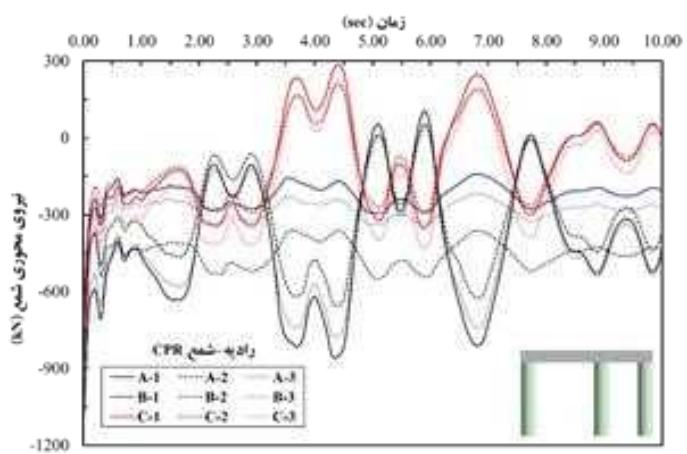
لنگر خمثی شمع (kN.m)									نیروی وارد بر شمع	رادیه-شمع
C-3	C-2	C-1	B-3	B-2	B-1	A-3	A-2	A-1		
-144/82	-79/97	-28/15	-55/80	-76/87	-29/98	-139/21	-72/51	-59/57	حداکثر حداقل	CPR
8/86	4/05	18/82	35/75	45/21	27/81	83/34	73/35	46/34		
-140/52	-77/98	-27/51	-54/31	-74/53	-29/35	-134/33	-70/40	-58/03	حداکثر حداقل	TPR1
7/72	3/49	18/27	35/18	43/73	27/23	75/90	69/74	44/82		
-135/28	-75/62	-26/88	-52/22	-71/48	-28/40	-128/17	-67/68	-56/54	حداکثر حداقل	TPR2
6/29	2/60	17/62	34/68	42/40	26/74	67/48	65/46	43/14		
-128/59	-72/91	-26/46	-50/00	-67/33	-27/48	-120/77	-64/80	-54/96	حداکثر حداقل	TPR3
4/09	1/87	16/69	34/03	40/85	26/18	58/13	60/31	40/87		
-134/47	-70/75	-64/55	-99/08	-20/1/87	-10/6/72	-167/01	-256/74	-129/38	حداکثر حداقل	STPR1
2/73	39/39	85/24	107/71	-0/25	59/44	13/20	-39/87	53/72		
-99/79	-73/60	-76/44	-65/60	-67/36	-55/41	-71/28	-71/14	-52/43	حداکثر حداقل	STPR2
17/14	18/76	16/54	52/55	45/40	41/65	44/89	41/09	47/39		
-53/07	-36/57	-39/15	-25/48	-22/26	-25/08	-18/55	-10/29	-10/48	حداکثر حداقل	STPR3
-2/73	0/53	1/08	19/84	20/24	18/60	26/96	22/12	32/26		

جدول (۶): تغییرات لنگر خمثی شمع های استوانه ای، مخروطی و نیمه مخروطی.

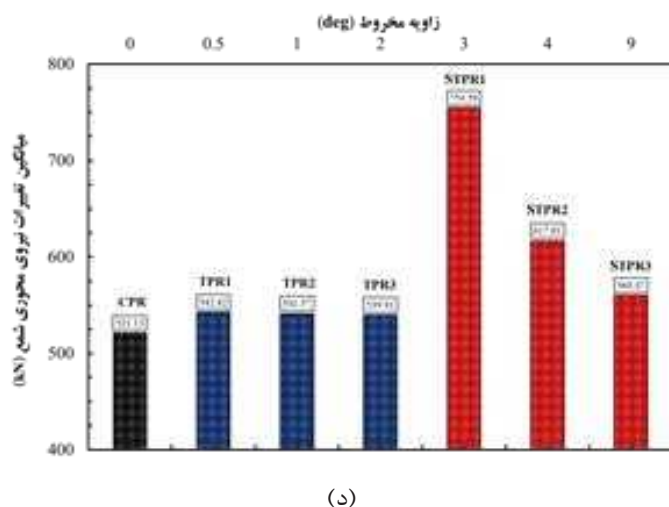
تاریخچه زمانی تغییرات نیروهای داخلی شمع های رادیه-شمع CPR، TPR3 و STPR1 در زمان اعمال بار لرزه ای، در شکل ۶ نشان داده شده است.



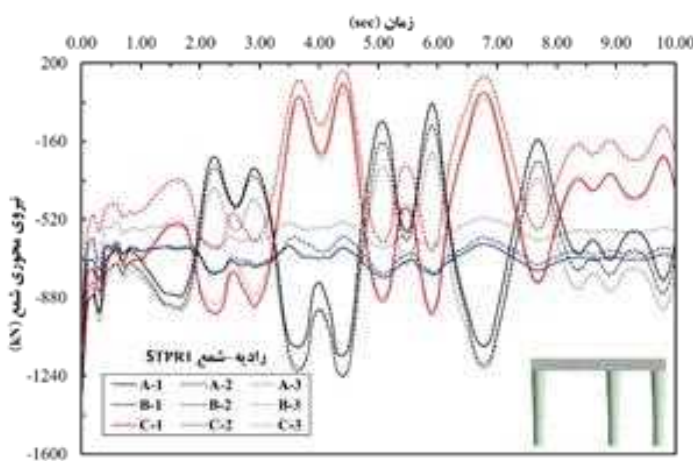
(ب)



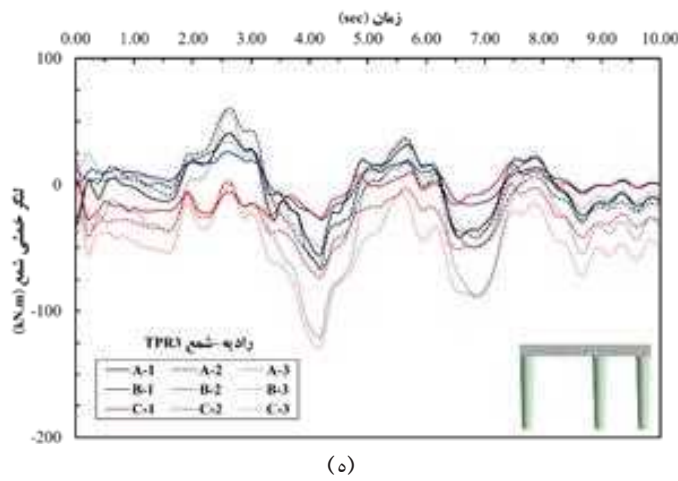
(الف)



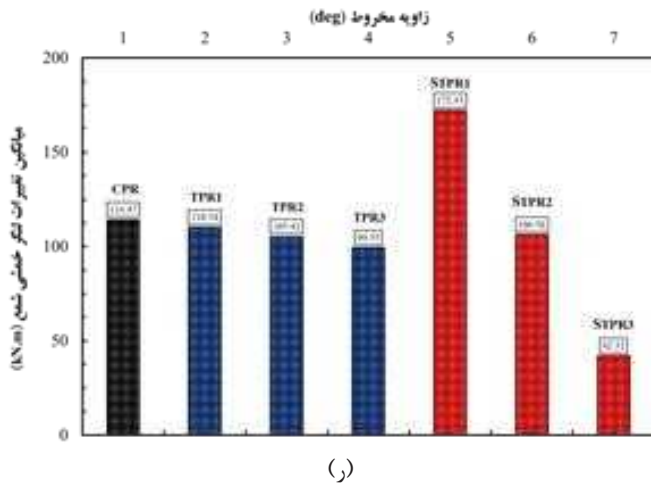
(د)



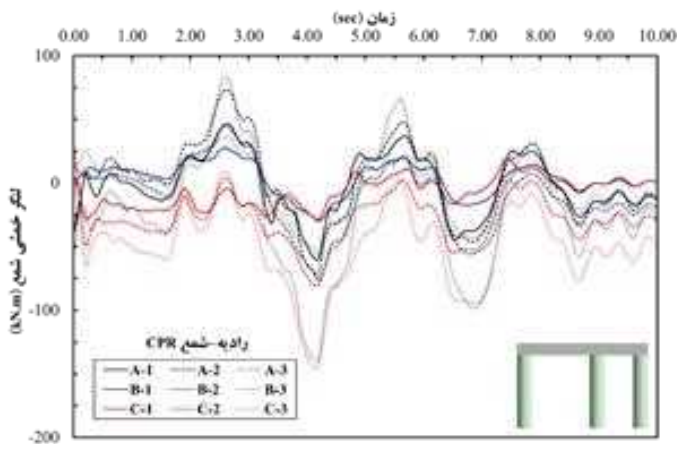
(ج)



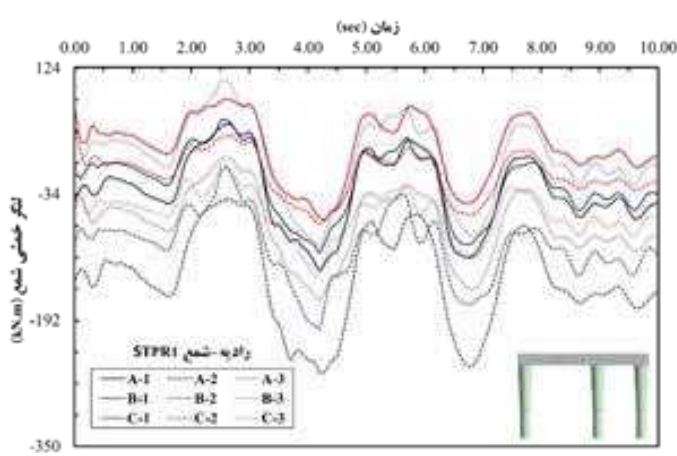
(e)



(r)



(o)



(w)

شکل (۶): تغییرات نیروهای داخلی شمع تحت بار لرزه‌ای: (الف) نیروی محوری در CPR، (ب) نیروی محوری در TPR^۳، (ج) نیروی محوری در STPR^۱، (د) میانگین تغییرات نیروی محوری شمعها، (و) لنگر خمثی در CPR، (ی) لنگر خمثی در TPR^۳، (ز) میانگین تغییرات لنگر خمثی شمعها.

انواع شمعهای نیمه‌مخروطی کمتر و تقریباً برابر با شمعهای مخروطی و استوانه‌ای بوده و همچنین مقدار و تغییرات لنگر خمثی این شمعها بسیار کمتر از سایر انواع شمعهای مورد مطالعه است. بنابراین، با توجه به یکسان بودن جابجایی تمام رادیه-شمعهای مورد مطالعه در جهت X و Y در طول زمان اعمال بار لرزه‌ای، رادیه متكى بر شمعهای نیمه‌مخروطی STPR^۳ بهترین عملکرد لرزه‌ای را در شرایط وقوع زلزله از خود نشان می‌دهند.

۶- نتیجه‌گیری

در مطالعه حاضر به مقایسه رفتار استاتیکی و دینامیکی رادیه متكى بر شمعهای استوانه‌ای، مخروطی و نیمه‌مخروطی در سیستم پی یک ساختمان ۶ طبقه، به روش المان محدود و با مدل سازی اندرکنش مستقیم خاک، رادیه-شمع و سازه پرداخته شده است. خلاصه نتایج به دست آمده به شرح زیر می‌باشند:

- با وجود اینکه شمعهای مخروطی از نظر ظرفیت برابر استاتیکی و تغییرات نیروی‌های داخلی در شرایط اعمال بار لرزه‌ای، تفاوت قابل توجهی با شمعهای استوانه‌ای ندارند، به دلیل کاهش حجم مصالح مصرفی از نظر اقتصادی انتخاب بهینه‌تری خواهند بود. با توجه به محدودیت‌های اجرایی در پروژه‌های عملی، عدم امکان افزایش زاویه مخروط بیش از حدی مشخص، دلیل اصلی رفتار تقریباً مشابه شمعهای مخروطی و استوانه‌ای در سیستم رادیه-شمع است.
- رادیه متكى بر شمعهای نیمه‌مخروطی نسبت به رادیه متكى بر

باتوجه به نتایج ارائه شده، در تمام حالات مورد بررسی، شمعهای واقع در محور A پلان سازه نسبت به سایر شمعهای تحت تأثیر بیشترین مقدار و تغییرات نیروی محوری هستند. براساس شکل ۶ (د)، میانگین تغییرات نیروی محوری وارد بر شمع در طول زمان اعمال بار لرزه‌ای در شمعهای مخروطی نسبت به شمعهای استوانه‌ای بیشتر است، اما با افزایش زاویه مخروطی شمع از میزان تغییرات نیروی محوری شمعهای مخروطی کاسته می‌شود. همچنین، شمعهای نیمه‌مخروطی نسبت به شمعهای مخروطی و استوانه‌ای تحت تأثیر نیروی محوری و تغییرات نیروی محوری بیشتری می‌باشند. برای مثال، شمعهای نیمه‌مخروطی ۱-A، ۲-A و ۳-A قرارگرفته در محور A پلان رادیه-شمع STPR¹ به ترتیب با ۱۱۶۰/۶۰، ۱۱۶۲/۰۳، ۱۰۲۹/۷۶ و ۱۱۶۰/۶۰ کیلونیوتون، بیشترین تغییرات نیروی محوری را در بین تمام شمعهای مورد بررسی نشان می‌دهند.

در شمعهای نیمه‌مخروطی وارد بر شمع با افزایش زاویه مخروط، از مقدار و میزان تغییرات نیروی محوری کاسته می‌شود. براساس نتایج ارائه شده در جدول ۶ و شکل ۶، با افزایش زاویه مخروط در شمعهای مخروطی و نیمه‌مخروطی تغییرات لنگر خمثی وارد بر شمع در طول زمان اعمال بار لرزه‌ای کاهش می‌یابد. با توجه به شکل ۶ (ر)، میزان کاهش لنگر خمثی وارد بر شمع با افزایش زاویه مخروط در شمعهای نیمه‌مخروطی نسبت به شمعهای مخروطی بیشتر است. مقدار و تغییرات نیروی محوری وارد بر شمعهای نیمه‌مخروطی رادیه-شمع STPR^۳، در مقایسه با سایر

شمع‌های مخروطی و استوانه‌ای، حجم مصالح مصرفی کمتری دارد و ظرفیت برابری آن در تمام مدل‌های مورد بررسی افزایش می‌یابد. در شرایط مطالعه ۹/۶۵٪ موردنی حاضر، رادیه با شمع‌های نیمه‌مخروطی با زاویه مخروط ۳ درجه و ارتفاع مخروط ۳ متر، نسبت به رادیه متنکی بر شمع‌های استوانه‌ای کاهش حجم مصالح و ۱۰/۲۰٪ افزایش ظرفیت برابری دارد.

- به طور کلی شمع‌های نیمه‌مخروطی نسبت به شمع‌های مخروطی و استوانه‌ای تحت تأثیر نیروی محوری و تغییرات نیروی محوری بیشتری هستند. اما، در این شمع‌ها با افزایش زاویه مخروط، از مقدار و میزان تغییرات نیروی محوری وارد کاسته می‌شود.
- تغییرات لنگرخمشی وارد بر شمع‌های استوانه‌ای و مخروطی در مقایسه با شمع‌های نیمه‌مخروطی با زاویه مخروط ۳ درجه به طور قابل ملاحظه‌ای کمتر و تقریباً برابر با شمع‌های نیمه‌مخروطی با زاویه مخروط ۴ درجه است. با افزایش زاویه مخروط در شمع‌های نیمه‌مخروطی به ۹ درجه، میزان و تغییرات لنگر خمشی وارد بر این شمع‌ها به طور قابل توجهی کاهش یافته و به کمتر از شمع‌های استوانه‌ای و مخروطی می‌رسد.



جهت مشاهده منابع این مقاله، اسکن کنید:

بررسی مطالعات انجام شده در خصوص اثر خوردگی بر رفتار لردهای پایه های بتن مسلح

نیلوفر اسدی

کارشناسی ارشد مهندسی سازه و زلزله دانشگاه شهید بهشتی / ورودی ۱۴

niloofaras78@gmail.com



چکیده

در زلزله های گذشته، پل ها به عنوان مهم ترین عضو از شبکه های حمل و نقل، آسیب های بسیاری متحمل شدند. از طرفی بسیاری از پل ها در نواحی ساحلی در معرض یون کلرید قرار دارند و همین امر آسیب پذیری آنها را در برابر بارهای لرده ای افزایش داده است. قرارگیری بسیاری از پل های ساحلی در سراسر دنیا در مناطق لرده ای و قوع خرابی های گسترده در این پل ها، توجه پژوهشگران را به تاثیر پذیری خودگی در افزایش آسیب پذیری لرده ای پل های بتن مسلح جلب نموده، پدیده خودگی در پل ها شکل های مختلفی دارد از جمله پوسته پوسته شدن و ترک خوردن پوشش بتنی و یا کاهش سطح مقطع میلگرد های تقویت کننده. در این مقاله مروری بر ۲۵ مقاله منتشر شده در زمینه اثر خوردگی بر رفتار لرده ای پل ها در مجلات معتبر دنیا در طی سال های ۲۰۲۳ تا سال ۲۰۱۰ انجام گرفته است. این مقالات بر حسب نوع تحقیق (عددی و آزمایشگاهی) و نوع خوردگی (یکنواخت و غیر یکنواخت) طبقه بندی شده اند. همچنین روند کاهش سطح مقطع میلگرد های فولادی تقویت کننده در دو نوع توزیع خوردگی یکنواخت و غیر یکنواخت مورد مقایسه قرار گرفته است. نتایج نشان می دهد که خوردگی باعث کاهش ظرفیت لرده ای، کاهش مقاومت، کاهش سختی و کاهش شکل پذیری در پایه های بتن مسلح می شود.

- مقدمه

که خوردگی یک روند متکی به زمان است و با گذشت زمان افزایش پیدا می کند. همچنین خوردگی گسترده در اطراف میلگرد های تقویت کننده منجر به جدا شدن و لایه لایه شدن پوشش بتنی می شود. در نتیجه، خوردگی ظرفیت باربری و شکل پذیری قطعات بتن مسلح خورده شده را کاهش می دهد و مکانیسم های خرابی اعضای بتن مسلح را تحت تاثیر قرار می دهد.

مطالعات انجام شده نشان می دهد که اگرچه مقالات در مورد ارزیابی آسیب لرده ای پل های بتن مسلح خورده شده به ویژه در دهه گذشته افزایش یافته است. با این حال، مطالعات در مورد خسارات ناشی از آسیب های خوردگی بر پاسخ لرده ای اجزای پل های بتن مسلح به اندازه ای کافی انجام نشده است. این مقاله با هدف مروری بر مطالعات انجام شده در زمینه اثر خوردگی بر رفتار لرده ای پایه های پل های بتنی، به بررسی مقالات و تحقیقات انجام شده در ۱۳ سال گذشته (از سال ۲۰۱۰ تا سال ۲۰۲۳) می پردازد و بدین ترتیب موضوعات مرتبط با مطالعات ارزیابی کمی آسیب پذیری بر روی پل های بتن مسلح خورده شده در محیط های دریایی را به عنوان فرصت هایی برای تحقیقات آینده برجسته می کند.

۲- تعریف خوردگی

امامی عناصر موجود در طبیعت در ذات خود، به طور مستقیم یا غیر مستقیم تمایل دارند به تدریج به سطوح پایین تری از انرژی تغییر کنند و در این فرآیند در طول عمر مفید خود دچار تخریب می شوند. پل های بتن مسلح اعضای مختلفی دارند از جمله این اعضاء می توان به ستون ها و میلگرد های تقویت کننده اشاره کرد. بسته به شرایط قرار گرفتن در

شبکه حمل و نقل نقش مهمی در توسعه اقتصادی و اجتماعی اکثر کشورهای جهان دارد و پل های بزرگراهی حیاتی ترین و چالش برانگیزترین عناصری هستند که حمل و نقل را آسان و سریع می کنند و تحرک بین مناطق و کشورها را افزایش می دهند. در سراسر دنیا صدها پل در مناطق لرده ای واقع شده اند. پیری و فرسودگی در پل ها، خود را به شکل های مختلفی مانند پوسته پوسته شدن اعضای بتن مسلح، تجمع نخاله که منجر به خوردگی تکیه گاه های فولادی می شود و خوردگی آرماتور های فولادی در ستون های بتن مسلح نشان می دهد.

ممکن است در طول عمر مفید پل ها، مکانیسم های خرابی متعددی بر عملکرد سازه ای آنها تاثیر بگذارند، از جمله فرسایش، حملات سولفاتی و اسیدی به بتن، خوردگی ناشی از کربنات و کلرید اجزاء فولادی، چرخه های یخ ذوب در پل ها در مناطق سردسیر و اکسیداسیون. در این میان، زوال خوردگی اجزای بتن مسلح پل، با توجه به آسیب پذیری پل هایی که واقع در مناطق لرده خیز واقع شده اند، توجه بسیاری از محققین را به خود جلب کرده است. این مکانیسم زوال به طور بالقوه بر چندین مؤلفه مهمن پل از جمله ستون های بتن مسلح، تکیه گاه های فولادی، پیچ های لنگر تکیه گاه ها، دال های عرش تقویت شده و تیرهای فولادی در معرض دید تأثیر می گذارد.

در دهه های گذشته، تلاش های قابل توجهی برای مطالعه اثرات خوردگی بر پاسخ های غیر خطی اجزاء پل ها مانند تیرها، ستون ها و دال های تحت بارگذاری های یکنواخت و چرخه ای از طریق مطالعات تجربی و عددی انجام شده است. نتایج این تحقیقات نشان می دهد

حفره‌هایی در سطح مقطع ایجاد می‌شود. زمانی که عمق حفره ایجاد شده در سطح مقطع از عمق سطح مقطع بزرگ‌تر باشد، آنگاه خوردگی حفره‌ای عمیق رخ داده است. آسیب‌هایی که از خوردگی حفره‌ای به سطح مقطع وارد می‌شود، از آسیب‌های ناشی از خوردگی یکنواخت خطرناک در نظر گرفته می‌شود؛ زیرا پیش‌بینی و طراحی این نوع از خوردگی دشوارتر است. در مقالاتی که گاش و همکاران [۱] در سال ۲۰۱۶ و استوارت [۲] منتشر کردند رابطهٔ زیر برای بدست آوردن سطح مقطع کاهش یافته تحت خوردگی حفره‌ای و حفره‌ای عمیق ارائه شد.

$$A_r^{Dp}(t) = \begin{cases} A_0 - (A_1 + A_2) & \text{For } p(t) \leq \frac{D_0}{\sqrt{2}} \\ A_1 - A_2 & \text{For } p(t) \geq \frac{D_0}{\sqrt{2}} \end{cases} \quad (5)$$

$$A_r^p(t) = (A_0 - A_r^U) \left(1 - \frac{a}{2D_0}\right) + A_r^{Dp}(t) \quad (6)$$

در رابطهٔ شماره‌ی ۵، A_0 سطح مقطع اولیه، A_1 و A_2 سطح مقطع گودال‌های ایجاد شده بر حسب میلی‌متر مربع می‌باشد و مقدار آنان از طریق روابط شماره‌های ۸ و ۹ به دست آورده می‌شود. در رابطهٔ شماره‌ی ۸ و ۹، عرض حفره ایجاد شده در سطح مقطع است که از طریق رابطهٔ شماره ۱۱ به دست می‌آید.

$$A_0 = \frac{\pi D_0^2}{4} \quad (7)$$

$$A_1 = 0.5[\theta_1(0.5D_0)^2 - a \left| 0.5D_0 - \frac{P(t)^2}{D_0} \right|] \quad (8)$$

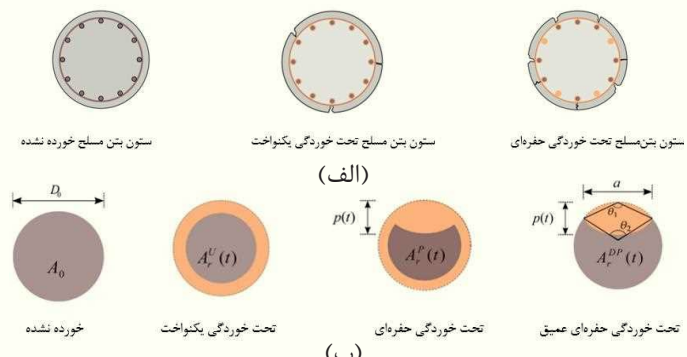
$$A_2 = 0.5[\theta_2 P(t)^2 - a \frac{P(t)^2}{D_0}] \quad (9)$$

در روابط شماره ۷ و ۸، عمق حفره ایجاد شده در سطح مقطع می‌باشد که از طریق رابطهٔ شماره ۱۰ به دست می‌آید و در آن R ضریب حفره نامیده می‌شود و نشان دهندهٔ نسبت بین حداکثر و متوسط عمق حفره می‌باشد که با استفاده از شرایط خوردگی یکنواخت از رابطهٔ شماره ۱۲ به دست آورده می‌شود.

$$P(t) = R \int_{T_i}^T r_{corr}(t_p) dt_p; \theta_1 = 2 \arcsin\left(\frac{2a}{D_0}\right); \theta_2 = 2 \arcsin\left(\frac{a}{2P(t)}\right) \quad (10)$$

$$a = 2p(t) \sqrt{1 - \left(\frac{p(t)}{D_0}\right)^2} \quad (11)$$

$$R = \frac{P}{P_{av}} \quad (12)$$



شکل (۱): (الف) مقدار کاهش سطح مقطع ستون‌های بتن مسلح تحت حالات مختلف خوردگی و (ب) کاهش سطح مقطع میلگردهای تقویت‌کننده تحت حالات مختلف خوردگی [۱]

عرض حملات تخریبی خوردگی، روند زوال اعضای پل‌ها ممکن است به شکل خوردگی، فرسایش یا سایر اشکال تخریب شیمیایی و فیزیکی ظاهر شود. معمولاً در پل‌های فرسوده‌تر، خوردگی در میلگردهای فولادی تقویت کننده باعث کاهش شدیدتر مقاومت سازه در برابر بارهای لرزه‌ای، نسبت به حالت خوردگی در بتون می‌شود. فرآیند تخریب خوردگی منجر به کاهش سطح مقطع، تغییرات در خواص اجزای فولادی و اثرات ثانویه‌ای مانند ترک خوردگی در بتون، ازبین‌رفتن و پوسته‌پوسته شدن پوشش بتونی می‌شود. در نهایت می‌توان گفت، خوردگی تخریب تدریجی یک ماده بر اساس واکنش با محیط اطرافش می‌باشد.

۱-۲-دسته‌بندی خوردگی

خوردگی انواع مختلفی دارد که به‌طور کلی به دو نوع دسته بندی می‌شود: ۱. خوردگی یکنواخت (Uniform) و ۲. خوردگی غیریکنواخت. خوردگی غیر یکنواخت خود به دو دسته: ۱. خوردگی حفره‌ای (Pitting) و ۲. خوردگی حفره‌ای عمیق (Deep Pitting) دسته بندی می‌شود. در ادامه مختصراً در مورد انواع خوردگی توضیح داده می‌شود.

۱-۱-۲-خوردگی یکنواخت

خوردگی یکنواخت که به عنوان خوردگی عمومی نیز شناخته می‌شود، به از دست دادن یکنواخت سطح مقطع از کل سطح می‌گویند. با این حال، این نوع از خوردگی به عنوان جدی‌ترین شکل خوردگی در نظر گرفته نمی‌شود، زیرا پیش‌بینی آن نسبت به حالات دیگر خوردگی آسان‌تر است. این نوع خوردگی شاید شناخته‌شده‌ترین نوع خوردگی موجود باشد. در سال ۲۰۱۶ گاش و همکاران [۱] رابطه‌ای را به منظور به دست آوردن سطح مقطع کاهش یافته ارائه دادند که در آن سطح مقطع کاهش یافته از رابطهٔ شماره ۱ به دست آورده می‌شود؛ در این رابطه $A_r^U(t) = \frac{\pi[D_0 - \int_{T_i}^t r_{corr}(t_p) dt_p]^2}{4}$ سطح مقطع کاهش یافته بر حسب میلی‌متر مربع و t زمان انجام فرآیند بر حسب سال، D_O قطر اولیه میلگردها، می‌باشد. (نیز نرخ خوردگی با واحد mm/year می‌باشد).

$$A_r^U(t) = \frac{\pi[D_0 - \int_{T_i}^t r_{corr}(t_p) dt_p]^2}{4} \quad (1)$$

رابطهٔ به دست آوردن مقدار $r_{corr}(t_p)$ نیز به شرح زیر می‌باشد. نرخ اولیه خوردگی با واحد $\mu\text{A}/\text{cm}^2$ است.

$$r_{corr}(t_p) = 0.0116 \times i_{corr}(t_p) \quad (2)$$

$$i_{corr}(t_p) = 0.85 i_{corr,0} t_p^{-0.29} \quad (3)$$

$$i_{corr,0} = \frac{37.8(1 - \frac{W}{C})^{-1.64}}{X} \quad (4)$$

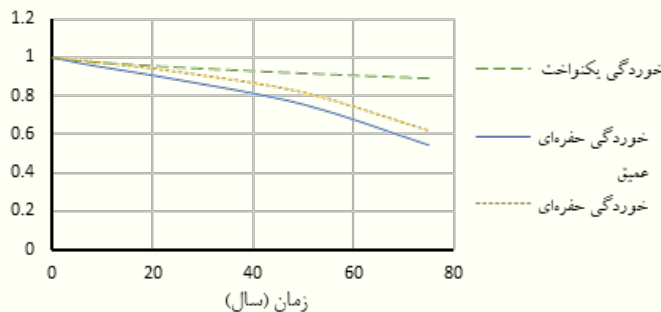
لازم به ذکر است که در رابطهٔ بالا W/C نسبت آب به سیمان، و X عمق کاور بتونی بر حسب میلی‌متر می‌باشد.

۱-۲-خوردگی حفره‌ای و حفره‌ای عمیق

خوردگی حفره‌ای، شکل موضعی خوردگی است که توسط آن

با استفاده از روابط خوردگی ذکر شده، خوردگی میلگردهای تقویت‌کننده یک ستون با قطر $25/4$ میلی‌متر تحت حالت‌های مختلف خوردگی، در جدول ۱، آورده شده است. شکل ۲، نشان‌دهنده کاهش قابل توجه سطح مقطع میلگرد در حالت خوردگی حفره‌ای عمیق نسبت به دیگر حالت‌های خوردگی، به خصوص در اوخر عمر مفید سازه می‌باشد.

سال	نوع خوردگی	پکتواخت	حفره‌ای عمیق	حفره‌ای	۰	۵	۱۰	۲۵	۵۰	۷۵
۴۵۲/۰۳۶	۴۶۵/۳۵۷	۴۸۱/۱۲۳	۴۹۳/۱۵۵	۴۹۸/۳۰۲	۵۰۶/۴۵۰۶					
۲۷۵/۳۴	۳۸۲/۵۵	۴۴۷/۴	۴۸۰/۷۸	۴۹۲/۷۹۰۳	۵۰۶/۴۵۰۶					
۳۱۵/۳۱۵	۴۱۵/۳۱	۴۶۹/۵۴	۴۹۳/۲	۴۹۹/۸۷	۵۰۶/۴۵۰۶					



جدول (۱): مقایسه سطح مقطع کاهش یافته‌ی میلگردهای تقویت‌کننده در حالت‌های مختلف خوردگی

شکل (۲): مقایسه روند کاهش میانگین سطح مقطع میلگردهای تقویت‌کننده تحت حالت‌های مختلف خوردگی

۲-۲-عوامل ایجاد خوردگی

خوردگی در بتن و فولاد به عوامل متعددی بستگی دارد از جمله مدت زمان و نوع قرار گرفتن در معرض حملات کلریدی، حملات سولفاتی و دیگر مواد شیمیایی و همچنین افزایش سن پایه‌های پل‌ها. اغلب پل‌هایی که در مناطق ساحلی قرار دارند به دلیل قرار گیری مدام در معرض یون‌های کلرید موجود در آب دچار خوردگی کلریدی می‌شوند. این پل‌ها اغلب در حالت پاشش آب حاوی کلرید و یا جزر و مد و در بدترین قرار گیری که غوطه‌وری در آب حاوی یون کلرید می‌باشد. نفوذ مدام این یون‌های کلریدی باعث ترک خوردن و پوسه پوسته شدن پوشش بتنه ستون‌ها، کاهش ظرفیت اتصال و کاهش مقاومت مصالح در ستون‌ها می‌شود. در مناطق زلزله‌خیز، آسیب خوردگی در پایه‌های پل‌ها به طور قابل توجهی ظرفیت مقاومتی را به‌ویژه تحت بارهای لرزه‌ای کاهش می‌دهد.

۳-تجزیه و تحلیل مقالات بر اساس سال‌های انتشار

در این مطالعه، مقالات موجود در زمینه ارزیابی آسیب لرزه‌ای پل‌های بتن مسلح خوردشده از سال ۲۰۱۰ تا سال ۲۰۲۳ با استفاده از روش تحقیق کمی و کیفی بررسی و دسته‌بندی می‌شود. بسیاری از مطالعات آزمایشگاهی و عددی به بررسی آسیب ناشی از خوردگی و یا خرابی لرزه‌ای پل‌های بتن مسلح به صورت جداگانه پرداخته است، از طرفی تاثیر خوردگی در افزایش آسیب‌پذیری پل‌ها در بسیاری از زلزله‌های گذشته مشاهده شده است. از این رو، هدف اصلی این مطالعه بررسی اثر همزمان خوردگی و بارهای لرزه‌ای بر روی رفتار پایه‌های پل‌های بتن مسلح می‌باشد. لازم به ذکر است که اغلب مطالعات انجام شده بر روی تاثیر خوردگی بر رفتار لرزه‌ای پل‌ها پس از سال ۲۰۱۰ صورت گرفته است. از این رو در این مقاله نتایج حاصل از مطالعات انجام شده پس از سال ۲۰۱۰ ارائه می‌شود. به منظور بررسی میزان توجه مجلات معتبر دنیا به موضوع خوردگی و بارهای لرزه‌ای، مقالات مورده بررسی مطالعه شد و با توجه به فراوانی چاپ این مقالات در طی سال‌های ۲۰۲۳ تا ۲۰۲۳ دسته‌بندی شد که نتایج آن در جدول ۲ و شکل ۳ آورده شده اند.

نام مجله	۲۰۲۳	۲۰۲۲	۲۰۲۱	۲۰۲۰	۲۰۱۹	۲۰۱۸	۲۰۱۷	۲۰۱۶	۲۰۱۵	۲۰۱۴	۲۰۱۳	۲۰۱۲	۲۰۱۱	۲۰۱۰	کل
Engineering Structures	1	0	3	3	1	1	1	0	1	2	1	0	0	0	14
Construction and Building Materials	0	0	1	0	0	4	0	0	0	0	1	2	1	0	9
Structures	2	1	3	2	0	0	0	0	0	0	0	0	0	0	9
Soil Dynamics and Earthquake Engineering	2	1	0	1	0	0	2	0	0	0	0	0	0	0	6
Structural Engineering	1	0	3	0	0	0	0	0	0	0	0	0	0	1	5
International Journal of Structural Integrity	1	1	0	0	0	0	0	2	0	0	0	0	0	0	4

جدول (۲): فراوانی انتشار مقالات در مجلات معتبر دنیا در طول سال‌های ۲۰۱۰ تا ۲۰۲۳

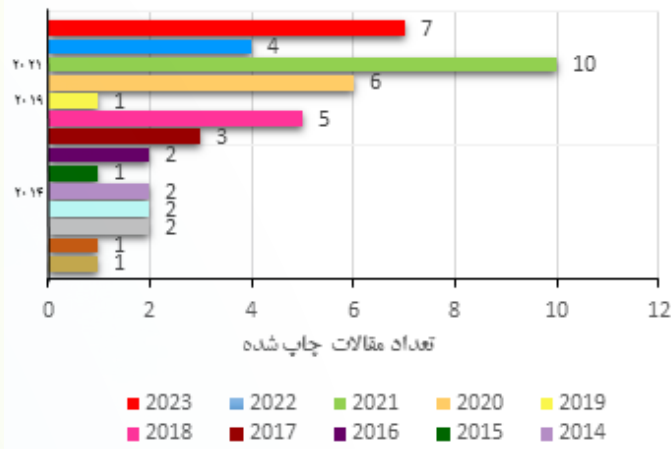
بارهای لرزه‌ای می‌گردد. از دیگر نتایج این آزمایش می‌توان دریافت که شکل‌پذیری ستون‌های خورده شده نیز نسبت به ستون‌های بتن‌مسلح خورده نشده کاهش می‌یابد.

مدا و همکاران^۴ [۵] در سال ۲۰۱۴ در یک مطالعه آزمایشگاهی بررسی کردند که چگونه اثر خوردگی بر میلگردها می‌تواند منجر به کاهش شکل‌پذیری سازه شود، به طوری که می‌تواند به یک جنبه حیاتی به ویژه برای سازه‌ها در مناطق لرزه‌خیز تبدیل شود. نتایجی که از آزمایش خوردگی ۹ میلگرد به دست آورده شده اند که نیروهای تسییم نسبت به حالت خورده نشده بهشت کاهش می‌یابند. میلگردهای تقویت‌کننده فولادی تعبیه شده در بتن دلیل وجود حفره‌ها، دچار کاهش شدیدی از نظر شکل‌پذیری نیز می‌شوند. نتایج نهایی نمونه‌های خورده نشده و نمونه‌های خورده در نهایت با هم مقایسه می‌شوند که می‌توان به این موضوع اشاره کرد که ستون خورده شده دچار کاهش حداکثری مقاومت می‌شوند؛ علاوه بر آن، کاهش شدید سختی، که در دو سیکل آخر نمونه‌های خورده رخ می‌دهد، باید مورد توجه مطالعه‌کنندگان قرار گیرد. همچنین در این مقاله این موضوع بررسی شده است که میلگردهای تعبیه شده در بتن اغلب دچار خوردگی حفره‌ای می‌شوند در حالی که میلگردهای خام، اغلب دچار خوردگی یکنواخت می‌گردد.

بیوندینی و همکاران^۵ [۶] در سال ۲۰۱۴ در مقاله خود، فرمول‌بندی برای تیر المان محدود بتن‌مسلح فرسوده سه‌بعدی برای تحلیل غیرخطی خوردگی سازه‌های بتنی ارائه دادند. در این مقاله آسیب‌های خورده‌گی، از طریق کاهش سطح مقطع میلگردهای خورده شده مدل‌سازی شده است. کاهش شکل‌پذیری میلگردهای فولاد تقویت‌کننده و کاهش مقاومت بتن به دلیل شکافت ترک‌ها، لایه‌لایه‌شدن و پوسته‌پوسته شدن پوشش بتنی از جمله تأثیرات خوردگی بر پایه‌های بتن‌مسلح می‌باشد. همچنین با کاهش سطح مقطع میلگردها در اثر خوردگی، مقاومت میلگردها به طور تقریبی کاهش می‌یابد. در نهایت نتایج نهایی این مقاله نشان می‌دهد که برخلاف خوردگی یکنواخت، خوردگی حفره‌ای تأثیر بیشتری بر پاسخ لرزه‌ای اجزای پل دارد.

در سال ۲۰۱۷ بیان و همکاران^۶ [۷] در مورد پل‌های ساحلی که در معرض تهاجم یون‌های کلرید قرار دارند مقاله‌ای نوشتند، پل‌های ساحلی که در این محیط تهاجمی واقع شده‌اند در برابر آسیب‌های خوردگی بسیار آسیب‌پذیرتر هستند و ظرفیت مقاومت این سازه‌ها در برابر بارهای لرزه‌ای کاهش می‌یابد. با تمرکز بر خوردگی حفره‌ای، این مقاله به بررسی حالت‌های شکنندگی وابسته به زمان و طول مفصل پلاستیکی معادل پایه‌های پل‌های پیر تحت تحریک بارهای لرزه‌ای در کل چرخه حیات می‌پردازد. از نتایج این مقاله می‌توان این موضوع اشاره کرد که حالت‌های شکنندگی لرزه‌ای پایه‌های پل خورده شده در محیط دریایی به حالت قرارگیری پایه‌ها در محیط خورنده بستگی دارند؛ برای مثال در حالت غوطه‌وری در آب حاوی یون کلرید، شکست سخت‌تری را نسبت به حالت قرارگیری در معرض اتمسفر یون کلرید مشاهده می‌کنیم.

در سال ۲۰۱۸ دنگ و همکاران^۷ [۹] مقاله‌ای پیرامون خوردگی



شکل (۳): نمودار فراوانی مقالات چاپ شده در بازه زمانی سال ۲۰۱۰ تا سال ۲۰۲۳

با توجه به جدول ۲ و شکل ۳ مشاهده می‌شود که روند انتشار مقالات در مورد ارزیابی آسیب‌پذیری لرزه‌ای پل‌های بتن‌مسلح خورده شده در طول ۱۳ سال اخیر به طرز قابل توجهی افزایش یافته است. به طور مثال، روند رشد چاپ مقالات از یک مقاله در سال ۲۰۱۰ تا ۸ مقاله در سال ۲۰۱۵ و ۲۰۱۰ تا ۲۰۲۳ افزایش یافته است. در بازه زمانی بین سال‌های ۲۰۱۵ و ۲۰۲۳ تعداد مقالات منتشرشده بین ۱ تا ۲ عدد متغیر بوده است؛ از سال ۲۰۱۶ تا سال ۲۰۲۳ پس از یک دوره کاهش انتشار مقالات در سال ۲۰۱۹، ۲۰۲۱ افزایش چاپ مقالات حتی به تعداد ۱۰ عدد در سال در سال ۲۰۲۳ افزایش یافته است، که خود نشان‌دهنده افزایش علاقه‌مندی محققین به ارزیابی آسیب‌پذیری لرزه‌ای پل‌های بتن‌مسلح خورده شده می‌باشد. در ۱۳ سال اخیر بیشترین تعداد مقاله منتشرشده درباره تأثیر خوردگی Engineering Structures، Construction and Building Materials بر افزایش آسیب‌پذیری لرزه‌ای، در سه مجله Chassis، Structures and Building Materials با ترتیب چاپ ۹، ۱۴ و ۶ مقاله بوده است. این مجلات از جمله مجلات معتبر در رشت G مهندسی عمران بوده و ضریب تأثیر این مجلات به ترتیب ۷/۴، ۵/۵ و ۴/۱ و H-Index این مجلات به ترتیب ۲۳۰، ۱۷۱ و ۴۲ در سال ۲۰۲۳ می‌باشد.

۴- تاریخچه مطالعات

گاش و همکاران^۳ [۳] در سال ۲۰۱۰ رابطه‌ای با فرمول‌بندی رایج شکنندگی لرزه‌ای وابسته به زمان را برای پل‌ها و همچنین ایده‌های جدیدی در مورد اثرات با افزایش سن و خوردگی بر آسیب‌پذیری لرزه‌ای پل‌ها را ارائه دادند که معمولاً در مطالعات گذشته در مدل‌سازی شکنندگی نادیده گرفته می‌شد. از نتایج این مقاله دریافت می‌شود که خوردگی در میلگردها که باعث کاهش سطح مقطع آنها و درنتیجه، کاهش ظرفیت لنگر و مقاومت نهایی پایه‌ها می‌شود.

ما و همکاران^۴ [۴] در سال ۲۰۱۲ در یک پژوهش آزمایشگاهی، مقاله‌ای پیرامون تخریب عملکرد لرزه‌ای ستون‌های بتن‌مسلح آسیب‌دیده در اثر خوردگی آرماتورها نوشتند. از نتایج آزمایشات انجام شده توسط این نویسندها می‌توان دریافت که سطوح خوردگی بالاتر و بارهای محوری بیشتر منجر به حلقه‌های هیسترتیک با پایدار کمتری می‌شود و همچنین خوردگی باعث کاهش مقاومت و سختی بیشتری تحت

4 Meda et al.

5 Biondini et al.

6 Yuan et al.

7 Deng et al.

میلگردهای فولادی نوشتند. از جمله نتایج این مقاله می‌توان این موارد اشاره کرد که خوردگی میلگردهای تقویت کننده فولادی بر قابلیت سرویس دهی لرزه‌ای و ظرفیت لرزه‌ای پل‌های بتن مسلح، تأثیر منفی می‌گذارد و آسیب پذیری آنها را در برابر زلزله افزایش می‌دهد و همچنین آسیب خوردگی در اعضای بتن مسلح پل را می‌توان تحت زلزله با PGA های کوچک نادیده گرفت. خوردگی حفره‌ای یا همان خوردگی غیریکنواخت در اعضا بتن مسلح پل‌ها می‌تواند باعث کاهش شکل پذیری شود.

کوی و همکاران^۸ [۱۰]، در سال ۲۰۱۸ در مقاله‌ای، در مورد خوردگی غیریکنواخت اعضا بتن مسلح پل‌ها نوشتند و بدین نتیجه رسیدند که خوردگی در بتن تقویت شده با میلگرد، خود را به صورت ترک خوردگی و یا پوسته پوسته شدن نشان می‌دهد. آنان دریافتند که در تحلیل شکنندگی لرزه‌ای و ارزیابی قابلیت اطمینان پل‌های بتن مسلح برخی از پژوهشگران دیگر نرخ خوردگی را در طول زمان ثابت فرض می‌کردند با این حال، مطالعات تجربی نشان می‌دهد که نرخ خوردگی آرماتورها در محیط‌های کلریدی تغییرات زیادی در طول عمر سرویس خود می‌کند.

وانگ و همکاران^۹ [۱۱] در سال ۲۰۲۱، در مقاله نوشه شده خود بدین نتیجه رسیدند که، مقاومت لرزه‌ای پایه‌های پل‌های بتن مسلح در طول زمان به دلیل فرآیندهای تخریب تدریجی مانند خوردگی آرماتورها، کاهش می‌یابد. استفاده از پوشش تقویتی بتن مسلح با الیاف انعطاف‌پذیر ممکن است این خراسی‌ها را کاهش دهد. همچنین روش‌های فعلی برای تخمین زوال و کاهش ظرفیت را نمی‌توان برای پایه‌های پل با پوشش ساخته شده از یک الیاف شکل پذیر که رفتاری متفاوت از بتن معمولی دارد، اعمال کرد.

هو و همکاران^{۱۰} [۱۲] در سال ۲۰۲۱، پل‌هایی را که در مناطق ساحلی که تحت حملات یون‌های کلرید قرار دارند تحلیل کردد و دریافتند یون‌های کلرید نه تنها خوردگی پل‌ها را شدت می‌دهند بلکه به طور قابل توجهی در طول زمان مکانیسم‌های انتشار آسیب و توزیع آسیب لرزه‌ای را تغییر می‌دهد. نتایج تحقیقاتی که انجام دادند، نشان می‌دهد که خوردگی ناشی از یون‌های کلرید موجود سواحل دریایی ممکن است منجر به آسیب‌پذیر لرزه‌ای بیشتری در سطح پایینی ستون پل که در مجاورت بیشتر آب حاوی یون کلرید قرار دارد، نسبت به بخش‌های دیگر پایه‌ها شود.

تنگتاكبی و همکاران^{۱۱} [۱۳] در سال ۲۰۲۲ در مقاله خود نوشتند که یکی از عوامل مؤثر در تخمین عمر مفید پل‌های بتن مسلح تعیین عملکرد لرزه‌ای بلند مدت این سازه‌ها می‌باشد. خوردگی ناشی از انتشار یون کلرید منجر به تخریب اعضا می‌شوند و بنابراین، می‌شود. بنابراین، عملکرد بلندمدت لرزه‌ای پل در مرور زمان کاهش می‌یابد. دیگر نتایج این مقاله نشان می‌دهد که ظرفیت لرزه‌ای پل به مرور زمان به دلیل خوردگی کاهش می‌یابد.

یوان و همکاران در سال ۲۰۲۳ [۱۴] دریافتند که پایه‌های پل‌های ساحلی به دلیل خوردگی غیریکنواخت و عدم قطعیت در ویژگی‌های مواد، دچار وخامت عملکرد می‌گردند. برخی از این پایه‌ها نیز در طول یک دوره خدمات رسانی طولانی مدت توسط زلزله‌های تصادفی تهدید می‌شوند و بنابراین، اینمی سازه باید به صورت احتمالی با روش قابلیت اطمینان لرزه‌ای ارزیابی شود. برای مقابله با این مشکل، آنها روشی را برای محاسبه قابلیت اطمینان وابسته به زمان پایه پل‌های ساحلی، با درنظرگرفتن تصادفی بودن رویدادهای لرزه‌ای، خوردگی غیریکنواخت و عدم قطعیت مواد ارائه دادند. روش پیشنهادی این مطالعه در مورد پایه پل ساحلی نشان می‌دهد که افزایش آسیب خوردگی به وضوح به قابلیت اطمینان وابسته به زمان بستگی دارد. نتایج تحقیق ارائه شده در نهایت نشان می‌دهد که تجمع خوردگی غیریکنواخت بر قابلیت اطمینان لرزه‌ای وابسته به زمان مربوط به حالت شکست پایه پل ساحلی تأثیر می‌گذارد.

حامد و همکاران [۱۵]، در یک مطالعه آزمایشگاهی در سال ۲۰۲۳ دریافتند که خوردگی آرماتورهای فولادی در سازه‌های بتنی مانند پل‌ها، کارخانه‌های صنعتی، سازه‌های دریایی و ساختمان‌های ساحلی یک نگرانی رو به رشد است و همچنین خوردگی منجر به پوسته شدن، ترک خوردن و کاهش قطر آرماتور می‌شود که می‌تواند یکپارچگی سازه را به خطر بیندازد. از نتایج نهایی این آزمایش می‌توان به این موضوع اشاره کرد که با افزایش قطر کاور بتنی این ستون‌های بتن مسلح، میزان نفوذ یون کلرید به پایه‌ها کاهش می‌یابد و در نتیجه خوردگی در میلگردهای تقویت کننده کاهش می‌یابد.

نام نویسنده	سال	حالت خوردگی	نوع تحقیق	نتایج
گاش و همکاران [۱۳]	۲۰۱۰	یکنواخت	عددی	• خوردگی، سبب کاهش ظرفیت لرزه‌ای پایه‌ها می‌شود. • خوردگی، مقاومت نهایی میلگردها را کاهش می‌دهد.
درماون [۱۶]	۲۰۱۰	یکنواخت/غیر یکنواخت	عددی	• اثر خوردگی یکنواخت بر کاهش مقاومت خمشی و مقاومت برشی در تیرهای بتن مسلح نسبت به خوردگی حفره‌ای بیشتر است.

8 Cui et al.

9 Wang et al.

10 Hu et al.

11 Tangtakabi et al.

ما و همکاران [۴]	۲۰۱۲	یکنواخت	آزمایشگاهی	در اثر خوردگی پایه‌ها مقاومت، سختی و شکل‌پذیری در میلگردها کاهش می‌یابد.
کاشانی و همکاران [۱۷]	۲۰۱۳	غیر یکنواخت	آزمایشگاهی	• خوردگی موجب کاهش تغییر شکل پلاستیک میلگردها در کشش می‌شود. • توزیع شکل حفره‌های ایجاد شده در سطح مقطع مهم‌ترین پارامتر تاثیرگذار در تنش و کرنش فشاری و کششی میلگردها می‌باشد.
بیوندینی و همکاران [۶]	۲۰۱۴	یکنواخت / غیر یکنواخت	عددی	• یکی از شکل‌های بارز خوردگی در پایه‌ها پوسته‌پوسته شدن و ترک خوردگی پوشش بتن است.
مدا و همکاران [۵]	۲۰۱۴	یکنواخت / غیر یکنواخت	آزمایشگاهی	• میلگردهای تعییه شده در بتن اغلب دچار خوردگی حفره‌ای می‌شوند. • میلگردهای خام که در بتن قرار نگرفته‌اند، اغلب دچار خوردگی یکنواخت می‌شوند. • کاهش مقاومت نهایی و تسليیم و همچنین کرنش نهایی میلگردها در خوردگی یکنواخت نسبت به خوردگی حفره‌ای کمتر است.
رائو و همکاران [۱۸]	۲۰۱۶	یکنواخت	عددی	• با افزایش فاصله سازه از ساحل، میانگین زمان شروع خوردگی افزایش پیدا می‌کند. • با افزایش ضخامت پوشش بتنی، میانگین زمان شروع خوردگی افزایش می‌یابد. • مقدار خوردگی ایجاد شده در پایه‌ها در ناحیه پاشش یون کلرید موجود در آب از ناحیه اتمسفر یون کلرید بیشتر است. • با افزایش خوردگی در پایه‌ها تقاضای لرزه‌ای (دریفت) افزایش پیدا می‌کند.
گاش و همکاران [۱]	۲۰۱۶	یکنواخت / غیر یکنواخت	عددی	• خوردگی، سبب کاهش ظرفیت باربری لرزه‌ای پایه‌های بتن مسلح می‌شود. • خوردگی حفره‌ای به دلیل کاهش بیشتر سطح مقطع مقتضی نسبت به خوردگی یکنواخت، تأثیر بیشتری بر افزایش آسیب‌پذیر لرزه‌ای پل‌های بتن مسلح دارد. • اثر خوردگی در پاسخ لرزه‌ای اعضای مختلف پل‌ها متفاوت است. به عنوان مثال خوردگی باعث افزایش پاسخ لرزه‌ای انحنای ستون‌ها، کاهش پاسخ لرزه‌ای کوله‌های ثابت می‌شود.
بیان و همکاران [۷]	۲۰۱۷	یکنواخت	عددی	• با توجه به نحوه قرار گیری پایه‌ها در معرض حملات یون کلرید، خوردگی ایجاد شده در اثر پاشش یون کلرید موجود در آب و جزو ماد آن نسبت به حالت قرارگیری در معرض اتمسفر یون کلرید بیشتر است. • تغییر شکل نهایی و تسليیم میلگردها در اثر خوردگی کاهش می‌یابد.
افسر دیزج و همکاران [۱۹]	۲۰۱۷	یکنواخت / غیر یکنواخت	عددی	• هرچه ضخامت پوشش بتنی بیشتر باشد، تأثیر خوردگی بر کاهش ظرفیت لرزه‌ای میلگردها کمتر است. • خوردگی باعث کمانش غیرارتجاعی در میلگردهای طولی می‌شود. • تأثیر خوردگی بر کاهش شکل‌پذیری میلگردها نسبت به کاهش ظرفیت خمسی آنها بیشتر است.
بیان و همکاران [۸]	۲۰۱۸	غیر یکنواخت	آزمایشگاهی	• با افزایش مقدار خوردگی در پایه‌ها، رفتار لرزه‌ای سازه اعم از مقاومت لرزه‌ای، تغییر شکل و ظرفیت اتلاف انرژی کاهش می‌یابد.
دنگ و همکاران [۹]	۲۰۱۸	یکنواخت	عددی	• تأثیر خوردگی بر رفتار لرزه‌ای پل‌ها در زلزله‌ها با شدت لرزه‌ای کم، کوچک و قابل چشم‌پوشی می‌باشد. • خوردگی باعث کاهش مقاومت تسليیم میلگردهای تقویت‌کننده می‌گردد که در نهایت موجب کاهش شکنندگی لرزه‌ای پل‌ها می‌شود.
کوی و همکاران [۱۰]	۲۰۱۸	غیر یکنواخت	عددی	• در محیط‌های ساحلی، شدت خوردگی در میلگردها پس از شروع ترک خوردگی پوشش بتنی افزایش می‌یابد. • شدت خوردگی در پایه‌ها پس از ۲۵ سال از شروع خوردگی، به سرعت بیشتری افزایش می‌یابد.

● با افزایش عمر پل‌ها، شدت خوردگی در پایه‌ها افزایش می‌یابد و در نتیجه در پایه‌ها کاهش جرم بیشتری مشاهده می‌شود.	عددي	يکنواخت	۲۰۱۸	يانوپيراساک و همكاران [۲۰]
● با افزایش عمر پل، شدت خوردگی پایه‌ها و خطر آسیب پذیری سازه در برابر بارهای لرزه‌ای افزایش می‌یابد.	عددي	يکنواخت	۲۰۱۹	ويشوانات و همكاران [۲۱]
● خوردگی باعث افزایش احتمال کمانش غیرارتاجاعی می‌گردد که تاثیر می‌شود. ● در سطوح پایین‌تر خوردگی، شکل پذیری ستون‌های دایره‌ای نسبت به ستون‌های مستطیلی بیشتر است، برای مثال در حالی که ستون‌های مستطیلی در یک تغییر شکل جانبی مشخص فرمی‌ریزند، ستون‌های دایره‌ای به تدریج گسیخته می‌شوند.	عددي	يکنواخت	۲۰۲۰	افسر دیزج و همكاران [۲۲]
● با افزایش سطوح خوردگی، ظرفیت باربری پایه‌ها، شکل پذیری و اتلاف انرژی تجمعی آنان کاهش می‌یابد. ● در مواردی که خوردگی شدید در پایه‌ها رخ می‌دهد، محل تشکیل مفصل پلاستیک از پایین پایه‌ها به محل رخداد خوردگی انتقال می‌یابد.	آزمایشگاهی	غير يکنواخت	۲۰۲۱	ژائو و همكاران [۲۳]
● پس از ایجاد ترک‌های اولیه در پوشش بتنی، سرعت خوردگی در می‌گردد که به شدت افزایش می‌یابد. ● خوردگی ناشی از نفوذ یون کلرید به پایه‌ها، منجر به کاهش قابل توجه ظرفیت باربری پل‌ها می‌شود.	عددي	غير يکنواخت	۲۰۲۱	دي و همكاران [۲۴]
● با تقویت ستون‌های بتن‌مسلح خورده شده با پوشش FRC احتمال آسیب‌پذیری لرزه‌ای آنها نسبت به ستون‌های خورده شده با پوشش بتنی معمولی کاهش می‌یابد.	عددي	غير يکنواخت	۲۰۲۱	وانگ و همكاران [۱۱]
● خوردگی پایه‌ها، موجب افزایش احتمال خرابی لرزه‌ای آنها می‌شود. ● خوردگی ناشی از یون کلرید در پایه‌ها مقاومت تسليم مقطع را کاهش داده و موجب افزایش آسیب‌پذیری لرزه‌ای آنها می‌شود.	عددي	يکنواخت/غير يکنواخت	۲۰۲۱	هو و همكاران [۱۲]
● در خوردگی‌های شدید کلریدی، شاخص قابلیت اطمینان لرزه‌ای پایه‌های بتن‌مسلح، به شدت کاهش می‌یابد.	عددي	غير يکنواخت	۲۰۲۲	سيفي اصغيشهر [۲۵]
● ظرفیت باربری پل‌ها به مرور زمان به دلیل خوردگی کاهش می‌یابد. ● از آنجایی که پوشش می‌گردهای عرضی از می‌گردهای طولی کمتر است، خوردگی در آنها سریع‌تر شروع می‌شود. برای نمونه: خوردگی در می‌گردهای عرضی $3/8$ برابر بیشتر از یک می‌گردهای طولی است. ● شکل پذیری و اتلاف انرژی در می‌گردهای خورده شده کاهش می‌یابد.	عددي	يکنواخت	۲۰۲۲	تنگناکبی و همكاران [۱۳]
● خوردگی منجر به کاهش استحکام پیوند بین فولاد و بتن می‌شود. ● خوردگی در پایه‌ها سبب کاهش سختی خمشی در می‌گردها می‌شود. ● خوردگی باعث کاهش ظرفیت اتلاف انرژی و ظرفیت برشی ستون‌های پل‌ها می‌شود.	عددي	غير يکنواخت	۲۰۲۳	کومار دووندیران و همكاران [۲۶]
● پوشش بتنی ضخیم‌تر مقاومت بیشتری در برابر خوردگی ایجاد می‌کند. ● خوردگی در پایه‌ها منجر به کاهش ظرفیت باربری آنها می‌شود.	آزمایشگاهی	غير يکنواخت	۲۰۲۳	حامد و همكاران [۱۵]
● در حالت غوطه‌وری پایه‌ها در یون کلرید، احتمال خرابی لرزه‌ای وابسته به زمان پایه‌های پل‌های ساحلی نسبت به دیگر حالت‌های حملات یون کلرید بیشتر است.	عددي	غير يکنواخت	۲۰۲۳	يوان و همكاران [۱۴]

جدول (۳): طبقه‌بندی مقالات منتشرشده از ۲۰۱۰ تا ۲۰۲۳ بر حسب نوع خوردگی و نوع پژوهش

شدت لردهای کم، کوچک و قابل چشمپوشی می‌باشد و در سطوح پایین‌تر خودگی، ستون‌های دایره‌ای نسبت به ستون‌های مستطیلی رفتاری منعطف‌تر دارند، برای مثال در حالی که ستون‌های مستطیلی در یک نسبت رانش مشخص فرو می‌ریزند، ستون‌های دایره‌ای به تدریج از کار می‌افتدند و در نهایت با افزایش عمر پل، شدت خودگی پایه‌ها افزایش می‌یابد و کاهش جرم بیشتری را مشاهده می‌کند، در نتیجه خطر آسیب‌پذیری سازه در برابر بارهای لردهای افزایش می‌یابد.

-۳- با افزایش فاصله سازه از ساحل، میانگین زمان شروع خودگی افزایش پیدا می‌کند و نحوه قرارگیری پایه‌های در معرض حملات یون کلرید، بر میزان و نوع خودگی ایجاد شده در پایه‌ها تاثیر می‌گذارد؛ برای مثال اگر پایه ستون‌ها در ناحیه پاشش یون کلرید محلول در آب و یا جزو مردم قرار گیرد، شدت خودگی پایه‌ها از حالت قرارگیری در معرض اتمسفر یون کلرید بیشتر است.

جهت مشاهده منابع این مقاله، اسکن کنید:



در جدول ۳، دسته‌بندی مقالات نوشته شده بر حسب نوع تحقیق (عددی و یا آزمایشگاهی) و حالت خودگی مورد بررسی در ۱۳ سال اخیر ارائه و نتایج مقالات به صورت خلاصه‌وار آورده شده است. با توجه به جدول شماره ۳ ملاحظه می‌شود که کاهش ظرفیت لردهای پل‌ها از جمله تاثیرات خودگی بر پایه‌های بتن مسلح پل‌ها است ([۳]، [۱]، [۱۹] و [۲۰]). با افزایش شدت خودگی مقاومت لردهای سازه‌های پل کاهش پیدا می‌کند ([۴]، [۸]، [۹] و [۱۲]). از دیگر نتایج مقالات گردآوری شده می‌توان بدین موضوع اشاره کرد که خودگی باعث کاهش سختی پایه‌ها ([۴] و [۲۶]) و کاهش شکل‌پذیری سازه نیز می‌شود ([۴]، [۶]، [۷]، [۱۹] و [۱۳]). با توجه به نتایج مقاله افسر دیزج و همکاران [۲۲] در سطوح خودگی پایین‌تر، ستون‌های دایره‌ای نسبت به ستون‌های مستطیلی رفتار شکل‌پذیرتری دارند. و مقاومت بیشتری در برابر فرو ریزش ناشی از بارهای جانبی دارند.



(الف)

شکل (۴): الف) نمودار دایره‌ای توزیع نوع تحقیقات انجام شده در حیطه خودگی. ب) نمودار دایره‌ای توزیع نوع خودگی در نظر گرفته شده در مقالات.

از شکل ۴ (الف)، نتیجه می‌شود که مقالات چاپ شده عددی به نسبت مقالات آزمایشگاهی (۷۶ به ۲۴ درصد)، بیشتر است. همچنین ملاحظه می‌شود (شکل ۴(ب)) ۳۳ درصد از مقالات به مطالعه‌ی خودگی یکنواخت، ۴۲ درصد به خودگی غیریکنواخت و ۲۵ درصد به مطالعه‌ی هر دو نوع خودگی پرداخته‌اند.

۵- نتیجه‌گیری

در این مقاله، با توجه به افزایش توجه‌ها در مورد موضوع اثر خودگی در رفتار لردهای پایه‌های بتن مسلح، ۲۵ مقاله در این زمینه در بازه زمانی سال ۱۰۰ تا سال ۲۰۲۳ به بررسی قرار گرفته است که نتایج جمع‌آوری شده به صورت خلاصه ارائه می‌شود.

- ۱- پوشش بتنی در پایه‌های بتن مسلح به عنوان خط اولیه دفاع در برابر خودگی آرماتورها عمل می‌کند و خودگی در اثر یون کلرید در پوشش بتنی پایه‌ها باعث ترک خودگی و یا پوسته‌پوسته شدن می‌شود و بعد از نفوذ یون کلرید در درون ترک‌های ایجاد شده، خودگی در میلگردها رخ می‌دهد که باعث کاهش سطح مقطع و کاهش جرم میلگردهای تقویت کننده می‌شود لازم به ذکر است از آنجایی که پوشش میلگردهای عرضی از میلگردهای طولی کمتر است، خودگی در میلگردهای عرضی سریع‌تر شروع می‌شود. در نهایت خودگی منجر به کاهش استحکام پیوند بین فولاد و بتن، کاهش سختی خمشی میلگردها، کاهش مقاومت لردهای، کاهش ظرفیت اتلاف انرژی و کاهش شکل‌پذیری در میلگردها می‌گردد.
- ۲- تاثیر خودگی بر رفتار لردهای پل‌های چنددهانه در زلزله‌ها با

الگوریتم ژنتیک و هوش مصنوعی در ساختمان هوشمند

سجاد مرشدی یوسف آباد

کارشناسی مهندسی عمران دانشگاه شهید روحشی / ورودی ...

sajjadmorshedi81@gmail.com



چکیده

هدف از این مقاله بررسی عملکرد هوش مصنوعی، به ویژه الگوریتم ژنتیک در ساختمان‌های هوشمند است که استفاده از آنها می‌تواند بر روی رفاه ساکنین و امنیت هر چه بیشتر آنها تاثیر بگذارد. در مقاله پیش‌رو از سایت‌ها، مقالات و کتب معتبر در این زمینه استفاده شده است. این مقاله تلاش دارد با شناساندن ابزارهای هوش مصنوعی و پارامترهایی که توسط الگوریتم ژنتیک به دست می‌آیند، قدمی مهم در راستای توسعه ساختمان‌های هوشمند و پایدار بردارد.

کلمات کلیدی: هوش مصنوعی، هوشمندسازی، الگوریتم ژنتیک، بهینه‌سازی، مدیریت انرژی

۱- مقدمه

برای هوشمندسازی یک ساختمان، مجموعه‌ای از تجهیزات و سیستم‌های مختلف در سازه کار گذاشته می‌شود. با استفاده از این تجهیزات و سیستم‌ها، می‌توان ساختمان‌هایی را طراحی کرد و ساخت که مصرف انرژی را به طور قابل توجهی کاهش و امنیت و آسایش ساکنین را به ساکنین ارائه می‌نمایند و با محیط‌زیست سازگار هستند. به طور کلی این تجهیزات ساختمانی را می‌توان در دسته‌های زیر طبقه‌بندی کرد:

۲-۱- سیستمهای اتوماسیون

سیستم روشنایی هوشمند: شامل لامپ‌های LED هوشمند، سنسورهای حرکتی و دیمerra برای تنظیم نورپردازی بر اساس نیاز و حضور ساکنین

سیستم تهویه مطبوع هوشمند: شامل ترموموستات‌های هوشمند،

دریچه‌های تهویه هوشمند و سنسورهای دما و رطوبت برای تنظیم دمای مطبوع و تهویه مناسب

سیستم مدیریت انرژی: شامل کنترلهای هوشمند، سنسورهای مصرف انرژی و الگوریتم‌های بهینه‌سازی برای مدیریت و کاهش مصرف انرژی

سیستم امنیتی هوشمند: شامل دوربین‌های مداربسته، دزدگیرها،

قفل‌های هوشمند و سیستم‌های تشخیص نفوذ برای ارتقای امنیت ساختمان

۲-۲- شبکه‌های ارتباطی

شبکه‌های بی‌سیم: برای اتصال تجهیزات و سیستم‌های مختلف به یکدیگر و به اینترنت

با رشد روزافزون جمعیت و نیاز به منابع انرژی، ضرورت توسعه ساختمان‌های هوشمند که بهینه‌تر، پایدارتر و سازگارتر با محیط‌زیست باشند، بیش از پیش احساس می‌شود. هوش مصنوعی و الگوریتم‌های مربوط به آن مانند الگوریتم ژنتیک به عنوان ابزارهایی قدرتمند، پتانسیل‌های فراوانی برای ارتقای کارایی و هوشمندسازی ساختمان‌ها در زمینه‌های مختلف، از جمله مدیریت انرژی، تهییه مطبوع، روشنایی، امنیت و آسایش ساکنین ارائه می‌کنند.

با وجود پیشرفت‌های چشمگیر در زمینه هوش مصنوعی و الگوریتم ژنتیک، هنوز چالش‌های متعددی در مسیر استفاده بهینه از این فناوری در ساختمان‌های هوشمند وجود دارد. پیچیدگی و تنوع سیستم‌های موجود در ساختمان‌های هوشمند، نیاز به حجم عظیمی از داده‌ها برای آموزش الگوریتم‌های هوش مصنوعی، هزینه‌های بالای پیاده‌سازی و نگهداری سیستم‌های مبتنی بر هوش مصنوعی از جمله این چالش‌ها هستند.

این مقاله با بررسی و تحلیل کاربردهای هوش مصنوعی و الگوریتم‌های ژنتیک در ساختمان‌های هوشمند، به دنبال ارائه راهکارهایی برای حل چالش‌های موجود و تسريع روند همه‌گیری این فناوری‌ها در صنعت ساختمان است.

۲- ساختمان هوشمند چیست؟

ساختمان هوشمند ساختمانی است که با ترکیب چهار عنصر اصلی یعنی سیستم، ساختار، خدمات، مدیریت و ارتباط بین آنها، محیط پویا و مقرون به صرفه داشته باشد. به عبارت دیگر، ساختمان هوشمند، ساختمانی است که در آن تمامی اجزای داخلی آن از طریقی منطقی و سازگار با محیط، با یکدیگر تعامل دارند^[۱].

۲-۳- سنسورها

سنسورهای حرکتی: برای تشخیص حضور و حرکت افراد در فضاهای مختلف

سنسورهای دما و رطوبت: برای تنظیم دمای مطبوع و تهویه مناسب

سنسورهای نور: برای تنظیم نورپردازی بر اساس میزان نور طبیعی

سنسورهای کیفیت هوای: برای پایش کیفیت هوای داخل ساختمان

۴- سیستمهای هوش مصنوعی

الگوریتم‌های یادگیری ماشین: برای تحلیل داده‌ها، پیش‌بینی رفتار ساکنین و بهینه‌سازی عملکرد سیستم‌ها

سیستمهای تشخیص چهره: برای کنترل تردد و ارتقای امنیت

دستیاران مجازی: برای ارائه خدمات رفاهی و پاسخگویی به سوالات ساکنین

۵- تجهیزات جانبی

ترموستات‌های هوشمند: برای تنظیم دمای مطبوع

قفل‌های هوشمند: برای کنترل تردد و ارتقای امنیت

پرده‌های برقی: برای تنظیم نورپردازی و حفظ حریم خصوصی

صفحه‌های لمسی: برای کنترل و مدیریت سیستم‌های مختلف

علاوه بر تجهیزات و سیستم‌های ذکر شده، ابزارهای سازه‌ای نیز در

ساختمان‌های هوشمند به کار می‌روند که به بهین هسازی عملکرد و ارتقای کارایی ساختمان کمک می‌کنند. برخی از این ابزارها عبارت‌اند از:

۶- سیستم‌های عایق‌بندی

عایق‌های حرارتی: برای جلوگیری از هدر رفتن گرما و سرما و بهینه سازی مصرف انرژی

عایق‌های صوتی: برای کاهش آلودگی صوتی و ایجاد فضای آرام

۷- سیستم‌های روشنایی طبیعی

پنجره‌های هوشمند: برای تنظیم میزان نور طبیعی ورودی به ساختمان

سقف‌های شیشه‌ای: برای استفاده حداکثری از نور طبیعی

۸- سیستم‌های تهویه طبیعی

دربیچه‌های تهویه هوشمند: برای تهویه مناسب و جلوگیری از اتلاف انرژی

سیستم‌های خنک کننده طبیعی: مانند برج‌های خنک کننده

۹- سیستم‌های مدیریت آب

شیرهای هوشمند: برای کنترل و مدیریت مصرف آب

سیستم‌های جمع آوری آب باران: برای استفاده از آب باران در

مصارف غیرآشامیدنی

۱-۲- سیستم‌های مدیریت پسماند

سیستم‌های تفکیک زباله: برای تفکیک زباله از مبدأ و بازیافت مواد

سیستم‌های کمپوست: برای تبدیل زباله‌های آلی به کود

۲-۱- مصالح هوشمند

مصالح خود ترمیم شونده: برای ترمیم خودکار ترک‌ها و آسیب‌های جزئی

مصالح تغییر فاز دهنده: برای ذخیره و آزادسازی انرژی گرمایی تا به اینجا به توضیح و تشریح ساختمان هوشمند پرداخته شد. در ادامه روش استفاده از هوش مصنوعی و الگوریتم ژنتیک در راستای هوشمندسازی شرح داده خواهد شد.

۳- الگوریتم ژنتیک، تقلیدی از طبیعت برای حل مسائل پیچیده

الگوریتم ژنتیک^۱ یا به اختصار GA یک مدل از یادگیری ماشین می‌باشد که رفتار آن از مکانیسم تکامل در طبیعت الهام گرفته شده است [۲]. این الگوریتم‌ها برای یافتن راه حل‌های تقریبی بهینه برای مسائل پیچیده در حوزه‌های مختلف از جمله مهندسی، علوم کامپیوتر، اقتصاد و زیست‌شناسی به کار می‌روند.

الگوریتم ژنتیک به عنوان یک الگوریتم جستجو و بهینه‌سازی، در زیرمجموعه علوم کامپیوتر قرار می‌گیرد؛ اما به دلیل ماهیت آن، در سایر علوم نیز مورد استفاده قرار می‌گیرد.

- **هوش مصنوعی:** الگوریتم ژنتیک به عنوان یکی از شاخه‌های هوش مصنوعی، از تکنیک‌های هوش مصنوعی برای حل مسائل پیچیده استفاده می‌کند.

- **علوم زیستی:** الگوریتم ژنتیک از مفاهیم و فرایندهای بیولوژیکی مانند وراثت، جهش و انتخاب طبیعی الهام گرفته شده است.

- **مهندسی:** الگوریتم ژنتیک در مهندسی برای حل مسائل بهینه سازی در زمینه‌های مختلف از جمله طراحی هوایپیما، طراحی خودرو و طراحی ربات به کار می‌رود.

- **اقتصاد:** الگوریتم ژنتیک در اقتصاد برای حل مسائل بهینه سازی در زمینه‌های مختلف از جمله برنامه ریزی مالی، پیش‌بینی بورس و مدیریت ریسک به کار می‌رود.

۱-۳- تاریخچه الگوریتم ژنتیک

در سال ۱۸۵۰ گریگور مندل تئوری ژنتیک را با ارائه مفاهیمی مانند ژن، وراثت و صفات غالب و مغلوب پایه گذاری کرد. در سال ۱۸۵۹ چارلز داروین نظریة تکامل را با تکیه بر انتخاب طبیعی ارائه کرد [۳]. در سال ۱۹۵۰ جان هندلند ایده استفاده از الگوریتم‌های ژنتیک را برای حل مسائل بهینه سازی مطرح کرد و در ادامه در سال ۱۹۵۴ اولین مقاله خود را در مورد الگوریتم‌های ژنتیک منتشر نمود [۴]. در سال ۱۹۷۰ اولین الگوریتم‌های ژنتیک توسط هالند و همکارانش برای حل مسائل ساده به کار گرفته شدند و پنج سال بعد اولین کتاب را در مورد الگوریتم‌های ژنتیک با عنوان «الگوریتم‌های ژنتیک و جستجوی بهینه» منتشر نمود. در سال ۱۹۸۰ رشد و توسعه الگوریتم‌های ژنتیک با ظهور کامپیوترهای

به عملکرد حرارتی از راه های دیگر جبران گردد؛ که به نوبه خود باعث تحمیل بار بیشتری به محیط و سیستم تهویه می شود. مشکل این است که در واقع پنجره ها تأثیر مهمی بر عملکرد محیطی ساختمان دارند و عدم توجه به این تأثیر، منجر به مشکلات بعدی می شود. اندازه بهینه پنجره ها به شرایط آب و هوایی، شیشه های مورد استفاده، جهت پنجره ها و نوع کابوئی ساختمان بستگی دارد [۷].

۳-۶- طراحی و بهینه سازی HVAC (گرمایش، تهویه، تهویه مطبوع) خانه های سبز با الگوریتم ژنتیک

در این مقاله ابتدا مقدار بار حرارتی ساختمان آموزشی با استفاده از شرایط آب و هوایی دزفول و با استفاده از نرم افزار کریر^۲ و با نقشه مشخص محاسبه شده و سپس از آنجایی که این بار حرارتی توسط چیلرهای تراکمی تأمین می شود، با استفاده از الگوریتم ژنتیک نحوه چیدمان چیلرهای بهینه شده و سپس نتایج مورد مقایسه قرار می گیرند. به طور کلی نتیجه این پژوهش این است که می توان مقادیر موثر در عملکرد حرارتی بنارا مورد ارزیابی و بهینه سازی قرار داد و توابع هدف مختلف طرح بهینه را با استفاده از الگوریتم ژنتیک، که در هر مرحله جمعیتی از پاسخ های قابل قبول را دارد، ارائه نمود [۸].

۳-۷- بهینه سازی چندمنظوره قاب های خمی بتن آرمه با استفاده از الگوریتم ژنتیک و روش جمع وزنی توابع هدف

در این مقاله توابع هدف هزینه و جایه جایی برای بهینه سازی قاب های خمی بتن آرمه معرفی شده اند. با استفاده از روش جمع وزنی توابع هدف^۳ مسئله بهینه سازی از حالت دوهدفه به حالت یک هدفه تبدیل شده و مدل های طراحی به صورت مجزا بهینه شده اند. مقطع تیرها و ستون ها به عنوان متغیرهای طراحی فرض شده اند و محدودیت های آئین نامه بتن آمریکا^۴ به صورت قیود طراحی در نظر گرفته شده اند. قاب های خمی بتن آرمه^۵ و^۶ ۱۲ طبقه (نماینده سازه های کوتاه، متوسط و بلند) به عنوان مدل های مطالعه معرفی شده و نسبت تنش در تیرها و ستون های جواب های بهینه برای تیپ های مختلف نشان داده شده اند [۹].

۳-۸- طراحی و بهینه سازی سامانه های استحصال آب باران

هنگام وقوع بارندگی، سطوح نفوذناپذیر شهری به عنوان مانعی در برابر نفوذ آب داخل خاک عمل کرده و موجب رواناب سطحی می گردد. طراحی سامانه های استحصال آب باران، علاوه بر کاهش رواناب و خسارات مربوطه، می تواند با تأمین بخشی از آب غیرشرب مورد نیاز، فشار وارد بر منابع آب را کاهش دهد. در این مقاله با هدف طراحی سامانه های استحصال آب باران در یک ساختمان^۷ طبقه در دانشکده کشاورزی دانشگاه تربیت مدرس، ابتدا داده های بارش روزانه ایستگاه هواشناسی چیتگر تهیه گردید. سپس شیوه سازی سامانه های مذکور در محیط نرم افزار متلب انجام شد. همچنین درصد قابلیت اطمینان و نسبت سریز در ازای حجم های مختلف مخزن برآورد گردید و در نهایت، بهینه سازی حجم مخزن با استفاده از الگوریتم ژنتیک انجام شد. نتایج نشان داد که

قدرتمندتر سرعت گرفت و اولین کنفرانس بین المللی در مورد الگوریتم های ژنتیک برگزار شد. در سال ۱۹۹۰ کاربرد الگوریتم های ژنتیک در زمینه های مختلف علمی و صنعتی گسترش یافت و اولین نرم افزارهای تجاری برای الگوریتم های ژنتیک به بازار عرضه شدند و امروزه الگوریتم های ژنتیک به عنوان ابزاری قدرتمند برای حل مسائل پیچیده در دنیای واقعی شناخته می شوند [۵].

۳-۲- زیرشاخه های الگوریتم ژنتیک

برنامه نویسی ژنتیک: برای تکامل برنامه های کامپیوتری
الگوریتم های ژنتیک تکاملی: برای حل مسائل بهینه سازی
محاسبات تکاملی: برای شبیه سازی فرایندهای تکاملی در طبیعت

۳-۳- روش کلی کارکرد الگوریتم ژنتیک

ایجاد جمعیت اولیه: مجموعه ای از راه حل های تصادفی برای مسئله مورد نظر ایجاد می شود.
ازیابی: هر راه حل با استفاده از یکتابع برآش که معیاری برای سنجش کیفیت راه حل است، ارزیابی می شود.
انتخاب: راه حل های با برآش بهتر با احتمال بیشتری برای تولید مثل انتخاب می گردند.

تولید مثل: راه حل های جدیدی از راه حل های منتخب، از طریق عملگرهای تلاقی و جهش ایجاد می شوند.

تکرار: مراحل بالا تا زمان رسیدن به یک راه حل بهینه یا تقریباً بهینه تکرار می گردد [۲].
در ادامه به مقالات معتبر در زمینه کاربرد الگوریتم ژنتیک در ساختمان هوشمند می پردازیم.

۴-۳- کاربرد روش الگوریتم ژنتیک در بهینه سازی ساختمان های فولادی

در این تحقیق یک ساختمان قاب فولادی ساده ۱۰ طبقه با مهاربندی همگرا برای مطالعه انتخاب شده است. جهت تحلیل، طراحی و بهینه سازی از مقاطع فولادی با ابعاد متعارف و سیستم سقف و دیوار سبک مطابق با آئین نامه طرح و اجرای ساختمان های فولادی (مبحد دهم) و جهت برآورده شدن پارامترهای لرزه ای از آئین نامه ۲۸۰۰ و برایش سوم استفاده شده است. تابع هدف وزن سازه انتخاب گردید. با توجه به اپراتورهای ژنتیکی در قوای هر نسل برآزندگی متوسط افراد افزایش می یابد؛ بطوريکه سازه حداقل وزن را داشته باشد و به شرطی که محدودیت های لرزه ای و طراحی را تا رسیدن به جواب بهینه و یا اراضی شرط همگرایی برآورده سازد [۶].

۳-۵- استفاده از الگوریتم ژنتیک در بهینه سازی مصرف انرژی در ساختمان ها

مشکلی که در اینجا مورد بررسی قرار می گیرد، تعیین اندازه پنجره های یک ساختمان به منظور تأمین روشنایی و شرایط حرارتی بهینه (گرمایش و سرمایش) است. اندازه پنجره های ساختمان معمولاً در مراحل پایانی طراحی بر اساس عواملی غیر از عملکرد حرارتی (و حتی گاهی نور) و به شکلی تعیین می شود تا مشکلات ناشی از این عدم توجه

اندومی توانند برای حل مسائل پیچیده مانند: تشخیص چهره و پردازش زبان طبیعی به کار روند.

پردازش زبان طبیعی: به ماشین‌ها اجازه می‌دهد تا زبان انسان را درک و پردازش کنند.

بینایی ماشین: به ماشین‌ها اجازه می‌دهد تا تصاویر و ویدئوها را درک و پردازش نمایند.

رباتیک: به طراحی، ساخت، راه اندازی و کاربرد ربات‌ها می‌پردازد.

۴-۵- روش کلی کارکرد هوش مصنوعی
جمع آوری داده‌ها: داده‌های مورد نیاز برای آموزش مدل هوش مصنوعی جمع آوری می‌شوند.

پیش‌پردازش داده‌ها: داده‌ها برای آموزش مدل آماده می‌گردند.

انتخاب و آموزش مدل: مدل هوش مصنوعی مناسب با توجه به نوع مسئله انتخاب و با داده‌های جمع آوری شده آموزش داده می‌شود.

ارزیابی مدل: عملکرد مدل هوش مصنوعی با استفاده از داده‌های حديث ارزیابی می‌گردد.

استقرار مدل: مدل هوش مصنوعی در دنیای واقعی برای حل مسائل مورد نظر به کار گرفته می‌شود.

۶-۴- مثال‌هایی از کاربرد هوش مصنوعی در دیگر علوم
تشخیص و درمان بیماری‌ها: هوش مصنوعی می‌تواند برای تشخیص زودهنگام بیماری‌ها، تجویز دارو و ارائه خدمات مراقبتی به بیماران به کار رود.

پیش‌بینی و مدیریت ریسک: هوش مصنوعی می‌تواند برای پیش‌بینی بلایای طبیعی، تقاضای بازار و ریسک‌های مالی کاربرد داشته باشد.

خودروهای خودران: هوش مصنوعی برای توسعه و ساخت خودروهای خودران که بدون دخالت انسان می‌توانند رانندگی کنند، مورد بحث برئداری واقع شود.

بهبود خدمات مشتری: هوش مصنوعی مقادیر است برای ارائه خدمات بهتر به مشتریان مانند: پاسخگویی به سوالات و ارائه پیشنهادات شخصی سازی شده، به کار رود.

تکنولوژی و محصولاتی که بر پایه هوش مصنوعی طراحی می‌شوند روزبه روز در حال پیشرفت هستند و از طرفی، از نظر هزینه، به گزینه مناسب تری تبدیل می‌شوند. این امر باعث شده است که امروزه همه افراد اعم از ثروتمند و متوسط از این فناوری در کار و زندگی خود استفاده کنند و اوتوماسیون خانه خود را بر اساس استفاده از ابزارهایی با فناوری هوش مصنوعی طراحی نمایند. با استفاده از هوش مصنوعی و ادغام آن در خانه، می‌توان کنترل بهتر و مؤثرتری را روی ابزار و لوازم خانگی اعمال کرد. با ورود هوش مصنوعی به خانه‌ها، صرفه جویی در مصرف انرژی بیشتر می‌شود. خانه‌ها از نظر ایمنی با افزایش سطح کیفی مواجه هستند و صاحبان خانه کمتر آسیب می‌بینند.

۷-۴- خانه هوشمند با ابزار خانگی اینترنتی
امروزه افراد می‌توانند از هوش مصنوعی در منازل خود در ابعاد مختلف مانند: برنامه‌ریزی، پخش رادیو و تلویزیون در منزل و یا استفاده

با توجه به بالا بودن حجم روزانه تقاضای آب در این ساختمان، سامانه استحصال آب باران، قابلیت اطمینان کمتری داشته و درصد کمی از روزهای سال می‌توانند نیاز غیرشرب ساکنین را تأمین نمایند. تقاضای زیاد داخلی همچنین موجب گردیده تا میزان سریز از مخازن این ساختمان بسیار اندک گردد. همچنین حجم بهینه مخزن در این ساختمان برابر با ۱۷۰ مترمکعب می‌باشد که با کمک آن، می‌توان حدود ۱۷۰ مترمکعب آب باران را ذخیره و استفاده نمود [۱۰].

۴- هوش مصنوعی، تکنولوژی در حال رشد

ما در عصری زندگی می‌کنیم که هوش مصنوعی تمام جنبه‌ها و ابعاد زندگی انسان را به طور کامل تسخیر نکرده، اما رشد چشمگیری داشته و توانسته است خود را در خانه‌های هوشمند جای دهد.

هوش مصنوعی^۰، شاخه‌ای از علوم کامپیوتر است که به ساخت ماشین‌های هوشمند می‌پردازد. این ماشین‌ها می‌توانند وظایفی را مانند تشخیص و پردازش زبان طبیعی، یادگیری و استدلال، حل مسئله، تصمیم‌گیری، کنترل و رباتیک که معمولاً نیاز به هوش انسانی دارند، انجام دهند [۱۱].

هوش مصنوعی ابزاری قدرتمند برای حل مسائل پیچیده در دنیای واقعی است. این فناوری به دلیل مزایای متعددی که دارد، حتی با وجود برخی محدودیت‌ها، به طور گسترده‌ای در صنایع مختلف مورد استفاده قرار می‌گیرد.

۱- تاریخچه هوش مصنوعی

در قرن ۱۷ رنه دکارت ایده «ماشین‌تفکر» را مطرح کرد. قرن ۱۹ چارلز باجیج ماشین تحلیلی را طراحی نمود که به عنوان اولین کامپیوتر شناخته می‌شود. در قرن ۲۰ تحول بزرگی با ارائه تست تورینگ برای سنجش هوش ماشینی توسط آلن تورینگ و ابداع اصطلاح هوش مصنوعی توسط جان مک‌کارتی، اتفاق افتاد و در نهایت برنامه‌های هوش مصنوعی برای حل مسائل مختلف مانند بازی شترنج، تشخیص چهره و پردازش زبان طبیعی توسعه یافت. در دهه‌های اخیر نیز یادگیری عمیق شبکه‌های عصبی مصنوعی به طور قابل توجهی پیشرفت کرد و هوش مصنوعی در صنایع مختلف مانند پزشکی، امور مالی، حمل و نقل و تولید به طور گسترده‌ای مورد استفاده قرار گرفت [۱۱].

۲- ارتباط هوش مصنوعی و الگوریتم ژنتیک

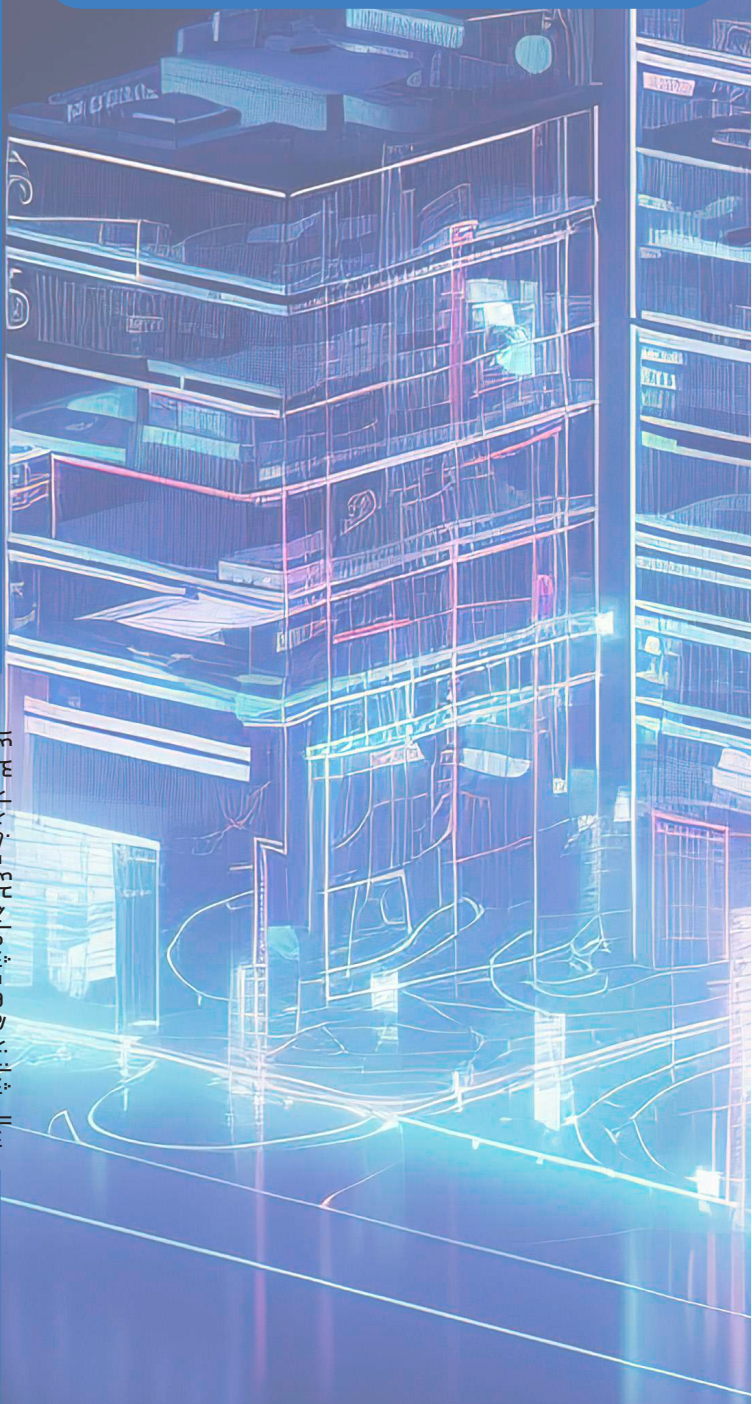
الگوریتم ژنتیک از تکامل طبیعی الهام گرفته شده است. هوش مصنوعی از الگوریتم‌های ژنتیک برای حل مسائل پیچیده مانند بهینه‌سازی، یادگیری و تصمیم‌گیری استفاده می‌کند. پس می‌توان گفت الگوریتم‌های ژنتیک به هوش مصنوعی کمک می‌کنند تا از داده‌ها یاد بگیرد و عملکرد خود را به طور خودکار انطباقی و کارآمد ارائه دهد.

۳- زیرشاخه‌های هوش مصنوعی

یادگیری ماشین: به ماشین‌ها اجازه می‌دهد تا از داده‌ها یاد بگیرند و بدون برنامه‌ریزی صریح، عملکرد خود را ارتقا دهند.

شبکه‌های عصبی مصنوعی: از ساختار مغز انسان الهام گرفته شده

جهت مشاهده منابع این مقاله، اسکن کنید:



از آن به عنوان راهنمای حل مشکلات در موقع اضطراری استفاده کنند. با استفاده از این قابلیت در ابعاد پیشرفته تر می‌توانند در موقعی که در خانه نیستند تغییراتی در عملکرد لوازم خانگی ایجاد نمایند، و یا به عبارت بهتر، از هوش مصنوعی بخواهند تا بهترین تصمیم را بگیرد.

۱-۷-۴- امنیت بیشتر

به عنوان مثال دوربین‌های کنترل از راه دور هوشمند با قابلیت اتصال به اینترنت این اطمینان را به شما می‌دهند که حتی در صورت نبودن شما هیچ اتفاقی در خانه نمی‌افتد و در صورت بروز هر تغییری، بالا فاصله به شما و پلیس اطلاع داده می‌شود.

۱-۷-۴- هزینه کمتر در خانه هوشمند

به عنوان مثال، زمانی که شما در خانه نیستید، اما سیستم خنک کننده روشن است، سیستم هوشمند با علم به اینکه کسی در خانه نیست، به طور خودکار دستگاه را خاموش می‌کند و از هدر رفتن انرژی جلوگیری می‌نماید.

۱-۷-۴- تجهیزات هوشمند

برخی از تجهیزات خانه نیز مانند تلویزیون‌های هوشمند، سیستم روشناکی هوشمند، قفل‌های هوشمند، سنسور هوشمند درب و پنجره، دوربین‌های امنیتی هوشمند، تغذیه کننده حیوانات، آبیاری گیاهان و همچنین برخی تجهیزات سازه‌ای مانند ترموموستات‌ها، پرده‌ها، سنسور نشت آب و اهرم شیر گاز هوشمند که از هوش مصنوعی استفاده می‌کنند و در ساختمان هوشمند استفاده می‌شوند [۱۲].

۵- نتیجه گیری

در این مقاله، به بررسی کاربرد الگوریتم ژنتیک و هوش مصنوعی در ساختمان هوشمند پرداختیم. با توجه به مطالعات انجام شده، می‌توان نتیجه گرفت که:

۱. الگوریتم ژنتیک و هوش مصنوعی ابزارهای قدرتمندی برای ارتقای هوشمندی، کارایی و پایداری ساختمان‌ها و سازه‌ها هستند. الگوریتم ژنتیک می‌تواند برای بهینه سازی طراحی و ساخت، انتخاب مصالح مناسب و مدیریت هوشمند ساختمان‌ها به کار رود. هوش مصنوعی می‌تواند برای کنترل و اتوماسیون سیستم‌های مختلف، پیش‌بینی تقاضای انرژی، تشخیص و حل مشکلات و ارائه خدمات بهتر به ساکنین مورد استفاده قرار گیرد.

۲. ساختمان هوشمند با استفاده از الگوریتم ژنتیک و هوش مصنوعی معنا می‌یابد. الگوریتم ژنتیک می‌تواند به هوش مصنوعی کمک کند تا از داده‌ها یاد بگیرد و عملکرد خود را به طور خودکار انطباقی و کارآمد ارائه نماید. هوش مصنوعی قادر است پلتفرمی را برای اجرای الگوریتم‌های ژنتیک در دنیای واقعی فراهم کند.

۳. ساختمان هوشمند نیاز جامعه بشری است. رشد جمعیت و کاهش منابع، نیاز به ساخت وسازهای پایدار و کارآمد را افزایش داده است. ساختمان‌های هوشمند می‌توانند مصرف انرژی را کاهش، امنیت را افزایش و کیفیت زندگی را ارتقا دهند.

۴. استفاده از الگوریتم ژنتیک و هوش مصنوعی در ساختمان

اولویت‌بندی سناریوهای آزمون درک خطر رانندگان اتوبوس تندروی شهری به روش آراس

امیرحسین زارعی

کارشناسی ارشد مهندسی عمران دانشگاه شهری بشتی / ورودی ۱۳۹۹

amir.zarei@sbu.ac.ir



چکیده

ایمنی ترافیک و مطالعات رفتاری همواره به عنوان یکی از موضوعات مهم در حمل و نقل شهری مدنظر قرار می‌گیرند. یکی از زیرمجموعه‌های مطالعات رفتاری، به عنوان یک عامل مهم، در کاهش تصادفات رانندگی و افزایش ایمنی ترافیک و درک خطر رانندگی است. در سال‌های اخیر با افزایش آمار تصادفات، مدل‌های درک خطر کاربردهای بیشتری پیدا کرده‌اند و در کشورهای مختلف در حال استفاده هستند. در این پژوهش به اولویت‌بندی خطرات با استفاده از روش آراس برای به کارگیری در سناریوهای آزمون درک خطر و همچنین متغیرهای مؤثر بر درک خطر رانندگان اتوبوس تندروی شهری پرداخته شده است. بدین منظور، رانندگان یکی از پر ترددترین و پرحداده ترین خطوط ویژه اتوبوس تندروی شهری در تهران، یعنی خط خاوران-آزادی، مورد ارزیابی قرار گرفتند. نتایج نشان داد عبور موتورسوار و عابرپیاده از عرض خطوط ویژه اتوبوس، دارای بالاترین اولویت برای بکارگیری در آزمون درک خطر رانندگان اتوبوس می‌باشند. از نتایج این پژوهش می‌توان در آزمون‌های درک و پیش‌بینی خطرات رانندگان اتوبوس شهری، ارزیابی و آموزش رانندگان و ایمن‌سازی خطوط ویژه اتوبوس تندروی شهری استفاده نمود.

کلمات کلیدی: درک خطر، رانندگان اتوبوس تندروی شهری، سناریوهای درک خطر.

۱- مقدمه

ایران با برآورد نرخ ۲۲/۱۵ مرگ در هر ۱۰۰ هزار نفر جمعیت در حوادث جاده‌ای در رتبه ۶۵ از ۱۸۳ کشور قرار داشته است که رتبه نامناسبی محسوب می‌گردد و نیازمند برنامه‌ریزی و همکاری دستگاه‌های اجرایی متولی در جهت کاهش این رتبه می‌باشد. آسیب‌های ناشی از تصادفات جاده‌ای در ایران نیز، یکی از پنج علت مهم مرگ و میر به شمار می‌رود؛ بنابراین در برنامه‌های توسعه کشور اهمیت این موضوع مورد توجه قرار گرفته و از دستگاه‌های مربوطه خواسته شده تا در جهت کاهش تلفات و حوادث جاده‌ای اقدامات لازم صورت گیرد. بر این اساس دولت مکلف است تا سازوکارهای لازم برای کاهش تلفات حوادث رانندگی را در دستور کار خود قرار دهد. لازمه دستیابی به این هدف، داشتن آمارهای صحیح و به‌هنگام است تا بر اساس این آمارها وضعیت موجود بررسی و اقدامات لازم صورت گیرد [۱].

بر مبنای آمار سازمان بهداشت جهانی (WHO) در خصوص تصادفات جاده‌ای در سال ۲۰۲۲، تعداد سالانه تلفات رانندگی در جاده‌ها ۱/۳۵ میلیون نفر بوده است. به طوری که هر ۲۴ ثانیه یک نفر در جاده‌های جهان کشته می‌شود. مرگ و میر ناشی از تصادفات جاده‌ای به عنوان یکی از عوامل شایع مرگ در بسیاری از مناطق، به ویژه کشورهای در حال توسعه در رده‌های سنی ۵ تا ۲۴ سال، بیشترین آمار را دارد. کشورهای کم‌درآمد

و متوسط، کمتر از نیمی از وسائل نقلیه جهان را در اختیار دارند. با این وجود، آنها بیش از ۹۰ درصد از کل مرگ و میرهای رانندگی را شامل می‌شوند.

شینار و میلر با تجزیه و تحلیل تصادف‌ها نشان دادند که اکثریت قاطع آنها ناشی از خطاها انسانی است [۳ و ۲]. همچنین بروسکی و همکاران بر اساس مطالعه تصادفات رانندگی به این نتیجه رسیدند که در ۹۵ درصد تصادف‌ها عامل انسانی بسیار مهم و رفتار راننده به عنوان مهم‌ترین عامل شناخته شده است [۴].

یکی از عوامل انسانی که در خصوص تصادفات می‌بایست مدنظر قرار گیرد مهارت درک خطر رانندگی است که به عنوان توانایی تشخیص به موقع خطرات می‌باشد. درک خطر در مطالعات ۲۰۲۰ ساله اخیر دنیا همواره به عنوان یک عامل مهم محسوب می‌شده و حتی در سال‌های اخیر، به عنوان بخشی از آزمون گواهینامه مدنظر قرار گرفته شده است [۵].

در این پژوهش به معیار رتبه‌بندی خطرات موجود در خطوط ویژه اتوبوس تندروی شهری برای به کارگیری در طراحی آزمون درک خطر پرداخته خواهد شد. موارد مهم و اصلی که در طراحی آزمون باید منظور شود شناسایی سناریوهای مهم و رتبه‌بندی خطرات اصلی خطوط ویژه اتوبوس تندروی شهری می‌باشد تا بتوان در مراحل بعد، طراحی آزمون را مدنظر قرارداد.

۲- ادبیات پژوهش

درک خطر در رانندگی به توانایی راننده در پیش‌بینی موقعیت‌های بالقوه خطرناک در معابر و جاده‌ها اشاره دارد و بیش از ۵۰ سال است که موضوع تحقیق می‌باشد و می‌تواند گروه‌های رانندگان پرخطر و کم خطر را متمایز کند. مشکل این است که این مهارت نیز مهارتی است که به نظر می‌رسد برای کسب آن به چندین دهه تجربه رانندگی نیاز باشد. حال این سوال مطرح می‌شود که آیا تسريع این فرآیند یادگیری، از طریق ارزیابی و آموزش، به منظور بهبود این مهارت ممکن و عملی است؟ ما شواهدی داریم که برخلاف اکثر مداخلات آموزش و ارزیابی راننده، به نظر می‌رسد که آزمایش و آموزش درک خطر، توانایی کاهش خطر تصادف را دارد. به عنوان مثال، با گنجاندن یک آزمایش درک خطر در فرآیند صدور گواهینامه رانندگی در بریتانیا، تخمین زده شده است که سرعت کم رانندگان، نرخ تصادفات جاده‌ای عمومی را تا ۱۱/۳ درصد در سال بعد از آزمایش کاهش می‌دهد [۶].

در مطالعه‌ای که با موضوع مقایسهٔ فرهنگی استراتژی‌های جستجوی بصری و زمان پاسخ رانندگان در آزمایش درک خطر جاده، توسط لیندرو و همکاران در سال ۲۰۲۰ انجام گرفت، عنوان شده است که درک خطر جاده، برجسته‌ترین مهارت شناختی مرتبه بالاتر مربوط به درگیری تصادفات رانندگی در نظر گرفته می‌شود. فرهنگ‌های منطقه‌ای و قوانین اجتماعی حاکم بر رفتارهای قابل قبول ممکن است بر تفسیر رانندگان از وضعیت ترافیک و در نتیجه شناسایی صحیح موقعیت‌های خطرناک تأثیر بگذارد. در اینجا، هدف ما مقایسهٔ مهارت‌های درک خطر در میان چهار کشور اروپایی اوکراین، ایتالیا، اسپانیا و سوئد است که در فرهنگ ترافیک، سیاست‌های کاهش خطرات ترافیک و سقوط‌های مرگبار متفاوت هستند. ما یک تست درک خطر استانیک ایجاد کردیم که در آن صحنه‌های رانندگی با سطوح مختلف توانایی ترمیگیری ارائه می‌شوند؛ در حالی که نگاه رانندگان ضبط شده است. در این آزمون لازم شد رانندگان عملیاتی را که انجام می‌دهند نشان دهند: ترمز، برای ادامه رانندگی. ما ۲۱۸ رانندگان بزرگسال جوان را ارزیابی کردیم. مدل‌های چندسطحی نشان دادند که سطح مختلف توانایی ترمیگیری صحنه‌ها به عنوان مثال، خطر جاده، رفتار رانندگان را تعديل می‌کند. با افزایش سطح توانایی ترمیگیری، پاسخ رانندگان سریع‌تر و آتشرویی نگاه آنها کاهش می‌یابد به عنوان مثال، استراتژی جستجوی تصویری نامنظمتر می‌شود. کشور مبدأ بر این تأثیرات، نقش داشت. رانندگان اوکراین بیشترین و رانندگان سوئدی کمترین پاسخ را داشتند. برای همه کشورها، کاهش در زمان پاسخ در مورد رانندگان با تجربه کمتر مشاهده شد. همچنین، رانندگان اسپانیایی ساختاریافت‌ترین استراتژی جستجوی بصری را نشان دادند، در حالی که ایتالیایی‌ها ثابت‌ترین را داشتند. این نتایج نشان می‌دهد که درک خطر جاده را می‌توان بین فرهنگی تعریف کرد، عوامل فرهنگی به عنوان مثال، شرایط ترافیکی، قانون زمان پاسخ و استراتژی‌های جستجوی بصری را تنظیم می‌کنند. نتایج ما همچنین از این ایده که یک روش ارزیابی چندحالته برای آزمایش انبوه درک خطر جاده امکان‌پذیر است و نتایج آن برای درک اینکه چگونه فرهنگ‌های مختلف ترافیکی رفتار رانندگی را شکل می‌دهند پشتیبانی می‌کند [۷].

در مطالعه‌ای که با عنوان ارزیابی رانندگان جوان شامل سوالات درک خطر، پیش‌بینی خطر و تئوری سوالات توسط کراندل و همکاران در سال

۲۰۲۱ انجام گرفت، یک آزمایش خطر جدید با استفاده از انیمیشن رایانه‌ای با کیفیت بالا و حاوی ده خطر ایجاد شد. شصت راننده یادگیرنده و شصت راننده باتجربه، یا یک نسخه درک خطر از این آزمون (نیاز به پاسخ به موقع در برابر خطرات مادی شده) یا یک نوع پیش‌بینی خطر از آزمون (جایی که صفحه نمایش با مسدود شدن بعد چه اتفاقی می‌افتد؟) دارند.

خطر شروع می‌شود و از رانندگان خواسته می‌شود پاسخ دهد. مطالعات اخیر نشان داده است، که قالب آزمون پیش‌بینی با استفاده از فیلم طبیعت‌گرایانه، بهتر از قالب درک خطر است اما هنوز مطالعه‌ای در مورد تکرار این اثر با مواد متحرک کامپیوتری مشابه کیفیت موارد استفاده شده در آزمون رسمی درک خطر انگلیس، انجام نشده است. همچنین، آزمون جدید یازده سوال نظریه داشت که برای بررسی دانش رانندگان از قوانین جاده طراحی شده بود. نتایج نشان داد که هر دو نوع آزمون بین گروه‌های رانندگان با اندازه اثر قابل تفاوت دارند. نمرات تئوری‌سوال در گروه‌های یادگیرنده و راننده باتجربه قابل مقایسه بود که نشان دهنده آمادگی فرآگیران برای آزمون و مسائل احتمالی کنندی حافظه و رونویسی در گروه باتجربه است. به عنوان یک نکته جالب، بازی ویدئویی مربوط به رانندگی، با عملکرد درک خطر ارتباط منفی دارد، اما با نمرات پیش‌بینی خطر رابطه ندارد. برخی از خطرات فردی با قالب آزمون پیش‌بینی یا درک بهتر مطابقت دارند و احتمال آزمایش ترکیبی آینده را، که دو روش با هم ترکیب می‌شوند، افزایش می‌دهد [۸].

در مطالعه‌ای که بروسکی و همکاران انجام دادند، به بررسی ارتباط سن، مهارت و درک خطر در رانندگی پرداخته شده است. مطالعات درک خطر نشان داده اند که رانندگان جوان کم‌تجربه، بیشتر از رانندگان باتجربه از کمبودهای درک خطر رنج می‌برند. با این حال، باید مشخص شود که آیا این مهارت با افزایش سن بدتر می‌شود یا خیر. ۲۱ راننده بی‌تجربه، ۱۹ راننده باتجربه و ۱۶ راننده مسن در حالی که به سیستم ردیابی چشم متصل بودند، شش فیلم درک خطر را مشاهده کردند و از آن‌ها درخواست شد تا موقعیت‌های خطرناک را شناسایی کنند. به‌طورکلی، رانندگان باتجربه و باتجربه مسن‌تر در تشخیص خطر به یک اندازه مهارت داشتند و رویدادهای بالقوه خطرناک (مانند نزدیک شدن به یک تقاطع، عابران پیاده در حاشیه) را به طور مداوم شناسایی می‌کردند، در حالی که رانندگان کم‌تجربه، توجه کمتری به این مسائل داشتند. علاوه بر این، در حین نزدیک شدن به تقاطع‌های T شکل، رانندگان مسن‌تر و باتجربه بیشتر به جاده سمت راست توجه بیشتری داشتند در حالی که رانندگان کم‌تجربه به مسیر مستقیم توجه بیشتری می‌کنند و توجه کمتری به وسایل نقلیه احتمالی در تقاطع دارند. این مطالعه نشان می‌دهد که تجربه رانندگی، آگاهی رانندگان را از خطرات احتمالی بهبود می‌بخشد و حرکات چشم رانندگان را به مکان‌هایی هدایت می‌کند که ممکن است خطرات بالقوه وجود داشته باشد [۹].

لیوا ابله و همکاران در سال ۲۰۱۸ به اندازه‌گیری مهارت‌های ذهنی و عینی درک خطر در بین رانندگان مرد جوان پرداختند. رانندگان مرد جوان نسبت به رانندگان مسن‌تر و باتجربه‌تر، مهارت‌های درک خطر کمتری دارند و تمایل دارند مهارت‌های خود را بیش از حد در موقعیت‌های خطرناک ارزیابی کنند. بر اساس نمونه‌ای متشکل از ۶۳ راننده ۱۸ تا ۲۴ ساله، این مطالعه سازگاری مهارت درک خطر را، که با

و ستون‌های آن را معیارهای پژوهش تشکیل می‌دهند و هر سلول این ماتریس ارزیابی هر گزینه نسبت به هر معیار است. تعیین ماتریس تصمیم به صورت زیر می‌باشد که m تعداد گزینه‌ها و n تعداد معیارهایی که هر جایگزین را توصیف می‌کنند نشان می‌دهد.

$$X = \begin{bmatrix} x_{01} & \dots & x_{0j} & \dots & x_{0n} \\ \vdots & \ddots & \vdots & \ddots & \vdots \\ x_{11} & \dots & x_{ij} & \dots & x_{in} \\ \vdots & \ddots & \vdots & \ddots & \vdots \\ x_{m1} & \dots & x_{mj} & \dots & x_{mn} \end{bmatrix}; \quad i = \overline{0, m}; \quad j = \overline{1, n}, \quad (1)$$

x_{ij} نشان‌دهنده ارزش عملکرد جایگزین i بر حسب معیار j است. اگر مقدار بهینه معیار j ناشناخته باشد، آنگاه:

$$\begin{aligned} x_{0j} &= \max_i x_{ij}, \text{ if } \max_i x_{ij} \text{ is preferable;} \\ x_{0j} &= \min_i x_{ij}^*, \text{ if } \min_i x_{ij}^* \text{ is preferable.} \end{aligned} \quad (2)$$

معمولًاً مقادیر عملکرد x_{ij} و وزن معیار w_j به عنوان ورودی در نظر گرفته می‌شوند. سیستم معیارها و همچنین مقادیر و وزن اولیه معیارها توسط متخصصان تعیین می‌شود. اطلاعات محققان می‌تواند با در نظر گرفتن اهداف و فرصت‌های آنها تصحیح شود. سپس تعیین اولویت‌های جایگزین در چند مرحله انجام می‌شود. معمولًاً معیارها ابعاد مختلفی دارند.

مرحله دوم: هدف این مرحله، دریافت مقادیر وزنی بدون بعد از معیارهای مقایسه‌ای است. به منظور اجتناب از مشکلات ناشی از ابعاد مختلف معیارها، از نسبت به مقدار بهینه استفاده می‌شود. تئوری‌های مختلف وجود دارد که نسبت به مقدار بهینه را توصیف می‌کند.

$$\bar{X} = \begin{bmatrix} \bar{x}_{01} & \dots & \bar{x}_{0j} & \dots & \bar{x}_{0n} \\ \vdots & \ddots & \vdots & \ddots & \vdots \\ \bar{x}_{11} & \dots & \bar{x}_{ij} & \dots & \bar{x}_{in} \\ \vdots & \ddots & \vdots & \ddots & \vdots \\ \bar{x}_{m1} & \dots & \bar{x}_{mj} & \dots & \bar{x}_{mn} \end{bmatrix}; \quad i = \overline{0, m}; \quad j = \overline{1, n}. \quad (3)$$

معیارهایی که مقادیر ترجیحی آنها حداقل هستند، به صورت زیر نرمال می‌شوند:

$$\bar{x}_{ij} = \frac{x_{ij}}{\sum_{i=0}^m x_{ij}}. \quad (4)$$

معیارهایی که مقادیر ترجیحی آنها حداقل است، با اعمال روش دو مرحله‌ای نرمال می‌شوند:

$$x_{ij} = \frac{1}{x_{ij}^*}; \quad \bar{x}_{ij} = \frac{x_{ij}}{\sum_{i=0}^m x_{ij}}. \quad (5)$$

هنگامی که مقادیر بدون بعد معیارها مشخص باشد، می‌توان همه معیارها را، که در اصل دارای ابعاد متفاوتی هستند، مقایسه کرد.

معیارهای عینی و ذهنی اندازه‌گیری شده است، مقایسه می‌کند. ارتباط بین این معیارها سهم کلیدی این مطالعه است. خطرات قابل مشاهده و نیز خطرات پنهان، در این مطالعه گنجانده شده است. معیارهای عینی، مهارت درک خطر شامل پاسخگویی و حرکات چشم هنگام رانندگی در شبیه‌ساز رانندگی می‌باشد. منظور از معیارهای ذهنی، همان مهارت‌های ادراک خطر شامل گزارش‌های شخصی است که بر اساس پرسش‌نامه درک خطر، پرسش‌نامه مهارت رانندگی و مقیاس جستجوی احساسات مختصراً به دست آمده است. نتایج نشان می‌دهد که رانندگانی که پاسخ به خطرات واکنش نشان می‌دهند، در مقایسه با رانندگانی که پاسخ نمی‌دهند، نمرات بالاتری در معیارهای ذهنی مهارت درک خطر کسب کرده اند و مهارت‌های رانندگی بالاتری در شرایط آشکار (و نه در حالت پنهان) دارند. تجزیه و تحلیل حرکت چشم این تفاوت را تأیید می‌کند و نشان می‌دهد که پاسخ به موقع به خطرات نشان‌دهنده مهارت‌های بالاتر درک خطر است و رانندگان جوان در تشخیص خطرات پنهان ضعیف هستند. رانندگانی که به موقع پاسخ می‌دهند، خطر را سریع‌تر شناسایی می‌کنند و تشبیه‌های بیشتری دارند، اما کمتر روی خطر مرکز می‌کنند. در عین حال، کسانی که پاسخ نمی‌دهند، اولین تشبیه دیرتر است و تشبیه‌های کمتر اما طولانی‌تر روی خطردارند. رانندگانی که به دنبال احساسات بالا هستند به خطرات قابل مشاهده به موقع پاسخ می‌دهند که نشان می‌دهد وقتی خطر قابل مشاهده است، جستجوی احساسات بر مهارت درک خطر تأثیر منفی نمی‌گذارد. برای تقویت مهارت درک خطر در بین رانندگان جوان، نتایج این مطالعه نشان می‌دهد که آموزش درک خطر خاص، بهویژه برای خطراتی که به مهارت درک خطر پیشرفت‌تری نیاز دارد، مرتبط است [۱۰].

۳- روش تحقیق

روش‌های تصمیم‌گیری چندمعیاره (MCDM) در بسیاری از زمینه‌های مدیریتی و تصمیم‌گیری فعالیت‌های انسانی استفاده می‌شود. هر جایگزین در یک مسئله تصمیم‌گیری چندمعیاره را می‌توان با مجموعه‌ای از معیارها توصیف کرد. معیارها می‌توانند کیفی و کمی باشند.

در پژوهشی که در سال ۲۰۱۰ توسط زاوادسکاس و همکاران با عنوان یک روش جدید ارزیابی نرخ افزایشی در تصمیم‌گیری چندمعیاره ارائه شد، روش آراس به عنوان یکی از جدیدترین، موثرترین و در عین حال ساده‌ترین روش‌ها در تصمیم‌گیری چندمعیاره مورد استفاده قرار گرفت. روش مذکور برای حل مسائل تصمیم‌گیری مختلف به کار برده می‌شود [۱۱]. این تکنیک روشی قدرتمند در ارائه نرخ عملکرد و درجه مطلوبیت گزینه‌های مختلف نسبت به وضع بهینه می‌باشد که از سهولت کاربرد نسبی نیز در مدیریت ریسک نیز برخوردار است [۱۲]. در مطالعات سال‌های اخیر نیز تکنیک آراس مورد استفاده قرار گرفته است [۱۳] و [۱۴]. در این مقاله نیز تکنیک آراس برای اولین بار برای اولویت‌بندی سناریوهای خطر برای بکارگیری در آزمون درک خطر رانندگی مدنظر قرار گرفته شده است. مراحل این پژوهش عبارتند از:

مرحله اول: در اولین گام این روش باید ماتریس تصمیم را تشکیل داد. ماتریس تصمیم این روش جهت ارزیابی گزینه‌های مسئله مورد استفاده قرار می‌گیرد؛ بنابراین ماتریسی است که سطرهای آن را گزینه‌ها

محدوده دسترسی‌ها، عبور طولی خودروها، عبور حیوانات، کاهش عرض، اتوبوس بی‌آرتبی از رویرو، شیء ثابت در مسیر، جلوامدگی ایستگاه‌های اتوبوس، عدم پیوستگی جداکننده‌های مسیر، روسازی راه، تقاطع‌های چراغدار، دروازه‌های فلزی قابل کنترل توسط پلیس و دوچرخه‌سواران به عنوان گزینه‌ها و تعداد خطرات، تعداد تصادفات و تعداد تخلفات مرتبط به عنوان معیارها جمع آوری و داخل ماتریس تصمیم قرار گرفته است.

	خطرات/معیارها	تعداد خطر مشاهده شده	تعداد تصادفات مرتبط	تعداد تخلفات مرتبط
۱	عبور موتور سوار	۱۱۲۳	۶	۱۲۰۱
۲	عبور علیرسانده	۷۱۲	۵۵	۳۵۵
۳	علایم عمومی و تابلوها در محل نامناسب	۴	۲	۲
۴	عبور عرضی خودرو در محدوده دسترسی‌ها	۱۲۷	۴	۱۰
۵	عبور طولی خودروها	۳۳	۴	۲۵
۶	عبور حیوانات	۲	۱	۴
۷	کاهش عرض	۳	۵	۳
۸	اتوبوس بی‌آرتبی از رویرو	۷۲	۸	۱۱
۹	شیء ثابت در مسیر	۱۳	۷	۱
۱۰	جلوامدگی ایستگاه‌های اتوبوس	۶	۲	۲
۱۱	عدم پیوستگی جداکننده‌های مسیر	۱۱	۲	۱۰
۱۲	روسازی راه	۵	۹	۶
۱۳	تقاطع‌های چراغدار	۷	۵	۱۹
۱۴	دوازه‌های قلزی قابل کنترل توسط پلیس	۱۵	۴	۵
۱۵	دوچرخه سواران	۱۲	۶	۲
۱۶	معلولین	۳	۵	۴
	جمع کل	۲۱۴۸	۱۲۶	۱۶۶۰

جدول (۲): ماتریس تصمیم بین خطرات مسیرهای BRT و معیارهای مرتبط

گام سوم: تعیین مقدار ایده‌آل فرضی می‌باشد. مقدار ایده‌آل برای معیارهای مثبت برابر بیشترین مقدار و برای معیارهای منفی برابر کمترین مقدار است.

تعداد تخلفات مرتبط	تعداد تصادفات مرتبط	تعداد خطر مشاهده شده	مقدار ایده‌آل
۱۲۰۱	۰۰	۱۱۲۳	بالاترین مقدار
۱	۲	۲	پایین‌ترین مقدار

جدول (۳): تعیین مقدار ایده‌آل برای معیارهای مثبت و منفی

گام چهارم: ماتریس نرمال تشکیل داده شده به صورت ماتریس نرمال وزن دار تبدیل می‌شود و وزن هر یک از معیارها در ماتریس نرمال ضرب می‌گردد.

گام پنجم: در گام ۵ مطلوبیت هر یک از گزینه تعیین شد. در جدول ۵ مطلوبیت هر گزینه مشخص شده است.

مرحله سوم: در این مرحله ماتریس نرمال موزون تعریف می‌شود.

$$\hat{x}_{ij} = \bar{x}_{ij} w_j ; i = \overline{0, m}, \quad (6)$$

که در آن w_j وزن معیار j و \bar{x}_{ij} رتبه نرمال شده معیار j است.

مرحله چهارم: تعیین مقادیر تابع بهینه است.

$$S_i = \sum_{j=1}^n \hat{x}_{ij} ; i = \overline{0, m}, \quad (7)$$

که در آن S_i مقدار تابع بهینگی جایگزین i است. بزرگ‌ترین مقدار، بهترین است و کمترین آن، بدترین است. با در نظر گرفتن فرایند محاسبه، تابع بهینه S_i رابطه مستقیم و متناسبی با مقادیر \bar{x}_{ij} و وزن w_j معیارهای مورد بررسی و تأثیر نسبی آنها بر نتیجه نهایی دارد؛ بنابراین، هر چه مقدار تابع بهینه S_i بیشتر باشد، جایگزین مؤثرتر است. اولویت‌های جایگزین را می‌توان با توجه به مقدار S_i تعیین کرد. در نتیجه، ارزیابی و رتبه‌بندی گزینه‌های تصمیم‌گیری هنگام استفاده از این روش راحت است.

درجه مطلوبیت هر گزینه به ترتیب زیر و طبق رابطه ۸ محاسبه می‌شود.

$$K_i = \frac{S_i}{S_0} ; i = \overline{0, m}, \quad (8)$$

۴- نتایج تحقیق

پس از ارائه الگوی نحوه رتبه‌بندی با استفاده از روش آراس، در گام بعد خطرات موجود در خطوطیه اتوبوس تندروی شهری با استفاده از این روش مدنظر قرار گرفت. در گام ابتدایی مسیرهای اتوبوس تندروی شهر تهران مورد بررسی واقع شدند و بر اساس آمار شرکت اتوبوس‌رانی خط پایانه خاوران به پایانه آزادی به عنوان مطالعه موردي انتخاب شد.

گام اول: ابتدا به روش آنتروپی شانون معیارها شناسایی و وزن دهی شده‌اند. معیارهای انتخاب شده عبارتنداز: تعداد تصادفات، تعداد تخلفات و تعداد خطرات مشاهده شده. همان‌طور که در جدول ۱ نشان داده شده است تعداد خطرات مشاهده شده دارای مقادیر بالاتر و در نتیجه وزن بیشتری شدند.

معیارها	تعداد تخلفات	تعداد تصادفات	تعداد خطرات مشاهده شده
w_j	۰/۲۷۸	۰/۳۳۲	۰/۳۸۰

جدول (۱): وزن دهی معیارها به روش آنتروپی شانون
پس از آن تعداد تصادفات و تعداد تخلفات مرتبط مشاهده شده در رتبه‌های بعدی قرار دارند. نتایج گزارش شده شامل بازدهیهای میدانی و آمار برداشته شده توسط دوربین‌های کنترل ترافیک، از خطوطیه مورد نظر در طول مدت یک ماه می‌باشد.

گام دوم: در گام دوم این روش باید ماتریس تصمیم را تشکیل داد. ماتریس تصمیم این روش جهت ارزیابی گزینه‌های مسئله مورد استفاده قرار می‌گیرد؛ بنابراین ماتریسی است که سطرهای آن را گزینه‌ها و ستون‌های آن را معیارهای پژوهش تشکیل می‌دهند و هر سلول این ماتریس ارزیابی هر گزینه نسبت به هر معیار است. همان‌طور که در جدول ۲ مشخص است اطلاعاتی همچون عبور موتورسوار، عبور عابر پیاده، علایم عمومی و تابلوها در محل نامناسب، عبور عرضی خودرو در

	خطرات/معاييرها	تعداد خطر مشاهده شده	تعداد تصادفات مرتبط	تعداد تخلفات مرتبط	S_i
۱	عبور موتورسوار	۰/۱۵۰۰	۰/۰۱۵۸	۰/۲۷۴۹	۰/۴۴۰۸
۲	عبور عابرپیاده	۰/۰۹۵۱	۰/۱۴۴۹	۰/۰۸۱۳	۰/۳۲۱۳
۳	علایم عمودی و تابلوها در محل نامناسب	۰/۰۰۰۵	۰/۰۰۵۳	۰/۰۰۰۵	۰/۰۰۶۳
۴	عبور عرضی خودرو در محدوده دسترسی ها	۰/۰۱۷۰	۰/۰۱۰۵	۰/۰۰۲۳	۰/۰۲۹۸
۵	عبور طولی خودروها	۰/۰۰۴۴	۰/۰۱۰۵	۰/۰۰۵۷	۰/۰۲۰۷
۶	عبور حیوانات	۰/۰۰۰۳	۰/۰۰۲۶	۰/۰۰۰۹	۰/۰۰۳۸
۷	کاهش عرض	۰/۰۰۰۴	۰/۰۱۳۲	۰/۰۰۰۷	۰/۰۱۴۳
۸	اتوبوس بی ارتی از روبرو	۰/۰۰۹۶	۰/۰۳۱۱	۰/۰۰۷۸	۰/۰۳۳۲
۹	شیء ثابت در مسیر	۰/۰۰۱۷	۰/۰۱۸۹۴	۰/۰۰۰۲	۰/۰۲۰۴
۱۰	جلو آمدگی ایستگاههای اتوبوس	۰/۰۰۰۸	۰/۰۰۷۹	۰/۰۰۰۵	۰/۰۰۹۲
۱۱	عدم پیوستگی جدا کننده های مسیر	۰/۰۰۱۵	۰/۰۰۵۳	۰/۰۰۰۳	۰/۰۰۹۰
۱۲	رسازی راه	۰/۰۰۰۷	۰/۰۲۳۷	۰/۰۰۱۴	۰/۰۲۵۸
۱۳	تقاطع های چراغ دار	۰/۰۰۰۹	۰/۰۱۳۲	۰/۰۰۴۳	۰/۰۱۵۸
۱۴	دروازه های فلزی قابل کنترل توسط پلیس	۰/۰۰۲۰	۰/۰۱۰۵	۰/۰۰۱۱	۰/۰۱۳۷
۱۵	دوچرخه سواران	۰/۰۰۱۶	۰/۰۱۵۸	۰/۰۰۰۵	۰/۰۱۷۹
۱۶	معلولین	۰/۰۰۰۴	۰/۰۱۳۲	۰/۰۰۰۹	۰/۰۱۴۵

جدول (۵): محاسبه مطلوبیت کل هر گزینه

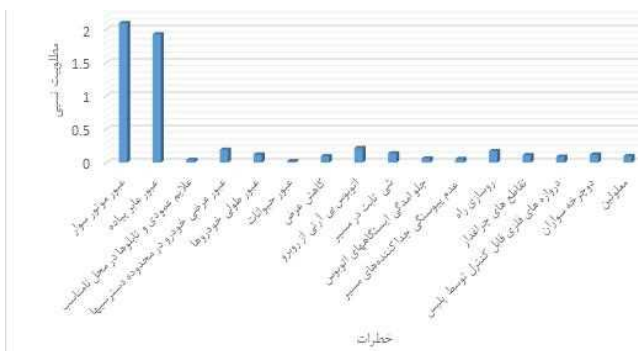
بالقوه ترافیکی را کسب کند. همان طور که پیش از این نیز اشاره شد یکی از مقوله هایی که در بحث اینمنی مؤثر می باشد، سهم خطای انسانی است، درنتیجه اگر رانندگان رفتار صحیحی را حین رانندگی داشته باشند، حتی در صورتی که طرح هندسی راه دارای اشکال باشد و یا حتی اگر خودرو دارای نقص فنی باشد رفتار راننده می تواند از شدت یا حتی وقوع حادثه بکاهد.

در این پژوهش به منظور طراحی آزمون درک خطر مخصوص رانندگان اتوبوس تندروی شهری سناریوهای خطر با توجه به ۳ معیار تعداد تصادفات، تعداد تخلفات و تعداد خطرات مشاهده شده با استفاده از تکنیک آراس رتبه بندی شد. بر این اساس عبور موتورسوار، عبور عابرپیاده و عبور اتوبوس از رو به رو رتبه های اول تا سوم خطرات را کسب کردند و عدم پیوستگی جدا کننده های مسیر و عبور حیوانات دارای رتبه های پایین خطرات موجود در خطوط ویژه را شامل شدند. بر اساس این رتبه بندی، خطرات آزمون درک خطر برای رانندگان اتوبوس تندروی شهری طراحی شدند. از نتایج این مقاله می توان در آموزش ها و آزمون های درک خطر رانندگان اتوبوس شهری استفاده نمود؛ ضمن اینکه شهرداری ها می توانند در ایمن سازی و آشکار سازی خطرات مسیرهای اتوبوس تندروی شهری از آن استفاده نمایند.

جفت مشاهده منابع این مقاله، اسکن کنید:



گام ششم: پس از محاسبه مطلوبیت کل به منظور تعیین رتبه هر خطر باید مطلوبیت نسبی نیز محاسبه می شد که این موضوع در شکل ۱ نشان داده شده است.



شکل (۱): رتبه بندی سناریوهای خطر برای بکارگیری در آزمون درک خطر رانندگان اتوبوس BRT

گام ششم: پس از محاسبه مطلوبیت کل به منظور تعیین رتبه هر خطر باید مطلوبیت نسبی نیز محاسبه می شد که این موضوع در شکل ۱ نشان داده شده است.

۵- نتیجه گیری

تعامل انسان و رایانه در واقع نقطه تقاطع علوم رایانه و علوم رفتارشناسی است. ارتباط و تمایل انسان و رایانه از طریق واسطه اتفاق می افتد؛ که شامل نرم افزار و سخت افزار است. در یک تعریف دقیق تر این علم مرتبط با طراحی، پیاده سازی و ارزیابی سیستم های محاسباتی متقابل برای استفاده انسان در مطالعه پدیده های مهم پیرامون او می باشد. ابزار آزمون درک و پیش بینی خطر نیز با چنین رویکردی ساخته شده و مورد مطالعه قرار گرفته است. علاوه بر این، آزمون های مذکور به منظور آموزش عمومی، ابزاری را در اختیار متقاضیان رانندگی اتوبوس تندروی شهری قرار می دهند که اگر آموزش های تئوری توجه کافی را منتقل نکرده باشند خود فرد از طریق این آزمون شناخت کافی از موقعیت های دارای خطرات



بررسی تاثیر عوامل زیرساختی حمل و نقل ریلی بر میزان جذب مسافر: مطالعه شرکت راه آهن جمهوری اسلامی ایران



حديث رمضان نژاد کوتائي



مهران مرادي

کارشناسی ارشد حمل و نقل دانشگاه صنعتی امیرکبیر / ورودی ۱۴۰۲

کارشناسی ارشد حمل و نقل دانشگاه صنعتی امیرکبیر / ورودی ۱۴۰۲

hadis.ramezannezhad@aut.ac.ir

Mehran1379Moradi@aut.ac.ir

چکیده

حمل و نقل ریلی به عنوان یکی از مهم‌ترین بخش‌های این صنعت از جایگاه ویژه‌ای در اقتصاد و امور کشوری برخوردار است. برای حفظ شرایط موجود و بебود آن نیاز است تا به طور مداوم مطالعاتی بر روند جذب مسافر قطارها انجام شود. مطالعات نشان می‌دهند که متغیرهای قیمت، دسترسی، رضایت مسافر، زمان سفر و کاربری زمین، به طور غیرمستقیم بر روی میزان جذب مسافر تأثیرگذار هستند. در این مطالعه با استفاده از اطلاعات منتشرشده توسط شرکت راه آهن جمهوری اسلامی ایران، بررسی‌هایی برای درک روند جذب مسافر و پیش‌بینی آن در آینده انجام گرفته است. داده‌های مربوط به جایه‌جایی‌های باری و مسافری، شرایط زیرساخت‌ها، مصرف سوخت و تعداد کارکنان در اختیار قرار گرفت. در مجموع اطلاعات مربوط به ۳۷ متغیر در سال‌های ۱۳۹۹ تا ۱۳۱۷ بازگانی شده است که از این میان ۱۴ متغیر مربوط به مسافربری، زیرساخت‌ها و کارکنان مورد استفاده قرار گرفته است. از داده‌های مربوط به سال ۱۳۹۹ به علت تأثیرپذیری از همه‌گیری ویروس کرونا صرف نظر شد. نفرکیلومتر به عنوان متغیر وابسته انتخاب شد. مدل رگرسیون خطی چندگانه بر پایه داده‌های مذکور توسعه داده شد. تمام آماره‌ها و فرض‌های تأثیرگذار بررسی شدند. تنها مسئله، خودهمبستگی داده‌ها بود که با استفاده از روش حداقل مربعات تعمیم یافته درمان شد. مدل ایجادشده علاوه بر مورد قبول واقع شدن در آزمون‌های صحت، آزمون دقت را نیز به خوبی پاس کرد و برازش بسیار بالایی را ثبت نمود. همچنین از نظر سادگی با توجه به خطی بودن مدل و تعداد متغیرهای مورد استفاده در آن، به میزان قابل قبولی شرط ساده بودن را رعایت کرده است. مشخص شد که ۷ متغیر سال، تعداد مسافر، متوسط سیر سفر، طول خطوط اصلی، تعداد واگن مسافربری فعل، تعداد لوکوموتیوهای فعل و تعداد کارکنان در سطح اطمینان ۹۵ درصد معنادار می‌شوند. همچنین تلاش شد تا مدلی برای درک و پیش‌بینی مصرف سوخت توسعه داده شود؛ اما متغیرهای موجود همبستگی کمی با متغیر وابسته نشان دادند. در نتیجه مشخص شد که اختصاص بودجه کافی و برنامه‌ریزی درست برای صرف آن در راستای نگهداری و توسعه خدمات حمل و نقل ریلی مهم‌ترین عامل تأثیرگذار بر بебود شرایط جذب سفر آن است؛ بنابراین به عنوان جامع‌ترین گزینه پیشنهاد شد که در کنار تلاش برای بебود خدمات و رضایت مسافران، پروژه‌های مناسبی برای توسعه زیرساخت‌ها تعریف و انجام شوند تا میزان تأثیر فعالیت‌ها را چندبرابر کنند.

۱- مقدمه

جایه‌جایی‌ها به ویژه سفرهای بین‌شهری دارد. در مطالعه‌ای با استفاده از مدل رگرسیون پویا^۱ مشخص شد که توسعه حمل و نقل ریلی و افزایش ارتباط آن با مراکز هوایی‌پایی، می‌تواند بر افزایش جذب مسافران خارجی تأثیرگذار باشد^[۳].

مطالعاتی زیادی در زمینه بررسی عوامل مؤثر بر حمل و نقل، به ویژه ریلی صورت گرفته است. در پژوهشی مشخص شد که قیمت، تراکم جمعیت، زیرساخت و دسترسی، تأثیر بسزایی دارند^[۴]. طی یک آماربرداری سطح خدمت، دسترسی، قیمت و کاربری زمین مؤثر شناخته شدند^[۵]. پژوهشگری، مهم‌ترین عامل تأثیرگذار را کاربری زمین و

صنعت حمل و نقل یکی از صنایع زیرساختی و مهم در امور کشوری است که تأثیرات آن بر اقتصاد و سایر صنایع غیرقابل انکار است. صنایعی مانند عمران و حمل و نقل که نقش زیربنایی دارند، برای شروع هر پروژه‌ای مورد نیاز هستند^[۱]. در ایران نیز با توجه به شرایط جغرافیایی و تاریخچه سیاسی، حمل و نقل ریلی نقش بسزایی در صنعت حمل و نقل ایفا می‌کند^[۲]. حمل و نقل شبکه‌ای ایجاد می‌کند تا صنایع مختلف به یکدیگر متصل شوند و شرایط توسعه فراهم شود. قطارها یکی از اولین وسایل نقلیه موتوری هستند که باعث افزایش سرعت و دسترسی در جایه‌جایی شدند. حمل و نقل ریلی با گذشت زمان، همچنان جایگاه ویژه‌ای در

جادبههای شهرهای مختلف دانسته است [۶]. در نتایج مطالعه‌ای قیمت، کیفیت خدمت، قیمت سوخت وسائل نقلیه جاده‌ای و زمان سفر عوامل تأثیرگذار اعلام شدند [۷]. علاوه بر این موارد، رضایت مسافران نیز مؤثر است که از مهمترین آنها به کیفیت خدمت، ایمنی و امنیت اشاره شده است [۸].

قیمت بليت يكی از پرتكرارترین عوامل مؤثر بر تقاضای مسافران برای يک شيوه سفر در مطالعات است. اين مورد با ميزان جذب مسافر، ارتباط معکوس دارد [۹]. در نتایج پرسش‌نامه‌ای که به اولويت‌بندی عوامل مؤثر پرداخته است، راحتی، کیفیت خدمت و زمان سفر از اهمیت بيشتری برخوردار بودند [۱۰]. برخی پژوهشگران معتقدند که در حال حاضر اهمیت رضایت مسافر و تجربه آنها در سفرهای قبلی بسیار بیشتر از مسائل زیرساختی و جنبه‌های فیزیکی دارند [۱۱]. در مطالعه‌ای با استفاده از مدل رگرسیون خطی چندگانه^۲ بیان شده است که خدمات حمل و نقلی، مدیریت و برنامه‌ریزی به طور غیرمستقیمی بر تعداد مسافران تأثیرگذار است [۱۲]. با توسعه درخت تصمیم^۳ بر داده‌های ۴۹ ایستگاه حمل و نقل ریلی در چین مشخص شد که کاربری زمین اطراف ایستگاه‌ها بيشترین تأثیر را بر ميزان تقاضا دارد [۱۳].

بسیاری از عوامل مؤثر ذکر شده در مطالعات پیشین برای جذب مسافران حمل و نقل ریلی، متغیرهای غیرفیزیکی هستند که جنبه‌های روانی، آسایش خاطر و قابلیت اطمینان دارند. برخی از این موارد نیز مانند زمان سفر، دسترسی و کیفیت خدمت به عوامل فیزیکی بستگی دارند. زیرساخت‌ها بر تمامی این عوامل تأثیرگذار هستند و بسیاری از تجربه‌هایی که موجب رضایت مسافر می‌شوند از همین موارد سرچشمه می‌گيرند. برای مثال هر چه طول خطوط ریلی، تعداد ایستگاه‌ها، تعداد واگن‌ها و تعداد کارکنان افزایش يابند به طور مستقیم و غیرمستقیم باعث بهبود سایر عوامل نیز می‌شوند. زیرا افزایش طول خطوط و تعداد ایستگاه‌ها باعث افزایش دسترسی می‌شود. همچنین افزایش تعداد کارکنان باعث بهبود اجرای برنامه‌ها شده و قابلیت اطمینان را افزایش می‌دهد. افزایش تعداد واگن‌ها و لوکوموتیوها باعث کاهش تراکم، افزایش راحتی و در نتیجه بهبود تجربه سفر برای مسافران می‌شود. در همین راستا، طی مطالعه‌ای مشخص شد که طول خطوط ریلی تأثیر و همبستگی مثبت بر ميزان جذب مسافر دارد [۱۴]. همچنین در مطالعه‌ای دیگر بیان شد کیفیت خدمت به طور مستقیم و مؤلفه‌های زیرساختی به طور غیرمستقیم بر جذب مسافر تأثیرگذار است [۱۵].

معيار سنجش عملکرد يك وسیله نقلیه، استقبال مخاطبان از آن است؛ بنابراین با بررسی تقاضای حمل و نقل ریلی می‌توان عملکرد آن را مورد تحلیل قرار داده و برای بهبود آن تلاش کرد. در جدول ۱ خلاصه مطالعات پیشین و متغیرهای مؤثر بر حمل و نقل ریلی ارائه شده است.

متغير مؤثر	سال	نويسنده
کیفیت خدمت، دسترسی، قیمت، کاربری زمین	۲۰۱۱	چتمن و نولاند
راحتی، کیفیت خدمت و زمان سفر	۲۰۱۲	ویشنووارتانی
رضایت مسافر شامل کیفیت خدمت، ایمنی، امنیت	۲۰۱۰	ابولی و ماتزوولا
کاربری زمین و جاذبه‌های مقصود	۲۰۱۶	چائو
کاربری زمین اطراف ایستگاه‌ها	۲۰۱۶	لی و همکاران
قیمت، کیفیت خدمت، قیمت سوخت وسایل نقلیه جاده‌ای و زمان سفر	۲۰۱۷	آندرواتر و کیشون
رضایت مسافر	۲۰۱۸	دي اونيا و همکاران
قیمت	۲۰۲۰	افتخاری
خدمات، مدیریت و برنامه‌ریزی	۲۰۲۱	دپلومو و همکاران
قیمت، تراکم جمعیت، زیرساخت و دسترسی	۲۰۲۲	آلیمو و همکاران
کیفیت خدمت، مولفه‌های زیرساختی	۲۰۲۲	ماهپور
طول خطوط ریلی	۲۰۲۳	شیخی و همکاران

جدول (۱): خلاصه مرور ادبیات.

۲- بيان مسئله

برنامه‌ریزی برای شرایط آینده در تمام زمینه‌ها موجب آمادگی تصمیم‌گیران می‌شود. برای ایجاد این آمادگی باید با روش‌های مناسب به پیش‌بینی آینده پرداخت. بهره‌گیری از اطلاعات گذشته و پیش‌بینی آینده با استفاده از مدل‌ها و الگوریتم‌ها، روش‌هایی هستند که در پژوهش‌ها به کار گرفته می‌شوند. طبق اطلاعات ارائه شده توسط شرکت راه‌آهن که در شکل ۱ قابل مشاهده است، تقاضا برای حمل و نقل ریلی هر ساله در حال افزایش بوده است؛ اما با این حال حجم ترافیک بین شهری نیز افزایش بسیاری داشته است. حمل و نقل ریلی برخلاف پیشرفت‌های خود نتوانسته است نیاز سفرهای بین شهری را برآورده کند.

روند صعودی متغير نفر کیلومتر در طی سال‌های ۱۳۹۸ تا ۱۳۱۷



شکل (۱): روند صعودی متغير نفر کیلومتر در طی سال‌های ۱۳۹۸ تا ۱۳۱۷.

2 Multiple linear regression

3 Decision tree

هستند و نمی‌توان از نظر ارزشمندی تفاوتی در برخورد مدل با متغیرها ایجاد کرد [۱۶].

۴- نتایج

در فرایند مدل‌سازی، سعی و خطا کاربرد بسیاری دارد. با تکرار آزمایش بر ترکیب متغیرهای مختلف و سنجیدن مدل‌های متفاوت باید به بهترین و ساده‌ترین مدل ممکن دست پیدا کرد. در این پژوهش برای دست‌یابی به بهترین مدل از روش بازگشته^{۱۴} استفاده شده است. با استفاده از اطلاعات موجود، رفتار دو متغیر به عنوان وابسته بررسی شده است. متغیر نفرکیلومتر برای پیش‌بینی عوامل مؤثر بر افزایش تقاضا و متغیر مصرف سوخت برای تأمین نیازهای سوختی و بهینه‌کردن آن، به عنوان متغیر وابسته انتخاب شدند و دو مدل توسعه داده شد.

۴-۱- نفر کیلومتر

متغیر نفرکیلومتر دیدگاه جامعی نسبت به عوامل مؤثر بر تقاضا ایجاد می‌کند. در مدل ارائه شده، متغیرهای سال، تعداد مسافر، متوسط سیر سفر، طول خطوط اصلی، تعداد واگن مسافربری فعال، تعداد لوکوموتیوهای فعال و تعداد کارمندان در سطح اطمینان ۹۵ درصد معنادار شدند. سایر متغیرها با توجه به آماره‌های مختلف و مقایسه علامت ضرایب و علامت همبستگی با متغیر مستقل از مدل حذف شدند. نتایج مربوط به مدل، در جدول ۲ و ۳ ارائه شده است.

متغیر	ضریب	p	t
مقدار تابت	-0.0004	0.969	-0.039
سال	-0.1728	0.002	-2/10.6
تعداد مسافر	-0.9725	14/998	+
متوسط سیر سفر	-0.2241	6/845	+
طول خطوط اصلی	-0.2271	-2/20.2	0.002
تعداد واگن مسافربری	-0.1843	2/598	0.001
فعال	-0.0690	2/122	0.038
تعداد لوکوموتیوهای	-0.1271	-4/215	+
فعال	-0.1271	-4/215	+
تعداد کارمندان	-0.1271	-4/215	+

جدول (۲): نتایج مدل رگرسیون خطی چندگانه به تفکیک متغیرها.

شاخص	مقدار
R ²	0.995
R ² -Adjusted	0.994
R ² -test	0.990

جدول (۳): نتایج کلی مدل رگرسیون خطی چندگانه.

با توجه به نتایج به دست آمده، مدل توسعه داده شده از میزان دقت خوبی برخوردار است. همچنین با مشکل کم‌برازش یا بیش‌برازش مواجه نشده است. تمام آماره‌های بررسی شده در سطح ۹۵ درصد معناداری متغیرها را تأیید کردند.

طبق تعریف، نفرکیلومتر ارتباط تنگاتنگی با متوسط سیر سفر و تعداد مسافران دارد. ضرایب در خصوص تعداد مسافران، این ادعا را تأیید می‌کنند. دلیل این ارتباط را می‌توان استفاده شدن تعداد مسافران در تعریف متغیر نفرکیلومتر دانست و به عبارتی در شرایط ایده‌آل، این دو

بررسی عوامل مؤثر بر کشش و ایجاد انگیزه در مسافران، از جمله راهکارهایی هستند که در سیاست‌گذاری‌ها باعث ایجاد مزیت رقابتی می‌شوند. با ادامه این روند و استفاده از نتایج پژوهش‌های معتبر، انتظار می‌رود تا حد امکان شرایط ترافیکی تحت کنترل قرار گرفته و بهبود یابند.

۳- روش تحقیق

داده‌های استفاده شده در این پژوهش از وبگاه شرکت راه آهن جمهوری اسلامی ایران به دست آمده است. این شرکت از سال ۱۳۹۷ شروع به جمع‌آوری و بایگانی اطلاعات ۳۷ متغیر کرده است. در حال حاضر داده‌ها تا سال ۱۳۹۹ در دسترس هستند. متغیرهای موجود در این پایگاه داده شامل تعداد و طول سفر مسافران و بارها، وضعیت خطوط ریلی، تعداد کارمندان، مصرف سوخت، تعداد لوکوموتیوها و واگن‌ها می‌باشند. از این میان، ۱۴ متغیر سال، تعداد مسافران، نفرکیلومتر، مسافت پیموده شده، تعداد رفت‌وبرگشت‌ها، متوسط سیر سفر، مصرف گازوئیل، مصرف روغن، طول خطوط اصلی، تعداد واگن‌های مسافربری فعال و غیرفعال، تعداد لوکوموتیوهای فعال و غیرفعال و تعداد کارمندان مورد استفاده قرار گرفته‌اند. این پایگاه داده با گذشت زمان کامل‌تر شده است و نقص داده‌های آن کاهش یافته است. داده‌های ناقص با استفاده از درون‌یابی به گونه‌ای استفاده شده است که تأثیر کمی بر ویژگی متغیرها داشته باشد و روند آنها دچار تغییر نشود. اطلاعات سال ۱۳۹۹ بسیار تحت تأثیر همه‌گیری ویروس کرونا^{۱۵}، قرار دارد و برای ارائه مدل‌های معمولی قابل استفاده نیست. این ردیف داده می‌تواند در کنار اطلاعات سال‌های بعد از خود در تحلیل‌های مرتبط با انتشار کووید ۱۹ استفاده شود. برای از بین بردن اختلاف محدوده اعداد، داده‌ها نرم‌مال‌سازی شدند. با توجه به عدم وجود داده پرت مؤثر، این روش کاربردی است. در این پژوهش از مدل رگرسیون خطی چندگانه استفاده شده است. میزان خوبی برازش^{۱۶} و فرض‌های رگرسیون^{۱۷} مورد بررسی قرار گرفتند. فرض‌های یکنواختی خطاهای^{۱۸}، عدم همبستگی چندگانه^{۱۹} و یکنواختی واریانس‌ها^{۲۰} رعایت شده است؛ اما فرض عدم خودهمبستگی خطاهای^{۲۱} با مشکل مواجه است. از مهم‌ترین دلایل بروز این مشکل می‌توان به روش از بین بردن سلول‌های ناقص اشاره کرد. در این فرایند از ویژگی‌های سایر ردیف‌ها استفاده شده است که احتمال خودهمبستگی را افزایش می‌دهد. برای رفع این اشکال از روش حداقل مربعات تعیین یافته^{۲۲} در ساخت مدل استفاده شده است. مقادیر به دست آمده از مدل در بخش نتایج ارائه شده است.

در این مطالعه از نرم‌افزار اکسل^{۲۳}، زبان برنامه‌نویسی پایتون^{۲۴} و کتابخانه‌های آن برای مدل‌سازی استفاده شده است. در رگرسیون خطی، تمام متغیرها در زمان ورود به مدل دارای میزان اهمیت برابر

- | | |
|----|--------------------------------|
| 4 | Coronavirus |
| 5 | Goodness of fit |
| 6 | Regression assumption |
| 7 | Residual diagnostics |
| 8 | No multicollinearity |
| 9 | Homoscedasticity |
| 10 | No autocorrelation |
| 11 | Generalized Least Square (GLS) |
| 12 | Excel |
| 13 | Python 3 |

صنعت حمل و نقل اضافه شده‌اند؛ اما همچنان حمل و نقل ریلی مخاطبان خود را در اختیار داشته و یکی از انتخاب‌های رایج برای سفرهای بین‌شهری است؛ بنابراین باید با برنامه‌ریزی، مدیریت، اختصاص بودجه و انجام پروژه‌های مختلف از این ابزار بالاهمیت محافظت کرده و از آن در تصمیمات کلان کشور به عنوان یک گزینه مناسب استفاده کرد.

هر مطالعه‌ای در روند پیشرفت خود با چالش‌ها و محدودیت‌های مختلفی مواجه می‌شود. با توجه به این مسائل، تمام وجوده و عوامل تأثیرگذار در نظر گرفته نمی‌شوند. در ادامه پیشنهاداتی با توجه به کمبودهای این پژوهش برای مطالعات آینده ارائه شده است:

۱- در مدل توسعه داده شده برای مصرف سوخت هیچ متغیری معنادار نشد. با توجه به در دسترس بودن اطلاعات باری، پیشنهاد می‌شود فرایند این پژوهش برای متغیرهای باری نیز بررسی شود.

۲- در این مطالعه اطلاعات مربوط به قیمت، سطح خدمات، مباحث مربوط به اینمنی و امنیت، شرکت ارائه‌کننده و میزان رضایت مسافران مورد بررسی قرار نگرفته است. به همین منظور پیشنهاد می‌شود در کنار اطلاعات این پژوهش به طور تکمیلی استفاده شوند.

۳- در این پژوهش فقط ۸۲ ردیف داده مورد استفاده قرار گرفته است که به میزان قابل توجهی تعمیم‌پذیری آن را کاهش می‌دهد. پیشنهاد می‌شود با استفاده از داده‌های مربوط به سایر کشورهای مشابه، مدل مورد نظر مقایسه شود و میزان تعمیم‌پذیری آن مورد بررسی قرار گیرد.

جهت مشاهده منابع این مقاله، اسکن کنید:



متغیر تعريف نزديکي با هم دارند. در سوي مخالف با اينکه متوسط سير سفر نيز داراي اين شرایط است؛ اما تأييد می‌کند که تفاوت‌های اين سه متغير نيز معنادار است و تعابير هر يك می‌تواند متفاوت باشد. پس بدون ارائه دليل محکم نمي‌توان نفرکيلومتر را يك متغير مرکب در نظر گرفت. متغیرهای زيرساختی مانند متغیرهای مربوط به ريلها، قطارها، واگن‌ها و كارمندان در مدل باقی مانندند. اين موضوع نشان می‌دهد که با افزایش عرضه حمل و نقل ريلی، جذب مسافر آن نيز افزایش يافته است؛ بنابراین می‌توان يكى از مهم‌ترین عوامل جذب مسافر به حمل و نقل ريلی را اختصاص بودجه و گسترش آن در مناطق جذب سفر دانست.

۴-۲- مصرف سوخت

دو مدل برای مصرف گازوئیل و روغن توسعه داده شدند. در هيچکدام از مدل‌های ايجاد شده متغيري معنادار نشد. نتيجه به دست آمده نشان می‌دهد عوامل مؤثر بر متغیرهای مربوط به مسافربری، تأثير چندانی بر تغييرات ميزان مصرف سوخت قطارها ندارند.

۵- نتیجه‌گيري

مدل توسعه‌يافته توانست با دقت قابل قبولی داده‌ها را پيش‌بياني کند. با توجه به ساده بودن مدل و استفاده از روش‌های رايچ، مشخص می‌شود که تغييرات تقاضاي حمل و نقل ريلی از شرایط بسيار پيچيده‌اي پيروي نمي‌کنند. اين حقيقت باعث می‌شود که زمينه‌های پيشرفت اين صنعت فراهم شود. همچنین متغیرهای به کار گرفته شده همیشه در دسترس هستند؛ زيرا تمام داده‌ها به طور خودکار در پايگاه اطلاعاتي شرکت راه‌آهن ذخیره می‌شود؛ بنابراین در صورت ادامه شرایط موجود از نظر ساختاري و پيشرفت تكنولوژي، می‌توان از نتایج به دست آمده در آينده نيز بهره گرفت.

يکى از مهم‌ترین دليل ویژه بودن اين مطالعه، داده‌های به کار گرفته شده در آن است. اطلاعات مورد استفاده، بيان‌کننده ویژگی‌های كل جامعه حمل و نقل ريلی هستند؛ زيرا تمام داده‌های مربوط به اين حوزه از مرکز کنترل اين صنعت استخراج شده‌اند و از نمونه‌برداری‌های به دست نیامده‌اند. همچنین بايگانی در دسترس، شامل نقص‌های کمی است که دقت و اعتبار پايگاه داده را افزایش می‌دهد.

نتایج نشان دادند عوامل وابسته به هزينه، تأثير بسياري بر جذب مسافر دارند؛ بنابراین تعمير و نگهداري زيرساخت‌های موجود در كنار گسترش آنها می‌تواند در زمينه حل مسائل حمل و نقل و ترافيك بين‌شهری مؤثر واقع شود.

مشخص شد مصرف سوخت، تأثيرپذيری کمی از متغیرهای مربوط به مسافربری دارد. يکى از مهم‌ترین دليل اين موضوع، سهم بيشتر حمل و نقل باري در مصرف سوخت است؛ بنابراین با مطالعه اطلاعات مربوط به باري، می‌توان روند تغييرات مصرف سوخت قطارها را بررسی کرد. همچنین ديده‌نشدن تغييرات كيفيت سوخت، تغييرات ميزان مصرف سوخت لوکوموتيوها و تأثير بهسازی خطوط ريلی در از بين رفتن هدر رفت انرژي نيز از عواملی هستند که در عدم معناداري متغیرها در مدل مصرف سوخت مؤثر هستند.

با اينکه استفاده از قطارها قدمت زيادي دارد و با پيشرفت تكنولوژي، ابزارها و وسائل نقلية به روزتری مانند وسائل نقلية شخصی و هوایپیماها به

معرفی رشته هیدروگرافی

محمد پیرایش

کارشناسی ارشد کارشناسی ارشد هیدروگرافی دانشگاه شهید بهشتی / ورودی ۱۴.۲

M.Pirayesh@mail.sbu.ac.ir

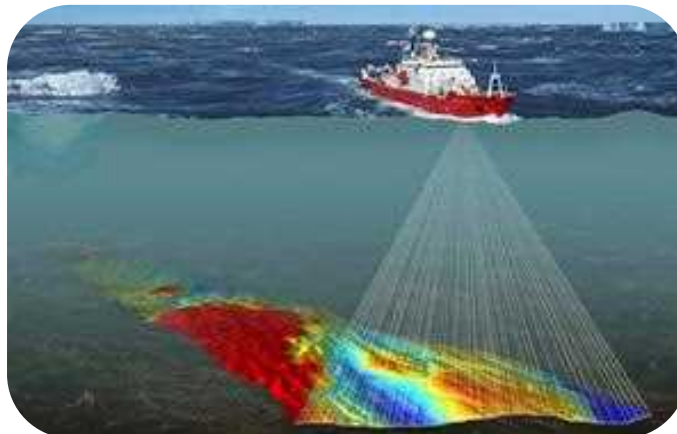


چکیده

هیدروگرافی شاخه‌ای از ژئودزی است که با مشاهدات و توصیف خصوصیات اقیانوسها، دریاها، نواحی ساحلی، دریاچه‌ها، رودخانه‌ها و همچنین پیش‌بینی تغییرات آنها سروکار دارد. هدف از اندازه‌گیری و ترسیم، توصیف دقیق پارامترهای طبیعت و شکل بستر دریا نسبت به موقعیت جغرافیایی عوارض زمین، ویژگی‌های حرکت دریا و همچنین ایجاد امنیت جهت ناوبری دریایی می‌باشد.

كلمات کلیدی: هیدروگرافی، چارت دیتوم، سطح متوسط آبهای آزاد، سازمان جهانی هیدروگرافی، سطح متوسط جزرومدم

اطلاعات هیدروگرافی را در اختیار دارد، سازمان بین‌المللی آب‌نگاری نیز نامیده می‌شود. در ایران، سازمان نقشه‌برداری بزرگ‌ترین مرجع برای تهیه نقشه‌های آب‌نگاری و نظارت بر داده‌های آن است [۱].



۲- تاریخچه هیدروگرافی

پس از کشف قطب‌نما، اولین نقشه هیدروگرافی در قرن چهاردهم میلادی و توسط ایتالیایی‌ها تهیه شد. این نقشه با توجه به اطلاعات زمان خود، ارتباط بین سواحل جزایر و نقاط کم‌عمق و خطرناک موجود در بستر دریا را که برای کشتیرانی و دریانوردی خطرناک بودند، نمایش می‌داد. در سال ۱۷۲۰ جمع‌آوری و چاپ اطلاعات مربوط به حوزه دریا و دریانوردی توسط مقامات دولتی کشور فرانسه صورت گرفت و درنهایت به تهیه نقشه‌هایی تحت عنوان چارت دریایی منجر گردید.

۳- وظایف و اهداف هیدروگرافی

ایجاد نقاط کنترل ساحلی از شبکه ژئودتیک

-

۱- مقدمه

هیدروگرافی^۱ به کلیه عملیاتی که به بدست آوردن عمق آب و توپوگرافی بستر آبهای اعم از دریاها، اقیانوس‌ها، سدها و رودخانه‌ها می‌پردازند، اطلاق می‌شود. در گذشته، هیدروگرافی توسط یک قایق و دستگاه عمق‌یاب انجام می‌شد، ولی در حال حاضر با پیشرفت علوم مختلف، تجهیزات این کار به روز شده است. هیدروگرافی در فارسی، آب‌نگاری ترجمه شده و هدف اصلی و مهم آن، تولید نقشه‌های دقیق دریایی به منظور ناوبری ایمن است. اما در هیدروگرافی نه تنها به موضوع تهیه نقشه از بستر آبهای می‌پردازیم بلکه جریانات آبی، جزرومدم، تغییرات سطح آبهای محیط‌زیست دریا، زمین‌شناسی بستر دریا، اکتشاف معادن زیر آب، خواص فیزیکی آب مانند دما، شوری و... نیز بررسی می‌شوند. به این ترتیب ارتباط نزدیکی بین مهندسان هیدروگراف و علوم دیگر، نظری اقیانوس‌شناسی و آب‌شناسی (هیدرولوژی) وجود دارد. تجهیزات متنوع مانند اکوساندر^۲، سایداسکن سونار^۳ و سیستم‌های تعیین موقعیت در سطح و زیر آب، از ابزارهای هیدروگرافی محسوب می‌شوند. اندازه‌گیری‌های ماهواره‌ای متنوع، مانند ارتفاع سنجی راداری هم در جهت مطالعه آبهای سطحی زمین به کمک پژوهشگران این حیطه می‌آیند. از این رو، هیدروگرافی از گرایش‌های بسیار جذاب و در عین حال کاربردی و ضروری مهندسی نقشه‌برداری است. سازمان‌های مختلف مانند سازمان نقشه‌برداری، بنادر و کشتیرانی، صنایع و معادن، شیلات و شرکت‌های ملی نفت‌وگاز از مهم‌ترین متولیان و متقاضیان خدمات هیدروگرافی محسوب می‌شوند. سازمانی به نام^۴ IHO که

1 Hydrography

2 Echo sounder

3 Side scan sonar

4 International Hydrography Organization

- تعیین موقعیت
- تعیین عمق
- مشاهدات نوسانات آب
- عمل جاروب نمودن، تعیین و آشکارسازی عارضه‌های خطرناک
- زیر آب

مدت حداقل ۱۸/۶ سال.

۵-۵- سطح متوسط جزرومد (MTL)^{۱۰}

عبارت است از میانگین نوسانات سطح آب در یک بازه زمانی، مانند یک هفته و یا یک ماه.

۶- آیندهٔ شغلی هیدروگرافی

از آنجایی که کشور ما دارای مرزهای آبی بسیاری است، بنابراین نیاز به متخصصان هیدروگرافی در کشور روزبه روز بیشتر می‌شود؛ به دلیل اینکه، این مرزها نه تنها از لحاظ سیاسی و دفاعی بلکه به عنوان یکی از مهم‌ترین راه‌های حمل و نقل و همچنین یکی از راه‌های تجارتی بین کشورها حائز اهمیت هستند. پس درنتیجه نیاز به نقشه‌های به روز و دقیق بیشتر می‌شود. علاوه بر این، بررسی‌های هیدروگرافی می‌توانند نقشی حیاتی در تحقیقات تغییرات آب و هوای داشته باشد. دانشمندان با نظرارت بر تغییرات سطح دریاها، الگوهای جزو مردمی و سایر پدیده‌های دریایی قادرند بینشی در مورد تأثیرات گسترده‌تر گرمایش جهانی بر اقیانوس‌ها به دست آورند. سپس این داده‌ها می‌توانند سیاست‌ها و استراتژی‌هایی را با هدف مبارزه با تغییرات آب و هوایی و اثرات آن بیان کنند. به یاد داشته باشید که خطمشی‌ها همان داده‌هایی هستند که هر روز جمع‌آوری می‌کنیم. در حالی که موارد فوق یک نمای کلی از نقشه‌برداری هیدروگرافی ارائه می‌دهند، درک این نکته ضروری است که این، فقط بخش کوچکی از دنیای نقشه‌برداری دریایی است. دنیای هیدروگرافی وسیع، پیچیده و همیشه در حال تکامل است. با افزایش اتكای ما به منابع دریایی و با ادامه اکتشاف اقیانوس‌ها، تقاضا برای نقشه‌برداران ماهر هیدروگرافی افزایش می‌یابد.

۷- مشکلات هیدروگرافی

۱. تعیین موقعیت در دریا نسبت به خشکی با دقت پایین‌تری انجام می‌شود، زیرا کشته‌یا شناور تعادل کافی ندارد.
۲. خطراتی نظیر طوفان و برخورد با صخره‌ها یا سایر شناورها در دریا، از جمله چالش‌های عملیات هیدروگرافی است.
۳. وسایل نقشه‌برداری دریایی بسیار گران قیمت‌تر از دستگاه‌های نقشه‌برداری زمینی هستند.
۴. برای عملیات هیدروگرافی با محدودیت زمانی مواجه هستیم، چراکه امکان نقشه‌برداری دریایی در شب و همچنین شرایط آب و هوایی نامساعد وجود ندارد.

۴- کاربردهای هیدروگرافی

- ناویری تجاري و نظامي
- مدیریت سواحل و بندرها
- کنترل عملیات لایروبی^{۱۱}
- صنعت نفت و گاز
- نصب سکوها
- نصب لوله‌های نفت و گاز در بستر و زیر بستر دریا
- اکتشاف و استخراج
- نصب لوله آب
- ناویری

۵- مفاهیم اولیهٔ هیدروگرافی

۱- چارت دیتوم^{۱۲}

سطحی که عمق‌های اندازه‌گیری شده بر روی نقشهٔ ناویری به آن ارجاع داده می‌شود را چارت دیتوم گویند؛ این سطح، همان سطح مبنای مورد استفاده در هیدروگرافی است که اعمق نسبت به آن ثبت می‌گردد. چارت دیتوم به لحاظ تأمین اینمنی دریانوردی، نزدیک به پایین‌ترین سطح جزر آب در نظر گرفته می‌شود.

۲- خطوط عمق‌یابی^{۱۳}

مجموعه‌ای از خطوط از پیش طراحی شده که عملیات عمق‌یابی بر روی آن انجام می‌گیرد را خطوط عمق‌یابی می‌نامند. توسط دستگاه اکوساندر کار برداشت پروفیل‌های بستر بر روی این خطوط طراحی شده صورت می‌گیرد. فاصلهٔ این خطوط باید بین ۰/۵ تا ۱ سانتی‌متر در مقیاس نقشه باشد.

۳- خط مبنای

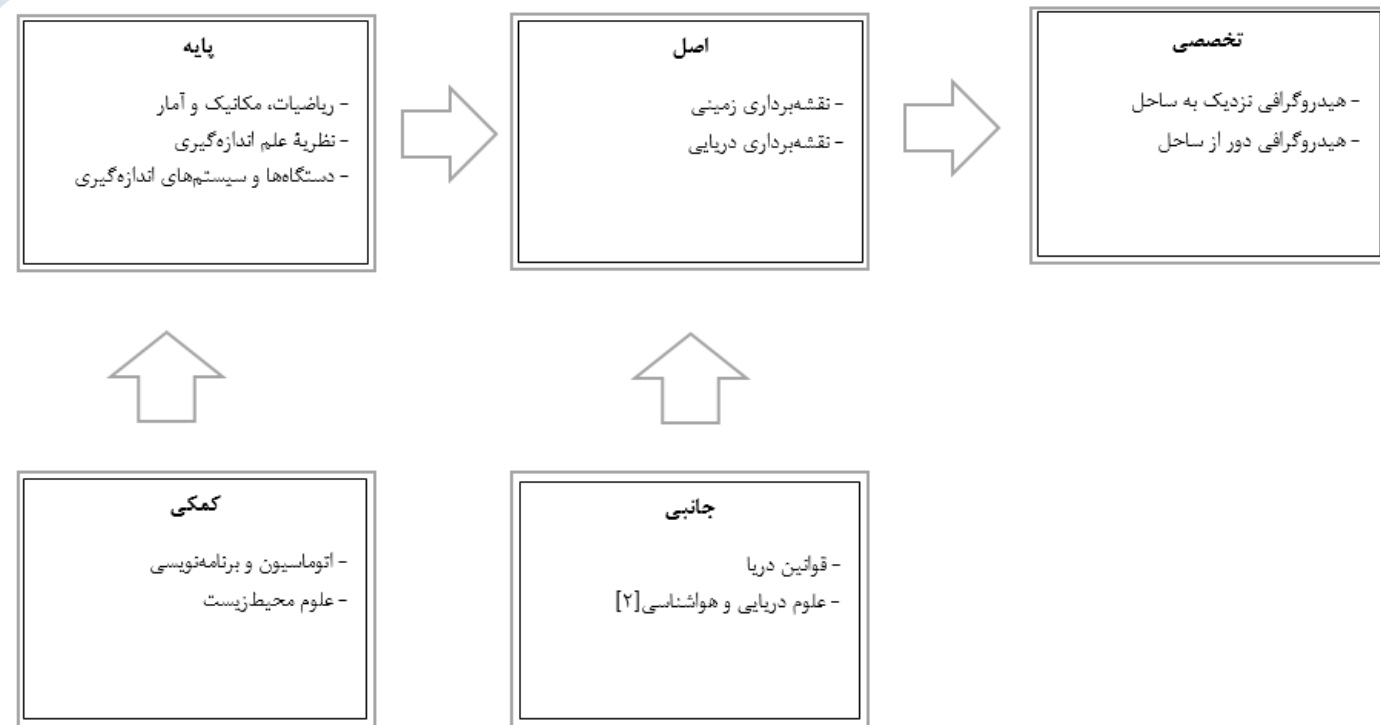
خط مبنای، خطی است که مرزهای دریایی نسبت به آن سنجیده می‌شوند و پایین‌ترین خط وقوع جزرومد در نقشه‌های دریانوردی است.

۴- سطح متوسط دریا (MSL)^{۱۴}

سطح متوسط دریا یا همان سطح متوسط آب‌های آزاد، عبارت است از میانگین طولانی مدت مشاهدات نوسانات دریاهای آزاد و اقیانوس‌ها به

5	dredging
6	Datum Chart
7	Sounding Line
8	Base Line
9	Mean Sea Level

۸- برنامهٔ پیشنهادی FIG/IHO برای نائل شدن به مهارت‌های بنیادی هیدروگرافی



۹- نتیجه‌گیری

دریاها مهم‌ترین راه‌های حمل و نقل و تجارت بین کشورها محسوب می‌شوند. تخمین زده می‌شود که حدود ۷۵ درصد از کل حمل و نقل کالا در تجارت جهانی از طریق دریا انجام می‌گیرد. همچنین دریاها از مهم‌ترین منابع طبیعی تجدیدپذیر برای تامین غذا، نمک‌زدایی آب و تولید برق برای برآورده کردن نیازها هستند. از این رو لازم است توجه جهانیان، به ویژه کشورهای توسعه‌یافته، را به اهمیت بررسی هیدروگرافی و مطالعهٔ توده‌های آبی جلب کنیم تا در زمینهٔ برنامه‌های پیمایش دریایی، پیشرفت چشمگیری داشته باشیم و چه از نظر اقتصادی و چه از نظر تقدیمه، بیشترین بهره را از دریاها به دست آوریم. هیدروگرافی مهم‌ترین عامل امنیتی تضمین‌کننده ایمنی دریانوردی و ایمنی شناورهای در حال مانور بر روی دریا است. کاپیتان کشتی همیشه به نقشه‌های ناوبری نیاز دارد تا کشتی خود را در مسیری ایمن هدایت نماید؛ بنابراین داشتن نقشه‌های دقیق و به روز هیدروگرافی برای کشورهای توسعه یافته ضروری است و کار هیدروگرافی جزء کارهای مهم دریایی محسوب می‌شود [۳].



جرمی مشاهده منابع این مقاله، اسکن کنید:

هوش مصنوعی در هیدروگرافی



محمد پیرایش

کارشناسی ارشد هیدروگرافی دانشگاه شهید بهشتی / ورودی ۱۴۰۲

M.Pirayesh@mail.sbu.ac.ir

سید امیرعباس موسوی



کارشناسی ارشد هیدروگرافی دانشگاه شهید بهشتی / ورودی ۱۴۰۲

Seyyedam.Mousavi@mail.sbu.ac.ir

چکیده

هوش مصنوعی (AI)، همراه با حجم زیادی از داده‌های هیدرولوژیکی موجود، شرایط ایده‌آلی را برای ایجاد ابزارهایی با هدف مدیریت منابع تامین آب، ارزیابی خطر سیل و خشکسالی، پایش کیفیت آب، مدل‌سازی سطح آب زیرزمینی، پیش‌بینی بار رسوب معلق و مدیریت سدها فراهم می‌کند. به همین دلیل، تکنیک‌های هوش مصنوعی، از ساده‌ترین تا پیچیده‌ترین، به ما اجازه می‌دهند تا دانش خود را در زمینه هیدرولوژی گسترش دهیم. با توجه به توان محاسباتی بالای هوش مصنوعی در پردازش و ذخیره داده‌ها، ظهور آن در ژئوماتیک دریایی، علوم اقیانوسی و هیدروگرافی جهت پیشرفت شناخت دنیای آبی بسیار موثر است.

کلمات کلیدی: هیدروگرافی، هوش مصنوعی، عکس‌برداری دریایی، ناوبری مستقل، الگوریتم

هیدروگرافی بسیار امیدوارکننده است. هوش مصنوعی با پیشرفت فناوری و در دسترس قرار گرفتن داده‌های بیشتر، نقشی حیاتی در بهبود درک و مدیریت ما از آبراهه‌های جهان ایفا خواهد کرد [۱].

۲- هوش مصنوعی در هیدروگرافی

هوش مصنوعی (AI)، یک حوزه به سرعت در حال رشد از علوم کامپیوتر است که بر توسعه الگوریتم‌ها و سیستم‌هایی تمرکز دارد که به کمک داده‌ها قادر به انجام کارهایی مانند تجزیه و تحلیل مجموعه داده‌های پیچیده، تشخیص الگوها، و تصمیم‌گیری مستقل هستند که معمولاً به هوش انسانی نیاز دارند. هوش مصنوعی در هیدروگرافی این پتانسیل را دارد که دقیق‌تری از جمع‌آوری، پردازش و تجزیه و تحلیل داده‌ها را به میزان قابل توجهی افزایش دهد. الگوریتم‌های هوش مصنوعی، با تجزیه و تحلیل مقادیر بسیار داده‌ها از منابع مختلف، از جمله سنجش از راه دور، پهپادها و... می‌توانند الگوها، روندها و ناهنجاری‌هایی را که ممکن است برای تحلیل گران انسانی آشکار نباشد، شناسایی کنند. یکی از کاربردهای قابل توجه هوش مصنوعی در هیدروگرافی در زمینه پردازش داده‌ها می‌باشد. روش‌های سنتی پردازش داده‌ها اغلب شامل ورودی دستی و روش‌های کنترل کیفیت کار فشرده است. هوش مصنوعی می‌تواند بسیاری از این فرآیندها را خودکار کند، زمان و هزینه مورد نیاز برای پردازش حجم زیادی از داده‌ها را کاهش دهد و در عین حال دقت و ثبات نتایج را نیز بهبود ببخشد. تجزیه و تحلیل داده‌های سنجش از دور، حوزه دیگری از هیدروگرافی است که هوش مصنوعی تأثیر قابل توجهی در آن دارد. الگوریتم‌های هوش مصنوعی قادرند داده‌های ماهواره‌ها،

۱- مقدمه

اما چگونه هوش مصنوعی انقلابی در زمینه هیدروگرافی ایجاد می‌کند؟ هوش مصنوعی با ایجاد تحولی شگرف در روش‌ها، از نقشه‌برداری اقیانوس گرفته تا بررسی داده‌ها را کارآمدتر کرده است. اکنون، با هوش مصنوعی می‌توانیم حجم وسیعی از داده‌ها را جمع‌آوری و پردازش کنیم تا به نقشه‌های دقیق‌تری از کف اقیانوس دست یابیم؛ این نه تنها در ناوبری و اینمی دریایی، بلکه در نظرارت بر محیط‌زیست و مدیریت منابع نیز کمک کننده است. الگوریتم‌های هوش مصنوعی می‌توانند داده‌های جمع‌آوری شده را برای شناسایی ویژگی‌های زیر آب، مانند توبوگرافی کف دریا، زیستگاه‌های حیات دریایی و خطرات احتمالی تجزیه و تحلیل کنند. این اطلاعات برای صنایع مختلف از جمله کشتیرانی، انرژی فراساحلی و تحقیقات دریایی بسیار حائز اهمیت است. علاوه بر این، هوش مصنوعی پردازش داده‌ها را سرعت می‌بخشد و امکان تصمیم‌گیری در شرایط بحرانی را فراهم می‌کند. همچنین، قادر به شناسایی تغییرات اقیانوس، پیش‌بینی الگوهای آب‌وهوا و حتی تشخیص خطرات احتمالی، مانند نشت نفت یا موانع زیر آب، نیز می‌باشد. اما باید توجه داشت در عین حال که هوش مصنوعی فرسته‌های بسیار زیادی را به ارغان می‌آورد، چالش‌هایی را نیز به همراه دارد. اطمینان از دقت و قابل اطمینان بودن مدل‌ها و الگوریتم‌های هوش مصنوعی بسیار مهم است، زیرا خطاهای می‌توانند پیامدهای جبران ناپذیری داشته باشند. علاوه بر این، باید نگرانی‌های مربوط به حریم خصوصی و امنیت داده‌ها نیز هنگام برخورد با داده‌های حساس هیدروگرافی مورد توجه قرار گیرند. لیکن علیرغم وجود این چالش‌ها، چشم‌انداز آینده هوش مصنوعی در

در آزمایشگاه ویدئویی MBARI، که در زمینه طبقه‌بندی بصری متخصص هستند، به تفصیل شرح داده شده است. آرشیو ویدئویی MBARI تقریباً شامل ۸/۲ میلیون حاشیه‌نويسي است که مشاهدات حیوانات، زیستگاهها و اشیاء را ثبت می‌کند. این مجموعه داده، منبع ارزشمندی برای محققان این موسسه و سایر همکاران در سراسر جهان می‌باشد.

با وجود داده‌های MBARI و سایر همکاران که شالوده و اساس این پایگاه داده را تشکیل می‌دهند، تیم FathomNet امیدوار است که بنواید تحقیقات اقیانوس‌ها را، به ویژه در زمانی که درک اقیانوس مهم‌تر از همیشه است، سرعت ببخشد. MBARI یک برنامه آزمایشی را برای استفاده از مدل‌های یادگیری ماشینی آموزش دیده توسط FathomNet (ROV) جهت ضبط ویدئوها توسط وسایل نقلیه زیر آب از راه دور (ROV) راه اندازی کرد. استفاده از الگوریتم‌های هوش مصنوعی، نیاز به مشارکت انسان در این امور را تا ۸۱ درصد کاهش و نرخ برچسب‌گذاری را به برابر افزایش داد. سایر موسسات به عنوان یک منبع مبتنی بر وب، می‌توانند به جای استفاده از تلاش‌های سنتی و منابع فشرده برای پردازش و تجزیه و تحلیل داده‌های بصری، به FathomNet کمک کرده و از آن بهره ببرند. FathomNet به باز کردن قدرت هوش مصنوعی برای سرعت بخشیدن به پردازش تصاویر اقیانوس کمک می‌کند (شکل ۲) [۳].



شکل (۲): MBARI ۲۰۲۰

پروژه Ocean Vision AI و FathomNet از قدرت هوش مصنوعی برای سرعت بخشیدن به پردازش تصاویر اقیانوس و در نهایت امکان مدیریت موثر منابع اقیانوس استفاده می‌کند (شکل ۳).



شکل (۳): MBARI ۲۰۲۱

۳-۲- روش‌های ناویری مستقل
NaviPac در حال حاضر از طریق ابزار Coverage Assist، ناویری خودکار را تسهیل می‌کند. این ابزار به طور خودکار خطوط ناویری را بر اساس عمق شناسایی شده در زمان واقعی برنامه‌ریزی می‌نماید تا هنگام اسکن یک منطقه، از پوشش مطلوب اطمینان حاصل کند. اپراتور

حسگرهای هوایرد و سیستم‌های بدون سرنشین را تجزیه و تحلیل کنند و بینش‌های ارزشمندی را در مورد ویژگی‌های فیزیکی محیط دریایی، مانند عمق آب، دما و شوری ارائه نمایند. همچنین، هوش مصنوعی برای بهبود کارایی و ایمنی بررسی‌های هیدروگرافی استفاده می‌شود. سیستم‌های خودگردان مانند کشتی‌ها و زیردریایی‌های بدون سرنشین مجهز به فناوری‌های هوش مصنوعی، می‌توانند به طور مستقل حرکت کنند و داده‌ها را برای منتقل کردن به ساحل جمع‌آوری نمایند. این امر، با کاهش نیاز به حضور اپراتورهای انسانی در کشتی‌های بررسی و همچنین خطر تصادفات، کارایی عملیات را بهبود می‌بخشد. به طور کلی، هوش مصنوعی با فراهم کردن بستر کارآمدتر و دقیق‌تر در جمع‌آوری، پردازش و واکاوی داده‌ها، حوزه هیدروگرافی را متحول می‌سازد [۲].

۳- کاربرد هوش مصنوعی در هیدروگرافی

۱- ۳- قدرت هوش مصنوعی برای اکتشاف اقیانوس

محققان باید به منظور مدیریت اثرات ناشی از تغییرات آب و هوایی و سایر تهدیدات، در مورد ساکنان اقیانوس‌ها، اکوسیستم‌ها و فرایندهای بیشتر بدانند. جمع‌آوری تصاویر و ویدئوها یا به طور کلی، داده‌های بصری که حجم بسیار زیادی جهت تجزیه و تحلیل دارند، در یک تلاش مشترک، با همکاری MBARI و سایر موسسات تحقیقاتی توائینند از قدرت هوش مصنوعی و یادگیری ماشین برای سرعت بخشیدن به مطالعه MBARI، Ocean FathomNet که توسط CVisionAI و Discovery League تاسیس شده است، یک پایگاه داده تصویر منبع باز می‌باشد که از الگوریتم‌های پردازش داده‌های پیشرفته برای کمک به پردازش داده‌های بصری استفاده می‌کند (شکل ۱). بهره‌برداری از هوش مصنوعی و یادگیری ماشین، تنگناها را جهت بررسی تصاویر زیر آب کاهش می‌دهد و تحقیقات مهم در مورد سلامت اقیانوس را سرعت می‌بخشد.



شکل (۱): برگرفته از FathomNet

پیشرفتهای اخیر در یادگیری ماشین، امکان واکاوی سریع و پیچیده داده‌های بصری را فراهم می‌کند، اما استفاده از هوش مصنوعی در تحقیقات اقیانوس، به دلیل عدم وجود مجموعه‌ای استاندارد از تصاویر که بتواند برای آموزش الگوریتم‌های تشخیص و فهرست بندی اشیاء زیر آب استفاده شود ناکارآمد بود؛ FathomNet با جمع‌آوری تصاویر از منابع مختلف و ایجاد یک پایگاه داده تصاویر زیر آب این چالش را حل کرده است.

در طول ۳۵ سال گذشته، MBARI نزدیک به ۲۸۰۰ ساعت فیلم در اعماق دریا ضبط کرده و بیش از ۱ میلیون تصویر از اعماق دریا گردآوری کرده است. این مجموعه داده‌های بصری توسط تکنسین‌های تحقیقاتی

فعالیت‌های هیدروگرافی، و همچنین تعامل مداوم با ذینفعان مربوطه است تا اطمینان حاصل شود که برنامه‌های هوش مصنوعی با نیازها و ارزش‌های آنها همسو می‌باشند.

۵- چشم‌اندازهای آینده هوش مصنوعی در هیدروگرافی

آینده هوش مصنوعی در هیدروگرافی امیدوارکننده است. پیشرفت در یادگیری مکانیک و فناوری‌های رباتیک به افزایش قابلیت‌های سیستم‌های هوش مصنوعی کمک می‌کند. مامی‌توانیم انتظار جمع‌آوری داده‌های کارآمدتر، دقیق‌تر و با صحت بالاتری را داشته باشیم که منجر به بهبود اکتشافات دریابی، حفاظت از محیط‌زیست و عملیات دریابی می‌شود.

۶- نتیجه‌گیری

هوش مصنوعی هیدروگرافی را متحول می‌کند و ما را قادر می‌سازد تا راه‌های آبی جهان را به روش‌هایی که قبل‌اً هرگز ممکن نبوده، کشف و درک نماییم. هوش مصنوعی با توانایی پردازش حجم وسیعی از داده‌ها و تصمیم‌گیری آگاهانه، این حوزه را متحول می‌کند و کارایی، دقت و ایمنی را بهبود می‌بخشد. ادغام هوش مصنوعی در هیدروگرافی یک فرآیند مداوم است که نیاز به همکاری بین متخصصان هیدروگرافی، دانشمندان و کارشناسان هوش مصنوعی دارد. با استفاده از قدرت هوش مصنوعی، می‌توانیم فرسته‌های جدیدی را برای اکتشاف، حفاظت و استفاده پایدار از آبراهه‌های خود به ارمغان بیاوریم.

جست مشاهد منابع این مقاله، اسکن کنید:



می‌تواند به سادگی منطقه‌ای را که باید اسکن شود و همچنین اولین خط اجرا را تعریف کند. سپس، Coverage Assist کارآمدترین مسیر را در در یک زمان به وجود می‌آورد. این امر با طراحی کوتاه‌ترین مسیر برای گردش، و با پیروی از حد بیرونی داده‌های عمق‌سنگی جمع‌آوری شده در خط قبلی انجام می‌شود. Coverage Assist در محاسبات خود قابلیت‌های چرخش کشته و همچنین پوشش و الزامات تراکم را در نظر می‌گیرد. به عبارت دیگر، مسیر بهینه را برای آن کشتی خاص، با در نظر گرفتن الزامات خاص آن، طراحی می‌کند و از این طریق برای اطمینان از پوشش کامل منطقه، سازگار می‌شود.

در حال حاضر، دانشمندان در حال توسعه چندین روش برای ناوبری خودکار زیر آب هستند که برای کاربردهای مختلف مثمر ثمر می‌باشند. وجه مشترک همه این روش‌ها این است که موقعیت‌یابی خودکار را با ریدیابی اشیاء یا سازه‌ها فراهم می‌کنند. بر روی Visual SLAM (محلی سازی و نقشه‌برداری همزمان) نیز تحقیقاتی جهت ارائه اطلاعات بلادرنگ به عنوان ورودی برای ناوبری مستقل در آینده صورت می‌گیرد [۴].

۷- چالش‌ها و محدودیت‌های هوش مصنوعی در هیدروگرافی

در حالی که هوش مصنوعی قابلیت‌های بسیار زیادی دارد، اما با چالش‌ها و محدودیت‌های متعددی نیز مواجه است که باید برای تحقق کامل در هیدروگرافی به آن توجه کرد.

۱- داده‌های با کیفیت بالا

یکی از چالش‌های اصلی استفاده از هوش مصنوعی در هیدروگرافی، نیاز به داده‌هایی با کیفیت بالا است. الگوریتم‌های هوش مصنوعی برای پیش‌بینی با دقت بالا، به مقادیر زیادی از داده‌های دقیق و ثابت نیاز دارد؛ با این حال، داده‌های هیدروگرافی می‌توانند از نظر کیفیت، متغیر باشند و استانداردسازی آنها دشوار است.

۲- توسعه الگوریتم

توسعه الگوریتم‌های دقیق و قابل اطمینان هوش مصنوعی برای هیدروگرافی یک کار پیچیده و تخصصی می‌باشد. الگوریتم‌ها باید بتوانند حجم زیادی از داده‌ها را مدیریت و شناسایی کنند و پیش‌بینی‌های دقیق را در زمان واقعی انجام دهند. این کار نیاز به درک عمیق اصول هیدروگرافی، بررسی داده‌ها و تکنیک‌های یادگیری ماشین دارد. همکاری بین متخصصان هیدروگرافی، دانشمندان و کارشناسان هوش مصنوعی برای توسعه الگوریتم‌هایی که نیازهای خاص جامعه هیدروگرافی را برآورده می‌سازند، امری ضروری است.

۳- طرح و شیوه‌های تحقیق

استفاده از سیستم‌های خودگردان در محیط‌های حساس دریابی، اصولی را مطرح می‌نماید که باید به دقت مورد توجه قرار گیرند. متخصصان هیدروگرافی باید یقین پیدا کنند که برنامه‌های هوش مصنوعی با در نظر گرفتن تأثیرات بالقوه بر اکوسیستم‌های دریابی، جوامع محلی و سایر ذینفعان، به شیوه‌ای مسئولانه و اخلاقی مورد استفاده قرار می‌گیرند. این امر مستلزم درک کامل چارچوب‌های قانونی و اخلاقی حاکم بر

هیدروگرافی، کلید ورود به دریا

کفت و گویی با جناب آقای دکتر محمود پیروزی

نیلوفر دربندسری

کارشناسی مهندسی نقشه‌برداری دانشگاه شهید بهشتی / ورودی ۱۳۹۹

n.darbandsari@mail.sbu.ac.ir



عباس کریمی

کارشناسی مهندسی نقشه‌برداری دانشگاه شهید بهشتی / ورودی ۱۴۰۰

mr.abbaskarimi82@gmail.com



جناب آقای دکتر محمود پیروزی

تحصیلات: دکتری و پسادکتری ژئودزی از دانشگاه صنعتی خواجه نصیرالدین طوسی

علت انتخاب برای مصاحبه: علاقه‌مندی و فعالیت‌های حائز اهمیت در زمینه هیدروگرافی و ژئودزی

شغل: مشاور سازمان نقشه‌برداری کشور و سازمان جغرافیایی کشور و در حال حاضر تدریس در

دانشگاه شهید بهشتی



مقدمه

هیدروگرافی شاخه‌ای از علوم کاربردی در ارتباط با توصیف پدیده‌های دریایی و فیزیکی دریا است و از بعد عملیاتی به معنای عمق‌سنجی یا آبنگاری دریا می‌باشد. تازمانی که شناخت کافی نسبت به وضعیت بستر و عمق دریا نباشد، هیچ‌گونه فعالیت دریایی اعم از حمل و نقل، ناوپری، شیلات و... امکان‌پذیر نخواهد بود؛ به عبارت بهتر می‌توان گفت که کلید ورود به دریا هیدروگرافی است. لایروبی بنادر و اسکله‌های صادراتی، ایجاد سازه‌های دریایی و مهندسی سواحل، ناوپری و حمل و نقل دریایی، ارائه عمق‌نگاشت مناطق، احداث سکوهای نفتی و خطوط لوله و مخابرات در زیر دریا، گردشگری و حفاظت دریایی برای ایمن‌سازی و همچنین اهداف نظامی، از جمله کاربردهای هیدروگرافی محسوب می‌شوند.

در راس امور هیدروگرافی، سازمان بنادر و دریانوردی است که از هیدروگرافی برای بهینه‌سازی بنادر و تصمیم‌گیری‌های کلان کشور در حوزه حمل و نقل دریایی استفاده می‌کنند. گفتنی است از سال ۲۰۰۵ نیز، ۳۱ خرداد مطابق با ۲۱ ژوئن به عنوان روز جهانی هیدروگرافی نام گرفته و هر سال سازمان بین‌المللی هیدروگرافی، شعاری را برای این روز از بین پیشنهادات کشورهای مختلف انتخاب می‌کنند.

اکنون که کشورمان به یکی از کشورهای توانمند جهان در زمینه هیدروگرافی و چارت‌های دریایی تبدیل شده، وقت آن رسیده که از

روش‌های کارآمدتر و بومی استفاده شود. در این زمینه همه دانش‌پژوهان، متخصصان، دانشمندان و صاحبان ایده می‌توانند نقشی مشمر ثمر داشته باشند.

قابل توجه علاقه‌مندان، در حال حاضر گرایش هیدروگرافی در مقطع کارشناسی ارشد در دانشگاه تهران و شهید بهشتی دانشجو می‌پذیرد. آنچه در ادامه می‌آید، مشروح گفت‌وگو و مصاحبه ما با جناب آقای دکتر محمود پیروزی درباره فعالیت شغلی ایشان در این زمینه است.

شما تجرب زیادی در زمینه بازار کار حرفه‌ای هیدروگرافی در ارگان‌های متفاوت کسب کرده‌اید. مایلیم از زبان خودتان راجع به این مسئله بیشتر بشنویم.

بنده پس از اتمام دوره کارشناسی در شرکت‌های بزرگ، از قبیل شرکت‌های نقشه‌برداری، راهسازی و مشاور نقشه‌برداری مشغول به کار شدم؛ پس از اتمام دوره کارشناسی ارشد فرادرادی را با سازمان نقشه‌برداری کشور بستم و چند سالی را در آنجا فعالیت کردم. پس از آن پروژه‌ای را به عنوان پروژه جایگزین خدمت، برای وزارت دفاع انجام دادم؛ پس از اتمام پروژه، در سازمان جغرافیایی نیروهای مسلح مشغول به کار شدم، و در حال حاضر مشاور سازمان نقشه‌برداری کشور و سازمان جغرافیایی کشور هستم.

طبق سوابقی که داشتید، نظر شما راجع به این رشته چیست؟
خوبشخтанه در کشور ایران متخصصین بسیار خوبی در این زمینه فعال اند و همه‌ی آنها سعی در آبادی این کشور دارند. به دانشجویان عزیز نیز این نوید را می‌دهم که آینده خوبی در این رشته در انتظارشان است. این رشته پر از چالش‌های علمی و کاری است که می‌توانند از آنها بهره کاملی ببرند.

درباره شرایط هیدروگرافی، استانداردها و برخی اصطلاحات آن توضیحاتی را می‌فرمایید؟

در زمینه هیدروگرافی، به دلیل شرایط خاص دریا و تغییرات لحظه‌ای آب و هوایی، چالش‌های بسیار زیادی در این زمینه به وجود می‌آید. تمامی برداشت‌های هیدروگرافی که برای سازمان نقشه‌برداری انجام می‌شوند، باید مطابق استانداردهای تعریف شده IHO¹ باشند. طبق این استاندارد، نقشه‌ای که از منطقه برای یک عمق خاص برداشت می‌شود، باید نسبت به یک سطح مبدأ، که به آن چارت دیتوم گفته می‌شود، باشد. در واقع چارت دیتوم²، یک سطح مبنای امن برای شناورها است، تا در نزدیکی سواحل با خطرات روبرو نشوند؛ البته بعضی از شرکت‌های خصوصی سطح متوسط دریا³ را جایگزین این سطح می‌کنند اما استاندارد سازمان‌هایی از جمله، سازمان نقشه‌برداری کشور و سازمان جغرافیایی، همان استاندارد IHO می‌باشد. مشاهداتی که در هیدروگرافی انجام می‌شوند، مشاهدات اکوساندر⁴ است. این وسیله امواج صوتی را ارسال می‌نماید، سپس این امواج به بستر دریا برخورد کرده و باز می‌گردد، و براساس زمان رفت و برگشت امواج، عمق بستر دریا محاسبه می‌شود.

در مورد پژوهه‌هایی که در حوزه هیدروگرافی انجام داده‌اید، توضیحاتی می‌فرمایید؟

یکی از پژوهه‌هایی که تحت نظارت وزرات دفاع به عنوان جایگزین برای خدمت سربازی به بنده داده شد، پژوهه زیردریایی‌ها در تنگه‌ی هرمز بود. همانطور که می‌دانید زیردریایی‌ها می‌توانند به صورت ناشناس از منطقه‌ای عبور کنند و آن منطقه را از لحاظ ساختار زمین‌شناسی، ساحلی و ... رصد نمایند و حتی از این مناطق نقشه‌های توپوگرافی تهیه کنند. این پژوهه دارای فازهای مختلفی بود، یکی از فازهای اولیه آن، فاز مدلسازی تغییراتی بود که بر اثر حرکت زیردریایی‌ها با توجه به تغییرات دانسیته آب به وجود می‌آمد. زیردریایی‌ها همانند شناورهایی که روی سطح دریا حرکت می‌کنند، در زمان حرکت، امواجی به شکل عدد ۷ ایجاد می‌نمایند که به آنها امواج Wake گفته می‌شود. برای شناسایی این امواج نیاز است تا حرکت شناور در سرعت‌های مختلف، نوع شناور و پارامترهای دیگر در نظر گرفته شود و عملیات مدلسازی برای این موارد صورت گیرد. منظور از مدلسازی، بررسی و پیش‌بینی تغییرات میزان طول و شکل موج با توجه به پارامترهایی از جمله طول شناور، وزن شناور، سرعت حرکت شناور و دانسیته آب است. تمامی این موارد توسط تیم ما انجام شد و پس از آن معادلات توربولانسی آب حل شد و با توجه به سرعت، وزن و استراکچری که شناور دارد، میزان امواج Wake شناسایی

1 International Hydrography Organization

2 Datum Chart

3 Sea Mean Level

4 Eco Sounder

گردید.
در فاز دوم وارد مسائل آزمایشگاهی شدیم و به بررسی تطابق محاسبات انجام شده با واقعیت پرداختیم. در تست اول متوجه شدیم که میزان محاسبه شده با واقعیت تطابق ندارد و مجبور به محاسبه و مدلسازی مجدد داده‌ها شدیم و این بار بعضی از ورودی‌های معادله دیفرانسیل، از جمله ضریب اصطکاک بستر، ضریب دانسیته میان سطح آب و بستر دریا و ... را تغییر دادیم. با تغییر مقادیر ورودی میزان تطابق محاسبات با آزمایشگاه افزایش یافت، و تصمیم گرفتیم تا یک کالیبراسیون محلی^۱ روی مدل انجام دهیم و ضرایب را به صورت بهینه به دست بیاوریم. خوبشخтанه بعد از این کار، محاسبات انجام شده و نتایج آزمایشگاهی تطابق لازم را دارا بودند.

فاز بعدی پژوهه وارد زمینه‌های برق و سیگنال و الکترونیک شد که به شناسایی زیردریایی‌ها می‌پرداخت. این امر توسط سنسورهای نصب شده در تنگه و مدلسازی‌های صورت‌گرفته توسط هیدروگراف‌ها انجام پذیرفت. بدین ترتیب، شناسایی زیردریایی‌ها در این تنگه ممکن شد.

آیا در حین انجام پژوهه‌ها با چالش‌هایی نیز مواجه شده‌اید؟
بله، به طور مثال ما در منطقه‌ای که قبلا در آن هیدروگرافی انجام شده بود، مجدد هیدروگرافی انجام دادیم و هدف از این کار مشخص کردن میزان لایروبی آن منطقه بود. این منطقه در نزدیکی گناوه قرار داشت و به همین دلیل تاثیر جزرومد بر روی آن به شدت بالا بود. این اثر باید به عنوان تصحیحات برای مشاهدات دستگاه اکوساندر تعریف شود.

با انجام محاسبات متوجه شدیم که مقادیر به دست آمده با مقادیر اصلی اختلاف قابل توجهی دارند و مجبور به محاسبه مجدد مقادیر شدیم. پس از اینکار متوجه شدیم که مهندسین قبلی که آخرین بار این منطقه را برداشت کرده بودند، این تصحیحات جزرومد را برای مشاهدات دستگاه اکوساندر اعمال نکرده بوده‌اند. که همین امر باعث بروز خطاهایی به اندازه ۱ الی ۲ متر در منطقه شده بود که میزان قابل توجهی در هیدروگرافی است.

یکی از مهم‌ترین پژوهه‌هایی که توسط شما انجام گرفته چه بوده است؟

بنده در سال ۱۴۰۲ برای سازمان جغرافیایی نیروی مسلح انجام دادم، پژوهه مدلسازی دقیق سطح لحظه‌ای آب با استفاده از مشاهدات ژئودتیکی در منطقه‌ی خلیج فارس و دریای عمان بود که برای نیروهای مسلح مسئله‌ای بسیار حیاتی و حائز اهمیت است چراکه لازم است اطلاعات سطح لحظه‌ای آب در زمان‌های مختلف را در اختیار داشته باشند. این مسئله کمک می‌کند تا نیروهای مسلح در زمان مناقشه با کشورهای دیگر، بدانند که در چه زمانی باید حمله و فعالیت‌های نظامی انجام شود، همچنین محل استقرار نیروها نیز با این اطلاعات مشخص می‌شود. هدف از انجام این پژوهه پیش‌بینی سطح نقطه‌ای آب در هر نقطه از خلیج فارس و دریای عمان بود. یکی از پدیده‌هایی که در دریای عمان وجود دارد، پدیده‌ی جزرومد است. جزرومد یک موج پریودیک و دائما در حال نوسان است. با تکرار این نوسانات، مدلسازی این پدیده ممکن می‌شود. مدلسازی‌های مختلفی از جمله مدلسازی تجربی، فیزیکی و

مسئلیت شما در این پروژه چه بود؟

در این پروژه مسئلیت مدیریت پروژه به عهده بنده بود و وظایفی مثل برنامه‌نویسی و... را باید انجام می‌دادم، که خوشبختانه به نحو احسن پیش رفت.

انگیزه شما از قبول این پروژه چه بود؟

انگیزه بنده برای انجام این پروژه، خدمت به کشور و اهتزاز پرچم کشورم بود.

به یاد ماندنی‌ترین لحظه در حین انجام این پروژه چه زمانی بود؟

در این پروژه مسائل ریاضی به شدت اهمیت داشت و یکی از به یادماندنی‌ترین مسائلی که در این پروژه با آن روبرو شدم، زمان پیاده‌سازی روابط با استفاده زبان برنامه‌نویسی متلب و پایتون بود. و زمانی که کار به ثمر رسید و نتیجه نهایی را مشاهده کردم بسیار شگفت‌زده شدم.

یکی از چالش‌های به خصوص در این پروژه چه بود و چطور موفق به برطرف کردن آن شدید؟

یکی از چالش‌هایی که در این پروژه با آن رو به رو شدم، شیفت زمانی بود که در پیش‌بینی بنده وجود داشت و این شیفت به دلیل عدم محاسبه دقیق فاز بود. مجدد همه فازها با استفاده از مدل‌های مختلف محاسبه شدند. در واقع نیاز بود که از زمان محلی^۱ برای این پروژه استفاده شود.

در پایان، توصیه شما به دانشجویان رشته مهندسی نقشه‌برداری برای موفقیت در آینده چیست؟

توصیه‌ای که می‌توان برای دانشجویان رشته نقشه‌برداری داشت این است که باید سعی کنند تا مباحثت بروز هیدرولوگرافی و نقشه‌برداری را هم از نظر تجهیزات و هم از نظر روش‌های محاسباتی در دنیا را پیش ببرند. به کتب و مقالاتی که در این حوزه منتشر می‌شود توجه کنند و روش‌های مختلف ریاضی را فرا بگیرند. و همچنین از سعی و خطا در این رشته هراسی نداشته باشند. بدانند که انسان همواره با خطأ رو به روش و لازمه برطرف کردن این خطأ استمرار و بررسی مجدد مسائل با روش‌های جدید است.

توصیه‌ی دیگر بنده به دانشجویان این است که در سخت‌ترین لحظات زندگی امیدشان به خدا باشد. رشته نقشه‌برداری دارای چالش‌های مختلف و شرایط محیط کاری سخت است و تنها کسی که در این شرایط می‌تواند به شما کمک کند، خداوند متعال است.

مدلسازی ریاضی که امروزه با استفاده از هوش مصنوعی انجام می‌شود، برای این پدیده وجود دارد. مدلسازی دیگری نیز به نام مدلسازی تلفیقی نیز وجود دارد که در آن پاسخ معادلات دیفرانسیلی که در مدلسازی فیزیکی انجام می‌شود را با مدلسازی تجربی تلفیق می‌شود. در این پروژه از مدل‌هایی همچون MITGCM و Mike استفاده گردید. برای این کار از مشاهدات تایدگیج که از کشور خودمان و کشورهای همسایه مثل پاکستان، هندوستان، کویت، امارات، قطر، عربستان و عمان در دسترس بود و همچنین اطلاعات ماهواره‌های ارتفاع سنجی که نوسانات سطح لحظه‌ای آب را اندازه‌گیری می‌کنند، استفاده شد. هدف از پرتاب این ماهواره‌ها، ثبت تغییرات سطح لحظه‌ای آب است. پس از این کار دامنه و فاز مولفه‌های جزو مردمی به طور دقیق حساب شد و در رابطه تجربی جزر و مدی قرار گرفت. همچنین تصحیحات رو دامنه و فاز ایجاد گردید که به آن‌ها تاثیرات نodal گفته می‌شود. این تصحیحات با توجه به تغییرات مکانی و زمانی اعمال می‌شوند. پس از ایجاد مدل در منطقه، به بررسی آن پرداختیم که بسیار کار مهمی است. این بررسی یک بار با داده‌های تایدگیج و بار دیگر با قرائت ایستگاه‌هایی که تایدگیج وجود نداشت توسط تایدپل انجام شد که خوشبختانه مقادیر پیش‌بینی شده با مقادیر قرائت شده مطابقت کامل داشت. با استفاده از معیار Root Mean Square Error متوسط شدیم که مدل ایجاد شده، مدل خوبی است و دقت‌های مورد نیاز را دارا است. در اخر سامانه‌ای تحت وب در سازمان جغرافیایی نیروی مسلح ایجاد شد و در حال حاضر نیروهای مسلح این امکان را دارند تا در هر نقطه‌ای از دریای عمان و خلیج فارس، سطح لحظه‌ای آب را پیش‌بینی نمایند و در موقعیت‌های خطرناک بهترین تصمیم را بگیرند. بحث پیش‌بینی در موقعیت‌های خطرناک به خصوص در دریاها بخصوص خلیج فارس و دریای عمان، همواره حائز اهمیت بوده چراکه رتبه اول انرژی‌های نفت‌وگاز را در دنیا دارند.

موقعیت مکانی پروژه چه بود؟

در این پروژه با توجه به تردد کشتی‌های کشورمان به حوزه دریای سرخ، علاوه بر خلیج فارس و دریای عمان بخشی از اقیانوس هند شمالی نیز مورد بررسی قرار گرفت. منطقه پوشش داده شده در این پروژه تقريباً از عرض جغرافیایی ۳ تا ۳۳ درجه و طول جغرافیایی ۴۰ تا ۷۵ درجه بود.

هدف پروژه و علت اهمیت آن را می‌فرمایید؟

یکی از علتهای انجام این پروژه این بود که نیروهای مسلح یک آگاهی کامل نسبت به سطح لحظه‌ای سطح آب داشته باشند تا در زمانی که شناوری در حال حرکت است، بداند که جزو مردم چه زمانی اتفاق می‌افتد و بتواند به صورت دقیق پیش‌بینی‌های دقیق را انجام دهد.

این پروژه با پروژه‌های مشابه قبلی چه تفاوتی داشت؟

این کار در سال‌های گذشته توسط کشور آمریکا توسط سامانه‌هایی که در اختیار داشتند، انجام شده بود اما در این پروژه این کار به صورت تلفیقی از اطلاعات زمینی، ماهواره‌ای و مدل‌های مختلف انجام گردید و سعی شد تا دامنه و فاز مولفه‌های جزو مردمی با دقت بسیار بالایی استخراج شوند.



بررسی و ارزیابی روش‌های ماشین بردار پشتیبان و شبکه عصبی در استخراج راه‌های شهری با استفاده از تصاویر سنجش از دور با قدرت تفکیک متوسط

(مطالعه موردی: شهر تهران)

نیلوفر دربندسری

کارشناسی مهندسی نقشه برداری دانشگاه شهید بهشتی / ورودی ۱۳۹۹

n.darbandsari@mail.sbu.ac.ir



چکیده

امروزه راه‌های شهری، بخش مهم زیرساختی و مهم‌ترین بخش حمل و نقل می‌باشند. اطلاعات شبکه راه‌های شهری در کاربردهای مهمی، از جمله برنامه‌ریزی شهری، ناوبری وسائل نقلیه و کنترل ترافیک نقش مهمی دارند. نظارت و بهروزرسانی اطلاعات شبکه راه‌ها می‌تواند راحتی عابران و امنیت وسائل نقلیه را تأمین نماید. یکی از مهم‌ترین منابع کسب این اطلاعات، تصاویر سنجش از دور می‌باشد. تصاویر سنجش از دور، اخیراً به طور گسترده در استخراج راه‌های شهری استفاده می‌شوند و می‌توانند اطلاعات مکانی دقیق این عوارض را در اختیار کاربران قرار دهند. در این مطالعه، شبکه راه‌ها از طریق تصاویر ماهواره‌ای Landsat 9 شهر تهران با استفاده از دو روش ماشین بردار پشتیبان و شبکه عصبی استخراج گردیدند. برای ارزیابی دقت راه‌های استخراج شده توسط این دو روش، دقت کلی و ضریب کاپا محاسبه شدند. این دو شاخص برای روش شبکه عصبی برابر $4/41$ درصد و $8/0$ بودند. این نتایج نشان می‌دهند روش بهینه برای استخراج راه‌های شهر تهران روش شبکه عصبی می‌باشد.

کلمات کلیدی: راه‌های شهری، سنجش از دور، قدرت تفکیک، ماشین بردار پشتیبان، شبکه عصبی

۱- مقدمه

راه‌ها از بخش‌های مهم زیرساخت شهری محسوب می‌شوند. اطلاعات شبکه راه‌ها در حوزه‌های کاربردی، از جمله کنترل و مدیریت ترافیک [۱]. ناوبری وسیله نقلیه [۲]، برنامه‌ریزی شهری [۳]، مدیریت بحران [۴]، حمل و نقل هوشمند [۵]، و بهینه‌سازی مسیرها [۶]، استفاده می‌شوند. امروزه یکی از منابع اصلی استخراج این اطلاعات، تصاویر و داده‌های سنجش از دوری می‌باشد [۷].

پیشرفت‌های اخیر در فناوری‌های سنجش از دور و زیرساخت‌های اطلاعاتی [۸]، پتانسیل زیادی را برای دستیابی به اطلاعات مکانی دقیق فراهم ساخته است [۹].

امروزه تصاویر با وضوح متوسط و رایگان برای بسیاری از کاربردهای سنجش از دور، مانند تشخیص راه، مناسب هستند [۱۰]. از روش‌های استخراج اطلاعات راه‌ها از تصاویر سنجش از دوری می‌توان به روش ماشین بردار پشتیبان اشاره نمود. این روش یادگیری ماشینی در تشخیص الگو در تصاویر سنجش از دوری عملکرد بسیار خوبی داشته است و به طور موثر در تشخیص راه‌ها استفاده شده است [۱۱]. در این روش با استفاده از داده‌های آموزشی می‌توان تصویر سنجش از دوری را به دو کلاس راه و غیر راه طبقه‌بندی نمود و با استفاده از همین دو کلاس راه‌های شهری را از تصویر استخراج کرد [۱۲].

یکی دیگر از روش‌های موثر استخراج راه از تصاویر سنجش از دوری، استفاده از روش شبکه عصبی است. این روش در تقسیم‌بندی معنایی تصاویر و استخراج عوارض از تصاویر سنجش از دوری عملکرد بسیار خوبی

از نظر دقت داشته اند [۱۳]. این روش با استفاده از داده‌های آموزشی می‌تواند الگوهای درون داده را یاد بگیرند، مسائل غیرخطی را به سادگی حل کند و در حل طیف زیادی از مسائل، از جمله تشخیص راه‌ها از تصاویر سنجش از دوری، استفاده شود [۱۴].

هدف این مطالعه، استفاده از تصاویر ماهواره‌ای Landsat 9 که یک تصویر با قدرت تفکیک متوسط است، برای استخراج راه‌های شهر تهران می‌باشد. برای این منظور از روش ماشین بردار پشتیبان که یک روش موثر یادگیری ماشینی است و روش شبکه عصبی استفاده شد. پس از انجام مرحله استخراج راه‌های شهری، دقت کلی و ضریب کاپا برای ارزیابی دقت روش‌های استفاده شده محاسبه گردیدند. در بخش بعدی به داده‌های مورد استفاده، روش‌های ماشین بردار پشتیبان و شبکه عصبی و نحوه محاسبه دقت کلی و ضریب کاپا اشاره خواهد شد.

۲- روش تحقیق

۲-۱- داده‌های مورد استفاده

اولین ماهواره Landsat در سال ۱۹۷۲ میلادی پرتاب شد و تصاویر رقومی را در اختیار کاربران سنجش از دور قرار داد [۱۵]. با توسعه فناوری‌های حسگر و ماهواره‌ای، Landsat 9 در سال ۲۰۲۱ راه اندازی شد [۱۶]. ماهواره ۹ دارای ۹ باند طیفی برای کاربردهای مختلف سنجش از دور است [۱۷]. اطلاعات مربوط به طول موج و قدرت تفکیک این باندها در جدول ۱ ذکر شده است.

باند	طول موج	قدرت تفکیک
Coastal Aerosol	۰/۴۳-۰/۴۵ μm	۳۰ m
Blue	۰/۴۵-۰/۵۱ μm	۳۰ m
Green	۰/۵۳-۰/۵۹ μm	۳۰ m
Red	۰/۶۴-۰/۶۷ μm	۳۰ m
NIR	۰/۸۵-۰/۸۸ μm	۳۰ m
SWIR 1	۱/۵۷-۱/۶۵ μm	۳۰ m
SWIR 2	۲/۱۱-۲/۲۹ μm	۳۰ m
Panchromatic	۰/۵۰-۰/۶۸ μm	۱۵ m
Cirrus	۱/۳۶-۱/۳۸ μm	۳۰ m

جدول (۱): باندهای طیفی ماهواره ۹ Landsat

با استفاده از این دو روش استخراج شدند. در مرحله آخر، دقت کلی و ضریب کاپا برای ارزیابی دقت، تعیین گردیدند.

۲-۳ روش‌های استخراج راه‌های شهری

همانطور که گفته شد دو روش بردار ماشین پشتیبان و شبکه عصبی از روش‌های مناسب برای استخراج راه‌های شهری می‌باشند. در این مطالعه نیز از همین دو روش برای استخراج راه‌های شهری تهران استفاده شد. در ادامه، به طور مختصر این دو روش توضیح داده خواهد شد.

۲-۳-۱ روش بردار ماشین پشتیبان

روش بردار ماشین پشتیبان، داده‌های ورودی را به یک فضای n بعدی نگاشت می‌کند تا یک ابر صفحه با حداکثر حاشیه یا لبه ایجاد نماید. این ابرصفحه، مرزی بین دو کلاس ایجاد می‌کند. هرچقدر حاشیه یا لبه‌ها بیشتر باشند، داده‌ها به طور دقیق‌تری طبقه‌بندی می‌شوند. نزدیکترین داده به ابرصفحه به عنوان بردارهای پشتیبانی شناخته می‌شوند [۱۸]. ابرصفحه H با استفاده از رابطه ۱ تعریف می‌شود:

$$H_0 : w^T x + b = 0 \quad \text{رابطه ۱:}$$

دو ابرصفحه H_1 و H_2 به موازات ابرصفحه H_0 طبق رابطه ۲ و ۳ ایجاد می‌شوند:

$$H_1 : w^T x + b = -1 \quad \text{رابطه ۲:}$$

$$H_2 : w^T x + b = 1 \quad \text{رابطه ۳:}$$

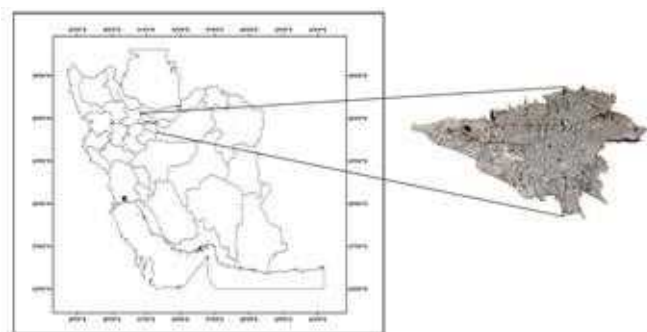
هر بردار ورودی X_i باید توسط ابرصفحه با یک قید در معادلات ۴ و ۵ اعمال شود:

$$wX_i + b \geq 1 \quad \text{رابطه ۴:}$$

$$wX_i + b \leq -1 \quad \text{رابطه ۵:}$$

ابرصفحه جداکننده دو کلاس در روش بردار ماشین پشتیبان در شکل ۳ نشان داده شده است.

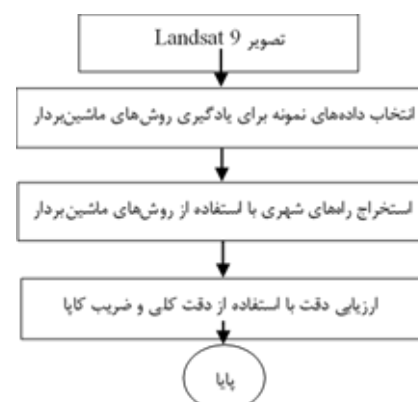
در این پژوهش از باندهای قرمز، سبز و آبی برای استخراج راه‌های شهر تهران استفاده شد. عرض جغرافیایی منطقه مورد مطالعه از ۳۵ درجه و ۳۴ دقیقه تا ۳۵ درجه و ۵۱ دقیقه شمالی و طول جغرافیایی از ۵۱ درجه و ۶ دقیقه تا ۵۱ درجه و ۳۸ دقیق شرقی بود. سیستم مختصات تصویر UTM، بیضوی WGS84 و منطقه در زون ۳۹ قرار داشت. منطقه مورد مطالعه در شکل ۱ نشان داده شده است.



شکل (۱): تصویر ماهواره‌ای ۹ Landsat تهران

۲-۲ روش‌های مورد استفاده

مراحل انجام کار در این مطالعه مطابق شکل ۲ می‌باشد.



شکل (۲): شکل کلی مراحل انجام این مطالعه

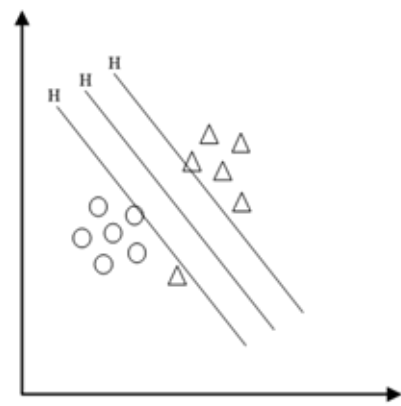
مطابق شکل ۲ در مرحله اول، داده‌های نمونه برای یادگیری روش‌های ماشین بردار پشتیبان و شبکه عصبی انتخاب شدند. این داده‌ها ۲ کلاس راه و کلاس‌های دیگر بودند. پس این مرحله، استخراج راه‌های شهری

محاسبه کرد و تکنیک بهینه را برای انجام این فرآیند انتخاب نمود. برای انجام این مرحله از شاخص‌های دقت کل و ضریب کاپا استفاده شد. این دو شاخص به صورت مختصر توضیح داده خواهند شد.

۱-۲-۴- دقت کلی

دقت کلی، یکی از ساده‌ترین و محبوب‌ترین شاخص‌ها برای ارزیابی دقت در تصاویر سنجش از دور است [۲۳]. این شاخص با تقسیم پیکسل‌های طبقه‌بندی شده درست، بر تعداد کل پیکسل‌ها محاسبه می‌شود [۲۴]. این شاخص را رابطه ۶ می‌توان بدست این فرمول محاسبه کرد:

$$\text{Overall Accuracy} = \frac{\text{number of correct pixels}}{\text{number of all pixels}} \times 100 \quad \text{رابطه ۶}$$



شکل (۳): جدا کردن دو کلاس به روش بردار ماشین پشتیبان

۱-۲-۴- ضریب کاپا

یکی از رایج‌ترین شاخص‌هایی که برای ارزیابی دقت داده‌های سنجش از دور استفاده می‌شود، ضریب کاپا است. ضریب کاپا به طور قابل توجهی در کاربردهای سنجش از دور، از جمله ارزیابی دقت طبقه‌بندی استفاده شده است [۲۵]. این ضریب با استفاده از رابطه ۷ به دست می‌آید:

$$\kappa = \frac{p_0 - p_e}{1 - p_e} \quad \text{رابطه ۷}$$

در رابطه ۷، p_0 نسبت پیکسل‌هایی است که به درستی طبقه‌بندی شده‌اند (یعنی دقت کلی) و p_e نسبت پیکسل‌هایی است که به درستی طبقه‌بندی می‌باشد که به درستی طبقه‌بندی شده‌اند. مقدار کاپا از صفر تا ۱ است که صفر نشان‌دهنده کمترین دقت و ۱ بالاترین دقت می‌باشد [۲۶].

۳- ارائه نتایج

با استفاده از دو روش بردار ماشین پشتیبان و شبکه عصبی، راه‌های شهر تهران استخراج شدند. در شکل ۵ خروجی‌های این دو روش مشخص شده است.



شکل (۵): استخراج راه‌های شهر تهران با استفاده از روش ماشین بردار پشتیبان
(شکل چپ) و شبکه عصبی (شکل راست)

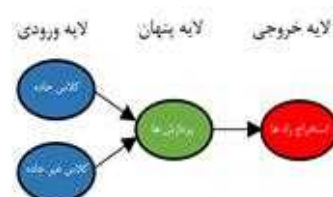
همانطور که مشاهده می‌شود از نظر دقت کیفی و تفسیر بصری می‌توان گفت که روش شبکه عصبی نسبت به روش ماشین بردار پشتیبان عملکرد بهتری داشته است. برای ارزیابی دقت کمی این موضوع از دو شاخص دقت کلی و ضریب کاپا استفاده شد. نتایج کمی نیز دقت بصری را تایید می‌کنند. در ادامه این به نتایج کمی دو شاخص نیز اشاره می‌شود. در شکل ۶، نمودار مجذور میانگین مربعات مرحله آموزش (میزان خط) به تعداد تکرار در استخراج شبکه راه‌ها توسط روش شبکه عصبی مشخص شده است.

۲-۳-۲- روش شبکه عصبی

شبکه‌های عصبی نیز سال‌ها است که برای مدل‌سازی سیستم‌های پردازش اطلاعات الهام گرفته شده از ساختارهای عصبی بیولوژیکی، مورد مطالعه و استفاده قرار گرفته‌اند. آنها نه تنها می‌توانند راه حل‌هایی با عملکرد بهبود یافته در مقایسه با روش‌های حل مسئله سنتی ارائه دهند، بلکه درک عمیق‌تری از توانایی‌های شناختی انسان نیز به دست می‌آورند [۱۹]. همچنین شبکه‌های عصبی می‌توانند برای حل طیف وسیعی از مسائل استفاده شوند [۲۰].

شبکه‌های عصبی قادر هستند بدون اینکه از قبل برنامه‌ریزی شوند، الگوهای درون داده‌ها را مانند مغز انسان یاد بگیرند. به عنوان ابزاری کاربردی برای استخراج الگوها از داده‌ها، شبکه‌های عصبی مصنوعی نسبت به روش‌های آماری سنتی مزایای زیادی دارند. یکی از این مزایا توانایی حل مسائل پیچیده غیرخطی می‌باشد. از دیگر مزایای آنها می‌توان به مدیریت بهتر داده‌های نویزدار و داده‌هایی که بخشی از آن از دست رفته، نسبت به روش‌های قدیمی اشاره نمود [۲۱]. در بیشتر کاربردهای مهندسی، شبکه‌های عصبی، بین موقعیت‌های دنیای واقعی و ماشین‌ها ارتباط برقرار می‌کنند [۲۲].

شبکه عصبی استفاده شده برای انجام این مطالعه، یک مدل پیش‌خور لایه‌ای غیرخطی برای یادگیری نظارت شده می‌باشد. روش فعال‌سازی برای این کار، روش Logistic بود و یک لایه پنهان برای انجام این کار انتخاب شد. حد آستانه‌گذاری آموزش شبکه و تعداد تکرارهای آموزشی به ترتیب برابر 0.9×10^6 بودند. شکل کلی شبکه عصبی استفاده شده، در شکل ۴ مشخص شده است.

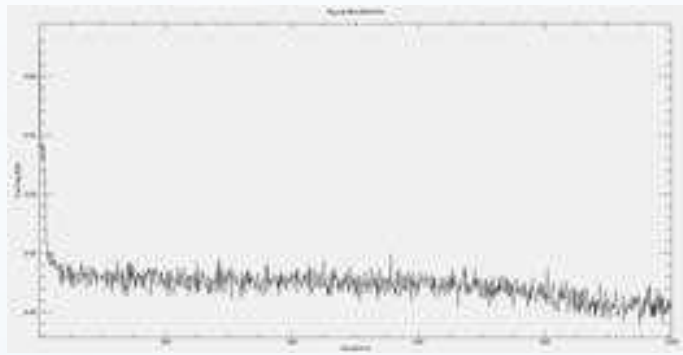


شکل (۴): شکل کلی شبکه عصبی استفاده شده

۴-۲- ارزیابی دقت استخراج راه‌های شهری

پس از استخراج راه‌های شهری با استفاده از دو روش ماشین بردار پشتیبان و شبکه عصبی، مرحله ارزیابی دقت نتایج بدست آمده انجام می‌شود. این مرحله یکی از مهم‌ترین مراحل انجام فرآیند استخراج راه است، زیرا با انجام این مرحله می‌توان دقت روش‌های مورد استفاده را

جهت مشاهده منابع این مقاله،
اسکن کنید:



شکل (۶): نمودار خطای تعداد تکرار در روش شبکه عصبی

برای ارزیابی دقت کمی روش‌های شبکه عصبی و ماشین بردار پشتیبان از دقت کلی و ضریب کاپا استفاده شد و نتایج دقت کمی این دو روش در جدول ۱ نشان داده شده اند.

روش استخراج راه	شاخص دقت	
	دقت کلی	ضریب کاپا
ماشین بردار پشتیبان	۸۸/۷۷	۰/۷۴
شبکه عصبی	۹۱/۴۴	۰/۸۰

جدول (۱): دقت کلی و ضریب کاپا برای دو روش شبکه عصبی و ماشین بردار پشتیبان در استخراج راههای شهری

در روش ماشین بردار پشتیبان، دقت کلی و ضریب کاپا به ترتیب برابر ۸۸/۷۷ درصد و ۰/۷۴ می باشد. این شاخص‌ها برای روش شبکه عصبی برابر ۹۱/۴۴ درصد و ۰/۸۰ باشد. این نتایج نشان می‌دهند که روش شبکه عصبی برای استخراج راه‌ها از روش ماشین بردار پشتیبان بهتر عمل می‌کند. بنابراین، روش بهینه برای استخراج راههای شهر تهران، روش شبکه عصبی می‌باشد.

۴- نتیجه‌گیری

استخراج اطلاعات شبکه راههای شهری با استفاده از تصاویر سنجش از دور امکان‌پذیر است. فراوانی تصاویر سنجش از دور پتانسیل بالایی برای کسب اطلاعات مکانی دقیق، از جمله تشخیص راه‌های شهری فراهم نموده است. یکی از منابع رایگان و در دسترس داده‌های سنجش از دوری، تصاویر با قدرت تفکیک متوسط است که می‌تواند در کاربردهای مختلف از جمله تشخیص شبکه راههای شهری استفاده شود. استخراج اطلاعات راه‌ها با استفاده از این تصاویر می‌تواند با دو روش موثر و کاربردی ماشین بردار پشتیبان و شبکه عصبی انجام شود. در این مطالعه از تصویر ماهواره‌ای Landsat 9 شهر تهران با استفاده از این دو روش، شبکه راه‌ها استخراج شدند و برای ارزیابی دقت این دو روش از دقت کلی و ضریب کاپا استفاده شد. دقت کلی و ضریب کاپا در روش ماشین بردار پشتیبان برابر ۸۸/۷۷ درصد و ۰/۷۴ بودند. همچنین این شاخص‌ها برای روش شبکه عصبی برابر ۹۱/۴۴ درصد و ۰/۸۰ بود. این نتایج نشان می‌دهند روش بهینه برای استخراج راههای شهر تهران روش شبکه عصبی می‌باشد.

۱- ابزاری قدرتمند در پردازش تصاویر سنجش از دور



سایان شجاع

کارشناسی مهندسی نقشه برداری دانشگاه شهید بهشتی / ورودی ...۱۴

sayanshojae2002@gmail.com

محمد مهدی اسفندیاری



کارشناسی مهندسی نقشه برداری دانشگاه شهید بهشتی / ورودی ...۱۴

m.mahdi.esfandiary@gmail.com

چکیده

چکیده

U-Net، یک ابزار قدرتمند در پردازش تصاویر سنجش از دور است که کیفیت تصاویر را افزایش می‌دهد و برای زمینه‌های مختلف مانند کشاورزی، نظارت بر محیط‌زیست و برنامه‌ریزی شهری مفید است. این ابزار با توانایی تفسیر اطلاعات مکانی و طیفی پیچیده، اشیاء و مناطق مختلف را در تصاویر جدا می‌کند. در این مقاله، قابلیت‌ها، مزایا و چالش‌های U-Net بررسی شده و نمونه‌هایی از استفاده موفقیت‌آمیز آن، برای ارتقاء تصاویر سنجش از دور نشان داده شده است. همچنین، کاربردهای مختلفی مانند طبقه‌بندی و تشخیص ساختمان مورد بررسی قرار گرفته است. در نهایت، این مقاله به شما درک بهتری از چگونگی استفاده از U-Net، برای بهبود کیفیت و دقیق تر تصاویر سنجش از دور می‌دهد.

کلمات کلیدی: شبکه U-Net، پردازش تصویر، سنجش از دور، شبکه‌های عصبی، یادگیری عمیق

علاوه بر این، تصاویر سنجش از دور، اغلب خصوصیات مکانی و طیفی پیچیده‌ای را نشان می‌دهند. مدیریت و پردازش حجم بزرگی از این داده‌ها می‌تواند وقت‌گیر باشد و موضوع استخراج ویژگی‌ها و الگوهای معنی‌دار را دشوار می‌کند.

برای غلبه بر این چالش‌ها، نیاز به تکنیک‌های پیشرفته پردازش تصویر می‌باشد. یکی از این تکنیک‌ها به کاربردن U-Net است، که به طور موثر می‌تواند با مسائل اختلال، درست‌نمای و پیچیدگی مکانی در تصاویر سنجش از دور مقابله کند [۲].

۲- معرفی U-Net یک تکنولوژی پیشرفته برای تقسیم بندی تصویر

در زمینه پردازش تصویر، یکی از قدرتمندترین و پرکاربردترین معماری‌های یادگیری عمیق، U-Net است. این شبکه توسط Ronneberger Thomas Brox، Olaf Philipp Fischer و Fischer موسوم به Thomas Brox توسعه یافته است [۳].

تقسیم‌بندی تصویر، نقش حیاتی در برنامه‌های مختلفی مانند تصویربرداری پزشکی، رانندگی خودکار و تحلیل تصاویر ماهواره‌ای ایفا می‌کند که شامل تقسیم یک تصویر به مناطق یا بخش‌های متمایز است و به ما این امکان را می‌دهد که اطلاعات ارزشمندی از داده‌ها استخراج نماییم [۴].

U-Net، در میان سایر معماری‌های یادگیری عمیق، به دلیل طراحی منحصر به فرد و عملکرد استثنایی خود، برجسته است و نام آن از ساختار U-شکل آن گرفته شده است (شکل ۱).

۱- مقدمه

یکی از چالش‌های کلیدی در سنجش از دور، استخراج اطلاعات معنی‌دار از مقدار زیادی از داده‌های جمع‌آوری شده است. اینجاست که معماری U-Net، به عنوان ابزار قدرتمندی برای تحلیل و ارتقاء تصاویر سنجش از دور به کار می‌آید.

U-Net، یک مدل یادگیری عمیق است، که از قدرت شبکه عصبی پیچشی^۱ برای شناسایی دقیق و طبقه‌بندی اشیاء یا ویژگی‌های مختلف در یک تصویر استفاده می‌نماید.

استفاده از U-Net در پردازش تصویر سنجش از دور، به ما این امکان را می‌دهد که وظایفی مانند طبقه‌بندی پوشش زمین، تشخیص اشیاء، تشخیص تغییر و ادغام تصاویر را با دقت قابل توجهی انجام دهیم [۱].

۲- درک چالش‌ها در پردازش تصاویر سنجش از دور

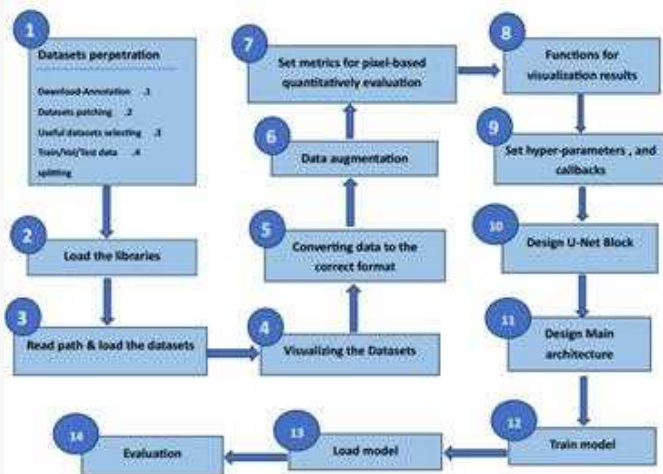
یکی از چالش‌های اصلی، وجود اختلال^۲ و درست‌نمایهای^۳ است که توسط محدودیت‌های سنجنده و شرایط جوی ایجاد می‌شوند. این نقص‌ها می‌توانند مانع تحلیل دقیق گردند.

چالش دیگر، ماهیت بزرگ مقیاس تصاویر سنجش از دور است. این تصاویر می‌توانند مناطق گستردگی را پوشش دهند؛ مانند شهرهای کامل یا حتی کشورها، که منجر به مجموعه داده‌های عظیمی می‌شود که نیاز به منابع محاسباتی قابل توجه دارد.

۱ Convolutional Neural Network (CNN)

۲ Noise

۳ Artifact



شکل (۲): مراحل پیاده‌سازی شبکه U-Net در تشخیص ساختمان

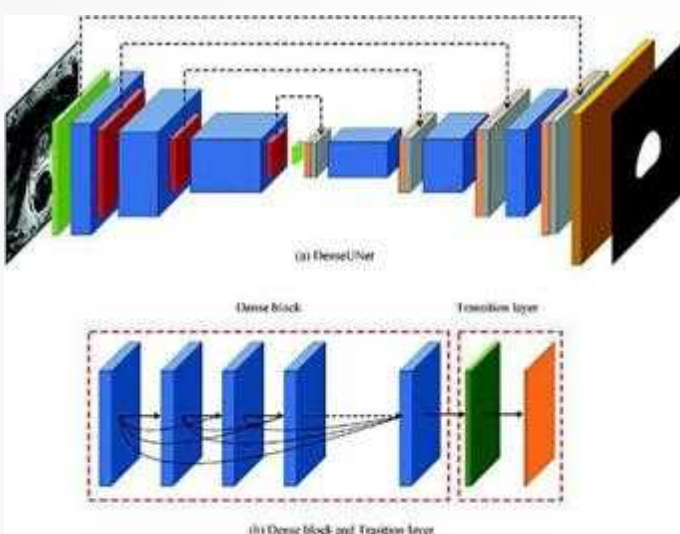
۷- شرح مختصر تعدادی از مراحل پیاده‌سازی

مرحله ۱: آماده‌سازی مجموعه داده‌ها (جمع آوری تصاویر مناسب، پیش‌پردازش آنها و تقسیم بندی مجموعه داده به قسمت‌های کوچکتر)، انتخاب داده‌های مفید (انتخاب تصاویر مناسب برای آموزش مدل) و تقسیم‌بندی مجموعه داده (تقسیم مجموعه داده به مجموعه‌های آموزش، اعتبارسنجی و آزمون)

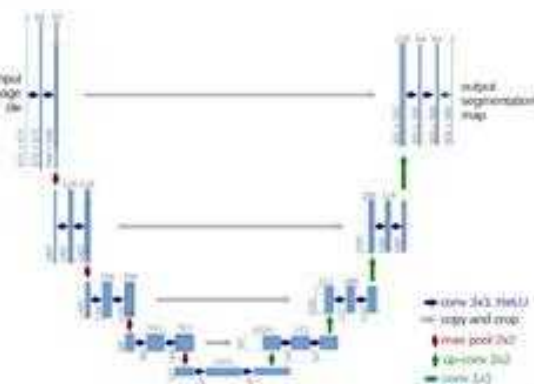
مرحله ۶: افزایش داده (افزایش مجموعه داده با اعمال تبدیل‌های مختلف بر روی تصاویر)

مرحله ۱۱: طراحی بخش‌های پیچشی

مرحله ۱۲: معماری اصلی شبکه (در این مرحله، معماری U-Net برای ارتقای دقیق و کارآمد تصویر، طراحی می‌شود که از ساختار انقباض-انبساط با اتصالات پرشی تشکیل شده است. تعداد لایه‌ها و فیلترها بر اساس پیچیدگی مسئله تنظیم می‌شوند (شکل ۳).)



شکل (۳): طراحی و معماری اصلی شبکه U-Net [۶].



شکل (۱): ساختار شبکه U-Net [۳].

۴- بررسی مبانی U-Net و چگونگی کار آن

معماری U-Net، که بر اساس یک ساختار انقباض-انبساط کار می‌کند، توانایی ثبت اطلاعات مکانی دقیق و ویژگی‌های انتزاعی تصویر ورودی را دارد. سپس، با استفاده از این اطلاعات، نقشه‌ای را می‌سازد که هر سلول تصویر را به یک منطقه یا بخش خاص اختصاص می‌دهد. این معماری، با استفاده از اتصالات پرشی^۰، که لایه‌های متناظر انقباض و انبساط را به هم متصل می‌کنند، اطلاعات مکانی را حفظ می‌نماید و به شبکه، امکان بازیابی جزئیات ریز را می‌دهد و با ترکیب ویژگی‌های چند سطحی می‌تواند نتایج قابل توجهی در تقسیم بندی تصویر کسب کند. U-Net با استفاده از مسیر قراردادی در مرحله انقباض و مسیر گسترش در مرحله انبساط، توانایی تقسیم‌بندی دقیق و قوی تصویر را دارد [۳].

۵- مزایای استفاده از U-Net برای ارتقای تصاویر سنجش از دور

یکی از مزایای کلیدی این شبکه، توانایی کار با داده‌های آموزشی محدود است. همچنین با استفاده از تکنیک‌هایی مانند افزایش داده و یادگیری انتقالی، می‌تواند از یک مجموعه کوچک از تصاویر برچسب گذاری شده یاد بگیرد و به داده‌های دیده نشده تعمیم دهد. این روش همچنین انعطاف پذیری در طبقه بازنگش از دور را ارائه می‌دهد و با تغییرات جزئی در معماری شبکه یا روند آموزش، می‌تواند برای وظایف خاصی مانند طبقه بنده پوشش زمین، تشخیص تغییر و تحلیل تصاویر سنجش از دور، سفارشی شود. همچنین با توانایی‌های پردازش موازی خود، زمان و منابع محاسباتی مورد نیاز برای پردازش تصویر را کاهش می‌دهد. از مزایای دیگر آن، می‌توان به توانایی تقسیم‌بندی معنایی دقیق، پردازش کارآمد مجموعه داده‌های بزرگ مقیاس، رسیدگی به داده‌های چندطیفی و فراتیفی اشاره کرد [۳].

۶- راهنمای گام به گام برای پیاده‌سازی U-Net

خلاصه ای از مراحل پیاده‌سازی U-Net در شکل ۲ نمایش داده شده است که بسته به مسئله، این مراحل می‌توانند جایه‌جا شوند یا حتی تغییر کنند [۵].

Operation of (a)	Operation of (b)
Conv	BN + Relu + Conv + Drop
Dense Block	2 * (BN + Relu + Conv + Drop)
Transition	AvgPooling
BN + Relu + Dropout + Conv	
BN + Relu + Dropout + Sigmoid	

بینش‌های ارزشمند از داده‌های خود فراهم کنند. در نهایت با پیشرفت فناوری، می‌توان انتظار داشت، نوآوری‌های بیشتری در استفاده از U-Net و تکنیک‌های مشابه یادگیری عمیق، برای افزایش دقت و کارایی کاربردهای سنجش از دور ایجاد شود. همچنین در آینده، نقش مهمی در پیشرفت علوم سنجش از دور ایفا کند.

جستجو مشاهده منابع این مقاله، اسکن کنید:



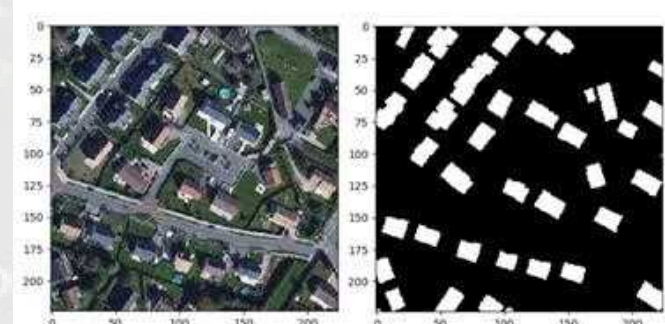
مرحله ۱۳: آموزش شبکه (آموزش مدل می‌تواند با استفاده از توابع خطای مناسب، مانند خطای میانگین مربعات^۶ یا مقایسه تفاوت بین دو تصویر^۷ انجام شود. و همچنین مدل با استفاده از الگوریتم‌های محبوی، مانند SGD یا Adam بهینه‌سازی می‌شود.)

مرحله ۱۵: ارزیابی (با معیارهای مربوطه مانند، IOU ، precision، kappa coefficient، Recall، overall accuracy می‌شوند).

در نهایت، هنگامی که از عملکرد مدل U-Net راضی هستید، وقت آن رسیده است که آن را برای برنامه‌های کاربردی واقعی استقرار دهید. تصاویر جدید دیده نشده سنجش از دور را بگیرید و آنها را از طریق مدل آموزش دیده عبور دهید تا کیفیت آنها را ارتقا دهید و اطلاعات ارزشمند را استخراج مرحله ۱۳: آموزش شبکه (آموزش مدل می‌تواند با استفاده از توابع خطای مناسب، مانند خطای میانگین مربعات یا مقایسه تفاوت بین دو تصویر انجام شود. و همچنین مدل با استفاده از الگوریتم‌های محبوی، مانند SGD یا Adam بهینه‌سازی می‌شود.)

مرحله ۱۵: ارزیابی (با معیارهای مربوطه مانند، IOU ، precision، kappa coefficient، Recall، overall accuracy می‌شوند).

در نهایت، هنگامی که از عملکرد مدل U-Net راضی هستید، وقت آن رسیده است که آن را برای برنامه‌های کاربردی واقعی استقرار دهید. تصاویر جدید دیده نشده سنجش از دور را بگیرید و آنها را از طریق مدل آموزش دیده عبور دهید تا کیفیت آنها را ارتقا دهید و اطلاعات ارزشمند را استخراج نمایید.



شکل (۴): خروجی و دقت نهایی شبکه U-Net [۷].

۸- نتیجه‌گیری

در این مقاله، مابه بررسی U-Net، یک ابزار قدرتمند در پردازش تصاویر سنجش از دور، پرداختیم. این شبکه عصبی، با بهره‌گیری از ساختار انقباض-انبساط، قابلیت پردازش تصویر را دارد که می‌تواند به بهبود کیفیت تصاویر سنجش از دور کمک کند. این ابزار قدرتمند در زمینه‌های مختلف، از جمله تشخیص اشیاء، تقسیم‌بندی و طبقه‌بندی تصویر، موثر است. این معماری می‌تواند ویژگی‌های پیچیده و درهم‌تنیده در تصاویر سنجش از دور را دستکاری کند و با استفاده از معماری یادگیری عمیق خود، جزئیات ریز را ضبط کند. این ابزار با انعطاف‌پذیری بالا، قابلیت تطبیق با انواع مختلف تصاویر سنجش از دور را دارد. با پذیرش U-Net، پژوهشگران می‌توانند امکانات جدیدی را برای تجزیه و تحلیل و استخراج

6 Structural Similarity Index Measure (MSE)

7 Mean Squared Error (SSIM)

از انجمن علمی چه خبر؟

امیرمهدی ایزدپناهی

کارشناسی مهندسی عمران دانشگاه شهید بهشتی / ورودی ۱۵۰۱

panahi.amir.83.mahdi@gmail.com



بازدید انجمن علمی عمران شهید بهشتی از تصفیه خانه های سوم و چهارم تهران به همراه جناب آقای دکتر بیژن یگانه در تاریخ ۱۷ اردیبهشت ۱۴۰۲



فراخوان عکاسی و فیلمبرداری ششمین دوره مسابقات ملی دیوار خاک مسلح و نمایشگاه مهندسی خاک و پی

تماشای مسابقه ملی دیوار خاک مسلح و بازدید از نمایشگاه مهندسی خاک و پی ایران در ۴ خرداد ۱۴۰۲



ششمین دوره مسابقات ملی دیوار خاک مسلح (Geowall)
در ۴ خرداد ۱۴۰۲ به میزبانی دانشگاه شهید بهشتی در پردیس
شهید عباسپور



برگزاری گارگاه جمع‌بندی درس مبانی نقشه‌برداری توسط
سرکار خانم سایان شجاع در تاریخ ۲۴ خرداد ۱۴۰۲

بازدید از شرکت میراب در تاریخ ۱۸ آذر ۱۴۰۲ به همراه جناب
آقای دکتر جلیلی و جناب آقای بختیاری



انتشار پنجمین شماره از ویژه‌نامه علمی-آموزشی
ساروچ در تاریخ ۲۰ آذر ۱۴۰۲

برگزاری کارگاه آموزشی ویراستاری در نشریات دانشجویی در ۲۳
آذر ۱۴۰۲ توسط جناب آقای مهندس امیرعلی شیخ‌الاسلام‌زاده



برگزاری مسابقه دانشجویی «اعکاسی ترافیک و ساختمان»
مهلت ارسال آثار: ۲۴ آذر ماه ۱۴۰۲



موفقیت «نشریه ساروج» در پانزدهمین جشنواره
بین‌المللی حرکت

انتشار چهل و یکمین شماره از دو فصلنامه علمی-
تخصصی ساروج در تاریخ ۲۸ آذر ماه



موفقیت طرح «سامانه و اپلیکیشن میدانی ایمنی
 Traffیک» در نخستین رویداد تخصصی- فناورانه راه
 هوشمند توسط جناب آقای دکتر سینا صاحبی



بازدید از تصفیه خانه های سوم و چهارم تهران به
 همراه جناب آقای دکتر عباسی و جناب آقای دکتر
 شویدی در تاریخ ۲ دی ۱۴۰۲



بازدید از سازمان نقشه‌برداری کشور به همراه جناب آقای دکتر هانی محبوبی در تاریخ ۶ دی ۱۴۰۲



برگزاری سمینار تخصصی مهندسی ژئوتکنیک توسط جناب آقای دکتر تورچی در ۱۳ دی

برگزاری کارگاه جمع‌بندی درس ژئودزی فیزیکی توسط سرکار خانم نیلوفر در بندرسرا در تاریخ ۱۷ الی ۱۹ دی ۱۴۰۲



برگزاری سیویل تاکس با حمایت ۲۲ انجمن علمی عمران دانشگاه‌های معتبر در تاریخ ۲۸ دی ۱۴۰۲ با حضور جناب آقای دکتر حمید صفاری

برگزاری کارگاه جمع‌بندی درس طراحی سازه بتن آرمه‌ای توسط جناب آقای علیرضا امیری توسلی در تاریخ ۲۹ دی ۱۴۰۲



برگزاری کارگاه جمعبندی درس دینامیک توسط جناب آقای علیرضا امیری توسلی در تاریخ ۲۹ دی ۱۴۰۲



برگزاری کارگاه جمعبندی درس فیزیک ا توسط جناب آقای علیرضا امیری توسلی در تاریخ ۲۹ دی ۱۴۰۲

برگزاری سیویل تاکس با حمایت ۲۳ انجمن علمی عمران دانشگاه های معتبر در تاریخ ۹ بهمن ماه ۱۴۰۲ با حضور جناب آقای دکتر حمیدیا و جناب آقای مهندس کاوه حسنی



برگزاری ویبینار نبرد من (راهنمای انتخاب واحد) توسط جناب آقای تارخ افتخار در ۱۰ بهمن ۱۴۰۲



فراخوان دریافت آثار علمی و مقالات در نشریه علمی- تخصصی ساروج همراه با ارائه کواہی معتبر همکاری با نشریه مهلت ارسال آثار: ۲۵ بهمن ۱۴۰۲



برگزاری دوره آموزشی نرم افزار AUTOCAD در تاریخ ۲۳ بهمن ۱۴۰۲



دومین همایش ملی الزامات ترافیکی ساختمان
در پایان این همایش از برگزیدگان جشنواره
عکاسی الزامات ترافیکی ساختمان نیز تجلیل شد.

همایش الزامات ترافیکی ساختمان در تاریخ ۲ اسفند ۱۴۰۲ در سالن همایش‌های پر迪س فنی و مهندسی شهید عباسپور



وبینار تحقیقات میدانی همراه با آنالیز سه بعدی داده ها روی پل های خرپایی فلزی در صنعت راه آهن کشورهای آمریکا و کانادا با حضور سرکار خانم دکتر فائزه خادمی

کارگاه آموزش بارگذاری سازه توسط جناب آقای مهندس کاوه حسنی



فراخوان دریافت آثار علمی و مقالات

دوفصلنامه علمی تخصصی ساروج دانشگاه شهید بهشتی

با سپاس از همکاری پرشور و فعال دانشجویان عزیز، در شماره اخیر از نشریه علمی - تخصصی «ساروج»، فصلنامه انجمن علمی عمران دانشگاه شهید بهشتی و «برترین نشریه فنی و مهندسی کشور در جشنواره تیتر ۱۳» و «برترین نشریه فنی و مهندسی دانشگاه شهید بهشتی»، بدینوسیله از دانشجویان، علاقهمندان و فارغ التحصیلان مهندسی عمران و نقشه برداری در مقطع کارشناسی، تمامی گرایش‌ها در مقاطع ارشد و دکتری و نیز رشته‌های مرتبط، دعوت می‌شود تا برای چاپ و انتشار ۲ شماره بعدی این نشریه، مقالات و تجربیات کاربردی خود را، در قالب شرایط بیان شده، تدوین و مطابق زمان‌بندی اعلام شده، برای ما ارسال نمایند.



مطلوب ارسالی دانشجویان از نظر تأیید یا عدم تأیید و همچنین کنترل کیفی، زیر نظر اساتید و اعضای هیئت علمی دانشکده مهندسی عمران، آب و محیط‌زیست و دانشجویان دکتری خواهد بود.

مهندسی سازه - مهندسی زلزله - مدیریت ساخت و حوزه مسکن - مهندسی ژئوتکنیک - راهسازی، ترافیک، ترابری - برنامه‌ریزی حمل و نقل - مدیریت منابع آب - محیط‌زیست - سازه‌های هیدرولیکی - مهندسی آب و فاضلاب - مهندسی نقشه‌برداری و گرایش‌های آن (هیدرولوگرافی، سیستم‌های اداره زمین، فتوگرامتری، سنجش از دور، ژئودزی و سیستم‌های اطلاعات مکانی)

و همچنین، مباحث بین رشته‌ای (معماری و...) و همچنین مطالب متنوع علمی در حوزه تکنولوژی، مباحث مشترک با علوم نوین نظیر نانو و...، پاسخ به دغدغه‌های عمومی دانشجویان و پیشرفت‌های مهندسی عمران و نقشه‌برداری در دهه های آینده

آثار ارسالی می‌توانند در قالب:



- یادداشت علمی یا گزارش با موضوعات علمی، فنی و پژوهشی (حداکثر تا ۶۰۰ کلمه)
- مقاله
- و مقاله ترجمه شده از منابع معتبر

باشند: که ضوابط مربوط به هر یک، در فایل کامل فراخوان، مندرج در کanal تلگرام و وبسایت انجمن علمی، ارائه گردیده است. از شما دعوت می‌کنیم تا به فراخوان کامل و ضوابط آن مراجعه نموده، و با رعایت مفاد آن، آثار ارزشمند خود را برای ما ارسال کنید. (به مقالات پذیرفته شده در نشریه، گواهی معتبر انتشار مقالات از سوی دانشگاه شهید بهشتی اعطای خواهد شد).

اطلاعات تکمیلی (شرایط مقالات، قالب ارسال مقالات، اعضای هیئت تحریریه، شماره‌های تماس و...) نیز در کanal تلگرامی انجمن علمی عمران دانشگاه شهید بهشتی، به نشانی @CivilSBU و همچنین وبسایت به نشانی www.civilsbu.ir قابل مشاهده می‌باشد.



پست الکترونیکی انجمن علمی عمران و ارسال مقالات به نشانی: SBU.SSCE@gmail.com

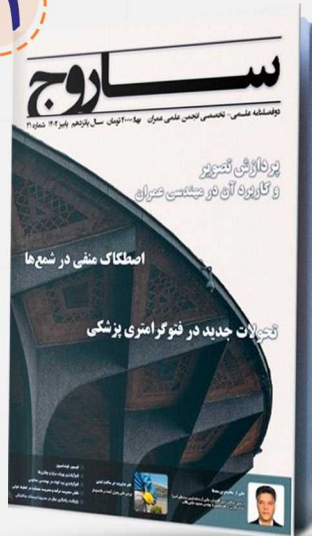


ارتباط با نشریه ساروج و ارسال مقالات در تلگرام از طریق: @Civil_Mag

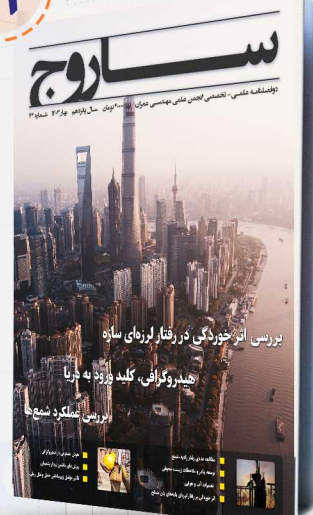


ساروج، پانزده سال همراهی ایستگاه چهل و دوم

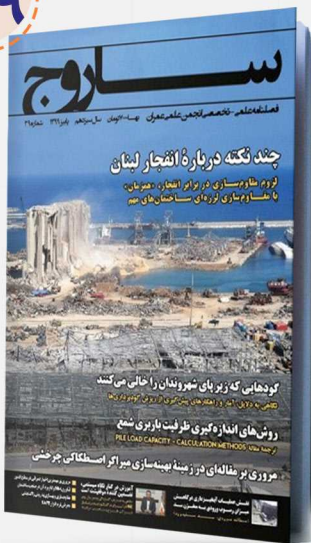
۴۱



۴۲



۳۹



۴۰



۳۷



۳۸



500

600

X4

X2

سادوج

دوفصلنامه علمی - تخصصی انجمن علمی مهندسی عمران پهلوی، ۴۰۳ تومان سال پانزدهم، بهار ۱۴۰۳ شماره ۴۲



از تمامی دانشجویان صمیمانه دعوت می‌گردد تا با ارائه مطالب علمی در حوزه عمران و نقشه‌برداری و همچنین همکاری در بخش‌های فنی و گرافیکی تولید و تدوین نشریه، ما را در ارتقاء هرچه بهتر محتوا و ظاهر آن یاری رسانند. از اساتید محترم نیز تقاضا می‌شود تا با حضور ارزشمند خود، مشارکت و بازبینی در مطالب و محتوای نشریه، برگنای آن بیافزایند و دانشجویان را از تجارب و دانش خود بهره‌مند ساخته و پرتو روشنی در مسیر پیشرفت و تعالی این دانشجویان باشند.

@CivilSBU

@SBU.SSCE@gmail.com

@Civil_SBU



جهت کسب اطلاعات بیشتر راجع به طرح پشت جلد این شماره از نشریه، اسکن کنید: